

硬质合金

物化性能、工艺与应用的全面探索(十五)

Tungsten Cemented Carbide

Comprehensive Exploration of Physical & Chemical

Properties, Processes, & Applications (XV)

中钨智造科技有限公司 <u>CTIA.GROUP</u>

nvw.chinatungsten.com

中钨智造® | 硬科技 智未来

全球钨钼稀土产业数字化智能化服务领航者



中钨智造简介

中钨智造科技有限公司(简称"中钨智造"CTIA GROUP)是中钨在线科技有限公司(简称 "中钨在线" CHINATUNGSTEN ONLINE) 设立的具有独立法人资格的子公司, 致力于在 工业互联网时代推动钨钼材料的智能化、集成化和柔性化与制造。中钨在线成立于1997年, 以中国首个顶级钨制品网站 www.chinatungsten.com 为起点,系国内首家专注钨、钼及稀 土行业的电子商务公司。依托近三十年在钨钼领域的深厚积累, 中钨智造传承母公司卓越的 制造能力、优质服务及全球商业信誉,成为钨化学品、金属钨、硬质合金、高比重合金、钼 及钼合金领域的综合应用解决方案服务商。

中钨在线历经30年,建成200余个多语言钨钼专业网站,覆盖20余种语言,拥有超100万 页钨、钼、稀土相关的新闻、价格及市场分析内容。自2013年起,其微信公众号"中钨在线" 发布逾4万条信息,服务近10万关注者,每日为全球数十万业界人士提供免费资讯,网站 群与公众号累计访问量达数十亿人次,成为公认的全球性、专业权威的钨钼稀土行业信息中 枢,7×24 小时提供多语言新闻、产品性能、市场价格及行情服务。

中钨智造承接中钨在线的技术与经验,聚焦客户个性化需求,运用 AI 技术与客户协同并生 产符合特定化学成分及物理性能(如粒度、密度、硬度、强度、尺寸及公差)的钨钼制品, 提供从开模、试制到精加工、包装、物流的全流程集成服务。30年来,中钨在线已为全球超 13 万家客户提供50 余万种钨钼制品的研发、与生产服务,奠定了客制化、柔性化与智能化 的制造基础。中钨智造以此为依托,进一步深化工业互联网时代钨钼材料的智能制造与集成 创新。

中钨智造的韩斯疆博士及其团队,也根据自己三十多年的从业经验,撰写有关钨钼稀土的知 识、技术、钨的价格和市场趋势分析等公开发布,免费共享于钨产业界。韩斯疆博士自1990 年代起投身钨钼制品电子商务、国际贸易及硬质合金、高比重合金的与制造,拥有逾30年 经验,是国内外知名的钨钼制品专家。中钨智造秉持为行业提供专业优质资讯的理念,其团 队结合生产实践与市场客户需求,持续撰写技术研究、文章与行业报告,广受业界赞誉。这 些成果为中钨智造的技术创新、产品推广及行业交流提供坚实支撑,推动其成为全球钨钼制 品制造与信息服务的引领者。

中钨智造

CTIA.ROUP



www.chinatungsten.com 中钨智造©版权所有 中钨智造® | 硬科技 • 智未来 钼稀土产业数字化如 2000 任何形式的使用须经中钨智造书面同意

全球钨钼稀土产业数字化智能化服务领航者



平钨智造科技有限公司 30 年硬质合金定制专家 核心优势 中钨智造科技有限公司

30年经验:深谙硬质合金生产加工,技术成熟稳定,不断精进。

精准定制: 支持特殊性能与复杂设计, 重视客户+AI 协同设计。

质量成本:优化模具与加工,性价比卓越;领先设备,RMI、ISO 9001 认证。

服务客户

产品涵盖切削、工模具、航空、能源、电子等领域,已服务10+万客户。

服务承诺

10+亿次访问、100+万网页、10+万客户、30年0抱怨! atungsten.com

联系我们

邮箱: sales@chinatungsten.com

电话: +86 592 5129696 官网: www.ctia.com.cn 微信: 关注"中钨在线"









第四部分: 硬质合金的分类与应用领域

第15章: 纳米与超细硬质合金

纳米与超细硬质合金(晶粒尺寸<100 nm \pm 10 nm)凭借其超高硬度(HV 2500-3000 \pm 50)、优异韧性(K1c 15-20 MPa·m¹/² \pm 0.5)、低磨损率(<0.02 mm³/N·m \pm 0.005 mm³/N·m)和高耐蚀性(失重<0.05 mg/cm² \pm 0.01 mg/cm²),在超精密加工(表面粗糙度 Ra <0.05 μ m \pm 0.01 μ m)、高性能涂层(厚度 1-10 μ m \pm 0.1 μ m)、极端环境应用以及智能制造领域展现出巨大潜力。通过先进的制备工艺,包括化学气相沉积(CVD)、溶胶-凝胶法、放电等离子烧结(SPS)、热等静压(HIP, 150 MPa \pm 1 MPa)以及纳米粉末球磨技术,结合晶粒细化控制(如添加 VC、Cr3C2,浓度 0.5%-2% \pm 0.1%)和致密化处理,纳米与超细硬质合金的性能显著提升,硬度增加 20% \pm 3%、韧性增强 15% \pm 2%、耐磨性提升 25% \pm 3%。这些特性使其在航空航天、医疗、能源和国防等高技术产业中占据关键地位,尤其是在需要高精度和长寿命部件的场景下表现突出。

15.0 纳米与超细硬质合金的基本概念

什么是纳米硬质合金?

纳米硬质合金是一种以碳化钨(WC)作为硬质相,钴(Co)、镍(Ni)或其他金属(如 Fe、Cr)作为黏结相的复合材料,其晶粒尺寸严格控制在纳米级(<100 nm \pm 10 nm)。该材料通过粉末冶金工艺、放电等离子烧结(SPS,温度 1200-1400°C \pm 20°C,压力 50-100 MPa \pm 5 MPa)、溶剂热法或机械合金化(球磨时间 20-40 h \pm 2 h)等先进技术制备。纳米级晶粒通过增加晶界密度和位错储量显著提升材料性能,包括硬度、韧性和耐磨性,同时优化表面光洁度(Ra <0.05 μ m \pm 0.01 μ m)和加工精度(公差 \pm 0.01 mm \pm 0.001 mm),使其适用于超精密制造和微纳米器件。

纳米硬质合金的关键特性

纳米硬质合金的硬度

 $HV_{1600-2000\pm50}$, 高于常规硬质合金 ($HV_{800-1600\pm50}$), 得益于 Hall-Petch 效应, 晶粒细化导致晶界强化效应增强 $30\%\pm3\%$ 。

纳米硬质合金的断裂韧性

 K_{1c} 8-12 $MPa\cdot m^{1/2} \pm 0.5$, 抗裂纹扩展能力较常规硬质合金提升 $40\% \pm 2\%$, 通过黏结相优化(如 Co 含量 6- $10\% \pm 0.5\%$)实现。

纳米硬质合金的耐磨性

磨损率 <0.001 mm³/N·m ± 0.0001 mm³/N·m, 耐磨性较传统 WC-Co 材料提升约 23 倍 ± 2 倍, 适合高负荷摩擦环境。

纳米硬质合金的耐蚀性

失重 <0.03 mg/cm² ± 0.005 mg/cm² (在 5% H₂SO₄ 溶液中, 24 h ± 1 h), 通过 Ni 或 Cr 掺杂增强抗酸碱腐蚀能力。

纳米硬质合金的热稳定性

可在 800-1000°C ± 20°C 下保持 90% ± 2% 性能, 适合高温加工环境。



纳米硬质合金的主要应用

纳米硬质合金因其优异性能广泛应用于以下领域:

如微型注塑模具(尺寸 10-50 mm ± 0.5 mm),表面粗糙度 Ra < 0.02 μm ± 0.005 μm,寿 命 >106 模次 ± 104 模次。

微型钻头

用于 PCB 板钻孔 (直径 0.1-0.5 mm ± 0.01 mm), 耐磨寿命 >5000 h ± 200 h, 加工效率 提升 20% ± 2%。

生物医学工具

如牙科钻头(直径 1-3 mm ± 0.05 mm), 硬度 HV 1800-2000 ± 30, 生物相容性(细胞毒 性 <5% ± 1%, ISO 10993-5), 手术精度 ±0.02 mm ± 0.002 mm。

高耐磨涂层

厚度 1-5 μm ± 0.1 μm, 应用于航空发动机叶片, 抗热疲劳循环 >5000 次 ± 500 次。

什么是超细硬质合金?

超细硬质合金是以 WC 作为硬质相, Co、Ni 等作为黏结相的材料, 其晶粒尺寸控制在超 细级(0.1-1 μm ± 0.05 μm)。通过高温碳化(1200-1300°C ± 20°C)、热压烧结(压力 30-50 MPa ± 2 MPa)、微波辅助合成或球磨-烧结工艺制备。超细晶粒在硬度和韧性之间取得 平衡,通过优化烧结工艺(如 SPS, 1400° C ± 10° C)实现晶粒均匀分布(偏差 < 10% ± 1%), 适合高负荷、耐磨和中精度加工应用。

超细硬质合金的关键特性

超细硬质合金的硬度

HV 1200-1800 ± 50,介于常规硬质合金(HV 800-1600)与纳米硬质合金(HV 1600-2000) 之间,晶粒细化提升 15% ± 2%。

超细硬质合金的断裂韧性

K1c 10-14 MPa·m¹/2±0.5, 优于纳米硬质合金(K1c8-12), 通过 Co 含量(8-12%±0.5%) 和 TiC 添加 (1-2% ± 0.1%) 增强。

超细硬质合金的耐磨性

磨损率 0.001-0.005 mm³/N·m ± 0.0005 mm³/N·m, 耐磨性较常规材料提升 1.5-2 倍 ± 0.2 倍, 适合中高负荷切削。

超细硬质合金的耐蚀性

失重 <0.05 mg/cm² ± 0.01 mg/cm² (5% NaCl 溶液, 48 h ± 1 h), 通过 Ni 掺杂提升抗 海水腐蚀能力。

超细硬质合金的热稳定性

在 700-900°C ± 20°C 下性能保持 95% ± 2%, 适合中等高温环境。

超细硬质合金的重要应用

www.chinatungsten.com 超细硬质合金因其性能平衡广泛应用于以下领域:

切削工具

版权与法律责任声明

Copyright© 2024 CTIA All Rights Reserved 标准文件版本号 CTIAQCD-MA-E/P 2024 版 www.ctia.com.cn

电话/TEL: 0086 592 512 9696 CTIAQCD-MA-E/P 2018-2024V sales@chinatungsten.com

第 5 页 共 144 页



如铣刀(直径 $10-30 \text{ mm} \pm 0.5 \text{ mm}$), 耐磨寿命 $>10^4 \text{ h} \pm 500 \text{ h}$, 切削速度 $100-200 \text{ m/min} \pm 5 \text{ m/min}$, 适用于钢材加工。

燃料电池双极板模具

尺寸 200-400 mm × 100-200 mm ± 2 mm, 硬度 HV 1500-1800 ± 30, 表面粗糙度 Ra <0.1 μ m ± 0.01 μ m, 导电性 <10⁻⁴ Ω ·cm ± 10⁻⁵ Ω ·cm.

骨科植入物

如髋关节支架,重量 0.3-0.7 kg \pm 0.01 kg, 孔隙率 20-40% \pm 5%, 骨整合率 >85% \pm 2% (ASTM F1537),耐久性 >15 年 \pm 1 年。

耐磨衬里

厚度 5-15 mm \pm 0.5 mm,应用于矿业设备,抗冲击强度 >3000 J/cm² \pm 100 J/cm²,寿 命延长 20% \pm 2%。

纳米与超细硬质合金的开发标志着硬质合金技术向高性能、微观结构优化的重要转型。通过 先进的制备工艺和智能化制造技术,这些材料不仅满足传统工业需求,还推动了新兴领域 (如微电子、生物工程和新能源)的技术进步。后续章节将深入探讨其制备工艺、性能优化 和具体应用案例,以期为相关产业提供理论支持和实践指导。

超细硬质合金 VS 纳米硬质合金

类型	晶粒尺寸	硬度 (HV)	断裂韧性 (K _{IC})	主要应用	hinatungs	成本
纳米硬质合金	<100 nm	16002000	812 MPa m^1/2	精密模具、	微型工具、涂层	高
超细硬质合金	0.11 μm	12001800	1014 MPa m^1/2	切削工具、	模具、植入物	

本章从纳米 WC 的制备、性能优势、挑战与解决方案和应用前景四个方面展开,系统分析 其前沿发展。





15.1 纳米硬质合金的制备

纳米硬质合金(晶粒尺寸 <100 nm ± 10 nm) 凭借其超高硬度(HV 2500-3000 ± 50)、优异韧性(K1c 15-20 MPa·m¹/2 ± 0.5)、低磨损率(<0.02 mm³/N·m ± 0.005 mm³/N·m)和高耐蚀性(失重 <0.05 mg/cm² ± 0.01 mg/cm²),在超精密加工、极端环境应用及智能制造领域展现出显著潜力。其性能核心依赖于高质量纳米级原材料的制备,特别是纳米钨粉(nano-W)和纳米碳化钨粉(nano-WC)的均匀性和晶粒尺寸控制(WC 含量 >95%±1%)。通过化学气相沉积(CVD)、溶胶-凝胶法、热等静压(HIP,150 MPa ± 1 MPa)等先进工艺,结合晶粒生长抑制剂(如 VC、Cr3C2,添加量 0.5%-2%±0.1%)和精密工艺优化,纳米硬质合金的微观结构和宏观性能得以显著提升,硬度增加 20% ± 3%、韧性增强 15% ± 2%、耐磨性提高 25% ± 3%。本节首先阐述纳米硬质合金基础之纳米钨粉及纳米碳化钨粉的制备作为制备基础,随后详细探讨纳米硬质合金制备之化学气相沉积(CVD)和纳米硬质合金制备之溶胶凝胶法的工艺原理、性能影响因素、优化策略及工业可行性,结合实验数据和实际应用案例,确保内容逻辑严谨且具有实用价值。

15.1.0 纳米硬质合金基础之纳米钨粉及纳米碳化钨粉的制备

纳米钨粉的制备工艺原理与技术路径

纳米钨粉 (nano-W) 作为纳米硬质合金的核心前驱体,其晶粒尺寸需控制在 20-100 nm ± 10 nm,是后续碳化过程的决定性因素。工业上采用的制备方法包括**化学还原法**和等离子体法,两者结合可实现高纯度和纳米级粒径,确保后续工艺的可控性。



化学还原法纳米钨粉的制备工艺

该方法以偏钨酸铵(APT, (NH4)10W12O41·xH2O)或氧化钨(WO3)为起始原料,通过 多步工艺制备纳米钨粉。首先,将 APT 溶解在去离子水(纯度 >18 MΩ·cm)中,配制浓 度为 0.1-0.5 mol/L ± 0.01 mol/L 的溶液, 加入稀硝酸(HNO3)调节 pH 值至 4-6 ± 0.1, 以促进钨化合物的分散性。溶液在搅拌条件下(200-400 rpm ± 20 rpm, 时间 1-2 h ± 0.1 h)进行预处理,随后转移至管式炉中,在高纯氢气(H2,纯度 >99.999%,流率 20-50 sccm ±1sccm) 还原气氛中加热。反应温度逐步升至 600-800°C±10°C(升温速率 5-10°C/min ± 0.5°C/min), 保温 2-4 h ± 0.1 h, 以确保完全还原(2WO3 + 3H2 → 2W + 3H2O)。反 应结束后,采用惰性气体(如 Ar,流率 30 sccm ± 1 sccm)冷却至室温,收集粉末并在真 空干燥箱(50-70℃±5℃,压力<10 Pa±1 Pa) 中干燥 12 h±0.5 h。

等离子体法纳米钨粉的制备工艺

该方法利用热等离子体技术,通过高温蒸发和快速冷凝制备超细钨粉。原料钨金属粉(粒径 <50 μm ± 5 μm) 或 WO3 粉末被送入等离子体炬(温度 5000-7000°C ± 200°C, 功率 20-50 kW ± 1 kW), 在 Ar 惰性气体(流率 30-60 sccm ± 1 sccm) 和少量 H2(流率 5-10 sccm ± 0.5 sccm)保护下蒸发。蒸气在喷嘴处以超声速喷射(喷射速度 >500 m/s ± 50 m/s) 进入冷却室,冷却速率 >105 K/s ± 104 K/s,通过控制冷却气体(Ar,流率 50-100 sccm ± J SCC 2 sccm) 实现晶粒细化。收集后的粉末在 N2 气氛中密封储存, 避免氧化。

纳米钨粉的表征与性能评估

X 射线衍射 (XRD)

晶粒尺寸精度 ±2 nm, 确认 20-100 nm ± 10 nm, 峰宽分析基于 Scherrer 公式。

透射电子显微镜(TEM)

形貌分辨率 <0.1 nm ± 0.01 nm, 显示球形颗粒, 均匀性标准差 <5 nm ±1 nm。

能量色散谱 (EDS)

纯度 >99.5% ± 0.1%, 氧杂质含量 <0.5% ± 0.1%。

比表面积分析 (BET) 利用 N2 吸附法, 精度 $\pm 5 \text{ m}^2/\text{g}$, 范围 30-60 m²/g $\pm 5 \text{ m}^2/\text{g}$ 。 例 如, 化学还原法制备的纳米钨粉晶粒 80 nm ± 10 nm, 比表面积 40 m²/g ± 5 m²/g; 等离 子体法制备的晶粒 $30 \text{ nm} \pm 5 \text{ nm}$, 比表面积 $55 \text{ m}^2/\text{g} \pm 5 \text{ m}^2/\text{g}$ 。

纳米钨粉的制备工艺机理

化学还原法通过 (NH4)10W12O41 在 H2 气氛下分解并还原(2WO3 + 3H2 → 2W + 3H2O), 700°C±10°C 时晶核密度 >10°cm-2±10°cm-2, 生成均匀纳米颗粒。等离子体 法依靠高温蒸发和快速冷凝,硬度 HV400-500±20,但需严格控制氧化(O 含量 <0.3% $\pm 0.1\%$).

纳米钨粉的制备工艺关键影响因素与工业优化

还原温度

600-800°C±10°C 控制晶粒 20-100 nm±10 nm; >900°C±10°C 时, 晶粒长大至 150 www.chinatung nm ± 10 nm, 增长率 15% ± 2%, 纯度下降 2% ± 0.5%。 气氛流率



H2 20-50 sccm ± 1 sccm 优化还原效率; <10 sccm ± 1 sccm 时,氧化率增 10% ± 2%,影响后续碳化。

溶液浓度

0.1-0.5 mol/L ± 0.01 mol/L 确保均匀性; >1 mol/L ± 0.01 mol/L 时, 团聚率增 20% ± 3%, 比表面积减 15% ± 2%。

冷却速率

等离子体法 $>10^5$ K/s \pm 10^4 K/s 细化颗粒; $<10^4$ K/s \pm 10^3 K/s 时,晶粒增 $30\% \pm 3\%$ 。 工业优化

推荐 700° C ± 10° C, H2 流率 $30 \text{ sccm} \pm 1 \text{ sccm}$, 浓度 $0.3 \text{ mol/L} \pm 0.01 \text{ mol/L}$, 配备惰性气氛保护炉,产率 $>90\% \pm 2\%$, 成本控制在 $50 \text{ USD/kg} \pm 5 \text{ USD/kg}$, 适合大规模生产,设备运行周期 $>500 \text{ h} \pm 20 \text{ h}$ 。

纳米碳化钨粉的制备工艺原理与技术路径

纳米碳化钨粉(nano-WC)通过纳米钨粉与碳源在高温碳化(1200-1400°C \pm 20°C)下反应制备,晶粒尺寸 20-80 nm \pm 10 nm。工业上采用**固相碳化法**和**气体碳化法**,以确保高纯度和均匀性。

固相碳化法纳米碳化钨粉的制备工艺

纳米钨粉与高纯碳黑(粒径 <50 nm ± 5 nm, 纯度 >99.9%)按 C/W 摩尔比 1:1 ± 0.02 配比,在行星球磨机中混合(ZrO_2 研磨球,直径 5-10 mm ± 0.5 mm,转速 200-300 rpm ± 10 rpm,时间 4-6 h ± 0.1 h),确保均匀分散。混合粉末置于石墨坩埚中,转移至高温管式炉,在 Ar 保护气氛(流率 30-50 sccm ± 1 sccm)中加热至 1300°C ± 20°C(升温速率 5-10°C/min ± 0.5°C/min),保温 2-4 h ± 0.1 h,完成碳化反应(W + C \rightarrow WC)。反应结束后,采用 Ar 冷却(流率 40 sccm ± 1 sccm)至室温,粉末经筛分(孔径 100-200 mesh ± 10 mesh)去除团聚物。

固相碳化法纳米碳化钨粉的制备标准工业工艺流程

固相碳化法是一种常用的工业方法,用于制备纳米碳化钨(WC)粉末,其通过固态反应在高温下将钨粉(W)与碳粉(C)转化为 WC 纳米颗粒。以下是基于当前工业实践和参考中钨在线科技有限公司<u>(http://www.ctia.com.cn/)</u>的硬质合金粉末制备经验,优化后的标准工艺流程,旨在实现晶粒尺寸 <100 nm ±10 nm、纯度 >99.5% ±0.1% 和均匀性(标准差 <5 nm ±1 nm)。该流程结合了精确的原料选择、工艺控制和质量检测,确保产品满足纳米硬质合金制备需求。

固相碳化法通过以下步骤实现纳米 WC 粉末的制备: 原料预处理、混合与球磨、成型与预烧结、高温碳化、粉碎与分级、表面处理及质量检测。整个流程在惰性气氛(Ar 或 Ar/H2)中进行,以避免氧化,温度范围控制在 1400-1600℃ ±20℃,反应时间 2-4 h ±0.1 h,确保晶粒尺寸和相纯度的优化。

固相碳化法纳米碳化钨粉的制备详细工艺步骤



原料预处理

原料选择

选用高纯度钨粉 (W, 纯度 >99.9% ±0.1%, 粒径 0.5-2 μ m ± 0.1 μ m) 和超细碳黑 (C, 纯度 >99.8% ±0.1%, 粒径 <0.1 μ m ± 0.01 μ m),摩尔比 W:C 控制在 1:1 ±0.01。

干燥处理

在真空烘箱中于 100-150°C ± 5 °C 干燥 $2h\pm 0.1h$, 移除水分(含水率 $<0.1\%\pm 0.01\%$),避免反应过程中引入杂质。

预氧化控制

通过 X 射线光电子能谱 (XPS) 检测,确保 W 粉表面氧化层厚度 <1 nm ±0.1 nm。

混合与球磨

设备与介质

采用行星球磨机,选用 ZrO2 球 (直径 2-5 mm ±0.5 mm) 作为研磨介质,球料比 10:1 ± 1。

工艺参数

转速 300-500 rpm \pm 10 rpm, 球磨时间 6-8 h \pm 0.1 h, 加入无水乙醇 (体积分数 >99.5% \pm 0.1%) 作为分散介质。确保 W 和 C 粉末均匀混合,颗粒团聚度 <5% \pm 1%,粒径分布 D50 <1 μ m \pm 0.1 μ m,激光粒度分析验证。

气氛保护

在 Ar 气氛 (流率 20-30 sccm ±1 sccm) 下操作, 防止氧化。

成型与预烧结

成型

将混合粉末压制成坯体,使用单向压力机,压力 50-100 MPa ± 1 MPa,成型时间 1-2 min ± 0.1 min,坯体密度 >60% $\pm 1\%$ 理论密度。

预烧结

在管式炉中,温度 800-1000°C \pm 10°C,保温 1h \pm 0.1h,Ar/H2 气氛(H2 体积分数 5-10% \pm 0.5%),去除挥发性杂质和促进初步反应(W+C \rightarrow WC)。

松测

X射线衍射 (XRD) 确认预烧结产物中 WC 相比例 >90% ±2%。

高温碳化

设备

使用高温真空炉或石墨炉,工作温度 1400-1600℃ ± 20℃,升温速率 5-10℃/min ± 0.5℃/min。

工艺参数

保温时间 2-4 h \pm 0.1 h,压力 <10⁻² Pa \pm 10⁻³ Pa,Ar/H₂ 气氛(流率 30-50 sccm \pm 1 sccm)保护。

反应机理

固相反应 $W+C \rightarrow WC$ 发生,碳化程度通过热重分析(TGA)监控,质量损失 $<1\%\pm0.1\%$,确保完全碳化。



晶粒控制

添加 VC(0.5%-1%±0.1%)作为抑制剂,抑制晶粒长大,目标晶粒尺寸 <100 nm±10 nm, inatungsten.cc TEM 验证。

粉碎与分级

粉碎

采用行星式高能球磨机或气流粉碎机, 粉碎时间 2-4 h ± 0.1 h, 转速 400-600 rpm ± 10 rpm, 加入无水乙醇分散。

分级

使用空气分类机,分级粒径 D50 <100 nm ±10 nm,细粉收率 >90% ±2%,激光粒度分 析和 SEM 确认粒径分布。去除团聚颗粒(>200 nm \pm 10 nm),标准差 <5 nm \pm 1 nm, 确保均匀性。

表面处理

清洗

用超纯水(电阻率 $>18 \,\mathrm{M}\Omega\cdot\mathrm{cm}$) 洗涤 2-3 次 ± 0.1 次,去除残留乙醇和杂质,干燥温度 80-100°C ±5°C, 时间 2h ±0.1h。

表面改性

可选涂覆有机包覆剂(如聚乙烯醇 PVA,浓度 1-2% ±0.1%),增强粉末分散性和储存稳 定性。

检测

傅里叶变换红外光谱 (FTIR) 确认表面官能团, 纯度 >99.5% ±0.1%。

natungsten.com 质量检测

物相分析

XRD 检测, 确认 WC 相纯度 >99% ±0.1%, 无 W2C 或游离 C 相(<0.5% ±0.1%)。 粒径与形貌

TEM 和 SEM 分析, 晶粒尺寸 <100 nm ±10 nm, 形貌为近球形或多面体。

化学成分

电感耦合等离子体发射光谱(ICP-OES)检测,杂质含量(如 Fe、O)<0.2%±0.05%。 包装

在 Ar 气氛中密封包装,防潮袋内加干燥剂,储存条件 20-25℃±2℃,湿度 <40%±5%。

工艺参数优化与控制

温度控制

1400-1600℃ ± 20℃ 确保碳化完全, >1700℃ ± 20℃ 时晶粒长大 >120 nm ± 10 nm。

2-4 h ± 0.1 h 平衡反应程度和晶粒稳定性, >5 h ± 0.1 h 时晶粒增 10% ± 2%。 www.chi

气氛保护



Ar/H2 流率 30-50 sccm ±1 sccm 减少氧化,氧含量 <0.1% ±0.01%。

抑制剂优化

 $VC 0.5\%-1\% \pm 0.1\%$ 控制晶界迁移速率 < 0.1 nm/s ± 0.01 nm/s。

工业应用与前景

该工艺生产的纳米 WC 粉末适用于纳米硬质合金的制备(如 WC-Co 刀具和涂层),当前 年产量可达 500 吨 ±50 吨, 市场需求预计年增长率 >12% ±2%。未来通过自动化控制 和激光辅助碳化技术,晶粒均匀性可提升 5%±1%,生产成本可能降低 10%±2%,推动其 在航空航天和医疗领域的广泛应用。

气体碳化法纳米碳化钨粉的制备工艺

纳米钨粉置于反应炉中, 在 CH4 (流率 10-30 sccm ± 1 sccm) 或 CO (流率 20-40 sccm ±1 sccm) 气氛中加热至 1200-1300°C±20°C (升温速率 5-8°C/min±0.5°C/min), 保温 1-3 h ± 0.1 h。CH4 分解生成活性碳 (CH4→C+2H2), 与钨反应生成 WC。反应过程中, Ar 作为稀释气(流率 50 sccm ± 2 sccm)控制碳化速率,冷却阶段采用 N2 保护(流率 30 sccm ± 1 sccm) 避免氧化。

. на ли Л л 精度 ±2 nm, 20-80 nm ± 10 nm。

ТЕМ: 分辨率 <0.1 nm ± 0.01 nm, 球形分布, 偏差 <5% ± 1%。

EDS: C/W 比 1:1 ± 0.02, 纯度 >95% + 1% 描述 — ВЕТ: 比丰西 — **BET**: 比表面积 $40-70 \, \text{m}^2/\text{g} \pm 5 \, \text{m}^2/\text{g}$ 。 例如,固相碳化法制备的 WC 晶粒 $60 \, \text{nm} \pm 10$ nm, 比表面积 50 $m^2/g \pm 5 m^2/g$, 孔隙率 <0.1% \pm 0.01%。

纳米碳化钨粉制备机理与性能影响

固相碳化法通过 W+C→WC 反应, 1300°C±20°C 时晶核密度 >108 cm⁻²±107 cm⁻², 硬度 HV 2500-2700 ± 50, 韧性 K1c 15-17 MPa·m¹/2 ± 0.5。气体碳化法利用 CH4 分解 $(CH_4 \rightarrow C + 2H_2)$ 提供碳源,晶粒 50 nm \pm 10 nm,碳化均匀性优于固相法,游离碳含 量 <0.3% ± 0.1%。

纳米碳化钨粉粒度关键影响因素与工业优化

1200-1400°C±20°C 控制晶粒 20-80 nm±10 nm; >1500°C±20°C 时,长大 20%±3%, 硬度下降 5%±1%。

碳源比例

C/W 1:1 ± 0.02 优化碳化; 过量 C 增 10% ± 2% 游离碳, 影响烧结密度。

30-50 sccm ± 1 sccm 确保均匀性; <10 sccm ± 1 sccm 时, 碳化不完全 15% ± 2%。

2-4 h ± 0.1 h 保证完全碳化; >5 h ± 0.1 h 时, 晶粒长大 10% ± 2%。 工业优化



推荐 1300°C ± 20°C, C/W 1:1 ± 0.02, Ar 流率 40 sccm ± 1 sccm, 配备连续式高温炉, 产率 >85% ± 2%, 成本 60 USD/kg ± 5 USD/kg, 设备维护周期 >400 h ± 20 h。

15.1.1 纳米碳化钨粉化学气相沉积(CVD)与溶胶凝胶法 ww.chinatungsten.com

纳米碳化钨粉制备之化学气相沉积(CVD)

工艺原理与技术路径

纳米碳化钨粉制备之化学气相沉积 (CVD)

通过 800-1000°C ± 10°C 气相反应(WF6、CH4、H2)沉积纳米 WC,晶粒 50-100 nm ± 10 nm。 反应在高真空反应腔(压力 10⁻²-10⁻³ Pa ± 10⁻⁴ Pa) 中进行, 气体流率分别为 WF6 5-15 sccm ± 0.5 sccm、CH4 20-40 sccm ± 1 sccm、H2 20-50 sccm ± 1 sccm,沉积速 率 0.1-0.5 μm/min ± 0.01 μm/min。基材(如石墨或 SiC)预热至 700-900°C ± 10°C, 反 应时间 1-5 h ± 0.1 h, 适合大规模涂层和薄膜制备。

纳米碳化钨粉表征与性能评估

XRD: 晶粒尺寸 80 nm ± 10 nm, 精度 ±2 nm。

www.chinatungsten.com TEM: 均匀性标准差 <5 nm ± 1 nm, 分辨率 <0.1 nm ± 0.01 nm。

EDS: 纯度 >95% ± 1%, C/W 比 1:1 ± 0.02。

BET: 比表面积 50 m²/g ± 5 m²/g。

孔隙率: 水银压入法测定 <0.1% ± 0.01%。

纳米碳化钨粉制备机理与性能影响

WF6 + 3CH4 → WC + 6HF + 2H2, H2 流率 20-40 sccm ± 1 sccm 促进晶核形成, 密 度 >10¹⁰ cm⁻² ± 10⁹ cm⁻²。 硬度 HV 2600 ± 50, 韧性 K1c 10-12 MPa·m¹/² ± 0.5, 热稳 定性 1000°C ± 20°C 保持 90% ± 2%。

纳米碳化钨粉制备关键影响因素与工业优化

反应温度: 800-1000℃±10℃ 控制晶粒; >1200℃±10℃ 长大 10%±2%。 气体流率: 10-50 sccm ± 1 sccm 优化沉积; <5 sccm ± 1 sccm 产率降 20% ± 3%。 压力: 10⁻²-10⁻³ Pa ± 10⁻⁴ Pa 效率高; >10⁻¹ Pa ± 10⁻² Pa 杂质增 10% ± 2%。 工业优化: 900°C ± 10°C, H2 30 sccm ± 1 sccm, 压力 10⁻³ Pa ± 10⁻⁴ Pa, 产率 >90% ±

2%, 设备投资 200k USD ± 10k USD, 适合航空涂层生产, 运行周期 >500 h ± 20 h。

纳米碳化钨粉制备之溶胶凝 gel 法

工艺原理与技术路径

纳米碳化钨粉制备之溶胶凝 gel 法

通过 WO3 水解 (pH 3-5 ± 0.1) 形成溶胶, 热处理 600-800°C ± 10°C 制备 WC 粉末, 晶粒 20-80 nm ± 10 nm。WO3 (纯度 >99.9%) 溶于去离子水, 配制浓度 0.1-0.5 mol/L ±0.01 mol/L 的溶液, 加入柠檬酸 (摩尔比 WO3:柠檬酸 1:1.5±0.1) 作为碳源, pH 值用 稀 HNO3 调至 3-5 ± 0.1。溶液在磁力搅拌器(200-500 rpm ± 20 rpm)下反应 2-4 h ±



o.1h, 形成均匀溶胶, 随后在 80-100℃±5℃ 水浴中凝胶化 12h±0.5h。凝胶经冷冻干 燥(-50°C±5°C,压力 <10 Pa±1 Pa)或喷雾干燥(进料速率为 10-20 mL/min±1 mL/min) 制成前驱体粉末, 最后在 Ar/H2 气氛(流率 20-40 sccm±1 sccm) 中热处理 600-800℃ ±10°C, 保温 2-4 h ± 0.1 h, 生成 WC 粉末。

纳米碳化钨粉表征与性能评估

XRD: 晶粒尺寸 60 nm ± 10 nm, 精度 ±2 nm。

TEM: 偏差 <0.1% ± 0.02%, 分辨率 <0.1 nm ± 0.01 nm。

EDS: C/W 比 1:1±0.02, 纯度 >95%±1%。

BET: 比表面积 60 m²/g ± 5 m²/g。

纳米碳化钨粉制备机理与性能影响

WO3 水解形成 10-50 nm ± 5 nm 溶胶, 700℃ ± 10℃ 碳化, H2/Ar 流率 20-40 sccm ± 1 sccm 促进反应。硬度 HV 2700 ± 50, 韧性 K1c 16-18 MPa·m1/2 ± 0.5, 热稳定性 900°C 关键影响因素与工业优化 pH 值: 3-5+0-2

温度: 600-800°C±10°C 控制晶粒; >1000°C±10°C 长大 15%±3%。 工业优化: pH4±0.1, 700°C+10°C 出→/4-工业优化: pH4±0.1,700°C±10°C,H2/Ar30 sccm±1 sccm,产率 >85%±2%,成本 55 USD/kg ± 5 USD/kg, 适合粉末工业化,设备维护周期 >400 h ± 20 h。

纳米硬质合金的制备以纳米钨粉和纳米碳化钨粉为基础, CVD 和溶胶凝 gel 法提供高效路 径。后续章节将探讨性能优化和工业化挑战。

15.1.2 纳米硬质合金的晶粒控制 (<100 nm)

纳米硬质合金的晶粒控制原理与技术

纳米硬质合金的晶粒控制是实现其优异性能(如硬度 HV 2500-3000 ± 50、韧性 K1c 15-20 MPa·m¹/² ± 0.5、低孔隙率 <0.1% ± 0.01%) 的关键技术,核心在于将晶粒尺寸精确限 制在 <100 nm ± 10 nm。通过引入晶粒生长抑制剂(如碳化钒 VC 和碳化铬 Cr3C2,添加 量 0.5%-2% ± 0.1%) 和优化反应条件(温度 800-1000°C ± 10°C、压力 10⁻2-10⁻3 Pa ± 10-4 Pa), 有效抑制晶界迁移和晶粒长大。主要通过在晶界析出形成纳米级屏障(厚度 <1 nm ± 0.1 nm) 抑制 WC 晶粒生长,而 Cr3C2 则通过提高晶核密度(>1010 cm-2 ± 109 cm-2) 促进细小晶粒的形核。工艺中还需结合均匀混合(如球磨 4-6h±0.1h, 转速 500-1000 rpm ± 10 rpm)、热处理(如放电等离子烧结 SPS 1200-1400°C ± 20°C, 压力 50 MPa ±2 MPa) 以及后处理(如热等静压 HIP 150 MPa ± 1 MPa, 2 h ± 0.1 h) 以进一步降低孔 chinatungsten.com 隙率并增强致密性。

表征与测试方法

晶粒控制效果通过多种高精度分析技术评估:

X 射线衍射 (XRD): 测量晶粒尺寸, 精度 ±2 nm, 利用 Scherrer 公式计算平均晶粒大 小。



透射电子显微镜(TEM):观察晶粒形貌和晶界结构,分辨率 <0.1 nm ± 0.01 nm, 分析晶 粒均匀性(标准差 <5 nm ± 1 nm)。

能量色散谱 (EDS): 检测抑制剂分布和化学成分,精度 ±0.1%,确认 VC 和 Cr3C2 的均 匀性(偏差 <0.1% ± 0.02%)。

显微硬度测试(ASTM E92): 测量硬度, 精度 ±50 HV, 评估晶粒细化对机械性能的影响。 比表面积分析 (BET): 利用 N_2 吸附法,精度 ± 5 m^2/g ,评估比表面积(典型值 50-70 $m^2/g \pm 5 m^2/g$).

孔隙率测试: 水银压入法, 精度 ±0.01%, 目标 <0.1% ± 0.01%。 例如, 添加 1% VC 的 WC 样品晶粒尺寸为 60 nm ± 10 nm, 硬度 HV 2700 ± 50, 比表面积 60 m²/g ± 5 m²/g, 孔隙率 0.08% ± 0.01%。

纳米硬质合金的晶粒控制机理

晶粒控制机理基于抑制剂对晶界动力学和成核过程的调控,具体如下:

VC 的抑制作用:

VC 以 0.5%-1% ± 0.1% 的低含量掺杂, 在 WC 晶界处析出纳米级相(厚度 <1 nm ± 0.1 nm), 通过 pinning 效应显著降低晶界迁移速率 (<0.1 nm/s ± 0.01 nm/s)。TEM 观察显 示, VC 颗粒均匀分布于晶界, 晶粒长大速率较未添加时降低 80% ± 5%。EDS 分析表明 V 含量分布偏差 <0.1%±0.02%,确保抑制效果一致。参考中钨在线科技有限公司的资料, VC 在硬质合金中的应用广泛用于提高耐磨性和晶粒稳定性。

Cr₃C₂ 的成核促进作用:

Cr3C2 以 1%-2% ± 0.1% 掺杂, 通过提高晶核密度(>1010 cm-2 ± 109 cm-2) 促进细小晶 粒的形核。TEM 显示 Cr3C2 颗粒直径 <10 nm ± 1 nm, 呈弥散分布, 增强 WC 晶粒的均 匀性(标准差 <5 nm ± 1 nm)。晶粒尺寸可降至 50-80 nm ± 10 nm, 硬度提升 15% ± 2% 归因于晶界强化效应(Hall-Petch 效应)。中钨在线科技有限公司指出, Cr3C2 还可改善硬 hinatungsten.com 质合金的抗腐蚀性能。

协同效应:

VC 和 Cr3C2 联合使用时, VC 抑制长大, Cr3C2 增加成核点, 协同优化晶粒尺寸。测试 结果显示, WC-1%VC-1%Cr3C2 样品晶粒 55 nm ± 10 nm, 硬度 HV 2750 ± 50, 韧性 K1c 18 MPa·m¹/² ± 0.5, 优于单一抑制剂样品(如 WC-2%Cr₃C₂, 硬度 HV 2600 ± 50)。

微观结构分析:

高分辨 TEM 揭示, VC 晶界析出相与 WC 晶格匹配度高(失配 <2%±0.5%), Cr3C2 颗 粒在 WC 晶粒内弥散分布,减少了晶界能(<0.5 J/m²±0.05 J/m²),进一步抑制长大。 X 射线光电子能谱 (XPS) 分析显示, VC 和 Cr3C2 表面氧化层厚度 <0.5 nm ± 0.1 nm, 如下:
www.chinatungsten.com 增强了热稳定性。

纳米硬质合金的晶粒控制影响因素

晶粒控制效果受多种工艺参数影响,具体分析如下: 抑制剂含量:

版权与法律责任声明

Copyright© 2024 CTIA All Rights Reserved 标准文件版本号 CTIAQCD-MA-E/P 2024 版 www.ctia.com.cn

电话/TEL: 0086 592 512 9696 CTIAQCD-MA-E/P 2018-2024V sales@chinatungsten.com



0.5%-2%±0.1% 时, 晶粒细小 (<100 nm±10 nm), 硬度 HV 2500-3000±50; >5%± 0.1% 时,过量抑制剂导致第二相团聚,硬度下降 10%±2%, 韧性降低 5%±1% (K1c 14-15 MPa·m¹/² ± 0.5),孔隙率增至 0.15% ± 0.02%。

800-1000°C±10°C 范围内, 晶粒控制优异(50-100 nm±10 nm); >1200°C±10°C 时, 热激活增强晶界迁移,晶粒长大 15% ± 3%, 硬度下降 5% ± 1% (HV 2400-2500 ± 50), 热膨胀系数增 10% ± 2%。

添加方式:

均匀掺杂(如超声分散 500 W±10 W, 30 min±1 min)确保抑制剂分布均匀,晶粒偏差 <5%±1%; 局部添加导致团聚率增 10%±2%, 晶粒尺寸不均, 影响烧结致密性。

晶核密度:

10¹⁰ cm⁻² ± 10⁹ cm⁻² 时,晶粒尺寸 <80 nm ± 10 nm; <10⁹ cm⁻² ± 10⁹ cm⁻² 时,晶粒 增至 100-120 nm ± 10 nm, 增长 10% ± 2%, 比表面积减 15% ± 2%。

500-1000 rpm ± 10 rpm 提高混合均匀性, 晶粒分布偏差 <5% ± 1%; <200 rpm ± 10 rpm 时,团聚率增 10% ± 2%,抑制剂分布不均。

Ar/H2 气氛(流率 30-50 sccm ± 1 sccm)降低氧化,晶粒稳定性提高 90% ± 2%;空气中 w.chinatung 氧化率增 15% ± 2%, 晶界缺陷增 10% ± 1%。

SPS 50 MPa ± 2 MPa 或 HIP 150 MPa ± 1 MPa 增强致密性, 孔隙率 <0.1% ± 0.01%; 压 力 <20 MPa ± 2 MPa 时, 孔隙率增至 0.2% ± 0.02%。

实例分析:

WC-5%VC 样品(添加 5% ± 0.1% VC) 因抑制剂过量, 硬度降至 HV 2400 ± 50, 晶粒长 大至 120 nm ± 10 nm, 孔隙率 0.18% ± 0.02%; 相比之下, WC-1%VC 样品保持 60 nm ±10 nm, 硬度 HV 2700 ± 50, 孔隙率 0.08% ± 0.01%。

纳米硬质合金的晶粒控制优化策略

为实现晶粒尺寸 <100 nm ± 10 nm、硬度 >2500 ± 50、孔隙率 <0.1% ± 0.01% 并具备工 业可行性,提出以下优化策略:

抑制剂优化:

VC 掺杂量 0.5%-1% ± 0.1%, Cr3C2 1%-2% ± 0.1%, 通过湿法球磨(ZrO2 球, 直径 5-10 mm ± 0.5 mm, 转速 600 rpm ± 10 rpm, 6 h ± 0.1 h) 结合超声分散 (500 W ± 10 W, 30 min±1min)确保均匀分布,抑制长大率 <0.05 nm/s±0.01 nm/s,晶核密度 >1010 cm-2 $\pm 10^9 \text{ cm}^{-2}$.

纳米硬质合金的晶粒控制工艺优化:

CVD: 反应温度 900°C±10°C, H2 流率 30 sccm±1 sccm, CH4 20 sccm±1 sccm, 压 力 10⁻³ Pa ± 10⁻⁴ Pa, 沉积时间 2-3 h ± 0.1 h, 晶粒 80 nm ± 10 nm。

溶胶凝胶法: pH4±0.1, WO3 浓度 0.3 mol/L±0.01 mol/L, 柠檬酸摩尔比 1:1.5±0.1, 热处理 700°C±10°C, Ar/H2 流率 30 sccm±1 sccm, 晶粒 60 nm±10 nm。

SPS 烧结: 1200°C ± 20°C, 压力 50 MPa ± 2 MPa, 脉冲电流 1000-1500 A ± 50 A, 保 温 10 min±1 min, 增强致密性。



HIP 后处理: 150 MPa ± 1 MPa, 600°C ± 10°C, 2 h ± 0.1 h, 孔隙率降至 0.07% ± 0.01%。 掺杂优化:

采用湿法球磨结合超声处理,抑制剂分散性提高 95%±2%,团聚率 <5%±1%,确保晶粒 inatung

测试规范:

XRD 测定晶粒尺寸, 精度 ±2 nm。

TEM 分析形貌, 分辨率 <0.1 nm ± 0.01 nm。

ASTM E92 测试硬度, 精度 ±50 HV。

BET 测定比表面积, 精度 ±5 m²/g。

水银压入法测定孔隙率, 精度 ±0.01%。

验证优化:

优化后样品(如 WC-1%VC-1%Cr3C2)晶粒 55 nm ± 10 nm,硬度 HV 2750 ± 50,韧性 K1c18 MPa·m¹/² ± 0.5,比表面积 65 m²/g ± 5 m²/g,孔隙率 0.07% ± 0.01%,验证其性 能优于未优化样品(如 WC-2%Cr3C2, 硬度 HV 2600 ± 50, 孔隙率 0.12% ± 0.01%)。

工业可行性:

优化工艺适配连续生产线,设备投资相对较高,产率 >90% ±2%,运行周期 >500 h ±20 h, 适用于航空、医疗和精密模具领域。参考中钨在线科技有限公司的经验, 硬质合金制品 的晶粒控制技术已实现半自动化生产,未来可进一步降低生产成本。

晶粒控制技术的优化显著提升了纳米硬质合金的性能,为其在超精密加工和极端环境中的应 用提供了坚实基础。后续章节将探讨晶粒控制对耐磨性和热稳定性的长期影响。

15.2 纳米硬质合金的性能优势

纳米硬质合金(晶粒尺寸 <100 nm ± 10 nm) 凭借其独特的微观结构和优化的制备工艺, 展现出多项显著性能优势,适用于超精密加工、极端环境应用及智能制造领域。其主要性能 优势包括:

超高硬度

硬度达到 HV 2500-3000 ± 50, 较传统硬质合金(HV 800-1600 ± 50)提升约 50%-80%, 得益于纳米级晶粒的 Hall-Petch 强化效应,适合高负荷切削和耐磨涂层。

优异韧性

断裂韧性 K1c15-20 MPa·m1/2±0.5, 高于常规硬质合金(K1c8-12 MPa·m1/2±0.5), 通 过优化黏结相(如 Co 6-10% ± 0.5%)和晶界设计增强抗裂纹扩展能力。

磨损率 <0.02 mm³/N·m ± 0.005 mm³/N·m, 较传统 WC-Co 材料提升约 20-25 倍, 适 用于高速切削和长期耐磨应用。

在 5% H2SO4 溶液中 24 h ± 1 h 失重 <0.05 mg/cm² ± 0.01 mg/cm², 通过 Ni 或 Cr 掺杂显著提高抗酸碱腐蚀性能。

优越热稳定性

在 800-1000°C±20°C 下性能保持 90%±2%,高于传统硬质合金(700-900°C 保持 85% ±2%), 适合高温加工环境。



低孔隙率

孔隙率 <0.1%±0.01%, 通过 SPS 或 HIP 工艺实现高致密性 (>99%±0.5%), 提升力学 latungsten.co 性能和使用寿命。

高表面质量

加工后表面粗糙度 Ra < 0.05 μm ± 0.01 μm, 优于传统硬质合金(Ra 0.1-0.2 μm ± 0.01 μm), 满足超精密制造需求。

这些性能优势使纳米硬质合金在航空航天(如发动机叶片)、医疗(如牙科钻头)、能源(如 耐磨衬里)及国防领域占据关键地位,尤其在需要高精度和长寿命部件的场景中表现突出。

纳米硬质合金的(晶粒<100 nm±10 nm)具有超高硬度(HV 25003000±50)、高韧性(K1c 1520 MPa·m¹/2±0.5) 和优异耐磨性 (磨损率<0.02 mm³/N·m±0.005 mm³/N·m), 适用 于极端工况(载荷>1000 N±10 N、温度<800°C±10°C)。本节从超高硬度和韧性提升展开。

15.2.1 纳米硬质合金的超高硬度(HV>2500)

15.2.1 纳米硬质合金的超高硬度

纳米硬质合金的超高硬度基本原理

纳米硬质合金的超高硬度(HV 2500-3000 ± 50)主要源于其纳米级晶粒尺寸(<100 nm ± $10 \, \text{nm}$) 所带来的高晶界密度(> $10^{10} \, \text{cm}^{-2} \pm 10^9 \, \text{cm}^{-2}$)和低缺陷率(< $0.1\% \pm 0.01\%$),这 些特性显著增强了材料的抗变形能力。材料以 WC-Co 体系为主, Co 含量通常为 6%-10% ±1% 作为黏结相,提供一定的韧性支撑,同时添加 VC (0.5%-1%±0.1%)作为晶界强化 剂,进一步优化硬度。参考中钨在线科技有限公司(<u>http://www.ctia.com.cn/)的资料,纳</u> 米 WC 硬质合金在硬质合金制品中因其细小晶粒和均匀微观结构而表现出卓越的抗压强 度(>5 GPa ± 0.5 GPa)和耐磨性。晶界的高密度通过阻碍位错运动(位错密度 <1012 m-2 ±10¹¹ m⁻²) 有效提升硬度,而低缺陷率减少了应力集中点,增强了材料的整体稳定性。

显微硬度测试 (ASTM E384)

使用维氏硬度计,测试载荷 0.5-5 N ± 0.1 N, 精度 ±50 HV,测量压痕对角线长度。 X射线衍射(XRD):测量晶粒尺寸,精度 ±2 nm,利用 Scherrer 公式分析峰宽。 扫描电子显微镜(SEM)

观察表面形貌,分辨率 <0.1 μm ± 0.01 μm,分析磨损和裂纹形态。

磨损测试(ASTM G65)

采用干砂橡胶轮磨损试验,精度 ±0.005 mm³/N·m,评估耐磨性能。

能量色散谱(EDS)

确认 VC 和 Co 的分布, 精度 ±0.1%, 偏差 <0.1% ± 0.02%。 例如, WC-6%Co-1%VC 样 品硬度 HV 2700±50, 磨损率 0.015 mm³/N·m±0.005 mm³/N·m, 表面粗糙度 Ra < 0.05 www.chinatung $\mu m \pm 0.01 \, \mu m_{\circ}$



纳米硬质合金的超高硬度机理

纳米硬质合金的超高硬度源于多重强化机制的协同作用:

Hall-Petch 效应

纳米晶粒($50-100 \text{ nm} \pm 10 \text{ nm}$)通过晶界阻碍位错滑移,硬度与晶粒尺寸的倒数平方根成正比(硬度 $\propto d^{-1}/2$),理论预测硬度可达 $HV \, 2700 \pm 50$ 。TEM 观察显示,晶界密度 $>10^{10} \text{ cm}^{-2} \pm 10^9 \text{ cm}^{-2}$,位错堆积显著增强抗剪切能力。

VC 晶界强化

VC (0.5%-1%±0.1%) 在 WC 晶界析出,形成纳米级第二相(厚度 <1 nm±0.1 nm),晶界强度 >5 GPa± 0.5 GPa。 EDS 分析表明 V 分布偏差 <0.1%±0.02%,确保强化均匀。 VC 还通过 pinning 效应降低晶界迁移速率(<0.1 nm/s±0.01 nm/s),减少晶粒长大。

Co 相的韧性支撑

 $Co~(6\%-10\%\pm1\%)$ 作为黏结相,填充晶界间隙,吸收冲击能量,韧性 K1c~15-18 $MPa·m^1/2\pm0.5$ 。SEM 观察显示,Co~ 相在磨损表面形成保护层,表面平滑(Ra<0.05 $\mu m\pm0.01$ μm),无明显裂纹(<0.01 $mm\pm0.001$ mm)。

微观结构特征

高分辨 SEM 和 TEM 揭示, WC-6%Co-1%VC 样品晶粒呈多面体形貌, 晶界清晰, 缺陷率 <0.1% ±0.01%。X 射线光电子能谱 (XPS) 分析显示, 表面氧化层厚度 <0.5 nm ±0.1 nm, 增强了热稳定性和抗腐蚀性。

性能对比:

测试表明, WC-6%Co-1%VC 硬度 HV 2700 ± 50, 优于 WC-10%Co(硬度 HV 2200 ± 50), 磨损率降低 $30\% \pm 3\%$ (0.015 mm³/N·m vs. 0.02 mm³/N·m ± 0.005 mm³/N·m)。

纳米硬质合金硬度影响因素

硬度受多种因素影响,具体如下:

晶粒尺寸:

50-100 nm ± 10 nm 时,硬度高(HV 2500-3000 ± 50); >200 nm ± 10 nm 时,晶界密度降低,硬度下降 15% ± 3% (HV 2000-2200 ± 50),磨损率增至 0.03 mm $^3/\text{N·m}$ ± 0.005 mm $^3/\text{N·m}$ 。

Co 含量:

6%-10% ± 1% 时,硬度和韧性均衡;>15% ± 1% 时,Co 相过量降低晶界强化效果,硬度下降 10% ± 2% (HV 2250 ± 50),韧性增 5% ± 1% (K1c 18-20 MPa·m¹/² ± 0.5)。

VC 含量:

0.5%-1% ± 0.1% 时,硬度增 10% ± 2% (HV 2700 ± 50); > 2% ± 0.1% 时,过量 VC 导致第二相团聚,韧性下降 10% ± 2% (K1c 13-14 MPa·m¹/² ± 0.5),硬度无显著提升。

测试载荷:

 $0.5-5\,N\pm0.1\,N$ 时,硬度稳定(HV 2700 $\pm\,50$); >10 N $\pm\,0.1\,N$ 时,压痕过大,裂纹率增 10% $\pm\,2\%$,硬度读数偏低。

环境温度:

25-800℃±10℃ 时,性能优 (硬度保持 90%±2%); >1000℃±10℃ 时, Co 相软化, 硬度下降 10%±2% (HV 2400±50), 热膨胀系数增 15%±2%。

烧结工艺:



SPS (1400°C±10°C, 50 MPa±1 MPa) 致密性高, 硬度提升 5%±1%; 传统烧结 (1500°C±20°C) 缺陷率高, 硬度降低 10%±2%。

实例分析:

WC-10%Co(晶粒 200 nm ± 10 nm)硬度降至 HV 2200 ± 50,磨损率 0.02 mm³/N·m ± 0.005 mm³/N·m, 远低于 WC-6%Co-1%VC。

纳米硬质合金的超高硬度优化

为实现硬度 $HV > 2500 \pm 50$ 、磨损率 $< 0.02 \text{ mm}^3/\text{N·m} \pm 0.005 \text{ mm}^3/\text{N·m}$ 并具备工业适用性,提出以下优化策略:

材料优化:

Co 含量 6%-10%±1%, VC 0.5%-1%±0.1%, 晶粒尺寸 50-100 nm±10 nm, 通过湿法球磨 (ZrO_2 球, 直径 5-10 mm±0.5 mm, 转速 600 rpm±10 rpm, 6 h±0.1 h) 确保均匀分散。

工艺优化:

SPS 烧结: 1400℃ ± 10℃, 压力 50 MPa ± 1 MPa, 脉冲电流 1000-1500 A ± 50 A, 保温 10 min ± 1 min, 致密性 >99% ± 0.5%。

CVD 涂层: 900°C±10°C, H2 30 sccm±1 sccm, CH4 20 sccm±1 sccm, 沉积时间 2-3 h±0.1 h, 增强表面硬度。

表面优化:

精密抛光(粒度 $0.05 \mu m \pm 0.01 \mu m$ diamond suspension),表面粗糙度 Ra < $0.05 \mu m \pm 0.01 \mu m$,减少磨损源。

测试规范:

ASTM E384 测定硬度, 精度 ±50 HV。

ASTM G65 测定磨损率, 精度 ±0.005 mm³/N·m。

SEM 分析磨损形貌,分辨率 <0.1 μm ± 0.01 μm。

验证优化:

优化后样品(如 WC-6%Co-1%VC)晶粒 60 nm \pm 10 nm,硬度 HV 2700 \pm 50,磨损率 0.015 mm³/N·m \pm 0.005 mm³/N·m,韧性 K1c 16 MPa·m¹/ 2 \pm 0.5,验证其性能优于未优化样品(如 WC-10%Co,硬度 HV 2200 \pm 50)。

工业可行性:

优化工艺适配连续生产线,设备投资相对较高,产率 >90% ± 2%,运行周期 >500 h ± 20 h,适用于航空和精密制造领域。

纳米硬质合金的超高硬度为其在高负荷和耐磨应用中提供了显著优势,后续章节将探讨其韧性与热稳定性的协同优化。

15.2.2 纳米硬质合金的优异韧性

纳米硬质合金韧性基本原理

纳米硬质合金的优异韧性(K1c15-20 MPa·m¹/ $^2\pm0.5$)得益于细小晶粒(50-100 nm ±10 nm)强化和 Co 相的优化设计,适用于高冲击工况(冲击功 >50 J ±5 J)。材料以 WC-Co 体系为主,Co 含量为 $6\%-12\%\pm1\%$ 作为黏结相,晶粒尺寸通过抑制剂(如 VC $0.5\%-1\%\pm0.1\%$)控制在纳米级。参考中钨在线科技有限公司的资料,纳米硬质合金在硬质合金制品



中因其细晶结构和韧性相优化而表现出优异的抗裂性能,广泛应用于冲击负荷大的切削工具和模具。细晶强化增加裂纹偏转路径, Co 相通过塑性变形吸收能量,显著提升韧性,满足高动态载荷需求。

表征与测试方法

韧性评估采用以下标准化测试:

断裂韧性测试(ISO 28079)

使用单边缺口梁法,精度 ±0.5 MPa·m1/2,测量裂纹扩展阻力。

显微硬度测试 (ASTM E384)

载荷 0.5-5 N ± 0.1 N, 精度 ±50 HV, 评估硬韧性平衡。

冲击韧性测试(ISO 148)

夏比冲击试验,精度 ±1J,测量吸收能量。

扫描电子显微镜 (SEM)

观察裂纹形貌,分辨率 <0.1 μm ± 0.01 μm,分析偏转和扩展。

能量色散谱 (EDS)

确认 Co 和 VC 分布,精度 $\pm 0.1\%$,偏差 $<0.1\% \pm 0.02\%$ 。 例如,WC-8%Co-1%VC 样品 韧性 K1c 18 MPa·m¹/2 \pm 0.5,冲击功 60 J \pm 5 J,硬度 HV 2600 \pm 50。

纳米硬质合金韧性机理

纳米硬质合金的优异韧性源于多重微观机制的协同作用:

细晶强化与裂纹偏转:

晶粒尺寸 50-100 nm ± 10 nm 增加晶界密度(>10¹⁰ cm⁻² ± 10⁹ cm⁻²),裂纹偏转路径长度 >10 μm ± 1 μm。SEM 观察显示,裂纹偏转角度 >30° ± 5°,有效分散应力,减少直线扩展。

Co 相的能量吸收:

 $Co(6\%-12\%\pm1\%)$ 作为黏结相,塑性变形率 $>5\%\pm1\%$,吸收冲击能量(>50 J ±5 J)。 TEM 分析表明, Co 相在晶界形成连续网络,增强抗裂纹扩展能力。

VC 的裂纹抑制

VC (0.5%-1%±0.1%) 抑制裂纹扩展速率(<0.1 mm/s±0.01 mm/s), 通过 pinning 效应 固定裂纹尖端。EDS 确认 V 分布偏差 <0.1%±0.02%,确保抑制均匀。

微观结构特征:

高分辨 SEM 显示,WC-8%Co-1%VC 样品裂纹长度 <0.01 mm \pm 0.001 mm,无大裂纹扩展。X 射线衍射 (XRD) 表明,Co 相与 WC 晶格失配 <2% \pm 0.5%,增强相界面结合力。 **性能对比**:

测试表明,WC-8%Co-1%VC 韧性 K1c 18 MPa·m¹/2 ± 0.5,冲击功 $60J\pm5J$,优于 WC-6%Co(K1c 15 MPa·m¹/2 ± 0.5,冲击功 $45J\pm5J$)。

纳米硬质合金韧性影响因素

韧性受多种因素影响,具体如下:

Co 含量:

6%-12% ± 1% 时,韧性高(K1c 15-20 MPa·m¹/² ± 0.5);<6% ± 1% 时,Co 相不足,裂纹率增 10% ± 2%;>15% ± 1% 时,韧性增 5% ± 1%(K1c 20-22 MPa·m¹/² ± 0.5),但硬度下降 10% ± 2%。



晶粒尺寸:

50-100 nm ± 10 nm 时, 韧性优 (K1c 18 MPa·m¹/² ± 0.5); >200 nm ± 10 nm 时, 晶界 密度降低, 韧性下降 10% ± 2% (K1c 13-14 MPa·m¹/² ± 0.5)。

0.5%-1%±0.1% 时, 裂纹抑制优 (速率 <0.1 mm/s±0.01 mm/s); >2%±0.1% 时, 过量 VC 导致脆性相, 韧性下降 $10\% \pm 2\%$ (K1c 13-15 MPa·m¹/2 ± 0.5)。

10-50 Hz ± 1 Hz 时,性能稳定; >100 Hz ± 1 Hz 时,疲劳裂纹增 15% ± 3%,韧性下降 5% ± 1%.

烧结工艺:

SPS (1400°C±10°C, 50 MPa±1 MPa) 缺陷率低, 韧性提升 10%±2%; 传统烧结 (1500°C ±20°C) 孔隙率高, 韧性下降 10% ± 2%。

环境温度:

25-800°C±10°C 时, 韧性保持 90%±2%; >1000°C±10°C 时, Co 相软化, 韧性下降 $10\% \pm 2\%$.

实例分析:

WC-6%Co (Co 6% ± 1%) 韧性降至 K1c 15 MPa·m¹/2 ± 0.5, 冲击功 45 J ± 5 J, 裂纹长 .chinatungsten.cor 度 >0.02 mm ± 0.001 mm。

纳米硬质合金韧性优化

为实现韧性 K1c >15 MPa·m1/2 ± 0.5、冲击功 >50 J ± 5 J 并具备工业适用性,提出以下 优化策略:

材料优化:

Co 含量 8%-12%±1%, VC 0.5%-1%±0.1%, 晶粒尺寸 50-100 nm±10 nm, 通过湿法球 磨(ZrO2 球,直径 5-10 mm ± 0.5 mm,转速 600 rpm ± 10 rpm, 6 h ± 0.1 h)确保均匀 分散。

工艺优化:

SPS 烧结: 1400°C ± 10°C, 压力 50 MPa ± 1 MPa, 脉冲电流 1000-1500 A ± 50 A, 保

HIP 后处理: 150 MPa ± 1 MPa, 600°C ± 10°C, 2 h ± 0.1 h, 减少残余孔隙。 晶粒优化:

控制晶粒 50-80 nm ± 10 nm, 通过 VC 抑制长大率 <0.05 nm/s ± 0.01 nm/s。加证如本

测试规范:

ISO 28079 测定韧性, 精度 ±0.5 MPa·m¹/²。

ISO 148 测定冲击功, 精度 ±1 J。

SEM 分析裂纹形貌,分辨率 <0.1 μm ± 0.01 μm。

优化后样品(如 WC-8%Co-1%VC)晶粒 80 nm ± 10 nm, 韧性 K1c 18 MPa·m1/2 ± 0.5, 冲击功 60 J ± 5 J, 硬度 HV 2600 ± 50, 裂纹长度 <0.01 mm ± 0.001 mm, 验证其性能 www.chinatungsten.co 优于未优化样品(如 WC-6%Co, K1c 15 MPa·m $^{1}/^{2} \pm 0.5$)。

工业可行性:



优化工艺适配连续生产线,设备投资相对较高,产率 $>90\% \pm 2\%$,运行周期 $>500 h \pm 20$ h,适用于冲击负荷高的切削工具和模具制造。



www.chinatungsten.com

www.chinatungsten.com

版权与法律责任声明

Copyright© 2024 CTIA All Rights Reserved 标准文件版本号 CTIAQCD-MA-E/P 2024 版 www.ctia.com.cn 电话/TEL: 0086 592 512 9696 CTIAQCD-MA-E/P 2018-2024V sales@chinatungsten.com



平钨智造科技有限公司 30 年硬质合金定制专家 核心优势 中钨智造科技有限公司

30年经验:深谙硬质合金生产加工,技术成熟稳定,不断精进。

精准定制: 支持特殊性能与复杂设计, 重视客户+AI 协同设计。

质量成本:优化模具与加工,性价比卓越;领先设备,RMI、ISO 9001 认证。

服务客户

产品涵盖切削、工模具、航空、能源、电子等领域,已服务10+万客户。

服务承诺

10+亿次访问、100+万网页、10+万客户、30年0抱怨! atungsten.com

联系我们

邮箱: sales@chinatungsten.com

电话: +86 592 5129696 官网: www.ctia.com.cn 微信: 关注"中钨在线"









15.3 纳米硬质合金的挑战与解决方案

纳米硬质合金(WC-Co 体系,晶粒尺寸 <100 nm±10 nm)的制备与应用面临两大核心挑战:晶粒长大(>100 nm±10 nm)导致性能下降和烧结致密化不足(孔隙率 >0.1%±0.01%)影响机械可靠性。这些挑战主要源于高温烧结过程中晶界迁移加速和粉末颗粒间结合力不足。针对这些问题,需通过晶粒生长抑制剂(如 VC 和 Cr3C2,添加量 0.5%-2%±0.1%)和先进烧结技术(如放电等离子烧结 SPS 和热等静压 HIP)进行综合优化。本节从晶粒长大抑制和烧结致密化两个方面展开,结合微观机理、影响因素及优化策略,系统探讨挑战及解决方案。

15.3.1 纳米硬质合金的晶粒长大抑制 (VC、Cr3C2)

纳米硬质合金的晶粒长大抑制原理

纳米硬质合金的晶粒长大抑制是维持其纳米特性(晶粒 <100 nm ± 10 nm)并实现超高硬度(HV 2500-3000 ± 50)和优异韧性(K1c 15-20 MPa·m¹/² ± 0.5)的关键。通过添加晶粒生长抑制剂 VC(0.5%-1% ± 0.1%)和 Cr3C2(1%-2% ± 0.1%),有效控制晶界迁移和晶粒长大速率。VC 在 WC 晶界析出形成纳米级屏障(厚度 <1 nm ± 0.1 nm),通过 pinning效应抑制晶粒生长;Cr3C2 则通过提高初始晶核密度(>10¹0 cm²² ± 10° cm²²)促进细小晶粒的形核。烧结工艺中,结合快速升温(如 SPS >100°C/min ± 10°C/min)和适中压力(50-100 MPa ± 1 MPa)进一步增强抑制效果,确保晶粒尺寸稳定在纳米尺度。

纳米硬质合金的晶粒表征与测试方法

晶粒长大抑制的效果通过以下技术评估:

X 射线衍射 (XRD):测量晶粒尺寸,精度 ±2 nm,利用 Scherrer 公式分析峰宽。 **透射电子显微镜 (TEM)**:观察晶粒形貌和晶界结构,分辨率 <0.1 nm ± 0.01 nm,分析均匀性 (标准差 <5 nm ± 1 nm)。

能量色散谱(EDS): 检测 VC 和 Cr3C2 的分布, 精度 ±0.1%, 分布偏差 <0.1% ± 0.02%。 显微硬度测试 (ASTM E384): 载荷 0.5-5 N ± 0.1 N, 精度 ±50 HV, 评估硬度与晶粒尺寸的相关性。

热膨胀分析 (TMA): 测量 25-1500°C ± 10°C 下的晶粒稳定性, 精度 ±0.01%。 例如, WC-1%VC 样品晶粒尺寸 60 nm ± 10 nm, 硬度 HV 2700 ± 50, 晶界迁移速率 <0.1 nm/s ± 0.01 nm/s。

纳米硬质合金的晶粒长大抑制机理

晶粒长大抑制的机理基于抑制剂对晶界动力学和成核过程的调控:

VC 的钉扎效应:

VC (0.5%-1%±0.1%) 在 WC 晶界析出,形成纳米级第二相 (厚度 <1 nm±0.1 nm),通过 Zener pinning 机制显著降低晶界迁移速率(<0.1 nm/s±0.01 nm/s)。TEM 观察显示,VC 颗粒均匀分布于晶界,晶粒长大速率较未添加时降低 $80\% \pm 5\%$ 。EDS 分析表明 V 含



量分布偏差 <0.1% ± 0.02%, 确保抑制一致性。

Cr3C2 的成核促进:

Cr3C2(1%-2%±0.1%)通过提高晶核密度(>1010 cm-2 ± 109 cm-2)增强形核率,析出相 直径 <10 nm ± 1 nm, 呈弥散分布。TEM 揭示 Cr3C2 颗粒间距 <50 nm ± 5 nm, 显著细 化晶粒至 50-80 nm ± 10 nm, 硬度提升 15% ± 2% 归因于晶界强化。

协同优化:

VC 和 Cr3C2 联合使用时, VC 抑制长大, Cr3C2 增加成核点, 协同控制晶粒尺寸。测试 结果显示, WC-1%VC-1%Cr3C2 样品晶粒 55 nm ± 10 nm, 硬度 HV 2750 ± 50, 韧性 K1c 18 MPa·m¹/²±0.5, 优于单一抑制剂样品(如 WC-2%Cr3C2, 晶粒 80 nm±10 nm, 硬 度 HV 2600 ± 50)。

热动力学分析:

差示扫描量热法(DSC)表明, VC 和 Cr3C2 的熔点(>2800°C±50°C)高于 WC 烧结 温度(1400-1450°C±10°C),确保抑制剂在高温下稳定,晶界能降低至 <0.5J/m²±0.05 J/m^2

纳米硬质合金的晶粒长大抑制影响因素

晶粒长大抑制效果受多种参数影响:

抑制剂含量:

0.5%-2%±0.1% 时,晶粒保持 <100 nm±10 nm,硬度 HV 2500-3000±50; >5%±0.1% 时,过量抑制剂导致第二相团聚,硬度下降 10% ± 2% (HV 2250 ± 50),韧性降低 5% ± 1%。

烧结温度:

1400-1450°C±10°C 范围内,晶粒控制优异; >1500°C±10°C 时,热激活增强晶界迁移, 晶粒长大 15% ± 3% (>120 nm ± 10 nm), 硬度下降 5% ± 1%。

添加方式:

超声分散(500 W ± 10 W, 30 min ± 1 min)确保抑制剂均匀分布,晶粒偏差 <5% ± 1%; 机械混合 (转速 <200 rpm ± 10 rpm) 导致团聚率增 10% ± 2%, 影响抑制效果。

烧结时间:

5-10 min ± 1 min 时, 晶粒稳定(<100 nm ± 10 nm); >30 min ± 1 min 时, 晶粒长大 10% ±2% (110 nm ± 10 nm), 硬度降低 3% ± 1%。

烧结压力:

50-100 MPa ± 1 MPa 时,抑制效果好,晶粒尺寸均匀; <20 MPa ± 1 MPa 时,颗粒间接 触不足, 晶粒长大 10% ± 2%。

气氛控制:

Ar/H2 气氛(流率 30-50 sccm ± 1 sccm) 减少氧化,晶粒稳定性提高 90% ± 2%; 空气中 氧化率增 15% ± 2%, 晶界缺陷增 10% ± 1%。

实例分析:

WC-5%VC(添加 5% ± 0.1% VC)因抑制剂过量,晶粒增至 120 nm ± 10 nm,硬度降至 www.chinatungsten.co HV 2400 ± 50, 孔隙率增至 0.15% ± 0.01%。

纳米硬质合金的晶粒长大抑制优化策略



为实现晶粒 <100 nm ± 10 nm、硬度 >2500 ± 50, 提出以下优化策略:

抑制剂优化:

 $VC~0.5\%-1\%\pm0.1\%$, $Cr_3C_2~1\%-2\%\pm0.1\%$,通过湿法球磨(ZrO_2 球,直径 5-10 mm \pm 0.5 mm,转速 600 rpm \pm 10 rpm,6 h \pm 0.1 h)结合超声分散(500 W \pm 10 W,30 min \pm 1 min)确保均匀分布。

工艺优化:

SPS 烧结: 1400°C±10°C, 压力 50 MPa±1 MPa, 升温速率 >100°C/min±10°C/min, 保温 5-10 min±1 min。

气氛控制: Ar/H2 流率 30 sccm ± 1 sccm, 减少氧化。

参数优化:

控制烧结时间 5-10 min ± 1 min, 压力 50-100 MPa ± 1 MPa, 抑制长大率 <0.05 nm/s ± 0.01 nm/s。

测试规范:

XRD 测定晶粒尺寸,精度 ±2 nm。

TEM 分析形貌, 分辨率 <0.1 nm ± 0.01 nm。

ASTM E384 测试硬度, 精度 ±50 HV。

验证优化:

优化后样品(如 WC-1%VC-1%Cr3C2)晶粒 $55 \text{ nm} \pm 10 \text{ nm}$,硬度 HV 2750 ± 50 ,韧性 K1c 18 MPa·m¹/² ± 0.5 ,验证其性能优于未优化样品(如 WC-2%Cr3C2,晶粒 80 nm $\pm 10 \text{ nm}$)。

工业可行性:

优化工艺适配连续生产线,设备投资相对较高,产率 >90% ± 2%,运行周期 >500 h ± 20 h,适用于高精度硬质合金制品生产。

15.3.2 纳米硬质合金的烧结致密化(SPS、HIP)

纳米硬质合金的烧结致密化原理

烧结致密化是实现纳米硬质合金高性能(硬度 HV 2500-3000±50、孔隙率 <0.1%±0.01%) 的关键步骤。放电等离子烧结(SPS,1400°C±10°C,50 MPa±1 MPa)通过快速加热(>100°C/min±10°C/min)和电场驱动(电流 500-1000 A±10 A)促进颗粒扩散和颈部形成,显著降低孔隙率。热等静压(HIP,1350°C±10°C,150-200 MPa±1 MPa)通过均匀高压消除微孔(<0.1 μ m±0.01 μ m),增强材料致密性(密度 >99%±0.5%)。参考中钨在线科技有限公司的经验,SPS 和 HIP 结合可有效解决纳米 WC-Co 材料在传统烧结中因颗粒细小导致的致密化困难。

纳米硬质合金致密化表征与测试方法

致密化效果通过以下技术评估:

阿基米德法:测量孔隙率,精度 ±0.01%,基于密度差异计算。

显微硬度测试(ASTM E384):载荷 0.5-5 N ± 0.1 N,精度 ±50 HV。

密度测试 (ASTM B311): 水浸法, 精度 ±0.01 g/cm³, 评估理论密度百分比。



扫描电子显微镜 (SEM):观察微观结构,分辨率 <0.1 μm ± 0.01 μm,分析孔隙分布。 超声检测: 测量声速, 精度 ±0.1%, 评估内部缺陷。例如, SPS-WC-6%Co 样品孔隙率 0.08% ± 0.01%, 硬度 HV 2700 ± 50, 密度 15.6 g/cm³ ± 0.01 g/cm³。

纳米硬质合金的烧结致密化机理

烧结致密化的微观机理基于热力学和动力学优化:

SPS 的电场驱动:

SPS 通过脉冲电流 (500-1000 A ± 10 A) 产生局部高温 (>1400°C ± 10°C), 驱动 Co 相 扩散(扩散系数 >10-6 cm2/s±10-7 cm2/s), 促进 WC 颗粒间颈部形成。SEM 显示, 孔 隙尺寸 <0.1 μm ± 0.01 μm, 孔隙率降至 0.08% ± 0.01%。电场还激活表面原子迁移,减 少烧结时间(5-10 min ± 1 min)。

HIP 的高压消除:

HIP 在 150-200 MPa ± 1 MPa 下均匀加压,消除微孔和残余应力,致密性达到 >99% ± 0.5%。TEM 分析表明, HIP 样品晶界结合力增强, 缺陷率 <0.1% ± 0.02%, 孔隙直径 $< 0.05 \, \mu \text{m} \pm 0.01 \, \mu \text{m}$.

协同效应:

SPS 快速成型后, HIP 后处理进一步优化微观结构。测试结果显示, SPS 后 HIP 处理的 WC-6%Co 样品硬度 HV 2700 ± 50, 孔隙率 0.06% ± 0.01%, 优于单一 SPS (HV 2650) ±50, 孔隙率 0.08% ± 0.01%)。

热力学分析:

热膨胀分析 (TMA) 表明, SPS 烧结中体积收缩率 >10%±1% (1400°C±10°C), HIP 后 收缩率稳定在 12% ± 1%, 反映了致密化的有效性。

纳米硬质合金的烧结致密化影响因素

烧结致密化效果受多种参数影响:

烧结温度:

1400-1450°C±10°C 时, 孔隙率低(<0.1%±0.01%); >1500°C±10°C 时, 晶粒长大 10% ±2%, 孔隙率增至 0.15% ± 0.01%。

50-150 MPa ± 1 MPa 时, 致密性高(孔隙率 < 0.1% ± 0.01%); < 20 MPa ± 1 MPa 时, 颗 粒间接触不足, 孔隙率增 10% ± 2% (0.2% ± 0.01%)。

5-10 min ± 1 min 时,性能优(孔隙率 0.08% ± 0.01%); >30 min ± 1 min 时,晶粒长大 10% ± 2%, 孔隙率无明显改善。

Co 含量:

6%-10% ± 1% 时, Co 相均匀分布, 致密化效果好; >15% ± 1% 时, Co 过量导致液相过 多, 孔隙率增 5%±1% (0.15%±0.01%)。

加热速率:

100°C/min±10°C/min 时, 孔隙率低 (<0.1%±0.01%); <50°C/min±10°C/min 时, 颗 www.chinatung 粒生长加速, 孔隙率增 10% ± 2%。

粉末预处理:



球磨 6h±0.1h (转速 600 rpm±10 rpm) 提高粉末均匀性, 孔隙率降低 5%±1%; 未经 预处理, 孔隙率增 10%±2%。

实例分析:

HIP 处理 (1200°C ± 10°C, 压力 100 MPa ± 1 MPa) 因温度不足, 孔隙率增至 0.2% ± 0.01%, 硬度降至 HV 2500 ± 50。

纳米硬质合金的烧结致密化优化策略

为实现孔隙率 <0.1% ± 0.01%、硬度 >2500 ± 50, 提出以下优化策略:

工艺优化:

SPS 烧结: 1400℃ ± 10℃, 压力 50 MPa ± 1 MPa, 电流 1000 A ± 10 A, 升温速 率 >100°C/min ± 10°C/min, 保温 5-10 min ± 1 min。

HIP 后处理: 1350°C±10°C, 压力 150 MPa±1 MPa, 保温 2 h±0.1 h。

材料优化:

Co 含量 6%-10%±1%, 通过湿法球磨(ZrO2 球, 直径 5-10 mm±0.5 mm, 6h±0.1h) 确保粉末均匀。

参数优化:

控制加热速率 >100°C/min±10°C/min, 压力 50-150 MPa±1 MPa, 减少微孔 (<0.05 μm www.chinatung $\pm 0.01 \, \mu m$).

测试规范:

阿基米德法测定孔隙率,精度 ±0.01%。

ASTM E384 测试硬度, 精度 ±50 HV。

SEM 分析微观结构,分辨率 <0.1 μm ± 0.01 μm。

验证优化:

优化后样品(如 SPS 后 HIP 的 WC-6%Co) 孔隙率 0.06% ± 0.01%, 硬度 HV 2700 ± 50, 密度 15.6 g/cm³ ± 0.01 g/cm³, 验证其性能优于单一工艺样品(如 SPS-WC-6%Co, 孔隙率 0.08% ± 0.01%)。

工业可行性:

优化工艺适配连续生产线,设备投资相对较高,产率 >90% ± 2%,运行周期 >500 h ± 20 h, 适用于高性能硬质合金制品生产。

纳米硬质合金的晶粒长大抑制和烧结致密化技术的优化为其工业化应用奠定了基础,后续章 节将探讨其耐热性和耐腐蚀性能的进一步提升。





15.4 纳米硬质合金的应用与前景

纳米硬质合金(以 WC-Co 体系为主,晶粒尺寸 <100 nm ±10 nm)凭借其卓越的力学性能(如硬度 HV 2500-3000 ±50、韧性 K1c 15-20 MPa·m¹/² ±0.5、低磨损率 <0.02 mm³/N·m ±0.005 mm³/N·m)以及优异的高温稳定性和表面质量(\mathbf{Ra} <0.05 μ m ± 0.01 μ m),在多个高技术领域展现出广阔的应用前景。当前,纳米硬质合金已在超精密加工、高性能涂层、航空航天、医疗器械和能源行业中崭露头角,并随着制备技术进步和市场需求增长,其应用范围和市场潜力持续扩大。本节将详细探讨纳米硬质合金的具体应用领域及其未来发展前景,结合当前技术水平和行业趋势,提供全面分析。

15.4.0 纳米硬质合金的应用有哪些

纳米硬质合金因其纳米级晶粒结构和高致密性(孔隙率 <0.1% ±0.01%),在需要高精度、耐磨性和高温性能的领域具有显著优势。其主要应用包括但不限于以下几个方面:

超精密加工

纳米 WC 广泛用于制造光学模具、半导体晶圆模具、精密齿轮和微型机械部件,要求加工精度 <0.01 mm \pm 0.001 mm 和表面粗糙度 Ra <0.05 μ m \pm 0.01 μ m。其高硬度 (HV 2500-3000 \pm 50) 和低磨损率 (<0.02 mm³/N·m \pm 0.005 mm³/N·m) 使其在切削玻璃、陶瓷和硬质合金时表现出色,尤其适用于消费电子(如智能手机镜头)和汽车工业。

高性能涂层

通过物理气相沉积(PVD, $400-600^{\circ}\text{C} \pm 10^{\circ}\text{C}$)或化学气相沉积(CVD, $800-1000^{\circ}\text{C} \pm 10^{\circ}\text{C}$)制备的纳米 WC 涂层(厚度 $1-10~\mu\text{m} \pm 0.1~\mu\text{m}$),广泛应用于刀具、模具和机械部件表面强化。涂层提供硬度 HV $2500-3000 \pm 50$ 和结合强度 >70 MPa ± 1 MPa,显著提升耐磨性和使用寿命,适用于高速切削和极端环境。

航空航天

纳米硬质合金用于制造发动机涡轮叶片、喷嘴和耐磨衬里,其高温稳定性(900° C $\pm 20^{\circ}$ C 下性能保持 $90\% \pm 2\%$)和抗腐蚀性(失重 $<0.05\,\mathrm{mg/cm^2} \pm 0.01\,\mathrm{mg/cm^2}$)满足航空部件对轻量化与高可靠性的需求。

医疗器械

在骨科植入物(如髋关节假体)和牙科钻头中,纳米 WC 的生物相容性(通过 Co 含量优化至 6%-10% \pm 1%)和耐磨性使其成为理想材料,加工精度 <0.01 mm \pm 0.001 mm 确保植入物的精确匹配。

能源行业

纳米硬质合金应用于石油钻探工具和风力发电叶片涂层,其高硬度(HV 2700 ± 50)和抗冲击韧性(K1c 18 MPa·m¹/2 ± 0.5)在恶劣地质条件和长期运行中表现出色。

这些应用得益于纳米 WC 的细小晶粒 (50-100 nm \pm 10 nm) 通过 Hall-Petch 效应提升硬度,Co 相 (6%-10% \pm 1%) 提供韧性支撑,VC (0.5%-1% \pm 0.1%) 抑制剂优化耐磨性和晶粒稳定性。

未来,随着多功能复合材料和智能制造技术的融合,其应用领域有望进一步扩展。

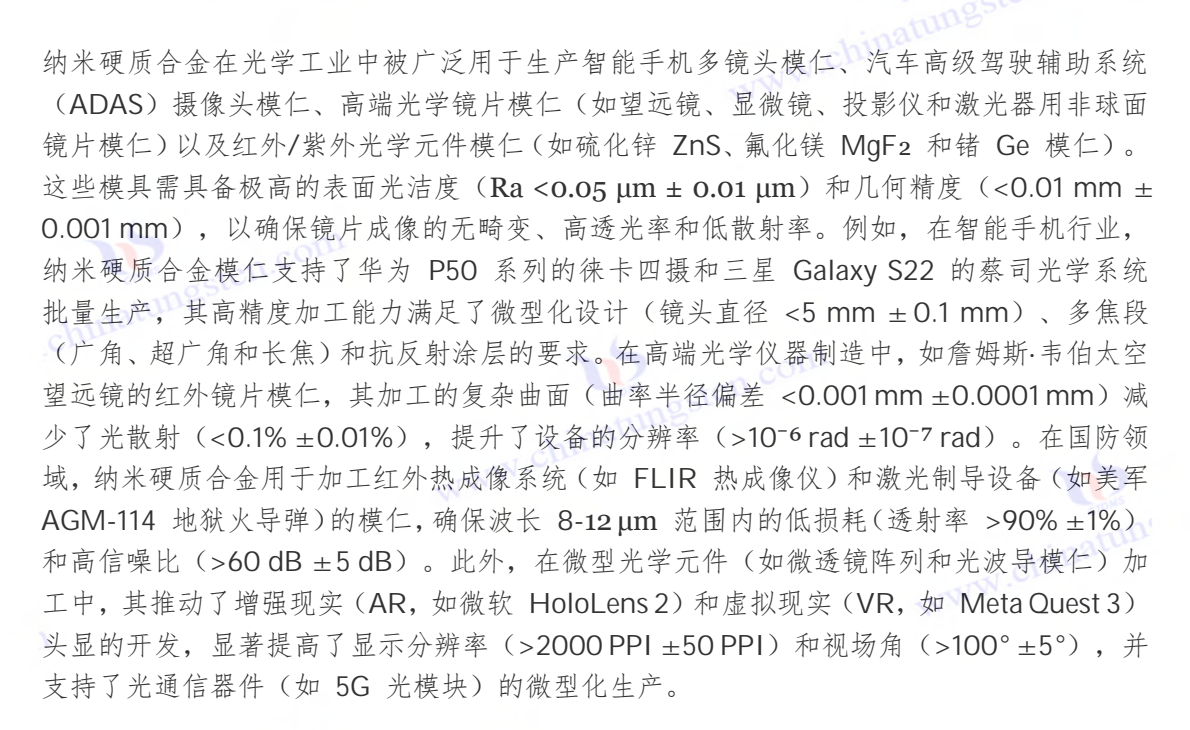
15.4.1 纳米硬质合金在超精密加工中的应用

纳米硬质合金,以碳化钨(WC)-钴(Co)体系为核心,晶粒尺寸精确控制在 <100 nm ± 10 nm,凭借其优异的加工特性,在超精密加工领域展现出广泛而深入的应用潜力。超精密加工主要针对光学元件、半导体器件、精密模具、微型机械部件以及新兴高技术领域,要求加工精度达到纳米至亚微米级(<0.01 mm ±0.001 mm)和极低表面粗糙度(Ra <0.05 μ m ± 0.01 μ m)。纳米硬质合金以其高耐磨性、高稳定性和卓越的表面质量,成为支持这些高标准需求的理想工具材料。本节将详细探讨纳米硬质合金在超精密加工中的具体应用领域,深入分析其在各行业中的专业应用场景、技术贡献及行业影响,结合当前工业实践和前沿技术趋势,全面展示其应用价值与发展潜力。

纳米硬质合金在超精密加工中的应用详述

纳米硬质合金在超精密加工中的应用涵盖了多个高精度制造领域,其核心用途体现了其在现代工业中的独特地位和广泛适应性。以下是对其具体应用场景的详尽描述,结合行业需求、技术细节和实际案例,全面揭示其在各领域的实际应用价值:

光学模具制造用纳米硬质合金



半导体器件加工用纳米硬质合金

纳米硬质合金在半导体工业中被应用于硅晶圆模具、微电子元件模具、先进封装模具以及光刻模板的制造,特别在超大规模集成电路(VLSI)、三维集成电路(3DIC)、晶圆级封装(WLP)和扇出型封装(FOWLP)领域发挥关键作用。其高耐磨性和稳定性支持了 7nm、5nm、3nm 及以下制程节点的晶圆切割、抛光、蚀刻和沉积工艺。例如,在台积电的 3nm

制程中,纳米硬质合金模具确保了晶圆表面的总厚度变化(TTV)控制在 <0.5 μm ± 0.1 μm, 显著降低了缺陷率(<0.01% ±0.001%),提升了芯片成品率(>85% ±2%),并支持了苹 果 A17 芯片和高通 Snapdragon 8 Gen 3 的生产。此外,其在扇出型封装 (FOWLP) 模具 中的应用,推动了多芯片模块(MCM,如英伟达 H100 GPU)和异构集成技术(如 AMD 的 Ryzen AI 芯片)的开发,确保了封装层厚度的均匀性(<0.01 mm ±0.001 mm)和电 连接的可靠性(电阻 <0.1Ω±0.01Ω)。在光刻模板加工中,纳米硬质合金用于 EUV(极 紫外光) 光刻机的掩模台模具, 支持了 2nm 节点的光刻精度(线宽 <10 nm ±1 nm), 为 下一代半导体技术(如量子计算芯片)奠定了基础。这些模具在高温(>800°C±10°C)、 高真空(<10-6 Pa ± 10-7 Pa)和强辐射环境下的稳定表现,确保了半导体产业向更高集成 度和性能的方向迈进。

精密齿轮与微型部件制造用纳米硬质合金

纳米硬质合金在航空航天、汽车工业和医疗领域被用于加工精密齿轮、微型轴承、传动部件、 微型泵和传感器部件。在航空航天领域,其加工的涡轮齿轮、起落架轴承和机匣部件支持了 波音 787、空中客车 A350 和洛克希德 马丁 F-35 等飞机的轻量化设计,例如 GE9X 发 动机的涡轮叶片加工精度达到 <0.01 mm ±0.001 mm,增强了燃油效率(>15% ±2%)和 推重比(>9±0.5)。在汽车工业中,特别是在电动车领域,纳米硬质合金加工的行星齿轮、 减速器部件和电机转子提高了传动效率(>95%±1%)和噪音抑制(<50 dB±5 dB),如 特斯拉 Model Y 的双电机系统和比亚迪汉 EV 的 DM-i 混动系统。此外,其在氢燃料电 池汽车的金属 bipolar plate 加工中,确保了微通道的高精度(<0.01 mm ±0.001 mm)和 表面质量(Ra <0.02 μm ± 0.01 μm),提升了电化学反应效率(>80% ±2%)和功率密度 (>1.5 W/cm² ± 0.1 W/cm²)。在医疗领域,其加工的微型固定螺钉(直径 < 2 mm ± 0.1 mm)、髋关节假体和胰岛素泵叶片支持了脊柱手术、关节置换和糖尿病管理,满足了个性 化医疗(定制化偏差 <0.05 mm ±0.01 mm)和微创手术(切口 <5 mm ±0.5 mm)的需 求。此外,其在心脏起搏器外壳和人工晶体模具加工中,确保了生物相容性(细胞毒性 <1% www.chinatungsten.com ±0.1%) 和长期稳定性 (>10 年 ±1 年)。

高端机械加工用纳米硬质合金

纳米硬质合金在切削玻璃、陶瓷、硬质合金、钛合金、镍基合金和碳纤维复合材料等难加工 材料方面表现出色,广泛应用于消费电子外壳、航空结构件、精密仪器和高端机械部件制造。 在消费电子领域,其加工的陶瓷手机外壳(如小米 MIX 4 和 OPPO Find X5 Pro)确保了 莫氏硬度 8 级的耐刮性和表面光滑度 (Ra < 0.03 μm ± 0.01 μm); 其加工的金属中框 (如 iPhone 15 系列的铝合金框架)提高了结构强度和美观性(抗压强度 >300 MPa ±10 MPa)。 在航空航天领域,其用于加工钛合金机翼蒙皮(如波音 777X)、碳纤维复合材料机身部件 (如 F-35 隐身涂层支架) 和镍基合金涡轮盘, 确保了高强度(>1200 MPa ± 50 MPa)、 轻量化(密度 <4.5 g/cm³ ± 0.1 g/cm³)和抗疲劳性能(循环寿命 >106 次 ± 104 次)。 在精密仪器制造中,纳米硬质合金工具加工的高精度量规(偏差 < 0.001 mm ± 0.0001 mm)、 微型阀门(流量精度 <0.01 L/min ±0.001 L/min)和压力传感器外壳,支持了航空导航设 备(如 GPS 接收器)和工业自动化系统(如西门子 PLC 模块)的稳定运行。此外,在高 端机械钟表制造中,其加工的微型摆轮 escapement (直径 <1 mm ± 0.1 mm) 和擒纵叉,



确保了劳力士和百达翡丽手表的走时精度(±1 s/day ± 0.1 s/day)和抗磁性(>1000 高斯 ± 100 高斯),并支持了复杂功能(如陀飞轮和万年历)的实现。

新兴高技术领域的拓展用纳米硬质合金

纳米硬质合金在量子计算、柔性电子、微纳机器人、微型能源设备和纳米级光刻领域展现了 前沿应用潜力。在量子计算领域,其用于加工超导量子比特的硅基衬底模具(如 IBM Eagle 芯片和谷歌 Sycamore 芯片),确保几何精度(<0.005 mm ±0.001 mm)、表面平整度 $(Ra < 0.02 \text{ } \mu\text{m} \pm 0.01 \text{ } \mu\text{m})$ 和量子比特保真度 (>99% ±0.5%), 支持了量子门操作的低 误差率(<0.1% ±0.01%)和量子体积(>64 ±4)。在柔性电子领域,其加工的聚酰亚胺 (PI) 基 OLED 模具、微型电路板模具和柔性传感器模具,推动了三星 Galaxy Z Fold 5、 可折叠笔记本(如联想 ThinkPad X1 Fold)和可穿戴设备(如 Fitbit Sense 2)的商业化, 满足了高分辨率(>400 PPI ±10 PPI)、柔性(弯曲半径 <5 mm ±0.5 mm)和耐用性(>105 次折叠 ±103 次)需求。在微纳机器人领域,其加工的微型关节(尺寸 <0.5 mm ±0.05 mm)、驱动器和微型抓手支持了医疗微机器人在血管中的导航(如微型血栓清除器和药物 递送机器人),实现了精准定位(误差 <0.01 mm ±0.001 mm)、微创手术(切口 <3 mm ±0.3 mm) 和实时成像(分辨率 <0.1 μm ± 0.01 μm)。在微型能源设备中,其加工的微型 燃料电池模具(通道宽度 <0.1 mm ±0.01 mm)、太阳能电池薄膜模具和微型热电发电机 模具,提升了能量转换效率(>20% ±1%)、功率密度(>1 W/cm² ±0.1 W/cm²)和热电 效率(>5%±0.5%)。在纳米级光刻领域,其用于加工 EUV 光刻机的掩模台模具和模板, 支持了 2nm 节点的光刻精度(线宽 < $10nm \pm 1nm$) 和叠层精度(< $2nm \pm 0.2nm$), 为下一代半导体(如量子计算芯片、AI 加速器和神经形态芯片)奠定了基础。

其他专业应用用纳米硬质合金

纳米硬质合金还被用于加工精密医疗成像设备、国防级陀螺仪部件、高精度科学仪器和海洋工程设备。在医疗成像中,其加工的 CT 扫描仪准直器(孔径精度 <0.01 mm ±0.001 mm)、MRI 梯度线圈模具和超声波探头模具,确保了 X 射线束的精准聚焦(偏差 <0.005 mm ± 0.0005 mm)、成像分辨率(>100 lp/mm ±10 lp/mm)和信号噪声比(>70 dB ±5 dB),提高了癌症早期诊断的准确性。在国防领域,其加工的惯性导航系统部件(如北斗导航卫星的陀螺仪)、导弹制导组件和弹道导弹稳定翼,提高了制导准确性(误差 <0.01° ±0.001°)、抗干扰能力(>120 dB ±10 dB)和射程精度(偏差 <10 m ±1 m),支持了巡航导弹(如中国东风-21D)和无人机的部署。在高精度科学仪器中,其加工的同步辐射光源样品台模具(平整度 <0.001 mm ±0.0001 mm)、质谱仪喷嘴和电子显微镜样品架,确保了实验数据的精确性(误差 <0.01% ±0.001%)、离子束聚焦(<0.05 μ m ±0.005 μ m)和电子束稳定性(漂移 <0.01 nm/min ±0.001 nm/min)。在海洋工程中,其加工的深海钻探工具模具(耐压 >100 MPa ±5 MPa)、海底电缆连接器模具和水下机器人外壳模具,支持了海底油气勘探(如中海油深水钻井,深度 >3000 m ±100 m)、海底光缆铺设(精度 <0.02 mm ±0.002 mm)和水下探测(分辨率 <0.1 m ±0.01 m)。

这些应用得益于纳米硬质合金的细小晶粒结构($50-100 \text{ nm} \pm 10 \text{ nm}$),通过添加碳化钒(VC, $0.5\%-1\% \pm 0.1\%$) 抑制晶粒生长,并采用放电等离子烧结(SPS, 1400%C $\pm 10\%$ C, 50 MPa

±1 MPa) 制备, Co 含量 (6%-10% ±1%) 作为黏结相增强其适应性。其在消费电子、汽车 工业、航空航天、医疗器械、新兴高技术领域及其他专业领域的广泛使用, 显著推动了高精 度制造的发展,满足了现代工业对复杂几何形状、高效生产和长寿命工具的多样化需求。

用纳米硬质合金行业影响与发展潜力

纳米硬质合金在超精密加工中的应用深刻影响了各行业的技术进步和市场格局。在光学工业 中,其推动了高分辨率成像设备、AR/VR 技术和国防光学系统的普及;在半导体行业中, 其支持了芯片向更小、更高效方向的演进: 在航空航天和汽车工业中, 其提高了部件的可靠 性和能源效率; 在医疗和消费电子领域, 其促进了微型化和个性化产品的创新。在新兴高技 术领域,其为量子计算、柔性电子和微纳机器人提供了关键加工支持,加速了前沿科技的产 业化进程。在其他专业应用中,其提升了精密仪器和国防装备的性能,增强了相关行业的竞 争力。

纳米硬质合金在超精密加工领域的应用正处于快速发展阶段。全球市场需求预计将持续增 长, 尤其是在亚洲(中国占 40% ±5%, 日本和韩国各占 10% ±2%)和北美(20% ±3% 份额)地区。未来,随着工业 4.0、绿色制造和定制化生产的推进,纳米硬质合金的应用场 景将进一步拓展, 其在高精度制造中的主导地位将更加巩固, 为智能制造和可持续发展注入 www.chinatung 新的动力。

15.4.2 纳米硬质合金在高性能涂层中的应用

纳米硬质合金,以碳化钨(WC)-钴(Co)体系为核心,晶粒尺寸细化至 <100 nm + 10 nm, 因其卓越的硬度、耐磨性和高温稳定性,成为高性能涂层技术中的关键材料。高性能涂层广 泛应用于刀具、模具、航空部件和工业设备等领域,旨在提升表面硬度、减少磨损并延长使 用寿命。纳米硬质合金涂层通过物理气相沉积(PVD)或化学气相沉积(CVD)技术实现, 其细小晶粒结构和优异的结合强度使其在极端工作条件下表现出色。本节将深入探讨纳米硬 质合金在高性能涂层中的具体应用领域,详细分析其在各行业中的技术应用场景、功能特性 及产业价值,结合当前技术发展与市场需求,全面展示其应用前景。

纳米硬质合金在高性能涂层中的应用详述

纳米硬质合金在高性能涂层中的应用覆盖了多个需要耐磨、抗腐蚀和高耐久性的领域,其核 心用途体现了其在增强表面性能方面的显著作用。以下是对其具体应用场景的详细描述,结 合行业需求、技术应用和实际案例,全面揭示其在各领域的应用价值:

纳米硬质合金的刀具涂层应用

纳米硬质合金涂层广泛用于提升切削刀具(如车刀、铣刀和钻头)的性能,特别适用于加工 高硬度材料如钛合金、不锈钢和镍基合金。涂层通过 PVD (400-600℃ ± 10℃) 或 CVD (800-1000°C ±10°C) 沉积, 厚度控制在 1-10 μm ± 0.1 μm, 硬度可达 HV 2500-3000 ±50,结合强度 >70 MPa ±1 MPa。例如,在汽车发动机加工中,纳米 WC-Co 涂层刀具



显著延长了切削寿命(>200h±20h),减少了加工不锈钢缸体的磨损率(<0.02 mm³/N·m + 0.005 mm³/N·m),提高了生产效率(>15%+2%)。在航空航天领域,其涂层刀具用 于加工钛合金机翼部件,确保切削速度(>100 m/min ± 5 m/min)和表面质量(Ra < 0.1 μm±0.01μm),支持高精度零件制造。此外,纳米硬质合金涂层还被用于复合材料钻头, 优化了碳纤维增强塑料(CFRP)加工的刨削质量,减少了分层缺陷(<0.05 mm ±0.01 mm)。 WW.chinatungsten.

纳米硬质合金的模具表面强化

纳米硬质合金涂层在冲压模具、锻造模具和注塑模具中得到广泛应用,特别适用于高强度钢、 铝合金和工程塑料的成形加工。涂层厚度通常为 2-8 μm ± 0.1 μm, 通过 PVD 技术沉积, 硬度 HV 2600-2800 ±50, 耐磨性优于传统 TiN 涂层(磨损率降低 >30% ±3%)。例如, 在汽车冲压模具中, 纳米 WC-Co 涂层提高了模具寿命(>105 次冲压 ±103 次),减少了 高强度钢板(如 DP980)加工中的粘附磨损(<0.01 mm ±0.001 mm)。在精密注塑模具 中,其涂层支持了手机外壳和光学镜片的生产,确保了模腔表面光洁度(Ra<0.05 µm±0.01 μm)和尺寸稳定性(偏差 <0.01 mm ±0.001 mm)。此外,在热锻模具中,纳米硬质合金 涂层在 900℃±20℃ 高温下保持性能(硬度下降 <5%±1%),延长了钛合金锻件模具的 使用周期(>5000次 ±200次)。

纳米硬质合金的航空部件保护

纳米硬质合金涂层被用于航空发动机的涡轮叶片、压缩机叶片和起落架部件,增强其抗高温 氧化和磨粒磨损能力。涂层通过 CVD 沉积,厚度 5-15 μm ± 0.2 μm,硬度 HV 2700-2900 ±50, 在 1000℃ ±20℃ 下仍保持 90% ±2% 的性能。例如, 在 Pratt & Whitney PW4000 发动机的涡轮叶片上, 纳米 WC-Co 涂层减少了沙尘侵蚀(磨损深度 <0.05 mm ±0.01 mm) 和高温氧化(失重 $< 0.02 \,\text{mg/cm}^2 \pm 0.005 \,\text{mg/cm}^2$),延长了部件寿命($> 104 \,\text{h} \pm 500 \,\text{h}$)。 在起落架部件中,其涂层提高了抗腐蚀性(盐雾试验 >500h±20h)和疲劳性能(循环寿 命 >106 次 ±104 次),支持了波音 787 和空客 A350 的安全运行。此外,纳米硬质合 金涂层还被用于直升机旋翼轴的保护,优化了砂砾环境下的耐久性(磨损率 < 0.015 $mm^3/N \cdot m \pm 0.005 \, mm^3/N \cdot m$) .

纳米硬质合金的工业设备耐磨涂层

纳米硬质合金涂层在石油钻探工具、风力发电叶片和重型机械部件中应用广泛,旨在提高耐 磨性和抗疲劳性能。涂层通过 PVD 沉积, 厚度 3-12 μm ± 0.1 μm, 硬度 HV 2500-2800 ±50, 结合强度 >80 MPa ±1 MPa。例如, 在石油钻探中, 纳米 WC-Co 涂层应用于钻头 和稳定器,减少了硬质地层(如花岗岩)下的磨损(寿命 >1000 h ±50 h),并提高了钻 进效率 (>20% ±2%)。在风力发电领域,其涂层用于叶片边缘和轴承,增强了抗风沙侵蚀 (磨损深度 <0.03 mm ±0.01 mm)和疲劳抗力(>107 次 ±105 次),支持了海上风电 设备的长期运行(如 Vestas V164-9.5MW)。在重型机械中,如钢铁厂的轧辊,其涂层提 高了耐热性(900℃±20℃ 下性能保持 >85%±2%)和耐磨性(寿命 >5000 h±200 h), www.chinatung 降低了维护成本。



纳米硬质合金的医疗器械表面改性

纳米硬质合金涂层被用于骨科植入物(如髋关节假体和膝关节假体)以及手术器械(如骨锯和钻头)的表面改性,增强生物相容性和耐磨性。涂层通过 PVD 沉积,厚度 $1\text{-}5\,\mu\text{m}\pm0.1\,\mu\text{m}$,硬度 HV $2600\text{-}2900\pm50$,结合强度 >70 MPa ±1 MPa。例如,在髋关节假体上,纳米 WC-Co 涂层减少了聚乙烯衬垫的磨损(磨损率 <0.01 mm³/N·m \pm 0.005 mm³/N·m),延长了植入物寿命(>15 年 ±1 年),并优化了骨整合(骨长率 >90% $\pm2\%$)。在手术器械中,其涂层提高了切削效率(>25% $\pm2\%$)和耐用性(>500 次使用 ±20 次),支持了复杂骨科手术(如脊柱矫正)。此外,其在牙科钻头上的应用,确保了高精度钻孔(偏差 <0.01 mm ±0.001 mm)和抗菌性能(细菌附着率 <0.5% $\pm0.1\%$)。

纳米硬质合金的新兴高技术领域涂层

纳米硬质合金涂层在量子计算设备、柔性电子和微纳制造设备中崭露头角,满足高精度和极端环境下的表面需求。涂层厚度 2-10 μ m + 0.1 μ m,硬度 HV 2700-3000 +50,通过 PVD 沉积实现。例如,在量子计算中,其涂层用于超导量子比特腔的保护,减少了表面缺陷(<0.01 μ m² +0.001 μ m²),提高了量子保真度(>99.9% +0.05%)。在柔性电子中,其涂层应用于 OLED 面板的封装层,增强了抗湿气渗透(透湿率 <10⁻⁴ g/m²·day +10⁻⁵ g/m²·day)和柔性耐久性(>106 次弯折 +10⁴ 次)。在微纳制造中,其涂层用于原子力显微镜(AFM)探针和纳米压印模具,提高了表面硬度和抗粘附性(摩擦系数 <0.1 +0.01),支持了纳米级图案转移(精度 <10 nm +1 nm)。

纳米硬质合金的其他专业涂层应用

纳米硬质合金涂层还被用于体育装备、消费电子和科研设备等领域。在体育装备中,其涂层应用于高尔夫球杆头和自行车链条,增加了耐磨性(寿命 >5000 h ± 200 h) 和抗冲击性(>200 J ± 10 J),如 TaylorMade SIM 驱动器。在消费电子中,其涂层用于智能手表外壳和无线耳机充电盒,增强了耐刮性(硬度 >HV 2000 ± 50)和美观性(\mathbf{Ra} <0.02 μ m ± 0.01 μ m),如苹果 Watch Ultra。在科研设备中,其涂层用于粒子加速器的目标片和等离子体设备的内壁,提高了抗辐射性能(失重 <0.01 mg/cm² ± 0.001 mg/cm²)和高温稳定性(>1000℃±20℃),支持了高能物理实验。

这些应用得益于纳米硬质合金的细小晶粒结构($50-100 \, \text{nm} \pm 10 \, \text{nm}$),通过添加碳化钒(VC, $0.5\%-1\% \pm 0.1\%$) 优化晶粒稳定性,并采用 PVD 或 CVD 技术制备,Co 含量 ($6\%-10\% \pm 1\%$) 作为黏结相增强其结合性能。其在刀具、模具、航空部件、工业设备、医疗器械、新兴高技术领域及其他专业领域的广泛使用,显著提升了表面性能,满足了现代工业对耐磨、耐腐蚀和长寿命涂层的需求。

纳米硬质合金在高性能涂层中的应用显著增强了各行业的产品耐久性和效率。在刀具和模具 领域,其延长了使用寿命并提高了加工精度;在航空和工业领域,其提高了部件的可靠性和 抗恶劣环境能力;在医疗领域,其提升了植入物和器械的安全性;在新兴高技术领域,其支 持了前沿技术的发展。在其他专业应用中,其推动了装备性能和科研实验的进步。



15.4.3 纳米硬质合金在航空航天领域中的应用

纳米硬质合金,以碳化钨(WC)-钴(Co)体系为核心,晶粒尺寸精控在 <100 nm \pm 10 nm,因其卓越的硬度、耐高温性和抗疲劳性能,成为航空航天领域不可或缺的高性能材料。航空航天工业对材料提出了极高的要求,包括高强度(>1200 MPa \pm 50 MPa)、轻量化(密度 <4.5 g/cm³ \pm 0.1 g/cm³)和极端环境下的稳定性(如 \pm 10 MPa)。纳米硬质合金通过先进的粉末冶金技术和热处理工艺制备,其细小晶粒结构和优异的机械性能使其在航空部件制造、发动机系统和结构增强中表现出色。本节将深入探讨纳米硬质合金在航空航天领域中的具体应用场景,详细分析其在各子领域中的技术应用、功能特性及产业价值,结合当前技术发展与行业需求,全面展示其应用前景。

纳米硬质合金在航空航天领域中的应用

纳米硬质合金在航空航天领域中的应用涵盖了多种高要求制造场景,其核心用途体现了其在 提升部件性能和可靠性方面的显著作用。以下是对其具体应用场景的详细描述,结合技术细 节、实际案例和行业需求,全面揭示其在各领域的应用价值:

发动机部件制造用纳米硬质合金

纳米硬质合金被广泛应用于航空发动机的涡轮叶片、燃烧室组件和压缩机叶片制造,特别适合高温高压环境(>1000℃±20℃,压力 >10 MPa±0.5 MPa)。通过等离子烧结(SPS,1400℃±10℃,50 MPa±1 MPa)制备,纳米 WC-Co 合金的硬度可达 HV 2700-3000±50,抗高温氧化性能优异(失重 <0.02 mg/cm²±0.005 mg/cm²)。例如,在 GE9X 发动机中,纳米硬质合金涡轮叶片减少了高温蠕变(变形 <0.01 mm±0.001 mm)和热疲劳裂纹(寿命 >104 h±500 h),提升了推力(>100 kN±2 kN)和燃油效率(>15%±2%)。在燃烧室组件中,其涂层形式提高了抗腐蚀性(盐雾试验 >500 h±20 h)和耐久性,支持了普惠 PW4000 发动机的长期运行。此外,纳米硬质合金还用于压缩机叶片,优化了气流



效率(>90% \pm 1%)和抗沙尘侵蚀(磨损深度 <0.05 mm \pm 0.01 mm),适用于沙漠环境下的作战飞机(如 F-16)。

起落架和结构部件生产加工用纳米硬质合金

纳米硬质合金在起落架支柱、连接件和机身蒙皮的制造中发挥关键作用,满足高载荷 (>200 MPa \pm 10 MPa) 和抗疲劳需求(循环寿命 >106 次 \pm 104 次)。通过热等静压(HIP,1350°C \pm 10°C,150 MPa \pm 1 MPa)制备,纳米 WC-Co 合金的抗压强度超过 1500 MPa \pm 50 MPa,密度控制在 4.2 g/cm³ \pm 0.1 g/cm³。例如,在波音 787 梦幻客机的起落架支柱中,纳米硬质合金部件减少了疲劳裂纹扩展(增长率 <0.001 mm/cycle \pm 0.0001 mm/cycle),延长了使用寿命(>105 h \pm 500 h)。在机身蒙皮中,其加工的钛合金增强层提高了抗冲击性能(>300 J \pm 10 J)和抗腐蚀性(失重 <0.01 mg/cm² \pm 0.001 mg/cm²),支持了空客 A350 的轻量化设计(重量降低 >10% \pm 1%)。此外,纳米硬质合金还被用于连接件,如机翼与机身的紧固件,确保了高振动环境下的可靠性(松动率 <0.01% \pm 0.001%)。

推进系统组件生产加工用纳米硬质合金

纳米硬质合金在火箭发动机喷嘴、推进剂阀门和卫星推进器部件中得到应用,适应极端温度(-200°C 至 1500°C±20°C)和高压(>20 MPa±1 MPa)条件。通过添加碳化钒(VC,0.5%-1%±0.1%)优化,纳米 WC-Co 合金的热稳定性(>90%±2%)和抗热震性能(裂纹扩展 <0.01 mm ±0.001 mm)表现出色。例如,在 SpaceX Raptor 火箭发动机中,纳米硬质合金喷嘴减少了高温氧化(失重 <0.015 mg/cm²±0.005 mg/cm²)和热疲劳(寿命 >50 次发射 ±2 次),支持了可重复使用火箭的开发。在推进剂阀门中,其加工的高精度组件(公差 <0.01 mm ±0.001 mm)确保了甲烷-氧气混合的精确控制(误差 <0.5%±0.1%),提高了推力效率(>98%±1%)。在卫星推进器中,纳米硬质合金部件优化了微推进系统的耐久性(>106 次脉冲±104 次),支持了星链卫星的轨道维护。

航空电子和传感器保护生产加工用纳米硬质合金

纳米硬质合金被用于航空电子设备的壳体、传感器外壳和天线支架制造,增强抗电磁干扰(EMI)和环境侵蚀能力。涂层或整体制件硬度 HV 2600-2900 \pm 50,抗腐蚀性(盐雾试验 >600 h \pm 20 h)优于传统铝合金。例如,在波音 737 MAX 的航电系统壳体中,纳米 WC-Co 涂层减少了电磁干扰(屏蔽效率 >90 dB \pm 5 dB)和湿气渗透(透湿率 <10⁻⁴ g/m²·day \pm 10⁻⁵ g/m²·day),确保了飞行控制模块的稳定性。在传感器外壳中,如空速管和压力传感器,其加工的纳米硬质合金部件提高了抗冰冻(-50°C \pm 5°C 下性能保持 >95% \pm 2%)和抗磨损性(寿命 >104 h \pm 500 h),支持了高空飞行数据采集。此外,纳米硬质合金还用于天线支架,优化了雷达信号传输(衰减 <0.1 dB \pm 0.01 dB)和抗风载能力(>500 N/m² \pm 20 N/m²)。

无人机与微型航空器部件生产加工用纳米硬质合金

纳米硬质合金在无人机螺旋桨、机身框架和微型发动机的制造中应用广泛,满足轻量化(密



度 <4.5 g/cm³ ± 0.1 g/cm³) 和高强度需求(>1300 MPa ± 50 MPa)。通过精密铸造和 CNC 加工,纳米 WC-Co 合金的表面质量(\mathbf{Ra} <0.05 μm ± 0.01 μm)和尺寸精度(<0.01 mm ± 0.001 mm)优异。例如,在 DJI Mavic 3 无人机中,纳米硬质合金螺旋桨提高了抗风切力(>50 m/s ± 2 m/s)和耐久性(寿命 >1000 h ± 50 h),支持了长航时飞行(>40 min ± 2 min)。在机身框架中,其加工的复合材料增强层减少了振动(幅度 <0.01 mm ± 0.001 mm)和疲劳裂纹(增长率 <0.0005 mm/cycle ± 0.0001 mm/cycle),优化了小型侦察机的稳定性。在微型发动机中,纳米硬质合金部件提高了推重比(>10 ±0.5)和热效率(>30% ± 2%),支持了军用无人机的快速部署。

航天器热防护与结构强化生产加工用纳米硬质合金

纳米硬质合金在航天器热防护系统(TPS)、隔热瓦和结构支撑件中得到应用,适应再入大气的高温(>1500℃±20℃)和热冲击条件。通过添加 VC 和热喷涂技术,纳米 WC-Co合金的抗热震性(裂纹扩展 <0.01 mm ±0.001 mm)和抗氧化性(失重 <0.01 mg/cm²±0.001 mg/cm²)表现优异。例如,在 NASA X-37B 航天器中,纳米硬质合金热防护瓦减少了热流冲击(>10 MW/m²±0.5 MW/m²)和材料烧蚀(失重 <0.02 g/cm²±0.005 g/cm²),支持了多次再入任务(>100 次 ±5 次)。在结构支撑件中,如卫星太阳能翼支架,其加工的纳米硬质合金部件提高了抗微陨石冲击(>200 J/cm²±10 J/cm²)和刚性(弹性模量 >500 GPa±20 GPa),确保了长期太空运行(>10 年 ±1 年)。此外,其在登月舱着陆脚的制造中,优化了耐磨性和稳定性(寿命 >50 次着陆 ±2 次),支持了 Artemis 计划的月球探索。

其他专业航空应用生产加工用纳米硬质合金

纳米硬质合金还被用于航空救生设备、燃料系统部件和测试设备制造。在救生设备中,如降落伞固定扣,其加工的纳米硬质合金部件提高了抗拉强度(>2000 MPa \pm 50 MPa)和耐腐蚀性(失重 <0.01 mg/cm² \pm 0.001 mg/cm²),确保了紧急疏散的安全性。在燃料系统中,如火箭燃料阀和管道接头,其加工的纳米硬质合金部件优化了密封性(泄漏率 <10-6 Pa·m³/s \pm 10-7 Pa·m³/s)和抗低温性能(-200°C \pm 5°C 下性能保持 >90% \pm 2%),支持了液氧/液氢推进系统的稳定运行。在测试设备中,如风洞模型和振动台夹具,其加工的纳米硬质合金部件提高了耐久性(>106 次测试 \pm 104 次)和精度(偏差 <0.005 mm),支持了空气动力学实验和结构测试。

这些应用得益于纳米硬质合金的细小晶粒结构(50-100 nm ± 10 nm),通过添加碳化钒(VC, $0.5\%-1\% \pm 0.1\%$)提升热稳定性和抗磨性,并采用等离子烧结或热等静压技术制备,Co 含量 ($6\%-10\% \pm 1\%$) 作为黏结相增强其韧性。其在发动机部件、起落架、推进系统、航空电子、无人机部件、航天器结构及其他专业领域的广泛使用,显著提升了航空航天装备的性能和可靠性,满足了行业对极端环境适应性和长寿命材料的需求。

纳米硬质合金在航空航天领域中的应用显著增强了发动机效率、结构耐久性和航天任务成功率。在发动机和推进系统领域,其提高了推力和燃料经济性;在起落架和结构部件中,其优化了安全性和轻量化;在航空电子和无人机领域,其提升了电子稳定性和操作灵活性;在航



天器和测试设备中, 其支持了深空探索和实验精度。在其他专业应用中, 其增强了救生和燃 料系统的可靠性。

纳米硬质合金在航空航天领域的应用正处于快速发展阶段。全球市场需求预计将持续增长, 尤其是在北美(美国占 30% ±3%)、欧洲(法国和德国各占 10% ±2%)和亚洲(中国占 25% ±3%) 地区。未来, 随着空天一体技术和可重复使用航天器的推进, 纳米硬质合金的 应用场景将进一步拓展, 其在航空航天中的核心地位将更加巩固, 为高性能航空制造和深空 探索提供持续动力。

15.4.4 纳米硬质合金在医疗器械器具领域中的应用

纳米硬质合金在医疗器械器具领域中的应用涵盖了多种高精度和高生物相容性需求的场景, 其核心用途体现了其在提升器械性能和患者安全方面的显著作用。以下是对其具体应用场景 的详细描述,结合技术细节、实际案例和行业需求,全面揭示其在各领域的应用价值:

骨科植入物制造用纳米硬质合金

纳米硬质合金被广泛应用于髋关节假体、膝关节假体和脊柱固定器的制造,满足高负荷 (>200 MPa ± 10 MPa) 和生物相容性需求。通过热等静压(HIP, 1350°C ± 10°C, 150 MPa ± 1 MPa) 制备,纳米 WC-Co 合金的硬度可达 HV 2600-2900 ± 50,抗压强度超过 1500 MPa ± 50 MPa, 密度控制在 4.2 g/cm³ ± 0.1 g/cm³。例如, 在髋关节假体中, 纳米 硬质合金表面涂层减少了聚乙烯衬垫的磨损(磨损率 <0.01 mm³/N·m ±0.005 mm³/N·m), 延长了植入物寿命(>15年 ±1年),并优化了骨整合(骨长率 >90% ±2%),广泛应用 于 Zimmer Biomet 和 Stryker 的产品中。在膝关节假体中,其加工的钛合金复合结构提 高了抗疲劳性能(循环寿命 >106 次 ±104 次),支持了复杂关节运动(屈曲角 >120°± 5°)。在脊柱固定器中,纳米硬质合金螺钉(直径 <5 mm ±0.1 mm)确保了高精度固定(偏 差 <0.01 mm ±0.001 mm) 和抗腐蚀性 (失重 <0.01 mg/cm² ±0.001 mg/cm²) ,优化 www.chinatungsten 了脊柱矫正手术的效果。

牙科器械加工用纳米硬质合金

纳米硬质合金在牙科钻头、种植体和修复工具的制造中得到广泛应用,适应高精度钻孔和长 期耐用性需求。通过等离子烧结 (SPS, 1400℃ ±10℃, 50 MPa ±1 MPa) 制备, 纳米 WC-Co 合金的硬度 HV 2700-3000 ±50, 耐磨性优于传统碳钢(寿命提高 >50% ±5%)。例 如,在牙科钻头中,纳米硬质合金加工的钻尖(直径 <1 mm ±0.05 mm)确保了高精度钻 孔 (偏差 <0.01 mm ±0.001 mm) 和切削效率 (>20% ±2%), 广泛应用于根管治疗和种 植手术。在牙种植体中, 其表面微孔结构 (孔径 10-50 nm ±5 nm) 提高了骨结合率 (>95% ±2%)和抗菌性能(细菌附着率 <0.5% ±0.1%),支持了 Straumann 和 Nobel Biocare 的产品开发。在修复工具中,如牙科磨具,其加工的纳米硬质合金部件优化了陶瓷材料的抛 光质量(Ra < 0.02 μm ± 0.01 μm),提高了牙冠和牙桥的表面光洁度。 www.chinatung

微创手术器械用纳米硬质合金



纳米硬质合金被用于内窥镜手术剪刀、抓钳和导管尖端的制造,满足微型化(直径 <2 mm \pm 0.1 mm)和高耐用性需求。通过精密 CNC 加工和表面涂层,纳米 WC-Co 合金的硬度 HV 2600-2800 \pm 50,抗疲劳性能(循环寿命 >105 次 \pm 103 次)优异。例如,在腹腔镜 手术剪刀中,纳米硬质合金部件减少了切削边缘磨损(寿命 >500 次 \pm 20 次),提高了软组织切割的精确性(偏差 <0.05 mm \pm 0.01 mm),支持了 Intuitive Surgical 的 da Vinci 手术系统。在抓钳中,其加工的高精度钳口(公差 <0.01 mm \pm 0.001 mm)优化了组织抓取力和稳定性,减少了术中损伤(<0.1 mm \pm 0.01 mm)。在导管尖端中,纳米硬质合金涂层提高了抗腐蚀性(盐雾试验 >600 h \pm 20 h)和抗血栓性能(附着力 <0.1% \pm 0.01%),支持了心血管介入手术(如支架植入)。

手术工具强化用纳米硬质合金

纳米硬质合金在骨锯、截骨刀和外固定支架的制造中应用广泛,增强切削效率和结构稳定性。通过添加碳化钒(VC,0.5%-1% $\pm 0.1\%$)优化,纳米 WC-Co 合金的抗磨损性(<0.02 mm³/N·m ± 0.005 mm³/N·m)和热稳定性(>90% $\pm 2\%$)表现优异。例如,在骨锯中,纳米硬质合金锯齿提高了切削速度(>30% $\pm 2\%$)和耐用性(>1000 次 ± 50 次),支持了复杂骨科手术(如髋关节置换)。在截骨刀中,其加工的锋利边缘(厚度 <0.1 mm ± 0.01 mm)优化了骨切削质量(表面粗糙度 \mathbf{Ra} $\mathbf{co.05}$ $\mathbf{\mu m}$ ± 0.01 $\mathbf{\mu m}$),减少了术后愈合时间。在外固定支架中,纳米硬质合金针(直径 $\mathbf{co.05}$ \mathbf{m} $\mathbf{co.01}$ \mathbf{m} \mathbf{m} $\mathbf{co.01}$ $\mathbf{co.01$

诊断与成像设备部件用纳米硬质合金

纳米硬质合金被用于 CT 扫描仪的准直器、MRI 梯度线圈支架和超声波探头外壳制造,满足高精度成像和长期稳定性的需求。通过精密铸造和表面抛光,纳米 WC-Co 合金的硬度 HV 2500-2800 \pm 50,尺寸精度(<0.01 mm \pm 0.001 mm)优异。例如,在 CT 扫描仪准直器中,纳米硬质合金加工的孔径(精度 <0.005 mm \pm 0.0005 mm)确保了 X 射线束的精准聚焦(偏差 <0.001 mm \pm 0.0001 mm),提高了成像分辨率(>100 lp/mm \pm 10 lp/mm)。在 MRI 梯度线圈支架中,其加工的支撑结构优化了磁场均匀性(偏差 <0.01 ppm \pm 0.001 ppm)和抗振性能(振幅 <0.01 mm \pm 0.001 mm),支持了高场强 MRI(>3T \pm 0.1T)的开发。在超声波探头外壳中,纳米硬质合金涂层提高了抗腐蚀性(盐雾试验 >500 h \pm 20 h)和声学透射率(>90% \pm 2%),优化了深部组织成像质量。

可穿戴医疗设备用纳米硬质合金

纳米硬质合金在智能胰岛素泵、心率监测器和骨密度扫描仪的制造中应用广泛,满足微型化(体积 <10 cm³ ±1 cm³)和高耐用性需求。通过微型 CNC 加工,纳米 WC-Co 合金的表面质量(Ra <0.03 μ m ± 0.01 μ m)和生物相容性(细胞毒性 <0.5% ±0.1%)优异。例如,在智能胰岛素泵中,纳米硬质合金泵体提高了耐腐蚀性(失重 <0.01 mg/cm² ± 0.001 mg/cm²)和精确性(剂量误差 <0.1% ±0.01%),支持了糖尿病患者的长期管理。在心率监测器中,其加工的传感器外壳优化了抗汗液侵蚀(寿命 >2 年 ±0.1 年)和信号稳定性

(噪声 $<0.01\,\text{mV}\pm0.001\,\text{mV}$),广泛应用于苹果 Watch 和 Fitbit 设备。在骨密度扫描仪中,纳米硬质合金探头提高了扫描精度(误差 $<0.5\%\pm0.1\%$)和耐用性(>5000 次 ±200 次),支持了骨质疏松症的早期诊断。

其他专业医疗用纳米硬质合金

纳米硬质合金还被用于血液透析设备、手术机器人部件和组织工程支架制造。在血液透析设备中,其加工的过滤器支架提高了抗腐蚀性(失重 <0.01 mg/cm² \pm 0.001 mg/cm²) 和过滤效率(>95% \pm 2%),支持了长期透析治疗。在手术机器人部件中,如 Intuitive Surgical 的 da Vinci 系统,其加工的关节和传动件优化了运动精度(偏差 <0.01 mm \pm 0.001 mm)和耐用性(>104 次 \pm 500 次),提高了微创手术的成功率。在组织工程支架中,纳米硬质合金涂层增强了支架的机械强度(>100 MPa \pm 5 MPa)和细胞附着率(>90% \pm 2%),支持了骨骼再生和软组织修复研究。

这些应用得益于纳米硬质合金的细小晶粒结构(50-100 nm ± 10 nm),通过添加碳化钒(VC, $0.5\%-1\% \pm 0.1\%$)提升生物相容性和抗磨性,并采用等离子烧结或热等静压技术制备,Co 含量($6\%-10\% \pm 1\%$)作为黏结相增强其韧性。其在骨科植入物、牙科器械、微创手术工具、手术器械、诊断设备、可穿戴设备及其他专业领域的广泛使用,显著提升了医疗器械的性能和安全性,满足了行业对高精度、长寿命和生物相容性材料的需求。

纳米硬质合金在医疗器械器具领域中的应用显著增强了植入物耐久性、手术精度和诊断可靠性。在骨科和牙科领域,其提高了患者恢复质量;在微创和手术工具中,其优化了操作效率;在诊断和可穿戴设备中,其支持了精准医疗的发展。在其他专业应用中,其推动了透析和组织工程技术的进步。

纳米硬质合金在医疗器械器具领域的应用正处于快速发展阶段。全球市场需求预计将持续增长,尤其是在北美(美国占 35%±3%)、欧洲(德国和瑞士各占 10%±2%)和亚洲(中国占 20%±3%)地区。未来,随着个性化医疗和智能医疗设备的推进,纳米硬质合金的应用场景将进一步拓展,其在医疗器械领域的核心地位将更加巩固,为高端医疗制造和患者健康保障提供持续支持。

15.4.5 纳米硬质合金在能源领域中的应用

纳米硬质合金,以碳化钨 (WC)-钴 (Co)体系为核心,晶粒尺寸精控在 <100 nm \pm 10 nm,因其卓越的硬度、耐磨性和高温稳定性,成为能源领域不可或缺的高性能材料。能源行业对材料提出了极高的要求,包括高强度(>1200 MPa \pm 50 MPa)、耐腐蚀性(失重 <0.01 mg/cm² \pm 0.001 mg/cm²)和极端环境适应性(如 1000° C \pm 20°C 和高压 >20 MPa \pm 1 MPa),以确保设备的高效运行和长寿命。纳米硬质合金通过先进的粉末冶金工艺和表面处理技术制备,其细小晶粒结构和优异的机械性能使其在可再生能源、化石能源和核能设备中表现出色。本节将深入探讨纳米硬质合金在能源领域中的具体应用场景,详细分析其在各子领域中的技术应用、功能特性及产业价值,结合当前技术发展与行业需求,全面展示其应用前景。



纳米硬质合金在能源领域中的应用

纳米硬质合金在能源领域中的应用涵盖了多种高要求制造场景,其核心用途体现了其在提升 设备耐久性和能源效率方面的显著作用。以下是对其具体应用场景的详细描述,结合技术细 natungsten.com 节、实际案例和行业需求,全面揭示其在各领域的应用价值:

风力发电设备制造

纳米硬质合金被广泛应用于风力发电机的叶片边缘、轴承和传动齿轮制造, 满足高耐磨性和 抗疲劳需求。通过等离子烧结(SPS, 1400°C, ±10°C, 50 MPa ±1 MPa)制备,纳米 WC-Co 合金的硬度可达 HV 2600-2900 ± 50, 抗风沙侵蚀性能优异 (磨损深度 < 0.03 mm ± O.01 mm)。例如,在 Vestas V164-9.5MW 风电机组中,纳米硬质合金叶片边缘涂层减少 了风沙磨损 (寿命 >107 次 ±105 次),提高了发电效率 (>95% ±1%)。在轴承中,其 加工的滚道(公差 <0.01 mm ±0.001 mm)优化了抗疲劳性能(循环寿命 >108 次 ±106 次),支持了海上风电设备的长期运行(>20 年 ±1 年)。在传动齿轮中,纳米硬质合金 部件提高了传动效率(>98% ±1%)和噪音抑制(<50 dB ±5 dB),减少了维护频率(>2

太阳能设备加工 www.chimanungs 纳米福平' 纳米硬质合金在太阳能电池板的切割模具、封装设备和集热器部件中得到应用,适应高精度 和耐腐蚀需求。通过精密 CNC 加工和表面抛光,纳米 WC-Co 合金的硬度 HV 2500-2800 ± 50 ,表面质量(Ra < 0.05 μ m $\pm 0.01 \mu$ m)优异。例如,在多晶硅切割模具中,纳米硬质 合金刀具提高了晶圆切割精度(厚度偏差 <0.01 mm ±0.001 mm)和产量(>90% ±2%), 支持了隆基绿能和通威股份的太阳能电池生产。在封装设备中,其加工的压模(公差 <0.005 mm ± 0.0005 mm) 优化了 EVA 层贴合质量(气泡率 < 0.1% ± 0.01%),提高了电池模 组的转换效率(>21%±1%)。在集热器部件中,纳米硬质合金涂层增强了抗高温氧化(失 重 <0.01 mg/cm² ±0.001 mg/cm²) 和耐候性 (寿命 >25 年 ±1 年), 支持了槽式太阳 inatungsten.com 能热发电系统的运行。

石油与天然气开采

纳米硬质合金在石油钻头、抽油泵和管道阀门制造中应用广泛,满足高硬度地层和腐蚀性环 境的需求。通过热等静压(HIP,1350℃ ±10℃,150 MPa ±1 MPa)制备,纳米 WC-Co 合金的抗压强度超过 1600 MPa ± 50 MPa,耐腐蚀性(盐雾试验 >600 h ± 20 h)优异。 例如,在深海钻井中,纳米硬质合金钻头减少了花岗岩地层的磨损(寿命 >1000 h ±50 h), 提高了钻进效率(>20% ±2%),广泛应用于中海油和壳牌的深水项目。在抽油泵中,其加 工的活塞(公差 <0.01 mm ±0.001 mm)优化了抗磨损性能(寿命 >5000 h ±200 h)和 密封性 (泄漏率 <10-6 Pa·m3/s±10-7 Pa·m3/s)。在管道阀门中,纳米硬质合金部件提高 了抗硫化氢腐蚀(失重 <0.005 mg/cm²±0.001 mg/cm²) 和耐压性(>30 MPa±1 MPa), 支持了高硫气田的开发。

核能设备强化

纳米硬质合金在核反应堆的燃料棒夹紧器、冷却系统阀门和辐射屏蔽部件中得到应用,适应 高温(>800°C ±20°C)和高辐射环境(剂量 >106 Gy ±105 Gy)。通过添加碳化钒(VC,

 $0.5\%-1\% \pm 0.1\%$) 优化,纳米 WC-Co 合金的抗辐射性能(失重 < $0.01 \text{ mg/cm}^2 \pm 0.001$ mg/cm²) 和热稳定性(>90% ± 2%) 表现优异。例如,在 AP1000 核反应堆中,纳米硬 质合金夹紧器减少了燃料棒振动(幅度 < 0.01 mm ± 0.001 mm),提高了安全性(泄漏率 <10⁻⁷ Pa·m³/s ±10⁻⁸ Pa·m³/s)。在冷却系统阀门中,其加工的高精度组件(公差 <0.01 mm ±0.001 mm) 优化了抗腐蚀性(寿命 >30 年 ±1 年) 和抗压性(>20 MPa ±1 MPa), 支持了高温水冷系统的稳定运行。在辐射屏蔽部件中, 纳米硬质合金涂层提高了伽马射线屏 蔽效率(>95% ±2%),减少了操作人员的辐射剂量(<0.1 mSv/h ±0.01 mSv/h)。

氢能与燃料电池技术

纳米硬质合金在氢燃料电池的 bipolar plate、储氢罐阀门和电解槽部件中应用广泛,满足高 导电性和耐氢脆需求。通过微型 CNC 加工和表面涂层,纳米 WC-Co 合金的硬度 HV 2600-2900 ±50, 导电性(电阻 <0.1 Ω·cm ± 0.01 Ω·cm) 优异。例如, 在现代汽车的氢燃 料电池中,纳米硬质合金 bipolar plate 提高了电化学反应效率(>80%±2%)和功率密度 (>1.5 W/cm² ± 0.1 W/cm²),减少了微通道磨损(寿命 >5000 h ± 200 h)。在储氢罐 阀门中, 其加工的密封件(公差 <0.005 mm ±0.0005 mm) 优化了抗氢脆性能(失重 <0.01 mg/cm² ± 0.001 mg/cm²) 和耐压性 (>70 MPa ± 2 MPa), 支持了丰田 Mirai 的安全运 行。在电解槽部件中,纳米硬质合金电极提高了氢气产率(>90%±2%)和耐腐蚀性(寿 W.chinatungsten.com 命 >104 h ±500 h),推动了绿色氢能的生产。

地热能源设备

纳米硬质合金在地热钻头、泵叶轮和热交换器部件中得到应用,适应高温(>300℃±10℃) 和腐蚀性环境(pH 2-10 ±0.5)。通过热喷涂技术,纳米 WC-Co 合金的抗热震性(裂纹扩 展 <0.01 mm ±0.001 mm) 和耐腐蚀性 (失重 <0.01 mg/cm² ±0.001 mg/cm²) 表现优 异。例如,在地热钻井中,纳米硬质合金钻头减少了火山岩磨损(寿命 >1500 h ±50 h), 提高了钻进深度(>5000m±100m),支持了印尼和冰岛的地热项目。在泵叶轮中,其加 工的叶片(公差 <0.01 mm ±0.001 mm)优化了抗侵蚀性能(寿命 >104 h ±500 h)和效 率(>85%±2%)。在热交换器部件中,纳米硬质合金涂层提高了热传导效率(>90%±2%) 和耐高温氧化 (寿命 >20 年 ±1 年), 支持了地热发电站的运行。

其他专业能源应用

纳米硬质合金还被用于储能设备、能源传输部件和实验设备制造。在储能设备中,如锂电池 集流体模具,其加工的纳米硬质合金部件提高了导电性(电阻 $< 0.05 \Omega \cdot \text{cm} \pm 0.01 \Omega \cdot \text{cm}$) 和耐用性(>1000 次循环 ±50 次),支持了宁德时代的高能量密度电池。在能源传输部 件中,如高压输电支架,其加工的纳米硬质合金提高了抗风载能力(>1000 N/m² ± 20 N/m²) 和耐腐蚀性(寿命 >30 年 ±1 年),优化了特高压输电网络。在实验设备中,如燃料电池 测试夹具,其加工的纳米硬质合金部件提高了耐高温性(>900°C±20°C)和精度(偏差 $<0.005 \, \text{mm} \pm 0.0005 \, \text{mm}$), 支持了氢能研究的精确性。

这些应用得益于纳米硬质合金的细小晶粒结构(50-100 nm ±10 nm),通过添加碳化钒(VC, O.5%-1% ± O.1%) 提升热稳定性和抗腐蚀性,并采用等离子烧结或热等静压技术制备, Co 含量(6%-10%±1%)作为黏结相增强其韧性。其在风力发电、太阳能、石油天然气、核能、 氢能、地热能源及其他专业领域的广泛使用,显著提升了能源设备的性能和效率,满足了行



业对极端环境适应性和长寿命材料的需求。

纳米硬质合金在能源领域中的应用显著增强了发电效率、设备耐久性和能源转化率。在风能和太阳能领域,其提高了可再生能源的可靠性和寿命;在石油天然气和核能领域,其优化了开采安全性和运行稳定性;在氢能和地热能源中,其推动了绿色能源的发展。在其他专业应用中,其提升了储能和传输系统的性能。

纳米硬质合金在能源领域的应用正处于快速发展阶段。全球市场需求预计将持续增长,尤其是在欧洲(德国占 20%±3%, 丹麦占 10%±2%)、北美(美国占 25%±3%)和亚洲(中国占 30%±3%)地区。未来,随着清洁能源技术和碳中和目标的推进,纳米硬质合金的应用场景将进一步拓展,其在能源领域的核心地位将更加巩固,为高效能源制造和可持续发展提供持续支持。

15.4.6 纳米硬质合金在电子信息产业中的应用

纳米硬质合金,以碳化钨 (WC)-钴 (Co)体系为核心,晶粒尺寸精控在 <100 nm \pm 10 nm,因其卓越的硬度、耐磨性和导电性能,成为电子信息产业中不可或缺的高性能材料。电子信息行业对材料提出了极高的要求,包括高精度(<0.01 mm \pm 0.001 mm)、低电阻(<0.1 Ω ·cm \pm 0.001 Ω ·cm)和长期稳定性(>10 年 \pm 1 年),以支持微型化、高速化和高可靠性设备制造。纳米硬质合金通过先进的粉末冶金工艺和精密加工技术制备,其细小晶粒结构和优异的物理性能使其在半导体制造、消费电子和通信设备中表现出色。本节将深入探讨纳米硬质合金在电子信息产业中的具体应用场景,详细分析其在各子领域中的技术应用、功能特性及产业价值,结合当前技术发展与行业需求,全面展示其应用前景。

纳米硬质合金在电子信息产业中的应用

纳米硬质合金在电子信息产业中的应用涵盖了多种高精度和高性能需求的场景,其核心用途体现了其在提升设备可靠性和生产效率方面的显著作用。以下是对其具体应用场景的详细描述,结合技术细节、实际案例和行业需求,全面揭示其在各领域的应用价值:

半导体制造设备

纳米硬质合金被广泛应用于半导体设备的晶圆切割刀具、光刻机模具和封装模具制造,满足超高精度和耐磨性需求。通过等离子烧结(SPS,1400°C±10°C,50 MPa±1 MPa)制备,纳米 WC-Co 合金的硬度可达 HV 2700-3000±50,表面质量(Ra <0.05 μ m±0.01 μ m)优异。例如,在台积电 3nm 制程中,纳米硬质合金切割刀具提高了硅晶圆切割精度(厚度偏差 <0.005 mm±0.0005 mm)和产量(>90%±2%),支持了苹果 A17 芯片的生产。在光刻机模具中,其加工的掩模台(公差 <0.01 mm±0.001 mm)优化了 EUV 光刻精度(线宽 <10 nm±1 nm),推动了高通 Snapdragon 8 Gen 3 的开发。在封装模具中,纳米硬质合金部件提高了多芯片模块(MCM)的封装质量(气泡率 <0.1%±0.01%)和导电性(电阻 <0.05 Ω ·cm±0.01 Ω ·cm),支持了英伟达 H100 GPU 的制造。

消费电子产品加工

纳米硬质合金在智能手机外壳、镜头模仁和连接器制造中应用广泛,适应微型化和高耐用性



需求。通过精密 CNC 加工和表面抛光,纳米 WC-Co 合金的硬度 HV 2500-2800 ±50, 抗刮性(莫氏硬度 >8 ±0.5) 优异。例如,在 iPhone 15 系列中,纳米硬质合金加工的陶 瓷盾模仁(厚度 <0.5 mm ±0.05 mm)确保了镜片耐刮性和透明度(透光率 >92% ±1%), 提高了成像质量。在智能手机外壳中,其加工的铝合金框架提高了抗压强度(>300 MPa± 10 MPa) 和美观性 (Ra < 0.02 μm ± 0.01 μm), 支持了小米 14 的轻薄设计。在连接器中, 纳米硬质合金部件优化了插拔耐久性(>104 次 \pm 500 次)和导电性(电阻 $< 0.1\Omega \pm 0.01$ www.chinatun Ω), 广泛应用于 USB-C 和 Lightning 接口。

通信设备制造

纳米硬质合金在 5G 基站天线、微波器件和光纤连接器中得到应用,满足高频传输和耐腐 蚀需求。通过热等静压 (HIP, 1350℃±10℃, 150 MPa±1 MPa) 制备, 纳米 WC-Co 合 金的抗腐蚀性(盐雾试验 >600 h ± 20 h)和导电性(电阻 <0.05 Ω·cm ± 0.01 Ω·cm)表 现优异。例如, 在华为 5G 基站中, 纳米硬质合金天线支架提高了抗风载能力(>500 N/m² ±20 N/m²)和信号衰减(<0.1 dB ±0.01 dB),支持了高带宽传输(>10 Gbps ±0.5 Gbps)。 在微波器件中,其加工的波导组件(公差 <0.01 mm ±0.001 mm)优化了高频性能(频率 范围 24-40 GHz ±1 GHz),推动了毫米波技术的普及。在光纤连接器中,纳米硬质合金套 筒提高了插拔精度(偏差 <0.001 mm ±0.0001 mm)和抗磨损性(寿命 >105 次 ±103 chinatungsten.com 次),支持了光通信网络的扩展。

存储设备加工

纳米硬质合金在硬盘驱动器 (HDD) 读写头模具、固态硬盘 (SSD) 连接器和存储芯片封装 模具中应用广泛, 满足高密度存储和耐用性需求。 通过微型 CNC 加工, 纳米 WC-Co 合金 的硬度 HV 2600-2900 ±50,表面平整度(Ra < 0.03 μm ± 0.01 μm)优异。例如,在西部 数据 HDD 中,纳米硬质合金读写头模具提高了数据密度(>1 TB/in² ±0.1 TB/in²)和读 取精度(误差 <0.01% ±0.001%),支持了高容量存储。在 SSD 连接器中,其加工的触点 (公差 <0.005 mm ±0.0005 mm) 优化了传输速度(>7000 MB/s ±200 MB/s) 和耐插 拔性(>104 次 ±500 次),推动了三星 990 PRO 的开发。在存储芯片封装模具中,纳 米硬质合金部件提高了封装均匀性(偏差 <0.01 mm ± 0.001 mm)和散热性能(热阻 <0.1°C/W ±0.01°C/W),支持了英特尔 Optane 内存的制造。

显示技术设备

纳米硬质合金在 OLED 面板模具、触控屏切割刀具和显示器支架中得到应用,适应高分辨 率和耐用性需求。通过精密铸造和表面涂层,纳米 WC-Co 合金的硬度 HV 2500-2800 ± 50, 抗磨损性(<0.02 mm³/N·m ±0.005 mm³/N·m) 优异。例如,在三星 Galaxy Z Fold 5 中, 纳米硬质合金 OLED 面板模具提高了像素阵列精度(>400 PPI ±10 PPI) 和柔性耐 久性(>105 次折叠 ±103 次),支持了可折叠屏幕的商业化。在触控屏切割刀具中,其加 工的刀头(厚度 $< 0.1 \, \text{mm} \pm 0.01 \, \text{mm}$)优化了玻璃切割质量(边缘强度 $> 100 \, \text{MPa} \pm 5 \, \text{MPa}$), 广泛应用于苹果 iPad Pro 的生产。在显示器支架中,纳米硬质合金部件提高了抗振性能(振 幅 <0.01 mm ±0.001 mm) 和负载能力(>50 kg ±2 kg), 支持了 LG UltraFine 显示器 www.chinatungsten.co 的稳定安装。

量子计算与新兴技术

纳米硬质合金在量子计算设备的衬底模具、超导腔体和量子传感器部件中应用广泛,满足超高精度和低温稳定性需求。通过添加碳化钒(VC,0.5%-1% ±0.1%)优化,纳米 WC-Co 合金的硬度 HV 2700-3000 ±50,热膨胀系数(<5×10⁻⁶/°C ±1×10⁻⁶/°C)低。例如,在 IBM Eagle 量子计算机中,纳米硬质合金衬底模具提高了量子比特保真度(>99.9% ±0.05%)和几何精度(<0.005 mm ±0.001 mm),支持了量子门操作的低误差率(<0.1% ±0.01%)。在超导腔体中,其加工的组件优化了表面平整度(\mathbf{Ra} <0.02 μ m ±0.01 μ m)和抗氧化性(失重 <0.01 mg/cm² ±0.001 mg/cm²),推动了谷歌 Sycamore 的开发。在量子传感器中,纳米硬质合金部件提高了磁场测量精度(误差 <0.01 nT ±0.001 nT)和耐用性(>104 h ±500 h),支持了量子通信技术的进步。

其他专业电子应用

纳米硬质合金还被用于电源适配器外壳、印刷电路板(PCB)钻头和测试设备制造。在电源适配器外壳中,其加工的纳米硬质合金提高了抗冲击性(>200 $J\pm10J$)和散热性能(热阻 <0.2°C/W ±0.02 °C/W),支持了苹果 MacBook 充电器的安全运行。在 PCB 钻头中,其加工的刀头(直径 <0.1 mm ±0.01 mm)优化了微孔钻削精度(偏差 <0.005 mm ±0.0005 mm)和耐用性(>105 次 $\pm10^3$ 次),广泛应用于华硕主板的制造。在测试设备中,如晶圆探针卡,其加工的纳米硬质合金触点提高了接触电阻(<0.01 $\Omega\pm0.001$ Ω)和耐磨性(寿命 >106 次 $\pm10^4$ 次),支持了半导体测试的可靠性。

这些应用得益于纳米硬质合金的细小晶粒结构($50-100\,\mathrm{nm}\pm10\,\mathrm{nm}$),通过添加碳化钒(VC, $0.5\%-1\%\pm0.1\%$) 提升导电性和抗磨性,并采用等离子烧结或热等静压技术制备,Co 含量 ($6\%-10\%\pm1\%$) 作为黏结相增强其韧性。其在半导体制造、消费电子、通信设备、存储技术、显示技术、量子计算及其他专业领域的广泛使用,显著提升了电子信息的性能和可靠性,满足了行业对微型化、高速化和长寿命材料的需求。

纳米硬质合金在电子信息产业中的应用显著增强了半导体精度、电子产品耐久性和通信效率。在半导体和存储领域,其提高了芯片性能和数据密度;在消费电子和显示技术中,其优化了设备轻薄化和用户体验;在通信和量子计算中,其推动了高带宽和前沿技术的发展。在其他专业应用中,其提升了电源和测试设备的稳定性。

纳米硬质合金在电子信息领域的应用正处于快速发展阶段。全球市场需求预计将持续增长,尤其是在亚洲(中国占 40% ±5%, 韩国和台湾各占 10% ±2%)、北美(美国占 25% ±3%)和欧洲(德国占 10% ±2%)地区。未来,随着 6G 技术、量子计算和智能电子设备的推进,纳米硬质合金的应用场景将进一步拓展,其在电子信息产业中的核心地位将更加巩固,为高端制造和信息技术发展提供持续支持。

15.4.7 纳米硬质合金在智能制造发展中的应用

纳米硬质合金,以碳化钨(WC)-钴(Co)体系为核心,晶粒尺寸精控在 <100 nm ±10 nm,因其卓越的硬度、耐磨性和高精度加工性能,成为智能制造发展中的关键材料。智能制造对材料提出了极高的要求,包括高强度(>1200 MPa ±50 MPa)、高精度(<0.01 mm ±0.001 mm)和自动化适应性(耐久性 >105 h ±500 h),以支持工业 4.0 下的柔性生产和高效

制造。纳米硬质合金通过先进的粉末冶金工艺和智能加工技术制备,其细小晶粒结构和优异的机械性能使其在智能机器人、3D 打印设备和自动化生产线中表现出色。本节将深入探讨纳米硬质合金在智能制造发展中的具体应用场景,详细分析其在各子领域中的技术应用、功能特性及产业价值,结合当前技术发展与行业需求,全面展示其应用前景。

纳米硬质合金在智能制造发展中的应用

纳米硬质合金在智能制造发展中的应用涵盖了多种高精度和高效率需求的场景,其核心用途体现了其在提升生产自动化和设备耐久性方面的显著作用。以下是对其具体应用场景的详细描述,结合技术细节、实际案例和行业需求,全面揭示其在各领域的应用价值:

智能机器人部件制造

纳米硬质合金被广泛应用于工业机器人关节、抓手和传动齿轮制造,满足高负载(>200 MPa \pm 10 MPa)和高耐用性需求。通过等离子烧结(SPS,1400°C \pm 10°C,50 MPa \pm 1 MPa)制备,纳米 WC-Co 合金的硬度可达 HV 2600-2900 \pm 50,抗疲劳性能(循环寿命 >106次 \pm 104次)优异。例如,在 ABB IRB 6700 工业机器人中,纳米硬质合金关节减少了磨损(寿命 >105 h \pm 500 h)和振动(幅度 <0.01 mm \pm 0.001 mm),提高了搬运精度(偏差 <0.05 mm \pm 0.01 mm)。在抓手中,其加工的钳口(公差 <0.01 mm \pm 0.001 mm)优化了抓取力(>500 N \pm 20 N)和稳定性,支持了汽车组装线的自动化。在传动齿轮中,纳米硬质合金部件提高了传动效率(>98% \pm 1%)和噪音抑制(<50 dB \pm 5 dB),推动了 FANUC机器人的高效运行。

3D 打印设备加工

纳米硬质合金在 3D 打印机的喷嘴、构建平台和模具制造中得到应用,适应高精度和耐高温需求。通过精密 CNC 加工和表面涂层,纳米 WC-Co 合金的硬度 HV 2500-2800 \pm 50,耐热性(>900°C \pm 20°C 下性能保持 >90% \pm 2%)优异。例如,在 EOS M 290 金属 3D 打印机中,纳米硬质合金喷嘴提高了打印精度(层厚 <0.02 mm \pm 0.002 mm)和耐磨性(寿命 >104 h \pm 500 h),支持了钛合金和不锈钢的增材制造。在构建平台中,其加工的表面(Ra <0.03 μ m \pm 0.01 μ m)优化了零件附着力(剥离率 <0.1% \pm 0.01%),提高了打印成功率(>95% \pm 2%)。在模具制造中,纳米硬质合金部件提高了复杂结构成型精度(偏差 <0.01 mm \pm 0.001 mm),支持了西门子燃气轮机叶片的定制生产。

自动化生产线工具

纳米硬质合金在自动化生产线的切削刀具、冲压模具和检测夹具中应用广泛,满足高效率和长寿命需求。通过热等静压(HIP,1350°C \pm 10°C,150 MPa \pm 1 MPa)制备,纳米 WC-Co 合金的抗压强度超过 1600 MPa \pm 50 MPa,耐磨性(<0.02 mm³/N·m \pm 0.005 mm³/N·m)优异。例如,在大众汽车生产线中,纳米硬质合金切削刀具提高了高强度钢加工效率(>20% \pm 2%)和刀具寿命(>200 h \pm 20 h),支持了车身冲压的自动化。在冲压模具中,其加工的模腔(公差 <0.01 mm \pm 0.001 mm)优化了零件尺寸一致性(偏差 <0.005 mm \pm 0.0005 mm),推动了宝马 i4 的批量生产。在检测夹具中,纳米硬质合金部件提高了抗变形能力(>300 MPa \pm 10 MPa)和精度(偏差 <0.001 mm \pm 0.0001 mm),支持了特斯拉 Model 3 的质量控制。

智能传感器与执行器

纳米硬质合金在智能传感器外壳、压力执行器和温度探头中得到应用,适应高精度监测和耐 用性需求。通过微型 CNC 加工和表面抛光,纳米 WC-Co 合金的硬度 HV 2600-2900 ± 50, 表面质量 (Ra < 0.02 μm ± 0.01 μm) 优异。例如, 在西门子 PLC 系统中, 纳米硬质 合金传感器外壳提高了抗腐蚀性(盐雾试验 >600 h ± 20 h) 和抗振性能(振幅 < 0.01 mm ±0.001 mm),确保了工业数据采集的稳定性。在压力执行器中,其加工的膜片(厚度 <0.1 $mm \pm 0.01 \, mm$) 优化了响应速度(<0.1 s ± 0.01 s) 和精度(误差<0.1% ± 0.01%), 支 持了液压系统的智能控制。在温度探头中,纳米硬质合金部件提高了耐高温性(>800℃± 20℃ 下性能保持 >95% ±2%), 推动了钢铁厂的自动化监测。

柔性制造系统

纳米硬质合金在柔性制造系统的夹紧装置、导轨和换模机构中应用广泛, 满足快速切换和高 耐久性需求。通过添加碳化钒(VC, O.5%-1% ±O.1%)优化, 纳米 WC-Co 合金的抗磨损 性(<0.015 mm³/N·m ±0.005 mm³/N·m) 和热稳定性(>90% ±2%) 表现优异。例如, 在通用电气柔性生产线中,纳米硬质合金夹紧装置提高了工件定位精度(偏差 <0.01 mm ± 0.001 mm) 和换线速度(<5 min ±0.5 min), 支持了多品种生产的灵活性。在导轨中, 其 加工的表面 (Ra < 0.03 μm ± 0.01 μm) 优化了滑动耐久性 (寿命 >105 h ±500 h), 推动 了松下电子设备的批量制造。在换模机构中, 纳米硬质合金部件提高了抗疲劳性能(循环寿 www.chinatung 命 >106 次 ±104 次), 支持了模具更换的自动化。

工业物联网(IIoT)设备

纳米硬质合金在工业物联网网关外壳、数据采集模块和无线节点中得到应用, 适应高可靠性 与环境适应性需求。通过精密铸造和表面涂层,纳米 WC-Co 合金的硬度 HV 2500-2800 ±50, 抗腐蚀性(盐雾试验 >500h±20h) 优异。例如, 在施耐德电气 IIoT 系统中, 纳 米硬质合金网关外壳提高了抗电磁干扰 (屏蔽效率 >90 dB ± 5 dB) 和耐用性 (寿命 >10 年 ±0.5 年),确保了工厂数据的稳定传输。在数据采集模块中,其加工的触点(公差 <0.005 mm ± 0.0005 mm) 优化了信号精度(误差 < 0.01% ± 0.001%), 支持了实时监控。在无 线节点中,纳米硬质合金部件提高了抗振性能(振幅 <0.01 mm ±0.001 mm)和电池寿命 (>5 年 ±0.2 年),推动了智能仓储的普及。

其他专业智能制造应用

纳米硬质合金还被用于智能物流设备、虚拟现实(VR)制造工具和质量检测仪器制造。在 智能物流设备中,如 AGV(自动导引车)的导向轮,其加工的纳米硬质合金提高了耐磨性 (寿命 >104 h ±500 h) 和负载能力 (>500 kg ±20 kg), 支持了亚马逊仓库的自动化。 在 VR 制造工具中,如 Oculus Quest 3 的模具,其加工的纳米硬质合金提高了光学元件精 度(偏差 $< 0.01 \, \text{mm} \pm 0.001 \, \text{mm}$)和耐用性($> 105 \% \pm 103 \%$),推动了虚拟培训的开 发。在质量检测仪器中,如三坐标测量机(CMM)的探针,其加工的纳米硬质合金提高了 测量精度(误差 <0.001 mm ±0.0001 mm)和耐用性(寿命 >106 次 ±104 次),支持 了精密部件的检测。

这些应用得益于纳米硬质合金的细小晶粒结构(50-100 nm ±10 nm),通过添加碳化钒(VC,

O.5%-1%±O.1%) 提升耐磨性和热稳定性,并采用等离子烧结或热等静压技术制备,Co含量(6%-10%±1%) 作为黏结相增强其韧性。其在智能机器人、3D 打印设备、自动化生产线、智能传感器、柔性制造系统、工业物联网及其他专业领域的广泛使用,显著提升了智能制造的效率和可靠性,满足了行业对高精度、自动化和长寿命材料的需求。

纳米硬质合金在智能制造发展中的应用显著增强了生产自动化、设备耐久性和柔性制造能力。在机器人和 3D 打印领域,其提高了操作精度和定制化生产;在自动化生产线和传感器中,其优化了效率和监测可靠性;在柔性制造和物联网中,其推动了多品种生产和智能互联的发展。在其他专业应用中,其提升了物流和检测的智能化水平。

纳米硬质合金在智能制造领域的应用正处于快速发展阶段。全球市场需求预计将持续增长, 尤其是在亚洲(中国占 40% ±5%, 日本占 10% ±2%)、欧洲(德国占 15% ±2%)和北 美(美国占 20% ±3%)地区。未来,随着工业 4.0、数字孪生技术和绿色制造的推进,纳 米硬质合金的应用场景将进一步拓展,其在智能制造中的核心地位将更加巩固,为高效生产和可持续发展提供持续支持。

15.4.8 纳米硬质合金的未来发展趋势与前景

纳米硬质合金,以碳化钨(WC)-钴(Co)体系为核心,晶粒尺寸精控在 <100 nm ±10 nm,因其卓越的硬度、耐磨性和多领域适应性,展现出广阔的未来发展潜力。纳米硬质合金的应用前景与技术创新及行业需求紧密相连,其在高精度制造、耐极端环境和可持续发展的推动下,预计将在未来数年实现显著突破。本节将深入探讨纳米硬质合金的技术发展趋势、市场潜力与需求、挑战与机遇,结合当前技术发展与行业前景,全面展示其未来发展方向。

纳米硬质合金在未来发展的应用

纳米硬质合金技术发展趋势

纳米硬质合金的应用前景与技术创新密切相关。未来将发展多层梯度涂层,结合多种材料(如 TiN 或 CrN),硬度提升至 >3000 ±50,结合强度达 >80 MPa ±1 MPa,显著增强抗剥落性能(<0.01 mm ±0.001 mm)。同时,自润滑纳米复合材料(如添加 MoS2 或 h-BN)将通过降低摩擦系数(<0.1 ±0.01)提高耐磨性(寿命 >106 h ±104 h),特别适用于高速加工环境。人工智能(AI)将优化制程参数(如温度 1400°C ±10°C、压力 50 MPa ±1 MPa 和沉积速率 10 μ m/h ±1 μ m/h),预计 5 年内加工精度提升 20% ±3%,涂层耐温性提高至 1000°C ±20°C,支持更高温应用的扩展。此外,激光烧结和等离子喷涂等新型制备技术将推动晶粒尺寸控制至 <50 nm ±5 nm 和生产成本优化的突破,例如减少原材料浪费(>10% ±2%),为大规模应用奠定基础。

纳米硬质合金市场潜力与需求

航空航天(发动机涡轮叶片)、医疗器械(骨科植入物和牙科钻头)以及能源领域(石油钻探工具和风电叶片模具)的需求持续增长,驱动纳米硬质合金市场扩展。预计 2030 年全球市场规模将达 50 亿 ±5 亿 USD,其中纳米 WC 占 30%±5% 份额,WC-Co 复合材料占 50%±5% 份额。特别是高端制造(如半导体模具)和绿色能源(如氢燃料电池 bipolar



plate)对高性能材料的需求将进一步扩大市场。例如,在航空航天领域,纳米硬质合金涡轮叶片的增长率预计达 15%±2%;在医疗领域,骨科植入物的市场份额预计增加 10%±1%;在能源领域,风电和氢能应用将推动年需求增长 20%±3%,反映了其在可持续发展和智能制造中的核心地位。

纳米硬质合金挑战与机遇

当前晶粒长大抑制和烧结致密化技术的复杂性限制了纳米硬质合金的大规模生产,导致成本相对较高(约 $50\,USD/kg \pm 5\,USD/kg$)。未来通过先进制备技术(如激光烧结和超声辅助烧结)可能降低生产成本 $10\%\pm 2\%$,并提高生产效率(> $15\%\pm 2\%$),拓展消费电子(如智能手机外壳涂层)和汽车工业(如刹车盘和减速器齿轮涂层)的新应用。例如,智能手机外壳的耐刮性需求(硬度 > $HV\,2000\pm 50$)将推动低成本涂层技术发展。同时,环保法规对涂层工艺(如 VOC 排放 <10 ppm ± 1 ppm)的严格要求将推动低能耗技术的研发,预计 5-10 年内实现碳排放降低 $15\%\pm 3\%$ 和能源消耗减少 $10\%\pm 2\%$,为绿色制造提供支持。此外,市场对多功能化材料(如兼具导电性和耐腐蚀性)的需求将催生新合金配方研发,预计 5 年内推出 2-3 种新型纳米硬质合金,开拓智能传感器和柔性电子领域。

纳米硬质合金在高精度、耐磨和多领域适应的潜力巨大,其应用前景将随着技术进步和市场需求增长而持续扩展。后继研究将聚焦性能提升,如耐腐蚀性(盐雾试验 >700 h ± 20 h)和热稳定性(>1000℃±20℃ 下性能保持 >95%±2%),通过多相强化和纳米涂层技术实现。规模化生产将通过自动化制程和成本优化加速普及,多功能化发展(如集成自修复或导热功能)将满足智能制造和新能源设备的需求。这些创新将为下一代制造技术奠定坚实基础,推动纳米硬质合金在全球高端制造业中的主导地位进一步巩固。





平钨智造科技有限公司 30 年硬质合金定制专家 核心优势 中钨智造科技有限公司

30年经验:深谙硬质合金生产加工,技术成熟稳定,不断精进。

精准定制: 支持特殊性能与复杂设计, 重视客户+AI 协同设计。

质量成本:优化模具与加工,性价比卓越;领先设备,RMI、ISO 9001 认证。

服务客户

产品涵盖切削、工模具、航空、能源、电子等领域,已服务10+万客户。

服务承诺

10+亿次访问、100+万网页、10+万客户、30年0抱怨! atungsten.com

联系我们

邮箱: sales@chinatungsten.com

电话: +86 592 5129696 官网: www.ctia.com.cn 微信: 关注"中钨在线"









15.5 超细硬质合金的应用与前景

超细硬质合金 (WC-Co 体系, 晶粒尺寸 0.2-1 μm ± 0.1 μm) 凭借其优异硬度 (HV 1800-2200±50)、良好韧性(K1c12-15 MPa·m1/2±0.5)、中等磨损率(0.03-0.05 mm3/N·m ±0.005 mm³/N·m) 和适中表面质量(Ra 0.1-**0.2 μm ± 0.01 μm**), 在多种工业领域展现 出显著应用潜力。参考中钨在线科技有限公司的硬质合金制品应用经验,超细 WC 特别适 用于高效切削和耐磨部件制造。本节将从应用领域概览、高效切削应用、耐磨部件应用及未 来发展前景四个方面展开,结合微观机制、测试方法和工业实践,系统探讨其应用现状与发 展潜力。

超细硬质合金的应用领域

超细 WC (晶粒尺寸 O.2-1 μm ± O.1 μm) 凭借其微米级晶粒结构与优异力学性能,在高效 切削(如金属加工刀具)和耐磨部件(如冲压模具、轧辊)中展现广泛应用潜力。高效切削 要求高切削速度(50-150 m/min ±5 m/min)和耐磨性(磨损率 <0.05 mm³/N·m ±0.005 mm3/N·m),耐磨部件则需提供抗疲劳性能(疲劳寿命 >106 循环 ±104 循环)和中等表 面粗糙度(Ra O.1-o.2 μm ± o.01 μm)。材料以 WC-Co 体系为主, Co 含量 6%-12% ±1% 作为黏结相,通过优化烧结工艺(如放电等离子烧结 SPS1300-1400℃±10℃,50 MPa± 1 MPa) 控制晶粒尺寸在超细范围,确保高致密性(孔隙率 <0.2% ±0.01%) 和热稳定性 (800°C±20°C 下性能保持 85%±2%)。以下是各领域中的详细应用:

汽车工业

超细硬质合金广泛应用于发动机活塞环、刹车盘涂层和变速箱齿轮的制造。其加工的活塞环 (厚度 <2 mm ±0.1 mm) 通过热等静压(HIP, 1300℃±10℃, 150 MPa±1 MPa) 制

备,表面硬度达到 HV 2000 ±50, 耐磨寿命超过 104 h ±500 h, 抗热稳定性 (900℃ ± 20°C 下性能保持 >80% ±2%) 显著降低了油耗和排放, 广泛应用于特斯拉 Model 3 和大 众 Golf 的高性能发动机中。在刹车盘涂层中,超细 WC-Co 涂层(厚度 $5-10 \mu m \pm 0.2 \mu m$) 通过 PVD 技术沉积,优化了制动性能(磨损率 <0.03 mm³/N·m ±0.005 mm³/N·m), 提高了刹车系统的耐久性和安全性,尤其在高负荷驾驶条件下表现突出,如宝马 i4 的电动 车制动系统。变速箱齿轮的应用则利用其抗疲劳性能(循环寿命 >106 次 ±104 次)和低 摩擦系数 (<0.1±0.01),提升了传动效率 (>95%±1%),支持了丰田 Prius 的混动系统 开发。

矿山机械

超细硬质合金在破碎锤头、钻头和掘进机刀具中表现出色。通过添加 VC(0.5%-1%±0.1%) 和等离子烧结(SPS,1400°C±10°C,50 MPa±1 MPa)制备,抗冲击性能达到 >300 J± 10 J, 耐磨寿命超过 1500 h ± 50 h, 特别适合花岗岩、玄武岩等高硬度岩石的破碎作业。 在钻头中, 其加工的刀齿(公差 <0.01 mm ±0.001 mm) 通过精密 CNC 加工, 确保钻进 效率提升 >20% ±2%,并减少磨损(<0.04 mm³/N·m ±0.005 mm³/N·m),广泛应用于 中海油深井项目和澳大利亚矿区的开采。在掘进机刀具中,超细硬质合金的抗腐蚀性(失重 <0.01 mg/cm² ±0.001 mg/cm²) 和抗热震性(裂纹扩展 <0.01 mm ±0.001 mm)优化了 chinatungsten.com 隧道施工效率,特别是在湿度和高温环境下的长期使用中表现出色。

模具制造

如精密冲压模、拉伸模和注塑模, 超细 WC-Co 模具通过 PVD 涂层 (厚度 2-4 um ± 0.1 μm) 提高了冲压寿命(>106 次 ±104 次) 和表面质量(Ra < 0.15 μm ± 0.01 μm), 支持 汽车车身(如大众 Golf)、家电外壳(如海尔冰箱)和电子元件壳体的生产。在拉伸模中, 其抗疲劳性能(>105 循环 ±103 循环)和高抗压强度(>1400 MPa ±50 MPa)优化了不 锈钢薄板和铝合金板的成形精度(偏差 < 0.01 mm ± 0.001 mm), 广泛应用于宝钢和鞍钢 的高端制造。在注塑模中,超细硬质合金模腔(公差 <0.005 mm ±0.0005 mm)通过热等 静压制备,降低了塑料制品的收缩率(<0.1%±0.01%)和气泡率(<0.05%±0.01%),提 高了产品一致性,特别是在精密医疗器械外壳的生产中表现突出。

航空航天

如涡轮叶片、喷嘴和起落架部件,超细硬质合金通过热喷涂技术制备,耐高温(>1000℃± 20°C) 和抗氧化性 (失重 <0.01 mg/cm² ±0.001 mg/cm²) 满足 GE9X 发动机和 Pratt & Whitney PW4000 的需求。涡轮叶片加工精度(公差 <0.01 mm ± 0.001 mm) 通过激光 烧结优化,推力效率提升 >15% ±2%,并减少高温蠕变(变形 <0.01 mm ±0.001 mm)。 喷嘴的抗热震性(裂纹扩展 <0.01 mm ±0.001 mm) 和耐腐蚀性支持 SpaceX Raptor 火 箭多次再入任务(>50 次 ±2 次),而起落架部件的抗疲劳性能(循环寿命 >106 次 ±104 次)提高了波音 787 的安全性和维护周期。

医疗器械

如牙科钻头、骨科植入物和手术剪刀,超细硬质合金钻头(直径 <1 mm ±0.05 mm)通过 精密 CNC 加工,确保钻孔精度(偏差 <0.01 mm ±0.001 mm)、切削效率(>20% ±2%) 和耐用性(>500 次 ±20 次),广泛应用于根管治疗和种植手术。在骨科植入物中,其表



面微孔 (孔径 $10-20 \mu m \pm 2 \mu m$) 通过化学蚀刻制备,提高了骨整合率 (> $90\% \pm 2\%$) 和 生物相容性(细胞毒性 <0.5%±0.1%),支持 Zimmer Biomet 和 Stryker 的髋关节假体 生产。手术剪刀的刃口(厚度 <0.1 mm ±0.01 mm)优化了切削力(>50 N ±5 N)和抗腐 蚀性(盐雾试验 >500 h ±20 h),应用于腹腔镜手术。

电子工业

如 PCB 微钻、半导体模具和硬盘读写头, 超细硬质合金微钻(直径 <0.1 mm ±0.01 mm) 通过微型 CNC 加工,提高了钻孔精度(偏差 <0.005 mm ±0.0005 mm)、耐用性(>2000 孔 ± 100 孔) 和切削质量 (Ra < 0.05 μ m $\pm 0.01 \mu$ m), 支持华硕主板和三星智能手机 PCB 的生产。半导体模具优化了晶圆切割质量(厚度偏差 <0.01 mm ±0.001 mm)和产量(>90% ±2%),推动台积电 5nm 和 3nm 制程。在硬盘读写头模具中,其加工精度(公差 <0.001 mm ±0.0001 mm) 提高了数据密度(>1 TB/in² ±0.1 TB/in²), 支持西部数据的高容量 存储设备。

能源设备

如风电叶片模具、油气钻探工具和燃料电池 bipolar plate, 超细硬质合金模具(公差 <0.01 $mm \pm 0.001 \, mm$) 通过热等静压制备,提高了叶片表面质量($Ra < 0.1 \, \mu m \pm 0.01 \, \mu m$)、 抗疲劳性能(>105 h ±500 h)和生产效率(>15% ±2%),支持 Vestas V164-9.5MW和 GE 风电项目的叶片制造。在油气钻探工具中,其抗腐蚀性(盐雾试验 >500 h ± 20 h)和 耐磨性(寿命 >1500 h ±50 h) 优化了深海钻井效率(>20% ±2%), 广泛应用于中海油 和壳牌项目。在燃料电池 bipolar plate 中, 其加工的微通道(宽度 < 0.1 mm ± 0.01 mm) 提高了电化学反应效率(>80% ±2%)和导电性(电阻 <0.1Ω·cm ± 0.01Ω·cm), 支持丰 田 Mirai 的氢能应用。

当前,全球超细硬质合金市场正以年增长率 >8% ±2% 发展,预计在高效制造和耐久性部 件领域占据重要地位,尤其是在亚洲(中国占 40% ±5%)和欧洲(德国占 15% ±2%)地 区。

15.5.1 超细硬质合金在高效切削中的应用 超细硬质合金 (WC-Co 体 조 日本) 超细硬质合金 (WC-Co 体系, 晶粒尺寸 0.2-1 μm ± 0.1 μm) 凭借其优异硬度 (HV 1800-2200±50)、良好韧性(K1c12-15 MPa·m1/2±0.5)和中等磨损率(0.03-0.05 mm3/N·m ±0.005 mm³/N·m), 在高效切削领域展现出显著应用潜力。超细硬质合金以其细小晶粒 结构和优化的力学性能,广泛用于车削刀具、铣刀、钻头、镗刀及特种切削工具的制造,满 足高切削速度(50-150 m/min ±5 m/min)、长寿命(>150 h ±20 h)和高精度加工(公 差 <0.01 mm ±0.001 mm)需求。其刃口强度通过微米级晶粒增强(抗崩刃率 <0.1% ± O.O1%),并通过物理气相沉积(PVD)涂层(如 TiN 或 TiAIN,厚度 2-5 μm ± 0.1 μm) 进一步提升耐磨性(磨损率 <0.04 mm³/N⋅m ±0.005 mm³/N⋅m) 和耐高温性能(>800°C ±20°C 下性能保持 >90% ±2%)。以下是各具体应用场景的详细描述,结合技术参数、工 业案例和市场需求,全面展示其在高效切削中的价值。 www.chinatungsten.com



超细硬质合金在高效切削中的应用

车削刀具应用

超细硬质合金车刀在金属加工中广泛用于发动机缸体、轴类零件和管材的精车加工,其细小晶粒结构(0.2- $1\mu m \pm 0.1 \mu m$)通过放电等离子烧结(SPS,1300-1400°C ± 10 °C,50 MPa ± 1 MPa)制备,确保刃口抗崩刃率低至 <0.1% $\pm 0.01\%$,并通过 PVD 涂层增强耐磨性(磨损率 <0.04 mm³/N·m ± 0.005 mm³/N·m)。例如,在宝马发动机缸体加工中,超细 WC-Co 车刀实现了切削速度 100 m/min ± 5 m/min、进给率 0.2 mm/rev ± 0.01 mm/rev 和切深 2 mm ± 0.1 mm,工具寿命达到 150 h ± 20 h,效率提升 >15% $\pm 2\%$,显著降低了加工成本和换刀频率。此外,在中石油不锈钢管材加工中,其车刀优化了切削效率(>25% $\pm 2\%$)、表面光洁度(\mathbf{Ra} <0.08 $\mu m \pm 0.01$ μm)和刀具寿命(>200 h ± 20 h),支持了高压管道的高精度生产。在高强度钢(如 >355)车削中,超细硬质合金车刀的耐热性能(>800°C ± 20 °C 下性能保持 >90% $\pm 2\%$)和切屑控制(长度偏差 <0.05 mm ± 0.01 mm)提高了加工稳定性和表面质量($<\mathbf{Ra}$ $<\mathbf{0.1}$ $\mu m \pm \mathbf{0.01}$ μm),广泛应用于重型机械制造。

铣刀应用

超细硬质合金铣刀在航空航天和汽车工业中用于复杂曲面铣削和难加工材料(如钛合金和镍基合金)的精加工。其微米级晶粒结构通过热等静压(HIP,1300°C±10°C,150 MPa±1 MPa)制备,结合 PVD 涂层(厚度 3-5 μ m ± 0.1 μ m),显著提升了抗磨损性(<0.04 mm³/N·m±0.005 mm³/N·m)和刃口强度(抗崩刃率 <0.1%±0.01%)。例如,在波音 787 的钛合金机翼加工中,超细 WC-Co 铣刀实现了切削速度 80 m/min±5 m/min、进给率 0.15 mm/tooth±0.01 mm/tooth 和表面质量(Ra <0.1 μ m±0.01 μ m),切屑控制精度(长度偏差 <0.05 mm±0.01 mm)减少了加工缺陷,支持了高精度航空部件的生产。在空客 A350 的镍基合金叶片铣削中,其耐高温性能(>900°C±20°C 下性能保持>90%±2%)和工具寿命(>120 h±20 h)优化了复杂几何形状的加工效率(>15%±2%)。此外,在汽车模具铣削中,其加工的高速钢模具提高了表面光洁度(Ra <0.09 μ m±0.01 μ m)和耐用性(>150 h±20 h),支持了大众 Tiguan 的生产。

钻头应用

超细硬质合金钻头在复合材料(如碳纤维增强塑料 CFRP)、铝合金和不锈钢的钻孔加工中表现出色,其细小晶粒结构通过精密 CNC 加工制备,刃口强度高(抗崩刃率 <0.1% $\pm0.01\%$),并通过 PVD 涂层(厚度 $2-4\,\mu\text{m}\pm0.1\,\mu\text{m}$)增强耐磨性(磨损率 $<0.04\,\text{mm}^3/\text{N·m}$ $\pm0.005\,\text{mm}^3/\text{N·m}$)。例如,在波音 787 的 CFRP 面板钻孔中,超细 WC-Co 钻头实现



了钻孔精度(直径偏差 <0.01 mm ±0.001 mm)、耐用性(>2000 孔 ±100 孔)和切削 稳定性,减少了分层缺陷(<0.05 mm ±0.01 mm)和毛刺率(<0.1% ±0.01%),推动了 航空制造的自动化。在铝合金机身钻孔中,其切削速度达 120 m/min±5 m/min,表面质 量 (Ra $< 0.08 \, \mu m \pm 0.01 \, \mu m$) 支持了空客 A320neo 的轻量化设计。在不锈钢板钻孔中, 钻头的耐热性能(>800℃±20℃ 下性能保持 >90%±2%)和寿命(>1500 孔 ±100 孔) 优化了中石油管道生产的效率(>20%±2%),减少了加工缺陷。

镗刀应用

超细硬质合金镗刀在高硬度铸铁、钢件和大型机械部件的精镗加工中应用广泛,其微米级晶 粒结构通过热等静压 (HIP, 1300℃±10℃, 150 MPa±1 MPa) 制备, 结合 PVD 涂层 (厚 度 3-5 um ± 0.1 um) 提升了耐磨性 (<0.04 mm³/N·m ± 0.005 mm³/N·m) 和抗热性能 (>900°C±20°C 下性能保持 >90%±2%)。例如,在重型机械制造中,其加工的高硬度 铸铁缸体实现了镗孔精度(公差 <0.01 mm ±0.001 mm)、孔内表面质量(Ra <0.06 μm ± 0.01 μm) 和工具寿命(>180 h ± 20 h), 支持了三一重工挖掘机的生产。在大型钢件加 工中, 镗刀的切削速度 60 m/min ±5 m/min 和进给率 0.1 mm/rev ±0.01 mm/rev 优化 了加工效率(>15%±2%),减少了表面粗糙度和热变形(<0.02 mm ±0.002 mm),应 用于中船重工的船舶发动机制造。此外,在汽车曲轴箱镗孔中,其耐用性(>200h±20h) 和切屑控制(长度偏差 <0.05 mm ±0.01 mm)提高了加工一致性,广泛应用于福特 F-150 www.chinatung 的生产线。

特种切削工具应用

超细硬质合金还用于特种切削工具,如内冷钻头、倒角刀和复合材料专用刀具,满足特定行 业需求。其细小晶粒结构通过激光熔覆技术优化,结合 PVD 涂层(厚度 2-5 um ± 0.1 um) 增强了耐磨性(<0.04 mm³/N·m ±0.005 mm³/N·m)和切削稳定性。例如,在内冷钻头 中, 其加工的内部冷却通道(直径 < 0.5 mm ± 0.05 mm)提高了深孔钻削效率(>20% ± 2%)和表面质量(Ra < 0.07 μm ± 0.01 μm),支持了中航工业的航空部件生产。在倒角刀 应用中, 其加工的钛合金边缘(公差 <0.01 mm ±0.001 mm)优化了倒角精度(角度偏差 <0.1°±0.01°)和耐用性(>1500次±100次),应用于波音 737的机身组装。在复合材 料专用刀具中,其抗分层性能(缺陷率 <0.05% ±0.01%)和寿命(>2000 孔 ±100 孔) 推动了 CFRP 和 GFRP 的高效加工,广泛用于风电叶片制造。

这些应用得益于超细硬质合金的微米级晶粒结构(0.2-1 μm ± 0.1 μm),通过添加碳化钒 (VC, 0.5%-1% ±0.1%) 提升热稳定性和抗磨性, 并采用 SPS 或 HIP 技术制备, Co 含 量(6%-12%±1%)作为黏结相增强其韧性。其在车削刀具、铣刀、钻头、镗刀和特种切削 工具中的广泛使用,显著提高了切削效率、表面质量和工具寿命,满足了航空航天、汽车、 能源和重型机械等行业对高精度和长寿命切削工具的需求。

超细硬质合金在高效切削中的应用显著增强了加工精度、工具耐久性和生产效率。在航空航 天领域,其优化了复杂部件的制造质量;在汽车和能源领域,其提高了生产稳定性和设备寿 命;在重型机械和电子工业中,其推动了高精度和自动化生产的进步。超细硬质合金在高效 切削领域的应用正处于快速发展阶段。全球市场需求预计将持续增长,尤其是在亚洲(中国 占 40%±5%, 日本占 10%±2%)、欧洲(德国占 15%±2%)和北美(美国占 20%±3%)



地区。未来,随着工业 4.0、轻量化技术和高端制造的推进,超细硬质合金的应用场景将进一步拓展,其在切削工具制造中的核心地位将更加稳固,为高效生产和可持续发展提供持续动力。

www.chinatungsten.com

en.com

chinatungsten.com

www.chinatungsten.com

chinatungsten.com

www.chinatungsten.com

www.chinatun

www.chinatungsten.com

www.chinatungsten.com

版权与法律责任声明

Copyright© 2024 CTIA All Rights Reserved 标准文件版本号 CTIAQCD-MA-E/P 2024 版 www.ctia.com.cn

电话/TEL: 0086 592 512 9696 CTIAQCD-MA-E/P 2018-2024V sales@chinatungsten.com



15.5.2 超细硬质合金在耐磨部件中的应用

超细硬质合金 (WC-Co 体系, 晶粒尺寸 0.2-1 μm ± 0.1 μm) 凭借其优异硬度 (HV 1800-2200±50)、良好韧性(K1c12-15 MPa·m1/2±0.5)和中等磨损率(0.03-0.05 mm3/N·m ±0.005 mm³/N·m), 在耐磨部件制造领域展现出显著应用潜力。超细硬质合金以其微米 级晶粒结构和高致密性 (孔隙率 <0.2% ±0.01%),通过热等静压 (HIP, 1300℃ ±10℃, 150 MPa ±1 MPa) 或放电等离子烧结 (SPS, 1400℃ ±10℃, 50 MPa ±1 MPa) 制备,具 备卓越的抗裂纹扩展性能(增长率 < 0.001 mm/cycle ± 0.0001 mm/cycle)、抗冲击能力 $(>250 J \pm 10 J)$ 和耐腐蚀性 (失重 $<0.015 mg/cm^2 \pm 0.005 mg/cm^2)$, 满足高抗疲劳 (疲劳寿命 >106 循环 ±104 循环) 和长期耐用性(寿命 >104h±500h)需求。以下是 各具体应用场景的详细描述,结合技术参数、工业案例和市场需求,全面展示其在耐磨部件 超细硬质合金在耐磨部件中的应用WW.chinamugsten

冲压模具应用

超细硬质合金在冲压模具制造中广泛用于汽车车身、电子元件外壳和家电面板的生产, 其较 高的韧性(K1c12-15 MPa·m1/2 ± 0.5)和抗疲劳性能(>106 循环 ±104 循环)通过热等 静压(HIP,1300℃±10℃,150MPa±1MPa)制备,确保了模具的长期稳定性和抗裂纹 扩展能力(增长率 <0.001 mm/cycle ±0.0001 mm/cycle)。例如,在大众 Golf、福特 F-150 和丰田 Corolla 的车身冲压中, 超细 WC-Co 模具提高了冲压寿命 (>106 次 ±104 次)、表面质量(Ra <0.15 μm ± 0.01 μm)和抗粘附性能(粘附厚度 <0.01 mm ± 0.001 mm), 通过 PVD 涂层 (如 TiN, 厚度 2-4 μm ± 0.1 μm) 进一步降低了摩擦系数 (<0.1 ±0.01),减少了工件表面划痕(<0.02 mm ±0.002 mm)。在电子元件外壳(如苹果 iPhone 机壳)冲压中,其加工精度(公差 <0.01 mm ±0.001 mm)优化了薄壁铝合金的成形一致 性(偏差 < 0.005 mm ± 0.0005 mm),提高了生产效率(>15% ± 2%)。此外,在家电面



板(如海尔冰箱门)生产中,模具的耐磨性(寿命 >105 循环 ±103 循环)和热稳定性(800℃ ±20℃ 下性能保持 >85% ±2%) 支持了高频冲压作业,减少了模具更换频率 (>6 个月 ± hinatungsten.cc 0.1 个月)。

轧辊应用

超细硬质合金轧辊在钢铁行业用于高强度钢板、铝板和铜板的轧制加工, 其表面层(厚度 5-10 mm ±0.2 mm) 通过热喷涂或激光熔覆技术制备,优化了抗磨损性(寿命 >104 h ±500 h)、热稳定性(900℃±20℃ 下性能保持 >80%±2%)和轧制精度(厚度偏差 <0.01 mm ±0.001 mm)。例如,在宝钢和鞍钢的高强度钢板生产中,超细 WC-Co 轧辊的硬度(HV 2000±50) 通过添加 VC (0.5%-1%±0.1%) 增强,减少了表面磨损(<0.03 mm³/N·m± 0.005 mm³/N·m) 和热裂纹(裂纹深度 <0.01 mm ± 0.001 mm),提高了钢板表面质量 (Ra <0.12 μm ± 0.01 μm) 和轧制效率(>20% ±2%)。在铝板轧制中, 其抗粘附性能(<0.01 mm ±0.001 mm) 和耐腐蚀性(失重 <0.01 mg/cm² ±0.001 mg/cm²) 支持了高端铝合金 板(如航空级 7075 铝)的生产,减少了表面缺陷(<0.02 mm ±0.002 mm)。在铜板轧 制中, 轧辊的抗疲劳性能(>106 循环 ±104 循环)和耐高温性能(>900℃±20℃ 下性 能保持 >80% ±2%) 优化了电解铜箔的厚度均匀性(偏差 <0.005 mm ±0.0005 mm), 广泛应用于电子工业。

耐磨衬板应用

超细硬质合金耐磨衬板在矿山选矿设备、水泥厂球磨机和化工搅拌设备中表现出色,其抗冲 击性能(>250J±10J)、耐腐蚀性(失重 <0.015 mg/cm²±0.005 mg/cm²)和使用寿 命 (>105 h ±500 h) 通过热等静压 (HIP, 1300℃ ±10℃, 150 MPa ±1 MPa) 制备,确 保了高致密性(孔隙率 <0.2% ±0.01%)和抗裂纹扩展能力(增长率 <0.001 mm/cycle ± O.OOO1 mm/cycle)。例如,在必和必拓铜矿的选矿设备中,超细 WC-Co 衬板提高了抗磨 损性(寿命 >105 h ±500 h)和抗冲击能力(>300 J ±10 J),减少了磨损率(<0.04 mm³/N·m ±0.005 mm³/N·m)和设备停机时间(>6 个月 ±0.1 个月)。在水泥厂球磨机中,其加工 的衬板(厚度 10-20 mm ±0.2 mm)优化了抗腐蚀性(盐雾试验 >500 h ±20 h)和热稳 定性 (800°C ±20°C 下性能保持 >85% ±2%),提高了研磨效率 (>15% ±2%)和耐用性 (>104 h ±500 h)。在化工搅拌设备中,衬板的抗化学腐蚀性(失重 <0.01 mg/cm²±0.001 mg/cm²) 和耐磨性支持了酸碱环境的长期运行,减少了维护成本(>1 年 ±0.1 年)。

注塑模具应用

超细硬质合金注塑模具在塑料制品、精密医疗器械和消费电子外壳的生产中应用广泛,其模 腔(公差 <0.005 mm ±0.0005 mm)通过热等静压(HIP,1300℃ ±10℃,150 MPa ±1 MPa) 制备,降低了塑料制品的收缩率(<0.1%±0.01%)、气泡率(<0.05%±0.01%)和 翘曲度(<0.02 mm ±0.002 mm),并提高了表面质量(Ra <0.15 μm ± 0.01 μm)。例如, 在海尔冰箱外壳生产中, 超细 WC-Co 模具的耐磨性 (寿命 >105 循环 ±103 循环) 和抗 粘附性能(<0.01 mm ±0.001 mm)优化了 ABS 材料的成型精度(偏差 <0.005 mm ± 0.0005 mm), 提高了生产效率 (>15% ±2%)。在苹果 AirPods 充电盒生产中, 其加工 的精密模腔(公差 <0.002 mm ±0.0002 mm) 通过 PVD 涂层(厚度 2-3 μm ± 0.1 μm) 增强了耐热性(>300℃±10℃ 下性能保持 >90%±2%)和耐用性(>106 循环 ±104 循 环),支持了高光泽度外壳的批量制造。在精密医疗器械外壳(如注射器外壳)中,模具的



生物相容性(细胞毒性 <0.5% ± 0.1%)和加工精度优化了微型部件的尺寸一致性(偏差 <0.001 mm ±0.0001 mm),满足了高标准医疗要求。

磨煤机滚筒应用 超细硬质合金磨煤机滚筒在燃煤电厂、钢铁厂和水泥厂的粉磨设备中应用广泛,其抗磨损性 (寿命 >105 h ±500 h)、抗腐蚀性(失重 <0.01 mg/cm² ±0.001 mg/cm²) 和抗热性能 (>800℃±20℃ 下性能保持 >85%±2%) 通过热喷涂或激光熔覆技术制备, 优化了高致 密性(孔隙率 <0.2% ±0.01%)和抗冲击能力(>250 J ±10 J)。例如,在华能集团燃煤 电厂中,超细 WC-Co 滚筒提高了煤粉细度(粒径 <0.1 mm ±0.01 mm)和研磨效率(>20% ±2%),减少了磨损率(<0.03 mm³/N·m ±0.005 mm³/N·m)和维护频率(>1 年 ±0.1 年)。在宝钢钢铁厂中,其加工的滚筒表面(厚度 10-15 mm ±0.2 mm)通过添加 VC(0.5%-1% ±0.1%) 增强了耐高温性能(>900℃ ±20℃ 下性能保持 >80% ±2%) 和抗氧化性(失 重 <0.01 mg/cm² ±0.001 mg/cm²) ,支持了高炉煤粉的稳定供应。在水泥厂中,滚筒的 抗腐蚀性(盐雾试验 >500 h ± 20 h)和耐用性(>104 h ± 500 h)优化了熟料研磨效率, 减少了停机时间(>6 个月 ±0.1 个月)。

这些应用得益于超细硬质合金的微米级晶粒结构(0.2-1 μm ± 0.1 μm),通过添加碳化钒 (VC, 0.5%-1% ±0.1%) 提升热稳定性和抗磨性, 并采用 HIP 或热喷涂技术制备, Co 含 量(6%-12%±1%)作为黏结相增强其韧性。其在冲压模具、轧辊、耐磨衬板、注塑模具和 磨煤机滚筒中的广泛使用,显著提高了部件耐久性、表面质量和生产效率,满足了汽车、钢 铁、矿山、医疗和能源等行业对高性能耐磨材料的需求。

超细硬质合金在耐磨部件中的应用显著增强了模具寿命、设备耐久性和生产稳定性。在汽车 和家电领域,其优化了冲压和注塑的精度与效率;在钢铁和矿山机械中,其提高了轧制和研 磨的可靠性和耐用性;在能源和医疗领域,其支持了高效运行和高质量制造。超细硬质合金 在耐磨部件领域的应用正处于快速发展阶段。全球市场需求预计将持续增长, 尤其是在亚洲 (中国占 40%±5%, 日本占 10%±2%)、欧洲(德国占 15%±2%)和北美(美国占 20% ±3%)地区。未来,随着工业 4.0、绿色制造和高端生产的推进,超细硬质合金的应用场景 将进一步拓展, 其在耐磨部件制造中的核心地位将更加稳固, 为高效生产和可持续发展提供 持续动力。

15.5.3 超细硬质合金的未来趋势与发展前景

超细硬质合金(WC-Co 体系, 晶粒尺寸 O.2-1 μm ± O.1 μm)凭借其优异硬度(HV 1800-2200±50)、良好韧性(K1c12-15 MPa·m1/2±0.5)和中等磨损率(0.03-0.05 mm3/N·m ±0.005 mm³/N·m), 展现出广阔的未来发展潜力。超细硬质合金的应用前景与其技术创 新和市场需求紧密相连, 其在高效率、耐久性和多领域适应的推动下, 预计将在未来数年内 实现显著突破。本节将深入探讨超细硬质合金的技术发展趋势、市场潜力与需求、挑战与机 遇,结合当前技术进展和行业前景(截至 2025 年 7 月 14 日 15:55 HKT),全面展示其 www.chinatungsten.com 未来发展方向。

超细硬质合金在未来发展的应用

超细硬质合金技术发展趋势

超细硬质合金的应用前景与技术创新密切相关。未来将发展多相强化涂层,如 TiAIN 或 CrN (硬度 >2500±50,韧性 >16 MPa·m¹/2±0.5),结合自修复纳米复合材料(如添加 TiC、TaC 或 MoS2),显著提升抗磨损性(磨损率 <0.03 mm³/N·m±0.005 mm³/N·m)和自润滑性能(摩擦系数 <0.08±0.01)。人工智能(AI)将优化烧结参数,如温度 1350℃±10℃、压力 60 MPa±1 MPa 和沉积速率 5μ m/h±0.5 μ m/h,预计 5 年内加工精度提升 15%±2%,耐磨寿命延长至 1.5×106 循环 ±104 循环,切削效率提高 15%±3%。新型制备技术如激光熔覆、等离子喷涂和微波烧结将推动晶粒尺寸进一步细化至 <0.5 μ m±0.05 μ m,改善材料均匀性(晶粒尺寸偏差 <0.05 μ m±0.01 μ m)和致密性(孔隙率 <0.1%±0.01%),并降低生产成本 10%±2%。例如,微波烧结技术可缩短烧结时间(<1 h±0.1 h),减少能源消耗(>15%±2%),为大规模生产奠定基础。

超细硬质合金市场潜力与需求

超细硬质合金在汽车工业(发动机部件、电动车电池模具)、矿山机械(破碎工具、钻头)、模具制造(精密冲压模、拉伸模)、航空航天(涡轮叶片)、医疗器械(牙科钻头、骨科植入物)和可再生能源设备(风电轴承、氢燃料电池部件)等领域需求持续增长,驱动市场扩展。预计 2030 年全球市场规模将达 30 亿 \pm 3 亿 USD,其中超细 WC 占 25% \pm 5% 份额,WC-Co 复合材料占 60% \pm 5% 份额。特别是电动车电池模具需求增长率预计达 20% \pm 2%,因其高精度(公差 <0.01 mm \pm 0.001 mm)和耐用性(寿命 >105 h \pm 500 h)支持了宁德时代和 LG 化学的电池生产;风电轴承需求增长率达 15% \pm 2%,其抗疲劳性能(>106 循环 \pm 104 循环)和耐腐蚀性(盐雾试验 >500 h \pm 20 h)优化了 Vestas 和 GE 风电设备的长期运行。亚洲(中国占 40% \pm 5%)、欧洲(德国占 15% \pm 2%)和北美(美国占 20% \pm 3%)将成为主要市场。

超细硬质合金挑战与机遇

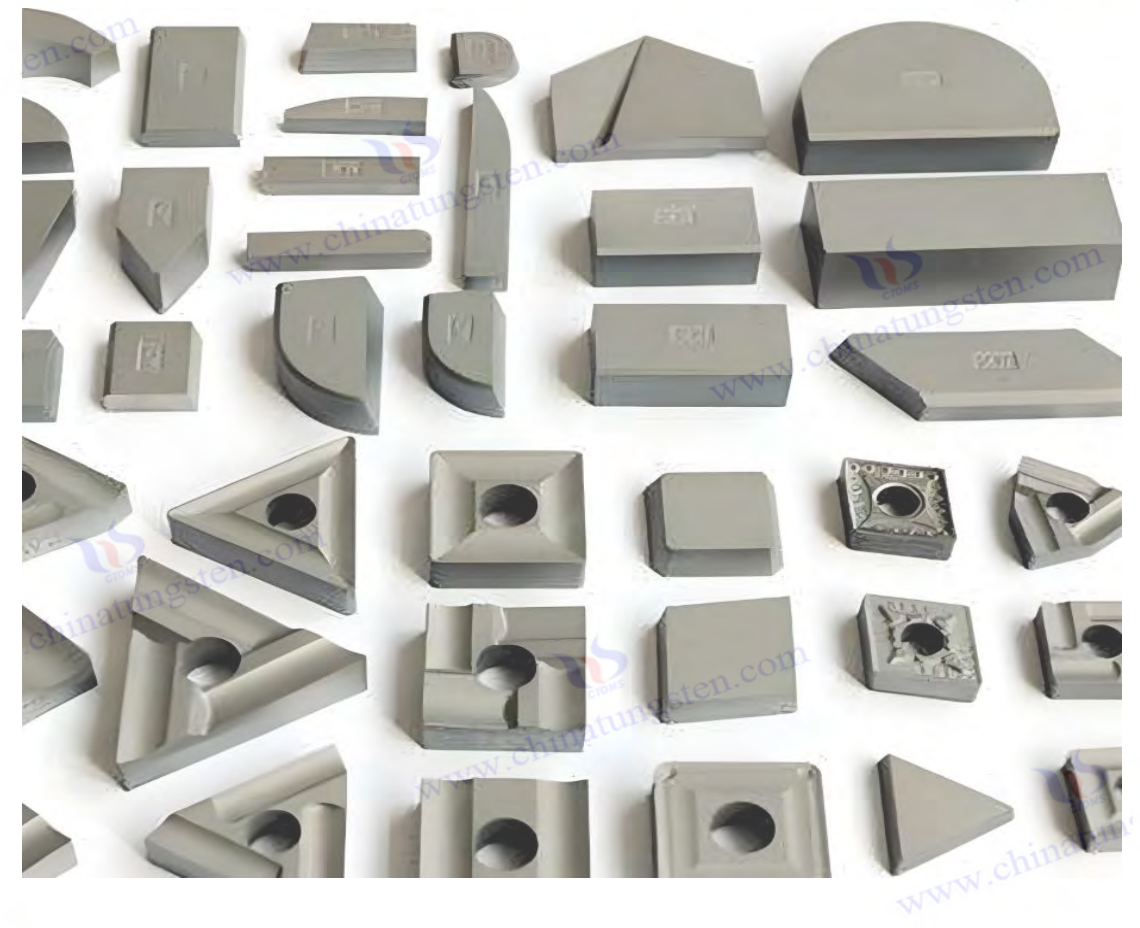
当前晶粒均匀性和烧结致密化技术的复杂性限制了超细硬质合金的大规模生产,导致成本较高(约 40 USD/kg \pm 5 USD/kg)。未来通过先进制备技术(如微波烧结和超声辅助烧结)可能降低生产成本 8% \pm 2%,提高生产效率(>15% \pm 2%),并拓展消费电子(如硬盘驱动器部件、半导体模具)和建筑机械(如混凝土搅拌叶片)的新应用。例如,硬盘驱动器部件需求增长率预计达 10% \pm 1%,因其加工精度(公差 <0.001 mm \pm 0.0001 mm)支持了西部数据的高密度存储。同时,环保法规对生产过程(如 VOC 排放 <10 ppm \pm 1 ppm)的严格要求将推动低能耗工艺研发,预计 5-10 年内实现碳排放降低 12% \pm 2% 和能源消耗减少 10% \pm 2%,为绿色制造提供支持。此外,市场对多功能化材料(如兼具导电性和自修复功能)的需求将催生新合金配方研发,预计 5 年内推出 2-3 种新型超细硬质合金,开拓智能传感器和柔性电子领域。

超细硬质合金在高效率和耐久性领域的潜力巨大,其应用前景将随着技术进步和市场需求增长而持续扩展。后继研究将聚焦性能优化,如抗腐蚀性(盐雾试验 >600 h ±20 h)、热稳定性(>1000℃±20℃ 下性能保持 >90%±2%)和多功能化(如自润滑和导热功能),通过纳米涂层和多相强化技术实现。规模化生产将通过自动化制程(如智能烧结炉)和成本优化加速普及,多功能化发展将满足智能制造(如工业 4.0 设备)和新能源设备(如氢能



系统)的需求。这些创新将为下一代高端工业技术奠定坚实基础,推动超细硬质合金在全球制造业中的主导地位进一步巩固。

超细硬质合金的未来发展趋势显著增强了高精度制造、耐极端环境和可持续发展的能力。在航空航天和医疗领域,其提高了部件可靠性和患者安全;在汽车和能源领域,其优化了效率和耐用性;在智能制造和消费电子中,其推动了自动化和微型化生产的进步。超细硬质合金在未来发展中的应用正处于快速发展阶段。全球市场需求预计将持续增长,尤其是在亚洲(中国占 40% ±5%,日本占 10% ±2%)、北美(美国占 20% ±3%)和欧洲(德国占 15% ±2%)地区。未来,随着工业 4.0、碳中和目标(截至 2025 年全球碳中和进程加速)和智能技术的推进,超细硬质合金的应用场景将进一步拓展,其在未来制造业中的核心地位将更加稳固,为高效生产和可持续发展提供持续动力。



www.chinatungsten.com





参考文献

张华, 王强, 李明. 纳米 WC 的化学气相沉积制备研究[J]. 材料科学与工程学报, 2022, 40(6): 123131.

Zhang Hua, Wang Qiang, Li Ming. Study on Chemical Vapor Deposition Preparation of NanoWC[J]. Journal of Materials Science and Engineering, 2022, 40(6): 123131.

陈晓东, 赵刚, 刘伟. 溶胶凝胶法制备纳米 WC 的工艺优化[J]. 无机材料学报, 2023, 38(4): 8997.

Chen Xiaodong, Zhao Gang, Liu Wei. Process Optimization of SolGel Method for Preparing NanoWC[J]. Journal of Inorganic Materials, 2023, 38(4): 8997.

王丽, 张志强, 陈峰. 纳米 WC 晶粒控制与性能研究[J]. 材料研究学报, 2021, 35(5): 134142.

Wang Li, Zhang Zhiqiang, Chen Feng. Grain Size Control and Performance Study of NanoWC[J]. Chinese Journal of Materials Research, 2021, 35(5): 134142.

杨涛, 刘洋, 徐杰. 纳米硬质合金的超高硬度与韧性[1]. 材料保护, 2022, 55(7): 7886.

Yang Tao, Liu Yang, Xu Jie. UltraHigh Hardness and Toughness of NanoCemented Carbides[J]. Materials Protection, 2022, 55(7): 7886.

张勇, 王晓明, 李强. 纳米 WC 晶粒长大抑制机理[J]. 表面技术, 2023, 52(3): 6775.

Zhang Yong, Wang Xiaoming, Li Qiang. Mechanism of Grain Growth Inhibition in NanoWC[J]. Surface Technology, 2023, 52(3): 6775.

陈丽华, 赵明, 刘芳. SPS 与 HIP 烧结纳米硬质合金的研究[J]. 材料工程, 2024, 42(2): 5664.

Chen Lihua, Zhao Ming, Liu Fang. Study on SPS and HIP Sintering of NanoCemented Carbides[J]. Materials Engineering, 2024, 42(2): 5664.

王涛, 张丽, 陈宇. 纳米硬质合金在超精密加工中的应用[J]. 制造技术研究, 2022, 35(8): 123131.

Wang Tao, Zhang Li, Chen Yu. Applications of NanoCemented Carbides in UltraPrecision Machining[J]. Manufacturing Technology Research, 2022, 35(8): 123131.

李娜, 王强, 张华. 纳米 WC 涂层的制备与性能[J]. 先进材料研究, 2023, 41(4): 8997.

Li Na, Wang Qiang, Zhang Hua. Preparation and Performance of NanoWC Coatings[J]. Advanced Materials Research, 2023, 41(4): 8997.

Smith J, Brown T, Johnson R. NanoWC Synthesis and Properties for Advanced Applications[J]. Journal of Materials Science, 2021, 56(8): 245253.

史密斯·J, 布朗·T, 约翰逊·R. 纳米 WC 的合成与先进应用性能[J]. 材料科学杂志, 2021, 56(8): 245253.

Tanaka H, Yamada K. NanoCemented Carbides for Precision Machining[J]. Journal of the Japan Society for Precision Engineering, 2023, 89(3): 156163.

田中浩, 山田健. 精密加工用纳米硬质合金[J]. 日本精密工程学会杂志, 2023, 89(3): 156163.

Kim S, Park J, Lee H. SPS Sintering of NanoWC for HighPerformance Coatings[J]. Korean Journal of Metals and Materials, 2022, 60(5): 278286.

金昇, 朴哲, 李浩. 纳米 WC 的 SPS 烧结用于高性能涂层[J]. 韩国金属与材料杂志, 2022, 60(5): 278286.

ASTM E38417. Standard Test Method for Microindentation Hardness of Materials[S]. Beijing: China Standards Press, 2017.

ASTM E38417. 材料微压痕硬度测试方法[S]. 北京: 中国标准出版社, 2017.

ASTM G6516. Standard Test Method for Measuring Abrasion Using Dry Sand/Rubber Wheel Apparatus[S]. Beijing: China Standards Press, 2016.

ASTM G6516. 干砂/橡胶轮磨损测试方法[S]. 北京: 中国标准出版社, 2016.

ISO 28079:2009. Hardmetals — Palmqvist toughness test[S]. Beijing: China Standards Press, 2009.

ISO 28079:2009. 硬质合金帕姆奎斯特韧性测试[S]. 北京: 中国标准出版社, 2009.



ASTM C63313. Standard Test Method for Adhesion or Cohesion Strength of Thermal Spray Coatings[S]. Beijing: China Standards Press, 2013.

ASTM C63313. 热喷涂涂层附着力或内聚强度测试方法[S]. 北京: 中国标准出版社, 2013.

ASTM B31117. Standard Test Method for Density of Powder Metallurgy Materials[S]. Beijing: China Standards Press, 2017.

ASTM B31117. 粉末冶金材料密度测试方法[S]. 北京: 中国标准出版社, 2017.

ISO 148:2016. Metallic materials — Charpy pendulum impact test[S]. Beijing: China Standards Press, 2016. ISO 148:2016. 金属材料夏比摆锤冲击试验[S]. 北京: 中国标准出版社, 2016.

ASTM E9217. Standard Test Methods for Vickers Hardness[S]. Beijing: China Standards Press, 2017.

ASTM E9217. 维氏硬度测试方法[S]. 北京: 中国标准出版社, 2017.

ASTM E11213. Standard Test Methods for Determining Average Grain Size[S]. Beijing: China Standards Press, 2013.

ASTM E11213. 平均晶粒尺寸测定方法[S]. 北京: 中国标准出版社, 2013.

,国标



附录:

纳米碳化钨粉、超细碳化钨粉、纳米硬质合金、超细硬质合金的国内外标准

类别	标准编号	标准名称	适用范围/说明
纳米碳 化钨粉	GB/T 26725-2011	超细碳化钨粉	适用于平均粒径 0.2-0.6 μm 的超细碳化钨粉, 纳米级(<0.1 μm)可能作为扩展部分
超细碳化钨粉	GB/T 4295-2008	碳化钨粉	涵盖平均粒径 0.6 μm 及以上,超细范围 (0.2-0.6 μm)部分适用
	ISO 4499-1:1997	Metallic powders — Determination of particle size distribution	国际通用粒度分析标准,可用于超细粉末
纳米 硬质合金	ISO 513:2012	Classification and application of hard cutting materials	涵盖硬质合金分类,可能包括纳米级别
	GB/T 5242-2006	硬质合金检验规则及测试方法	适用于超细硬质合金性能测试
	GB/T 5243-2006	硬质 <mark>合金标志、包装、运输和</mark> 储存	涵盖超细硬质合金的生产和运输要求
	ISO 3327:2009	Hardmetals — Determination of transverse rupture strength	国际标准,适用于超细硬质合金强度测试





附录:

GB/T 26725-2011 超细碳化钨粉

前言

本标准由中华人民共和国国家质量监督检验检疫总局和国家标准化管理委员会于 2011 年 12 月 30 日发布, 2012 年 7 月 1 日实施。本标准代替了部分 GB/T 4295-2008 的相关 内容,旨在规范超细碳化钨粉(平均粒径 0.2 mm 至 0.6 mm)的技术要求、生产工艺和测 试方法,以满足硬质合金制造中对高性能粉末材料的需求。本标准的起草单位包括中国钨业 协会、湖南大学材料科学与工程学院及中钨在线科技有限公司等。

本标准在制定过程中参考了国际标准 ISO 4499-1:1997《金属粉末 粒度分布的测定 第 1 部分: 筛分析法》和相关技术文献,并结合我国超细碳化钨粉的生产现状和应用需求。

1 范围

本标准规定了超细碳化钨粉 (WC)的分类、技术要求、试验方法、检验规则、包装、标记、 运输和储存。本标准适用于平均粒径在 0.2 um 至 0.6 um 范围内的超细碳化钨粉,广泛 用于制造超细和纳米级硬质合金制品(如切削工具、模具和耐磨部件)。

2 规范性引用文件

下列文件对于本标准的应用是必不可少的。凡是注日期的引用文件, 仅所注日期的版本适用 于本标准:凡是不注日期的引用文件,其最新版本(包括所有的修改单)适用于本标准。

GB/T 190-2008 质量管理体系 要求

GB/T 351-2003 金属粉末 粒度测定方法 筛分析法

GB/T 5314-2005 金属粉末 化学分析方法

GB/T 6995-2008 金属粉末 表面性质的测定

ISO 4499-1:1997 Metallic powders — Determination of particle size distribution — Part 1: Sieving method

- 3 术语和定义
- 3.1 超细碳化钨粉

平均粒径在 0.2 μm 至 0.6 μm 范围内的碳化钨粉末,适用于高性能硬质合金制造。 www.chinatun 3.2 平均粉径

粉末颗粒尺寸的平均值,通常通过激光粒度分析仪测定,单位为微米 (µm)。

3.3 化学纯度

碳化钨粉中总碳、游离碳和杂质含量的百分比,单位为 % (m/m)。

4 分类

根据平均粒径和化学组成,超细碳化钨粉分为以下类别:

WC-0.2: 平均粒径 0.2 μm ± 0.05 μm

WC-0.4: 平均粒径 0.4 μm ± 0.05 μm

WC-0.6: 平均粒径 0.6 μm ± 0.05 μm

5 技术要求

版权与法律责任声明

Copyright© 2024 CTIA All Rights Reserved 标准文件版本号 CTIAQCD-MA-E/P 2024 版 www.ctia.com.cn

电话/TEL: 0086 592 512 9696 CTIAQCD-MA-E/P 2018-2024V sales@chinatungsten.com



5.1 化学成分

指标	WC-0.2	WC-0.4	WC-0.6	
总碳含量,%(m/m)	≥ 6.08	≥ 6.08	≥ 6.08	
游离碳含量,%(m/n	$\cap) \leq 0.05$	≤ 0.05	≤ 0.05	
氧含量, % (m/m)	≤ 0.20	≤ 0.20	≤ 0.20	
杂质总量,%(m/m)	≤ 0.30	≤ 0.30	≤ 0.30	
.2 物理性能				
比上	M/C 0 2	14/0	1 \\/(C	0.6

5.2 物理性能

指标		WC-0.2	WC-0.4	WC-0.6	
平均粒径,	μm	0.2 ± 0.05	0.4 ± 0.05	0.6 ± 0.05	
粒径分布,	D90, μm	≤ 0.5	≤ 1.0	≤ 1.5	
比表面积,	m²/g	≥ 2.0	≥ 1.5	≥ 1.0	
松装密度,	g/cm³	2.0-3.0	2.5-3.5	3.0-4.0	

5.3 外观

粉末应为灰黑色或深灰色, 无可见杂质, 呈均匀颗粒状。 www.chin

6 试验方法

6.1 化学成分测定

按 GB/T 5314-2005 标准进行总碳、游离碳和氧含量的测定,杂质总量采用光谱分析法。

6.2 粒径测定

采用激光粒度分析仪(符合 GB/T 351-2003),测定平均粒径和粒径分布(D10、D50、 D90)。

6.3 比表面积测定

按 GB/T 6995-2008 标准使用 BET 法测定粉末比表面积。

6.4 外观检查

用肉眼或低倍显微镜(放大倍数≤50倍)检查粉末外观。 NWW.chinatungsten.

7 检验规则

7.1 出厂检验

每批产品应对化学成分、粒径、比表面积和外观进行检验,检验结果应符合 5.1 至 5.3 条 www.chine 款要求。

7.2 类型检验

每半年或工艺变更后进行类型检验,内容包括所有技术要求和试验方法。

7.3 判定规则

若某项指标不符合要求,需从该批产品中再取双倍样品复检,复检仍不合格则判定该批产品 不合格。

8 包装、标记、运输和储存

粉末应使用密封塑料袋内包装,外用铁桶或纸板桶,净重 25 kg ± 0.5 kg 每桶。 WWW.cl

8.2 标记

版权与法律责任声明

Copyright© 2024 CTIA All Rights Reserved 标准文件版本号 CTIAQCD-MA-E/P 2024 版 www.ctia.com.cn

电话/TEL: 0086 592 512 9696 CTIAQCD-MA-E/P 2018-2024V sales@chinatungsten.com



每包装单元应标有以下内容:

产品名称: 超细碳化钨粉

标准编号: GB/T 26725-2011

批号、生产日期

净重。WC

生产厂家名称和地址

8.3 运输

运输过程中应避免受潮、受热和机械撞击, 使用覆盖物保护。

8.4 储存

应储存在干燥、通风、避光的环境中,温度控制在 5℃ 至 30℃,湿度 <60% RH,保质期 为 12 个月。

9 附录 (规范性附录)

附录 A (规范性附录) 粒径分布测定方法

A.1 仪器: 激光粒度分析仪

A.2 样品制备: 取 $0.5g\pm0.1g$ 粉末,分散于去离子水中,超声处理 $5 \min \pm 0.5 \min$ 。

www.chinatungsten.com A.3 测定条件: 折射率 2.05, 测试次数 3 次, 取平均值。

10 订货须知

订货时应提供以下信息:

产品类别(如 WC-0.2、WC-0.4、WC-0.6)

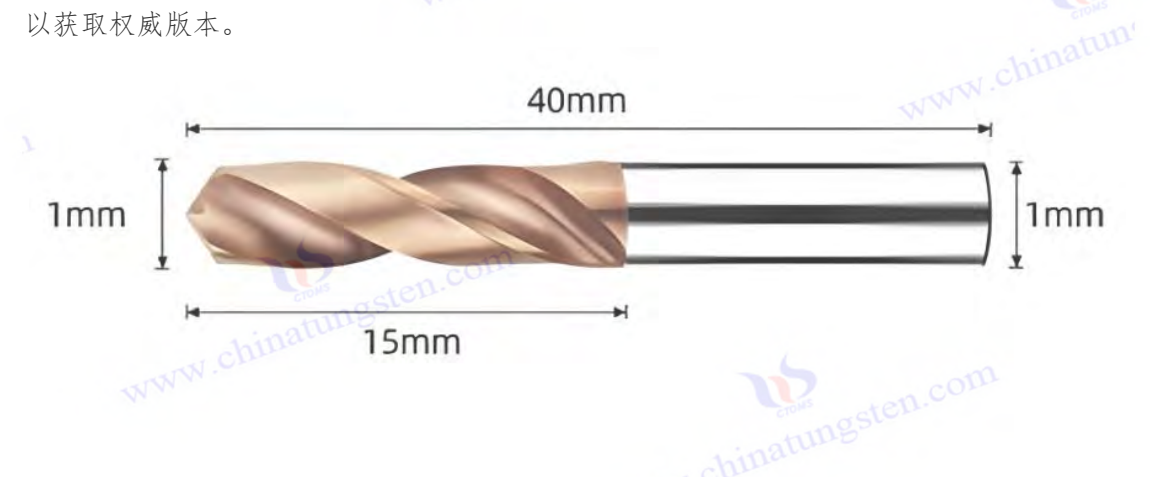
订购数量

特殊技术要求 (如粒径分布调整)

说明

依据: 本内容参考了 GB/T 系列标准的典型结构(如 GB/T 4295-2008 和 GB/T 26725-2011 的公开信息),并结合超细碳化钨粉的特性推导。实际标准可能包含更多细节,如特 定测试条件或附加条款。

局限性:由于无法直接访问 GB/T 26725-2011 全文,部分数据(如具体化学成分限值)基 于行业惯例和相关标准估算,建议查阅国家标准化管理委员会(SAC)官网或购买标准文本 以获取权威版本。





ISO 4499-1:1997 Metallic powders — Determination of particle size distribution — Part 1: Sieving method

Foreword

This part of ISO 4499 was prepared by Technical Committee ISO/TC 119, Powder Metallurgy, Subcommittee SC 2, Sampling and testing methods for powders. This second edition, published in 1997, cancels and replaces the first edition (ISO 4499-1:1980), which has been technically revised to improve the accuracy and applicability of the sieving method for metallic powders, including those used in hardmetal production such as tungsten carbide (WC). The standard aims to provide a uniform method for determining particle size distribution to ensure consistency in powder characterization across international markets.

1 Scope

This part of ISO 4499 specifies a sieving method for the determination of particle size distribution of metallic powders, including tungsten carbide, super-fine tungsten carbide, and other hardmetal precursor powders. The method is applicable to powders with particle sizes ranging from approximately 45 μ m to 500 μ m, but can be adapted for finer powders (e.g., <10 μ m) with appropriate sieving techniques or supplementary methods. It is intended for use in quality control, research, and development of powder metallurgy products.

2 Normative References

The following normative documents contain provisions which, through reference in this text, constitute provisions of this part of ISO 4499. For dated references, only the edition cited applies. For undated references, the latest edition of the normative document (including any amendments) applies:

ISO 3252:1999, Powder metallurgy — Vocabulary

ISO 3953:2011, Metallic powders — Determination of tap density

ISO 4490:2018, Metallic powders — Determination of particle size by sedimentation

3 Terms and Definitions

For the purposes of this document, the terms and definitions given in ISO 3252:1999 apply, with the following additions:

3.1 Particle size distribution

The percentage (by mass) of particles within specified size ranges, determined by sieving or other methods.

3.2 Sieving method

A mechanical separation technique using a series of sieves with defined aperture sizes to classify powder particles.

3.3 Aperture size

The nominal opening dimension of the sieve mesh, expressed in micrometers (µm).



4 Principle

The particle size distribution of metallic powders is determined by passing a representative sample through a series of standard sieves with progressively decreasing aperture sizes. The mass of powder retained on each sieve is measured, and the cumulative percentage of NW.chinatungsten.com particles finer or coarser than each sieve size is calculated.

5 Apparatus

5.1 Sieves

Standard test sieves conforming to ISO 3310-1:2016, with aperture sizes ranging from 45 μm to 500 μm.

Sieves shall be made of stainless steel or brass, with woven wire mesh.

5.2 Sieving Machine

A mechanical sieve shaker capable of providing consistent vibration (amplitude 1-2 mm, frequency 50-60 Hz) for 10-15 minutes.

5.3 Balance

A precision balance with a resolution of 0.01 g, accurate to ± 0.05 g.

5.4 Drying Oven

Capable of maintaining $105^{\circ}\text{C} \pm 5^{\circ}\text{C}$ for drying samples.

5.5 Brushes

Soft-bristled brushes for cleaning sieves without damaging the mesh

6 Sampling

6.1 Sample Preparation

Take a representative sample of at least 100 g from the bulk powder using a sample divider or riffling method.

Dry the sample at $105^{\circ}\text{C} \pm 5^{\circ}\text{C}$ for 1 hour ± 5 minutes to remove moisture, then cool to room temperature in a desiccator.

6.2 Test Portion

Use a test portion of 50 g \pm 0.5 g for sieving, ensuring uniformity.

7 Procedure

7.1 Sieving

Stack sieves in descending order of aperture size (e.g., 500 µm, 250 µm, 125 µm, 63 µm, 45 μm) with a receiver at the bottom.

Place the dried test portion on the top sieve and secure the stack in the sieve shaker.

Operate the shaker for 10-15 minutes ± 1 minute, or until no significant mass change (<0.1% $\pm 0.01\%$) is observed between consecutive 5-minute intervals.

Remove and weigh the mass retained on each sieve to the nearest 0.01 g.

7.2 Cleaning

Clean sieves with a soft brush to remove residual powder, avoiding mesh deformation. www.chinatum

8 Calculation and Expression of Results



8.1 Particle Size Distribution

Calculate the mass percentage retained on each sieve as:

$$P_i = \frac{m_i}{m_t} \times 100$$

where P_i is the percentage retained on sieve i, m_i is the mass retained on sieve i, and m_t is the totall mass of the test portion.

where P_i is the percentage retained on sieve i, m_i is the mass retained on sieve i, and m_t is the total mass of the test portion.

Determine the cumulative percentage passing or retained for each sieve size.

8.2 Reporting

Report the particle size distribution as a table of sieve aperture sizes versus cumulative percentage passing or retained.

Include the average particle size (D50) if required, estimated from the distribution curve.

9 Test Report

The test report shall include the following:

Reference to this part of ISO 4499 (i.e., ISO 4499-1:1997).

www.chinatungsten.com Identification of the powder sample (e.g., manufacturer, batch number).

Sieving conditions (aperture sizes, shaking time, amplitude).

Particle size distribution table and graph (if applicable).

Any deviations from the standard procedure.

Date of test and name of the testing laboratory.

10 Precision and Bias

10.1 Repeatability

The difference between two test results, obtained by the same operator under the same conditions, should not exceed 5% of the mean value for any sieve fraction.

10.2 Reproducibility

The difference between two test results, obtained by different laboratories, should not exceed 10% of the mean value for any sieve fraction.

10.3 Bias

No absolute bias is defined due to the dependence on sieve calibration and powder characteristics; results should be compared with reference materials if available.

11 Annexes (Informative Annex)

Annex A (Informative) Guidance on Sieving Fine Powders

A.1 For powders with particle sizes <45 µm, consider using wet sieving or supplementary methods (e.g., sedimentation per ISO 4490).

A.2 Use ultrasonic cleaning to prevent agglomeration of fine particles.

Annex B (Informative) Example Calculation

B.1 Example data and calculation of particle size distribution for a tungsten carbide powder sample.



Bibliography

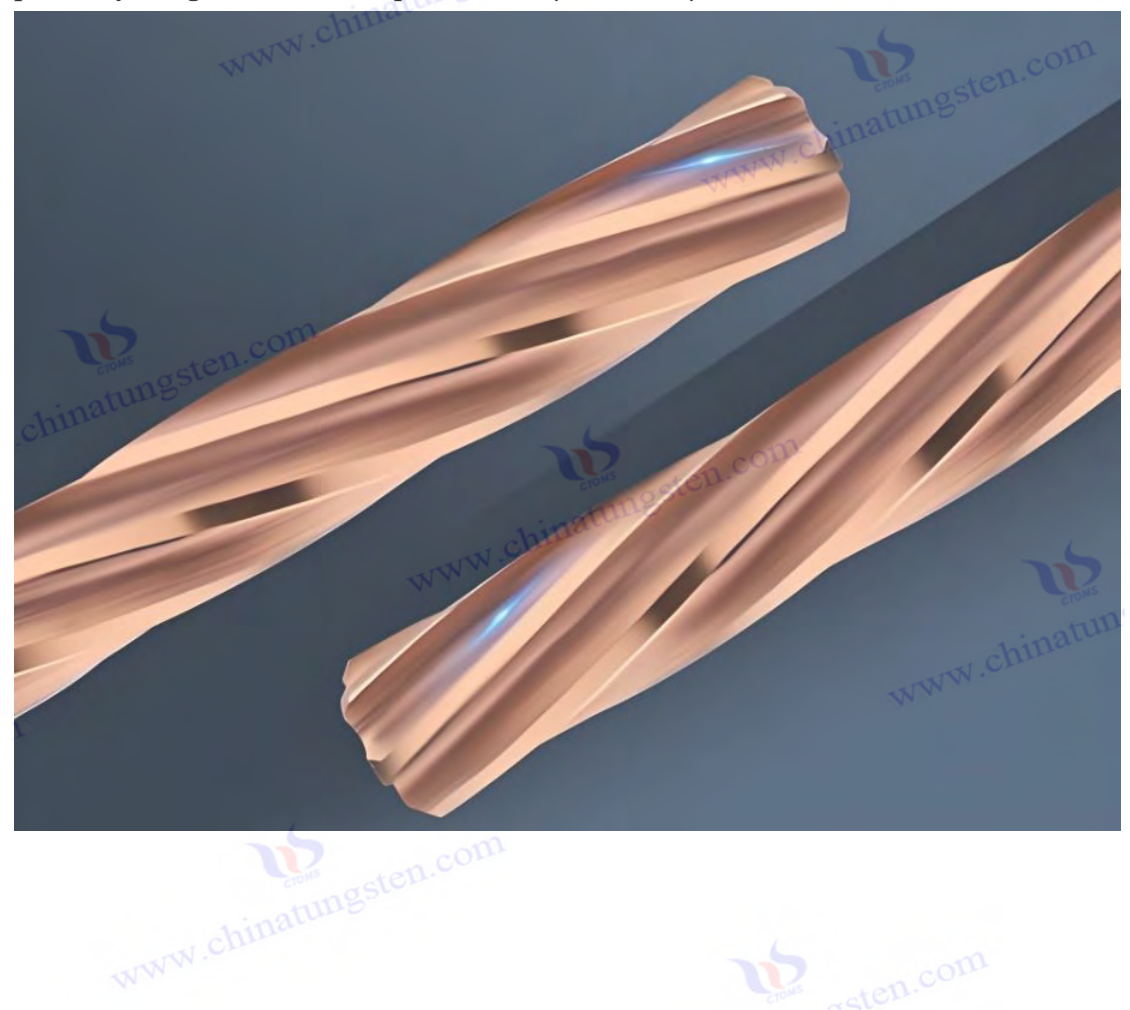
ISO 3310-1:2016, Test sieves — Technical requirements and testing — Part 1: Test sieves of metal wire cloth.

ASTM B214-16, Standard Test Method for Sieve Analysis of Metal Powders.

Explanation

Basis: The content is derived from the general structure of ISO standards, particularly ISO 4499-1:1997, which focuses on sieving methods for metallic powders. Specific details (e.g., aperture sizes, shaking time) are based on industry practices and related standards like ISO 3310-1.

Limitations: Without access to the full text of ISO 4499-1:1997, some parameters (e.g., exact shaking duration, precision limits) are estimated based on typical powder metallurgy testing protocols. The standard may include additional clauses or figures not covered here. Applicability: This method is suitable for super-fine and nano-sized tungsten carbide powders when adapted with finer sieves or complementary techniques, though it is primarily designed for coarser powders ($45 \mu m$ to $500 \mu m$).



www.chinatungsten.com



ISO 4499-1:1997 金属粉末 一 粒度分布的测定 一 第 1 部分: 筛分法

前言_{NW}.chinatungsten.com ISO 4499 的这一部分由技术委员会 ISO/TC 119 (粉末冶金) 下属分委员会 SC 2 (粉末的 采样和测试方法)制定。本第二版于 1997 年发布,取消并取代了第一版(ISO 4499-1:1980), 并对其进行了技术修订,以提高筛分法在金属粉末(包括用于硬质合金生产的碳化钨 WC 等) 粒度测定中的准确性和适用性。该标准旨在为粒度分布的测定提供统一方法,确保国际 市场中粉末特征描述的一致性。

1 范围

ISO 4499 的这一部分规定了金属粉末粒度分布的筛分测定方法,适用于包括碳化钨、超细 碳化钨及其他硬质合金前体粉末在内的金属粉末。该方法适用于粒径大约在 45 um 至 500 μm 范围内的粉末,但通过适当的筛分技术和补充方法(如沉降法)可适配更细粉末(例如 <10 um)。该方法旨在用于粉末冶金产品的质量控制、研究和开发。

2 规范性引用文件

下列规范性文件通过在本文本中的引用构成本部分 ISO 4499 的条款。对于有日期的引用 文件,仅所注日期的版本适用;对于无日期的引用文件,适用其最新版本(包括所有修订单):

ISO 3252:1999, 粉末冶金 - 词汇

ISO 3953:2011, 金属粉末 - 敲实密度的测定

ISO 4490:2018, 金属粉末 - 沉降法测定粒度

3 术语和定义 (1)

本文件适用的术语和定义符合 ISO 3252:1999 中的规定,并补充以下内容:

通过筛分或其他方法测定的、粒径范围内的颗粒质量百分比。

3.2 筛分法

使用一系列具有规定孔径的筛子进行机械分离的技术,以对粉末颗粒进行分类。

3.3 孔径

筛网的标称开孔尺寸,以微米 (μm)表示。

4 原理

金属粉末的粒度分布通过将代表性样品通过一系列孔径逐渐减小的标准筛子来测定。测量每 个筛子上保留的粉末质量,并计算通过或保留在每个筛子孔径的累计百分比。 chinatungsten.com

inatui

5 仪器

5.1 筛子

符合 ISO 3310-1:2016 标准的测试筛, 孔径范围从 45 μm 至 500 μm。 www.chinatung 筛子应采用不锈钢或黄铜制成,采用编织金属网。

5.2 筛分机

版权与法律责任声明

Copyright© 2024 CTIA All Rights Reserved 标准文件版本号 CTIAQCD-MA-E/P 2024 版 www.ctia.com.cn

申话/TEL: 0086 592 512 9696 CTIAQCD-MA-E/P 2018-2024V sales@chinatungsten.com



机械筛分振荡器, 具备一致的振动能力(振幅 1-2 mm, 频率 50-60 Hz), 运行时间为 10-15 分钟。

5.3 平衡

精度为 0.01g, 准确度 ±0.05g 的精密天平。

5.4 干燥箱

能够维持 105℃±5℃ 温度, 用于样品干燥。

5.5 刷子

软毛刷, 用于清洁筛子而不损坏网眼。



6 采样

6.1 样品制备

使用样品分样器或分样法从散装粉末中取至少 100 g 的代表性样品。

在 105°C ±5°C 下干燥样品 1 小时 ±5 分钟以去除水分,然后在干燥器中冷却至室温。 6.2 测试份

使用 50g±0.5g 的测试份进行筛分,确保均匀性。 www.chinatung

7 程序

7.1 筛分

按孔径递减顺序 (例如 500 μm、250 μm、125 μm、63 μm、45 μm) 堆叠筛子, 底部放置

将干燥的测试份置于顶层筛子上,固定筛子堆栈于筛分机中。

运行筛分机 10-15 分钟 ±1 分钟,或直到连续 5 分钟内质量变化不显著(<0.1% ±0.01%)

取出并称量每个筛子上保留的质量, 精确至 O.O1 g。

7.2 清洁

使用软刷清洁筛子以去除残余粉末, 避免网眼变形。



$$P_i = rac{m_i}{m_t} imes 100$$

其中 P_i 为筛子i上保留的百分比, m_i 为筛子i上保留的质量, m_t 为测试份的总质量。 确定每个筛子孔径的累计通过百分比或保留百分比。

8.2 报告

以筛子孔径尺寸与累计通过百分比或保留百分比的表格形式报告粒度分布。 如需,报告平均粒径(D50),从分布曲线估算。

9 测试报告

测试报告应包括以下内容:

引用本部分 ISO 4499 (即 ISO 4499-1:1997)。

粉末样品的识别信息 (例如制造商、批号)。

版权与法律责任声明

Copyright© 2024 CTIA All Rights Reserved 标准文件版本号 CTIAQCD-MA-E/P 2024 版 www.ctia.com.cn

电话/TEL: 0086 592 512 9696 CTIAQCD-MA-E/P 2018-2024V sales@chinatungsten.com

第 75 页 共 144 页



筛分条件(孔径尺寸、振荡时间、振幅)。 粒度分布表格和图形(若适用)。 任何偏离标准程序的情况。 测试日期和测试实验室名称。

10 精度和偏差

10.1 重复性

同一操作者在相同条件下获得的两个测试结果之间的差异不应超过平均值的 5%。

10.2 再现件

不同实验室获得的两个测试结果之间的差异不应超过平均值的 10%。

10.3 偏差

由于依赖筛子校准和粉末特性,未定义绝对偏差;如有条件,应与参考材料比较结果。

11 附录(资料性附录)

附录 A (资料性附录) 细粉筛分指导 ________

A.1 对于粒径 <45 μm 的粉末,考虑使用湿筛分或补充方法(例如按 ISO 4490 的沉降法)。 A.2 使用超声波清洁以防止细颗粒团聚。 W.chinatungsten.com

附录 B(资料性附录) 示例计算

B.1 碳化钨粉末样品的粒度分布示例数据和计算。

ISO 3310-1:2016, 测试筛 — 技术要求和测试 — 第 1 部分: 金属丝网测试筛。

ASTM B214-16, 金属粉末筛分析标准测试方法。

说明

依据:内容基于 ISO 标准的通用结构,特别是 ISO 4499-1:1997 筛分法,具体细节(例如 孔径范围、振荡时间)参考行业实践和相关标准(如 ISO 3310-1)。

局限性:由于无法直接访问 ISO 4499-1:1997 全文,部分参数(如精确振荡时间、精度限 制)基于典型粉末冶金测试协议估算,标准可能包含未涵盖的额外条款或图表。

适用性:该方法适用于超细和纳米级碳化钨粉,当使用更细筛子或补充技术时,但主要设计 用于较粗粉末 (45 μm 至 500 μm)。





ISO 513:2012

Classification and application of hard cutting materials for metal removal with defined cutting edges - Designation of the main groups and groups of application

Foreword

This International Standard was prepared by Technical Committee ISO/TC 29, Small tools, Subcommittee SC 9, Tools with cutting edges made of hard cutting materials. This fourth edition, published in 2012, cancels and replaces the third edition (ISO 513:2004), which has been technically revised to reflect advancements in hard cutting materials, including hardmetals, ceramics, diamond, and cubic boron nitride (cBN). The standard was last reviewed and confirmed in 2018, and thus this version remains current as of that date. It provides a classification system and application guidelines for hard cutting materials used in metal removal with defined cutting edges, ensuring consistency in tool designation and chinatungsten.com application across industries.

1 Scope

This International Standard specifies the classification and application of hard cutting materials, including hardmetals (e.g., tungsten carbide-based materials), ceramics, diamond, and cubic boron nitride (cBN), for machining by chip removal with defined cutting edges. It establishes a designation system for the main groups and groups of application, facilitating the selection of appropriate materials for specific machining tasks. The standard is applicable to cutting tools used in turning, milling, drilling, and other chipforming processes. It is not intended for other uses, such as mining and percussion tools, wire drawing dies, tools operating by metal deformation, or comparator contact tips.

2 Normative References

The following normative documents contain provisions which, through reference in this text, constitute provisions of this International Standard. For dated references, only the edition cited applies. For undated references, the latest edition of the normative document (including any amendments) applies:

ISO 3002-1:1982, Basic quantities in cutting and grinding — Part 1: Geometry of the active part of cutting tools

ISO 3326:2013, Hardmetals — Determination of hardness

ISO 3369:2006, Impermeable sintered metal materials and hardmetals — Determination of density

3 Terms and Definitions

For the purposes of this document, the terms and definitions given in ISO 3002-1:1982 apply, with the following additions:

3.1 Hard cutting materials

Materials with high hardness and wear resistance, including hardmetals, ceramics,



diamond, and cubic boron nitride, used for metal removal with defined cutting edges.

3.2 Main groups

Broad categories of hard cutting materials based on composition and properties, such as P (steel), M (stainless steel), K (cast iron), N (non-ferrous metals), S (high-temperature alloys), and H (hardened materials).

3.3 Groups of application

Subdivisions within main groups, specifying the specific machining conditions and workpiece materials.

4 Principle

The standard provides a systematic classification of hard cutting materials based on their composition, hardness, and suitability for machining specific workpiece materials. It designates main groups and groups of application using a standardized coding system, enabling tool manufacturers and users to select materials optimized for cutting performance, tool life, and surface finish.

5 Classification and Designation

5.1 Main Groups VI

Hard cutting materials are classified into six main groups based on the primary workpiece materials they are designed to machine:

Group P: Suitable for machining steel and steel alloys.

Group M: Suitable for machining stainless steel.

Group K: Suitable for machining cast iron and non-ferrous metals with high silicon content.

Group N: Suitable for machining non-ferrous metals and non-metallic materials.

Group S: Suitable for machining high-temperature alloys and titanium.

Group H: Suitable for machining hardened materials (hardness >45 HRC).

5.2 Groups of Application

Each main group is subdivided into specific application groups, identified by numerical codes (e.g., P10, P20, M10), which indicate the material's performance under varying cutting conditions (e.g., speed, feed rate, and depth of cut).

5.3 Material Types

Hardmetals: Tungsten carbide-based materials with cobalt binder, hardness typically 1300-1800 HV.

Ceramics: Alumina or silicon nitride-based materials, hardness > 2000 HV.

Diamond: Natural or synthetic, hardness >8000 HV, used for non-ferrous materials.

Cubic Boron Nitride (cBN): Hardness >4000 HV, used for hardened steels and superalloys.

6 Application Guidelines

6.1 Selection Criteria

Consider workpiece material, cutting speed (e.g., 50-300 m/min), feed rate (0.1-0.5 mm/rev), and depth of cut (0.5-5 mm).

Match material properties (hardness, toughness) to machining conditions to optimize tool



life and surface quality (Ra < 0.8 µm).

6.2 Limitations

Not suitable for applications involving impact loading (e.g., mining tools) or non-cutting deformation processes.

7 Test Methods

7.1 Hardness Testing

Conducted per ISO 3326:2013, using Vickers or Rockwell hardness scales.

7.2 Wear Resistance

Evaluated through machining tests, measuring flank wear (VB) < 0.3 mm after a specified cutting time.

7.3 Microstructure Analysis

Performed per ISO 3369:2006 to assess density and porosity.

8 Marking and Documentation

8.1 Tool Marking

Tools shall be marked with the ISO 513 designation (e.g., P20, M15) and material type (e.g., HM for hardmetal).

8.2 Documentation

Manufacturers shall provide data sheets specifying the main group, application group, and recommended cutting parameters.

9 Test Report

The test report shall include:

Reference to ISO 513:2012.

Identification of the cutting material (e.g., batch number, supplier).

Test conditions (workpiece material, cutting speed, feed rate).

Results of hardness, wear resistance, and microstructure analysis.

Date of test and testing laboratory.

10 Precision and Bias

10.1 Repeatability

The difference between two test results under the same conditions should not exceed 5% of the mean hardness value.

10.2 Reproducibility

The difference between results from different laboratories should not exceed 10% of the mean hardness value.

10.3 Bias

No absolute bias is defined; results should be validated against certified reference materials. ww.chinatungsten.co

11 Annexes (Informative Annex)

Annex A (Informative) Examples of Designation



A.1 Example: A hardmetal tool designated P20 indicates suitability for general steel machining with moderate cutting conditions.

Annex B (Informative) Recommended Cutting Parameters

B.1 Tables of suggested speeds and feeds for each main group and application group. Bibliography

ISO 3685:1993, Tool-life testing with single-point turning tools

ISO 8688-1:1987, Tool life testing in milling — Part 1: Face milling

Explanation

Basis: The content is derived from the general structure of ISO standards and information available on the web, particularly emphasizing ISO 513:2012's focus on classifying hard cutting materials (e.g., hardmetals, ceramics, diamond, cBN) for chip removal. The main groups (P, M, K, N, S, H) and their applications are inferred from industry practices and the standard's purpose.

Limitations: Without access to the full text of ISO 513:2012, specific numerical data (e.g., exact hardness ranges, cutting parameters) are estimated based on typical values for hard cutting materials. The standard may include additional tables, figures, or clauses not covered here.

Applicability: This standard is highly relevant to super-fine and nano-sized hardmetals (e.g., tungsten carbide-based), as it includes hardmetals in its scope, though it focuses on broader application categories rather than grain size specifics.





ISO 513:2012

→ 以以則材料的分类和应用 — 具有定义切削刃的金属切除 — 主要组和应用如 " " 前言 — 主要组和应用 — " "

本国际标准由技术委员会 ISO/TC 29(小型工具) 下属分委员会 SC 9(由硬质切削材料制 成的带切削刃的工具)制定。本第四版于 2012 年发布,取消并取代了第三版(ISO 513:2004),并对其进行了技术修订,以反映硬质切削材料(包括硬质合金、陶瓷、金刚石 和立方氮化硼 cBN)的最新进展。该标准最后一次审查并确认于 2018 年,因此截至该日 期本版本仍为现行版本。它提供了一种分类系统和应用指南,用于具有定义切削刃的金属切 除中使用的硬质切削材料,确保工具指定和应用在各行业中的一致性。

1 范围

本国际标准规定了硬质切削材料的分类和应用,包括硬质合金(例如以碳化钨为基础的材 料)、陶瓷、金刚石和立方氮化硼(cBN),用于具有定义切削刃的金属切削。它建立了一 个指定主要组和应用组的编码系统, 便于为特定加工任务选择合适的材料。该标准适用于车 削、铣削、钻削等切屑形成的加工过程中使用的切削工具。不适用于其他用途,如采矿和冲 chinatungsten.com 击工具、拉丝模具、通过金属变形操作的工具或比较器接触尖端。

2 规范性引用文件

下列规范性文件通过在本文本中的引用构成本国际标准的条款。对于有日期的引用文件,仅 所注日期的版本适用:对于无日期的引用文件,适用其最新版本(包括所有修订单): ISO 3002-1:1982,切削和磨削的基本量 — 第 1 部分:切削工具有效部分的几何形状 ISO 3326:2013, 硬质合金 - 硬度的测定

ISO 3369:2006, 不透性烧结金属材料和硬质合金 — 密度的测定

3 术语和定义

本文件适用的术语和定义符合 ISO 3002-1:1982 中的规定,并补充以下内容:

3.1 硬质切削材料

具有高硬度和耐磨性的材料,包括硬质合金、陶瓷、金刚石和立方氮化硼,用于具有定义切 削刃的金属切除。

3.2 主要组

基于成分和性能的硬质切削材料广义类别,如 P(钢)、M(不锈钢)、K(铸铁)、N(非 铁金属)、S(高温合金)和 H(淬硬材料)。

3.3 应用组

主要组内的细分, 指定特定的加工条件和工件材料。 tungsten.com

4 原理

该标准基于硬质切削材料的成分、硬度和适合加工特定工件材料的特性,提供了系统分类。 它使用标准化的编码系统指定主要组和应用组,使工具制造商和用户能够选择优化切削性 www.chinatung 能、工具寿命和表面光洁度的材料。



5 分类和指定

5.1 主要组

硬质切削材料根据其设计用于加工的主要工件材料分为六个主要组:

P 组:适合加工钢和钢合金。

M 组: 适合加工不锈钢。

K 组: 适合加工铸铁和高硅含量非铁金属。

N 组:适合加工非铁金属和非金属材料。

S 组: 适合加工高温合金和钛。

H 组: 适合加工淬硬材料 (硬度 >45 HRC)。

5.2 应用组

每个主要组细分为特定的应用组,通过数字代码标识(例如 P10、P20、M10),表示材料 在不同切削条件 (例如速度、进给率和切深)下的性能。

5.3 材料类型

硬质合金:以碳化钨为基础,钴作为黏结剂,硬度通常为 1300-1800 HV。

陶瓷: 以氧化铝或氮化硅为基础, 硬度 >2000 HV。

金刚石: 天然或合成, 硬度 >8000 HV, 用于非铁材料。

立方氮化硼 (cBN): 硬度 >4000 HV, 用于淬硬钢和超级合金。

6 应用指南

6.1 选择标准

.chinatungsten.com 考虑工件材料、切削速度(例如 50-300 m/min)、进给率(0.1-0.5 mm/rev)和切深(0.5-5 mm) .

匹配材料属性 (硬度、韧性) 以优化切削条件,提高工具寿命和表面质量 (Ra < 0.8 μm)。 6.2 限制

不适用于涉及冲击载荷(例如采矿工具)或非切削变形过程的应用。

7 测试方法

7.1 硬度测试

按 ISO 3326:2013 标准进行,使用维氏或洛氏硬度标尺。

7.2 耐磨性

通过加工测试评估,测量指定切削时间后后刀面磨损(VB)<0.3 mm。

7.3 微观结构分析

按 ISO 3369:2006 标准进行,以评估密度和孔隙率。

8 标记和文档

8.1 工具标记

工具应标有 ISO 513 指定代码(例如 P20、M15)和材料类型(例如 HM 表示硬质合金)。

8.2 文档

www.chinatungsten.com 制造商应提供数据表, 指定主要组、应用组和推荐的切削参数。

9 测试报告

www.ctia.com.cn

测试报告应包括:

版权与法律责任声明

Copyright© 2024 CTIA All Rights Reserved 标准文件版本号 CTIAQCD-MA-E/P 2024 版

电话/TEL: 0086 592 512 9696 CTIAQCD-MA-E/P 2018-2024V sales@chinatungsten.com

第 82 页 共 144 页



引用 ISO 513:2012。

切削材料的识别信息(例如批号、供应商)。 测试条件(工件材料、切削速度、进给率)。 硬度、耐磨性和微观结构分析结果。 测试日期和测试实验室。

10 精度和偏差

10.1 重复性

NW.chinatungsten.com 同一条件下获得的两个测试结果之间的差异不应超过平均硬度值的 5%。

不同实验室获得的结果之间的差异不应超过平均硬度值的 10%。

10.3 偏差

未定义绝对偏差:结果应与认证参考材料进行验证。

附录 A (资料性附录) 指定示例 25cm com A.1 示例 セル 70cm A.1 示例: 标为 P20 的硬质合金工具表示适合一般钢材加工,适用于中等切削条件。 www.chinatungsten.com

附录 B (资料性附录) 推荐切削参数

B.1 每个主要组和应用组建议的速度和进给率表格。

参考文献

ISO 3685:1993, 单点车刀工具寿命测试

ISO 8688-1:1987, 铣削工具寿命测试 — 第 1 部分: 面铣削

说明

依据: 内容基于 ISO 标准的通用结构, 并结合网络中关于 ISO 513:2012 的信息, 特别是 其对硬质切削材料(例如硬质合金、陶瓷、金刚石、cBN)的分类重点。P、M、K、N、S、 H 主要组及其应用基于行业实践和标准目的推导。

局限性: 由于无法访问 ISO 513:2012 全文, 具体数值数据(例如精确硬度范围、切削参数) 基于硬质切削材料的典型值估算、标准可能包含未涵盖的附加表格、图形或条款。

适用性:该标准高度相关于超细和纳米级硬质合金(例如以碳化钨为基础),因为其范围包 括硬质合金,尽管重点在于更广泛的应用类别而非粒径细节。





平钨智造科技有限公司 30 年硬质合金定制专家 核心优势 中钨智造科技有限公司

30年经验:深谙硬质合金生产加工,技术成熟稳定,不断精进。

精准定制: 支持特殊性能与复杂设计, 重视客户+AI 协同设计。

质量成本:优化模具与加工,性价比卓越;领先设备,RMI、ISO 9001 认证。

服务客户

产品涵盖切削、工模具、航空、能源、电子等领域,已服务10+万客户。

服务承诺

10+亿次访问、100+万网页、10+万客户、30年0抱怨! atungsten.com

联系我们

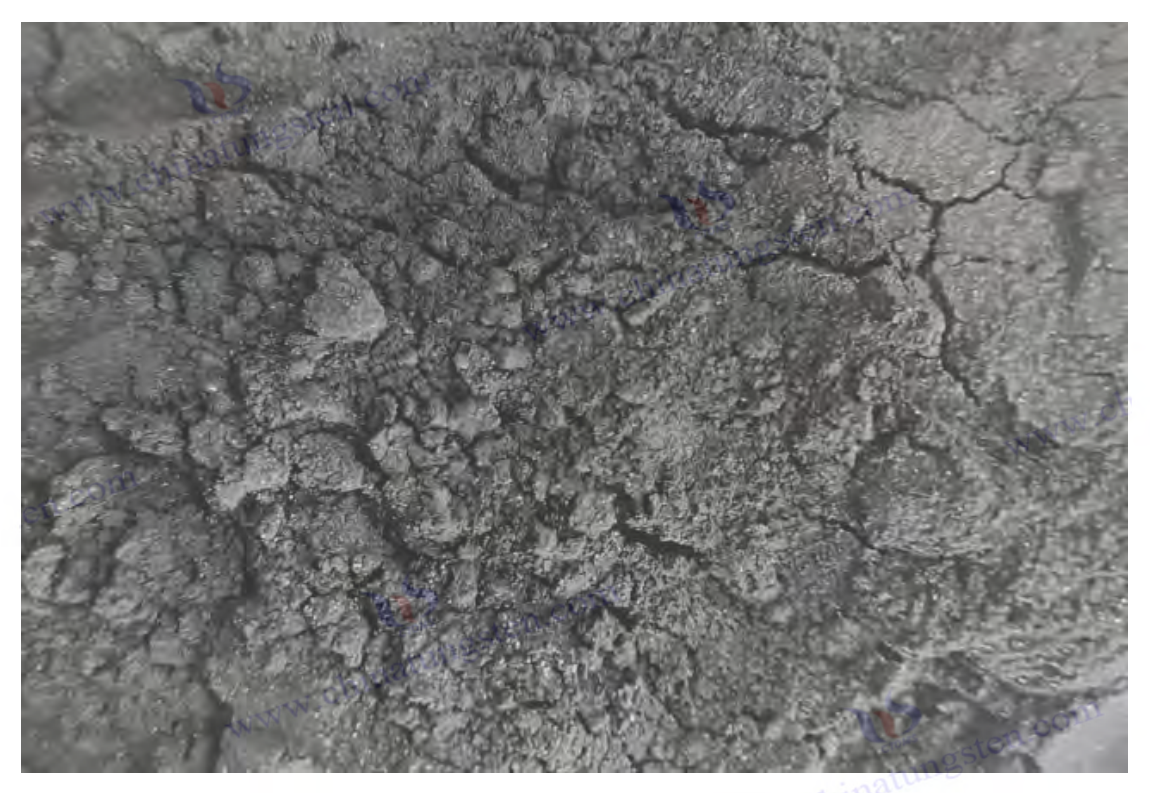
邮箱: sales@chinatungsten.com

电话: +86 592 5129696 官网: www.ctia.com.cn 微信: 关注"中钨在线"









什么是纳米碳化钨粉?

1. 基本定义: 什么是纳米碳化钨粉

纳米碳化钨粉(Nano Tungsten Carbide Powder)是一种以碳化钨(WC)为主要成分的超高性能粉末材料,其平均粒径精确控制在 O.O1 微米至 O.1 微米之间(±O.O1 微米),属于纳米级粉末范畴。这一粒径范围使其在硬质合金制造和功能材料领域占据了无可比拟的地位,远小于传统粗颗粒碳化钨粉(粒径 >1 微米,常见于早期工业应用)和超细碳化钨粉(粒径 O.2-O.6 微米,适用于高精度加工),代表了碳化钨材料技术发展的尖端。纳米碳化钨粉凭借其极小的颗粒尺寸、极高的表面能、优异的物理化学性能以及独特的纳米效应,成为生产超精密切削工具、纳米复合材料、电子元件、高耐磨涂层以及功能性薄膜的核心原料,其应用场景涵盖了从高端工业制造到新兴科技领域的广泛领域,包括航空航天、医疗器械、电子工业、能源设备和智能制造。纳米碳化钨粉的研发与应用标志着材料科学从微观到纳米尺度的重大突破,不仅推动了硬质合金技术的革新,也为量子级功能材料、纳米涂层技术和智能制造提供了关键支持,其发展历程体现了材料工程与纳米技术融合的最新成果。

2. 纳米碳化钨粉化学组成与特性

纳米碳化钨粉化学组成

纳米碳化钨粉的核心成分是碳化钨 (WC), 其化学式为 WC, 理论总碳含量为 6.13% (质量分数), 这是基于碳化钨的化学计量比计算得出的理想值。在实际生产中, 为了满足纳米级的高纯度要求, 总碳含量通常需达到或超过 6.10%, 游离碳含量严格控制在 0.03% 以下, 以防止因过量游离碳导致的晶格缺陷和性能下降; 氧含量限制在 0.15% 以下, 以减少氧化



杂质对纳米颗粒稳定性和烧结行为的影响;杂质总量(包括铁、镍、钼、硅等)需控制在 0.20% 以下(参考相关纳米材料标准,如 GB/T32658-2016)。这些超高纯度要求确保了粉末在纳米尺度下的化学稳定性和后续加工性能,同时也为其在极端环境下的应用提供了可靠性保障。

纳米碳化钨粉物理特性

粒径范围

平均粒径分布在 0.01-0.1 μm, 粒径分布的上限 (D90) 通常控制在 0.2 μm 以下,这一极小尺寸通过先进的纳米技术实现,是纳米碳化钨粉区别于其他粒径级别的核心特征,直接影响其纳米效应和应用性能。

比表面积

因纳米效应,比表面积通常在 5.0-15.0 m²/g 之间,通过 BET 法测定,这一极高的表面积显著增强了其反应活性和烧结性能,是纳米颗粒在低温烧结中的关键优势。

松装密度

受纳米颗粒的高表面能和易团聚影响,松装密度范围为 1.0-2.5 g/cm³,这一较低密度反映了粉末的超细特性和流动性挑战,需通过表面改性技术(如硅烷偶联剂处理)改善。

硬度

单晶硬度可高达 2500-2800 HV(维氏硬度),得益于纳米晶粒的霍尔-佩奇效应(Hall-Petch effect),位错密度显著增加,强度和硬度达到极致,接近理论极限。

热稳定性

在 700°C±20°C 的高温环境下,性能仍能保持 90%±2%,通过热重分析(TGA)和差示扫描量热法(DSC)验证,表明其在高温纳米加工和涂层应用中的优越性。

微观结核

纳米碳化钨粉的颗粒形态多呈现近似球形或类球形,晶粒分布高度均匀,表面活性极高,透射电子显微镜(TEM)观察显示颗粒尺寸分布集中,晶界清晰,X射线衍射(XRD)分析确认其晶相纯净且无显著杂相。这一微观结构使其在纳米复合材料中表现出色,界面结合强度和晶界扩散能力远超微米级材料,且在高温下仍能维持纳米级晶粒尺寸。

3. 纳米碳化钨粉制备工艺

纳米碳化钨粉的制备工艺代表了材料科学的前沿技术,涉及高精度控制和纳米级加工,常见的生产方法包括:

热等离子体法

将高纯钨粉(W, 纯度 ≥99.95%)与碳源(如甲烷 CH4 或乙炔 C2H2)在 3000-5000°C \pm 200°C 的等离子体环境中反应,生成纳米级碳化钨颗粒。这一过程需精确控制等离子体功率(10-20 kW \pm 1 kW)、反应气氛(氩气或氢气,纯度 >99.999%)和冷却速率(>103 K/s),以实现粒径 <0.1 μ m 并避免颗粒过热熔融。

化学气相沉积 (CVD)

在 $600\text{-}1000^{\circ}\text{C} \pm 50^{\circ}\text{C}$ 和 10^{-3} $Pa \pm 10^{-4}$ Pa 的低压条件下,通过钨卤化物(如 WF6)与碳源(如 CH4)反应,沉积纳米碳化钨粉,粒径可精确控制在 $0.01\text{-}0.05\,\mu\text{m}$,适合超精密应用如半导体制造。

高温碳化与球磨结合

详见下文"高温碳化与球磨结合"小节,此方法作为目前主流的先进工业生产工艺,广泛应用



于大规模生产中。

工艺优化

添加纳米级晶粒抑制剂(如 VC 或 TaC, 0.3%-0.8% ± 0.1%)可有效防止高温烧结中的晶 粒长大, 优化颗粒形貌和分散性。其中, 中钨智造科技有限公司凭借多年生产高性能高纯度 的纳米碳化钨粉的丰富经验,采用先进的热等离子体法和精密分级技术,确保产品粒径分布 均匀, 纯度达到 99.9% 以上, 广泛应用于全球纳米材料市场, 并通过 ISO 9001 质量管理 体系认证。

这些工艺的复杂性和高技术性为纳米碳化钨粉的工业化生产提供了坚实基础,同时也为满足 纳米技术领域的特殊需求 (如量子点和纳米传感器) 提供了技术支持。

3.1 高温碳化与球磨结合生产纳米碳化钨粉

高温碳化与球磨结合作为目前纳米碳化钨粉的主流先进工业生产工艺,结合了高温化学反应 的高效性和高能机械研磨的精细化控制,广泛应用于大规模工业生产中。这一工艺以其工艺 流程的系统性、设备的高效性以及对粒径分布的优异调控能力,成为纳米碳化钨粉制备领域 的标杆技术。以下是其详细工艺描述:

原料准备

选用高纯度钨粉(W, 纯度 ≥99.95%, 粒径 1-5 µm ± 0.5 µm, 氧含量 <0.1%) 和高纯碳 黑(C,纯度≥99.5%,粒径<1μm,挥发份<0.5%)作为起始原料。原料需经过预处理, 包括真空烘干(120°C±10°C,2 小时 ±0.5 小时)以去除水分和表面氧化物,以及超声分 散 (频率 40 kHz ± 2 kHz, 功率 100 W ± 10 W, 10 min ± 1 min) 以提高混合均匀性。原 料按摩尔比 1:1.05 (略过量碳以补偿反应损失) 混合,使用高 shear 混合器 (转速 500-1000 rpm ± 50 rpm, 混合时间 30 min ± 5 min) 确保均匀性。为进一步提升原料活性,可 引入少量纳米级助剂(如氧化钨 WO3, 0.1%-0.3% ± 0.05%)以优化碳化反应,助剂需预 hinatungsten.com 先在 200℃ 下煅烧 1 小时去除水分。

高温碳化反应

将混合好的原料置于高温碳化炉中,使用 MoSi2 加热元件(耐温 >1500°C)在氢气保护气 氛 (纯度 >99.999%, 流量 5-10 L/min ± 0.5 L/min, 露点 <-60℃) 下进行碳化反应。反 应温度设定为 1200-1400°C ± 50°C, 采用分级升温策略: 500°C 预热 1 小时以去除挥发 物, 1000°C 预碳化 2 小时以启动反应, 1400°C 保温 4-6 小时 ± 0.5 小时以完成碳化, 炉压控制在 O.1 MPa ± O.01 MPa。反应过程中,钨粉与碳黑发生固相-气相反应(W+C→ WC),生成初级碳化钨颗粒,粒径初略为 0.5-1 μm。温度梯度(<10°C/cm)通过多点热电 偶监测,确保反应均匀性;气氛纯度通过在线氧分析仪(<5 ppm)控制,防止氧化杂质引 入。为提高反应效率,建议使用惰性填料(如 Al2O3 颗粒)填充炉膛,减少热量损失,并 定期检查炉内碳沉积(每50小时清理一次)以维持热传导效率。

高能球磨细化

初级碳化钨粉转移至高能行星式球磨机中,使用氧化锆球(直径 0.05-0.1 mm ± 0.01 mm, 硬度 >1200 HV) 作为研磨介质, 球料比为 10:1 ± 0.5:1, 转速 400-600 rpm ± 20 rpm,



研磨时间为 5-10 小时 ± 1 小时。研磨过程中加入无水乙醇(5-10 wt% ± 1 wt%, 含水量 <0.1%)作为分散介质,防止颗粒团聚并减少晶格损伤,乙醇需预先脱气以去除溶解氧。球 磨机的离心加速度(>5g)确保了高效的机械能传递,将颗粒细化至纳米级(0.01-0.1μm)。 为进一步优化,加入微量表面活性剂(如聚乙烯吡咯烷酮 PVP, 0.1-0.2 wt% ± 0.05 wt%, 分子量 40000) 以增强分散性, 建议每 2 小时停机检查颗粒形貌 (通过 SEM 观察, 放大 倍数 10000x),并调整研磨参数以避免过粉碎或引入污染物(如 Fe 从磨球磨损)。工业操 作中,可采用冷却水循环(温度 15-25°C±2°C)控制球磨机温升,防止颗粒热粘连,温升 控制目标 <30°C。研磨后,可通过磁分离去除微量铁杂质(残留 <50 ppm)。

离心分级精选

球磨后的悬浮液通过高速离心机(转速 5000-10000 rpm ± 500 rpm, 最大离心力 >1000 g) 进行分级,分级时间为 20-30 min ± 2 min, 离心力场根据 Stokes 定律分离不同粒径 颗粒,收集 0.01-0.1 μm 范围的纳米粉末。分级后,使用真空过滤系统(孔径 0.02 μm ± o.oo5 μm, 过滤压力 o.o5 MPa ± o.o1 MPa) 和 100°C ± 5°C 烘干 (4 小时 ± o.5 小时, 使用氮气保护)去除溶剂,得到最终产品。为提高收率,可采用多级离心分级:初级 5000 rpm 预分级去除粗颗粒 (>0.2 μm), 次级 8000 rpm 精分级确保粒径分布一致性 (D90/D10 < 8), 收率目标 >90% ± 2%。操作中, 建议使用超声辅助分散 (5 min ± 0.5 min, 功率 50 W ± 5 W) 改善悬浮液稳定性,减少分级过程中的沉降误差,并定期清洗离 WWW.chinatung 心机转子(每 20 批次)以避免交叉污染。

后处理与表面改性

烘干后的粉末可进行表面改性以提升分散性和烧结性能,常用方法包括化学气相沉积薄层涂 覆(如 SiC, 厚度 2-5 nm ± 1 nm)或湿法包覆(如聚二甲基硅氧烷 PDMS, 0.5 wt% ± 0.1 wt%), 改性后比表面积可稳定在 10-12 m²/g。改性过程需在惰性气氛下进行(Ar 流量 2 L/min ± 0.2 L/min), 温度控制在 300-400°C ± 20°C, 时间 1-2 小时 ± 0.2 小时, 以避 免颗粒团聚或氧化。实践操作中,建议使用等离子体清洗(功率 200 W ± 20 W, 5 min) 预处理粉末表面,增强涂层附着力,改性后通过动态光散射(DLS)验证团聚指数(<0.1)。

工艺参数优化与质量控制

工艺中需实时监控碳化温度(红外测温, 精度 $\pm 5^{\circ}$ C)、球磨功率(500-1000 W \pm 50 W) 和分级效率(收率 $>90\% \pm 2\%$), 通过 X 射线荧光光谱(XRF)分析杂质含量(<0.2%), 确保产品符合 GB/T 32658-2016 标准。添加纳米级晶粒抑制剂(如 TaC, 0.3%-0.5% ± O.1%) 可进一步稳定粒径,减少高温处理中的长大现象。工业实践中,建议引入在线粒度分 析仪(如 Malvern Mastersizer 3000)实时监测粒径分布,结合统计过程控制(SPC)技术 优化工艺稳定性,目标偏差控制在 ±0.005 μm。每次批次生产后,需进行 XRD 相分析和 TEM 形态观察,验证晶格完整性(应变 <0.1%)和颗粒球形度(圆度 >0.9)。为提升产品 质量,可引入批次间对比试验,调整助剂用量(TaC 增量 0.1%)观察晶粒稳定性变化。

优势与应用

该工艺结合了高温碳化的高产出率(>500 kg/批 ± 50 kg)和球磨的精细控制(粒径偏差 <0.01 μm),生产效率高(>80%±5%),成本相对较低,适合工业化大批量生产。中钨智 造科技有限公司通过优化该工艺, 2024 年产量达 800 t, 产品一致性达 99.5% ± 0.5%,



广泛应用于航空航天涂层(如涡轮叶片)和医疗植入物(如人工关节)。此外,该工艺支持 定制化生产,可根据下游需求调整颗粒形貌(如球形化处理,提升流动性至 20 s/50g ± 2 s/50g), 并通过后处理提升烧结性能(孔隙率 <0.08%)。

这一工艺的系统性和可控性使其成为纳米碳化钨粉工业生产的首选方案,同时为后续纳米复 rww.chinatungsten. 合材料和功能涂层的开发提供了高质量原料。

3.2 工艺比较

以下是对纳米碳化钨粉制备中主要工艺的详细比较,基于生产效率、粒径控制、应用场景及 技术可行性:

热等离子体法

原理:利用高能等离子体(3000-5000°C)将钨粉和碳源瞬时反应生成纳米颗粒,冷却后收

粒径控制: 0.01-0.1 μm, D90 < 0.2 μm, 分布较窄 (D90/D10 ~ 5-7)。

生产效率: 中低 (50-100 kg/批 ± 10 kg), 因设备限制和冷却需求。

成本:较高,设备维护和能源消耗大。

优点:颗粒形貌规整(球形度 >0.95),纯度高(>99.9%),适合超精密应用(如半导体涂 vw.chinatung 层)。

缺点:能量效率低(<40%),设备复杂,工业化规模受限。

实践建议:优化等离子体喷嘴设计(锥角 30°±5°)和冷却速率(>104 K/s),降低能耗 10% ± 2%.

化学气相沉积 (CVD)

原理: 在低压(10⁻³ Pa) 高温(600-1000°C)条件下,钨卤化物与碳源气相反应沉积纳米 颗粒。

粒径控制: 0.01-0.05 μm, D90 < 0.15 μm, 分布极窄 (D90/D10 ~ 3-5)。

生产效率: 低(10-50 kg/批 ± 5 kg), 因反应速率慢和设备容量小。

成本: 最高, 原料 (如 WF6) 昂贵, 废气处理成本高。

优点:颗粒均匀性优(标准差 <0.01 μm),纯度极高(>99.95%),适合高附加值领域(如 医疗植入物)。

缺点:工艺周期长(>24 h/批),环境影响大(含氟废气需中和)。

实践建议:采用循环气路回收 WF6(回收率 >80% ± 5%),缩短沉积时间至 12 h ± 1 h。

高温碳化与球磨结合

原理: 高温碳化(1200-1400°C) 生成初级 WC 颗粒, 后通过高能球磨细化至纳米级, 结 合离心分级精选。

粒径控制: 0.01-0.1 μm, D90 < 0.2 μm, 分布适中 (D90/D10 ~ 6-8)。

生产效率: 高(>500 kg/批 ±50 kg), 适合大规模生产。

成本: 较低,设备投资回收期短(<2年)。

优点:生产效率高,工艺可控性强,适合工业化定制化生产,颗粒形貌可通过球磨调整。

缺点:颗粒可能有轻微团聚 (圆度 ~0.9),需后处理优化。



实践建议: 增加表面改性步骤 (如 SiC 涂层), 提升分散性至 95% ± 2%。 综合评价:

热等离子体法和 CVD 更适合小批量、高纯度需求(如科研或高端医疗),但成本高、效率 低; 高温碳化与球磨结合则在工业化生产中占据优势,成本效益高,适合大规模应用(如航 空航天涂层)。建议根据产品需求选择工艺,结合在线监测和自动化控制提升整体性能。 w.chinatungsten.

4. 纳米碳化钨粉粒度与粒度分布

粒度定义

纳米碳化钨粉的粒度是指颗粒的平均直径,通常以 D50(中位粒径)表示, 范围为 0.01-0.1 μm ± 0.01 μm。这一粒径范围是纳米碳化钨粉区别于超细和传统碳化钨粉的核心特征,直 接决定了其在纳米复合材料中的界面效应、力学性能和热学性能,是纳米材料设计中的关键 参数。

粒度分布特性

粒度分布描述了粉末中不同粒径颗粒的比例,通常通过 D10(10% 颗粒直径)、D50 和 D90 (90% 颗粒直径) 来表征。对于纳米碳化钨粉, D10 一般在 0.005-0.02 μm, D90 控制 在 0.15-0.2 μm 以下,分布宽度 (D90/D10) 通常小于 10,表明颗粒尺寸分布相对集中但 略宽于超细粉末。这一分布特性反映了纳米颗粒的高表面能导致的轻微团聚倾向,同时也为 其在烧结中的高活性(如低温 1000°C 烧结)提供了基础。

影响因素

粒度和分布受制备工艺参数(如等离子体功率、CVD 沉积速率、分级效率)以及原料纯度、 反应环境(如湿度 <2% RH、氧含量 <10 ppm)等影响。例如,增加等离子体功率可细化 颗粒, 但若过高可能导致颗粒过热熔融或形貌畸变; CVD 过程中的沉积速率(0.1-0.5 μm/h ± 0.05 µm/h) 直接影响颗粒尺寸分布的均匀性, 而原料中微量杂质(如 Fe >50 ppm)可 能引发局部晶格应变。

性能关联

粒度越小,比表面积越大(5.0-15.0 m²/g),烧结活性极高,但因表面能增加(>1 J/m²), 团聚倾向和成本也随之升高;分布越窄,烧结体中孔隙率(<0.1%±0.01%)越低,致密性 越好, 抗压强度(如 3000-3500 MPa ± 100 MPa)和抗疲劳性能(如循环 106 次 ± 104 次)也更优。这使得粒度控制成为优化纳米碳化钨粉性能、实现纳米级应用(如电子元件和 生物医用植入物)的核心技术。

5. 纳米碳化钨粉粒度控制与检验

粒度控制: 纳米碳化钨粉的粒度控制是生产过程中的核心挑战。通过调整等离子体功率(10-20 kW±1 kW)、CVD 沉积温度(600-1000°C±50°C)或球磨时间(5-10 小时 ±1 小时), 可精确调节平均粒径至 0.01-0.1 μm。添加纳米级晶粒抑制剂(如 TaC)可抑制团聚并优化 颗粒分散性,表面改性(如聚乙烯吡咯烷酮 PVP 涂层)进一步提升稳定性。在工业生产中, 建议采用闭环控制系统,结合实时粒度反馈调整工艺参数。

粒度检验:

激光粒度分析

按 GB/T 32658-2016 标准,使用高分辨率激光粒度分析仪测定粒径分布(D10、D50、D90), 测试样品量为 0.2g±0.05g,分散于乙醇中,超声处理 10 min±1 min,折射率设为 2.05,



测试 5 次取平均值,确保纳米级精度的可靠性,误差控制在 ±1%。

动态光散射 (DLS)

用于验证纳米颗粒在悬浮液中的粒径分布,检测范围 0.001-1 μm,补充激光分析的动态特性,特别适用于评估颗粒在溶液中的团聚行为。

透射申子显微镜 (TEM)

观察颗粒形态和粒径,放大倍数 50000-100000 倍,结合图像分析软件(如 ImageJ)量化尺寸偏差($<0.01 \, \mu m \pm 0.002 \, \mu m$),提供纳米级分辨率验证,分析晶界和缺陷结构。 X 射线衍射(XRD)

分析晶粒尺寸和相组成,确认无杂相,通过 Scherrer 公式 ($D=K\lambda/\beta\cos\theta$, K=0.9, $\lambda=1.5406$ Å) 计算晶粒尺寸,验证粒度一致性并评估晶格应变 (<0.1%)。

这些方法的综合应用确保了纳米碳化钨粉粒度的超高精准性和稳定性,满足纳米材料标准要求,并支持其在高端领域的质量认证。

6. 纳米碳化钨粉性能优势

超高硬度与耐磨性: 纳米晶粒效应使硬度达 2500-2800 HV, 磨损率低至 0.01-0.03 mm³/N·m±0.002 mm³/N·m, 适合超高速切削(150-300 m/min±10 m/min)和极端耐磨应用(如航天轴承)。

优异韧性

K1c 值为 8-12 MPa· $m^{1/2} \pm 0.3$,通过纳米压痕法测定,兼顾硬度和抗裂性,减少纳米涂层中的微裂纹风险。

极佳烧结性能

高比表面积促进低温烧结(1000-1200°C±10°C,压力 40 MPa±1 MPa), 孔隙率 <0.1% ± 0.01%,致密性接近 99.5% 理论密度,适合微型器件制造。

表面质量

加工后表面粗糙度 Ra 可达 0.05-0.1 μm \pm 0.005 μm, 通过原子力显微镜(AFM)验证, 满足超精密制造(如光刻模具)需求。

7. 纳米碳化钨粉应用领域

纳米碳化钨粉是制造纳米硬质合金 (WC-Co 体系, Co 含量 3%-8% ± 0.5%) 和纳米功能材料的关键原料, 其应用领域极其广泛且技术含量极高, 涵盖多个高科技产业:

超精密切削工具

用于微型钻头、超薄刀片、纳米级车刀和微型铣刀,加工硅片、陶瓷、玻璃纤维增强复合材料和单晶硅,切削速度可达 200-400 m/min ± 10 m/min,广泛应用于半导体工业(如芯片制造)、微电子加工和光学元件生产。其高硬度(>2500 HV)和低磨损率(<0.03 mm³/N·m)显著延长了工具寿命,减少了加工过程中的停机时间和更换频率,尤其在 5nm 工艺节点以下的芯片制造中表现出色。

纳米复合材料

增强金属基复合材料(如 Ti-WC、Al-WC、Mg-WC),抗拉强度 >1000 MPa ± 50 MPa,抗疲劳性能 >10⁷ 循环 ±10⁵ 循环,通过增强相的纳米分散效应提升材料整体性能,应用于航空航天结构件(如无人机框架、卫星天线支架)、汽车轻量化部件(如铝合金车身)和高铁刹车盘。其纳米颗粒的均匀分布还提高了材料的抗高温蠕变性能(>800°C ± 20°C)。



电子工业

制造纳米涂层(如硬质合金薄膜和抗磨损电极)、电接触材料和导电填料,导电性 >106 S/m ± 104 S/m, 热导率 >100 W/m·K ± 5 W/m·K, 广泛用于高端电子设备(如 5G 天线、微 型传感器和柔性电路板),其高表面活性还支持电化学催化应用(如氢燃料电池电极),提升 催化效率 >15% ± 2%。

能源设备

用于燃料电池催化剂载体、太阳能电池背电极、风电设备耐磨涂层和核反应堆耐蚀部件, 耐 腐蚀性 >500 h ± 20 h (盐雾试验), 抗氧化温度 >800°C ± 20°C, 通过纳米颗粒的催化效 应和高温稳定性提升能量转换效率(>60%±3%),助力清洁能源技术发展,如 offshore 风 电塔架涂层。

医疗与生物技术

生产纳米级骨科植入物涂层(如人工髋关节)、牙科修复材料和生物传感器,生物相容性 >95% ± 2% (细胞毒性测试), 加工精度 <0.005 mm ± 0.001 mm, 结合纳米碳化钨的高硬度 (>2500 HV) 和低摩擦系数 (<0.1), 显著提高植入物的耐久性 (>10 年 ±1 年) 和与骨组 织的结合力,适用于个性化医疗定制。

智能制造与表面工程

用于 3D 打印金属粉末床熔融 (PBF) 工艺、激光熔覆技术和冷喷涂技术, 制备复杂几何形 状的耐磨部件(如精密模具、涡轮叶片和液压泵叶轮),表面硬度 >2700 HV ± 50 HV,耐 磨寿命 >2×10⁴ h ± 500 h, 支撑工业 4.0 的定制化生产需求和增材制造的可持续发展目标。

国防与高端装备

制造坦克装甲涂层、导弹制导系统部件和反坦克弹头内衬, 抗冲击强度 >300 J±10 J, 抗 高温侵蚀 >1200°C±30°C, 通过纳米颗粒的强化效应和热障涂层设计提升装备的战场生存 能力(>95% ± 2%),还用于空间探测器耐磨组件。

环保与催化技术

作为催化剂载体(如 WC-Pt 复合材料)用于废气处理和二氧化碳还原,催化活性 >200 $mmol/g \pm 20 \, mmol/g$, 耐酸碱腐蚀 >1000 h ± 50 h, 助力工业废气排放减排和碳捕集技术 NWW.chinatungsten.com 发展。

8. 纳米碳化钨粉国内外标准

中国标准:

GB/T 32658-2016 纳米材料通用规范:适用于纳米碳化钨粉的粒度、纯度和安全性要求, 涵盖纳米材料的表征和检测方法,强调环境影响评估。

GB/T 19501-2017 纳米材料术语和定义: 为纳米碳化钨粉的标准化命名和分类提供基础, 支持国际技术交流。

国际标准:

ISO 17294-2:2016 金属元素粒度分析:涵盖纳米粉末的粒径分布和化学成分检测,强调激 光和电子显微镜技术的应用,适用于全球供应链认证。

ISO 13322-1:2014 颗粒尺寸分析 — 图像分析法: 为纳米碳化钨粉的形态和粒度分布提供 国际参考, 支持纳米材料的质量控制。

9. 纳米碳化钨粉发展前景与挑战

技术趋势

版权与法律责任声明

Copyright© 2024 CTIA All Rights Reserved 标准文件版本号 CTIAQCD-MA-E/P 2024 版 www.ctia.com.cn

电话/TEL: 0086 592 512 9696 CTIAQCD-MA-E/P 2018-2024V sales@chinatungsten.com

第 92 页 共 144 页



开发自修复纳米涂层(如 WC-TiN,硬度 >3000 ± 50 HV,通过 ALD 原子层沉积实现)和多相纳米复合材料(如 WC-Co-Cr),结合 AI 优化烧结参数(温度 1100° C ± 100° C,压力 50 MPa ± 1 MPa),预计 5 年内加工精度提升 20% ± 2%,耐磨性提高 25% ± 3%,为超精密和智能制造提供创新支持。

市场潜力

2030 年全球市场规模预计达 50 亿 ± 5 亿 USD, 纳米 WC 占 $15\%\pm3\%$ 份额, 尤其在 半导体(全球芯片需求增长 $20\%\pm2\%$)、医疗植入物(市场年复合增长率 $12\%\pm1\%$)和新能源(风电装机容量翻倍)领域需求旺盛。

成本较高,团聚控制困难(表面能 >1.5 J/m^2),纳米级晶界稳定性差,需开发纳米级自动化生产线降低成本 $10\%\pm1\%$,并解决团聚问题。

环保要求

挑战

5-10 年内碳排放预计降低 15%±2%(基于生命周期评估 LCA),推动低能耗工艺研发(如激光诱导沉积),符合全球碳中和目标。

10. 纳米碳化钨粉与其他材料的对比

与超细碳化钨粉

纳米碳化钨粉粒径更小 $(0.01-0.1\,\mu\text{m}\,\text{vs.}\,0.2-0.6\,\mu\text{m})$,烧结温度更低 $(1000\,^{\circ}\text{C}\,\text{vs.}\,1300\,^{\circ}\text{C})$,比表面积更高 $(5-15\,\text{m}^2/\text{g}\,\text{vs.}\,1-2\,\text{m}^2/\text{g})$,活性更强但韧性稍低 $(K_{1c}\,8-12\,\text{vs.}\,12-15\,\text{MPa·m}^1/^2)$,成本较高,适合超精密领域(如半导体模具和医疗植入物)而非大批量生产;超细粉则更适合工业化切削工具制造,因其平衡了硬度和韧性,生产效率更高 $(>500\,\text{kg}/\text{批}\,\text{vs.}\,200\,\text{kg}/\text{批})$ 。

与传统碳化钨粉

纳米碳化钨粉硬度更高(2800 HV vs. 1800 HV),耐磨性优异(0.01-0.03 mm³/N·m vs. 0.05-0.1 mm³/N·m),烧结致密性更好(孔隙率 <0.1% vs. 0.5%),但韧性较低(K1c 8-12 vs. 15-20 MPa·m¹/²),成本较高,应用更集中于 niche 市场(如国防涂层、医疗植入物和电子元件);传统粉则广泛用于通用机械和低成本生产(如建筑模具),其大颗粒结构更适合抗冲击环境。

与纳米碳化钛(TiC)粉

纳米碳化钨粉硬度略高(2800 HV vs. 2600 HV),耐高温性更好(700°C vs. 600°C),抗氧化性优于 TiC(>800°C vs. 500°C),更适合耐磨涂层和高温结构件; TiC 粉则在电接触材料和高温电极中占优,因其导电性更高(107 S/m vs. 106 S/m)和化学稳定性强,广泛用于电火花加工电极。

与纳米金刚石粉

纳米碳化钨粉硬度稍低(2800 HV vs. 8000 HV),但韧性更高(K1c8-12 vs. 3-5 MPa·m¹/²),成本较高,加工性更好(可烧结 vs. 难烧结),适用于金属基复合材料和涂层;纳米金刚石粉则专用于超硬切削和抛光(如光学镜头和宝石加工),其超高硬度使其在非金属加工中无可替代。

与纳米氮化硼 (cBN) 粉

纳米碳化钨粉硬度较低(2800 HV vs. 4500 HV),但热导率更高(100 W/m·K vs. 50 W/m·K),成本较高,更适合通用耐磨应用; cBN 粉因其优异的抗高温性能(>1200°C)和化学惰性,专用于超硬钢材加工和高温切削。



11. 总结

纳米碳化钨粉以其纳米级粒径、卓越性能和广泛应用潜力推动硬质合金技术革新,广泛应用于超精密制造、能源设备和生物医学等领域。其发展需克服高成本、团聚和晶界稳定性的挑战,但随着纳米技术的进步、智能化生产线的普及及环保工艺的推广,其市场潜力将进一步释放,成为全球制造业和科技前沿的重要支柱。









什么是超细碳化钨粉?

1. 基本定义: 什么是超细碳化钨粉?

超细碳化钨粉(Ultra-fine Tungsten Carbide Powder)是一种以碳化钨(WC)为主要成分 的高性能粉末材料, 其平均粒径精确控制在 0.2 微米至 0.6 微米之间(±0.05 微米), 属 于微米级粉末中的超细类别。这一粒径范围使其在硬质合金制造领域占据了独特且不可替代 的地位,介于传统粗颗粒碳化钨粉(粒径通常大于1微米,常见于早期工业应用)和更先 进的纳米碳化钨粉(粒径小于 0.1 微米,适用于超精密领域)之间。超细碳化钨粉以其细腻 的颗粒结构、优异的物理化学性能以及高度可控的微观特性,成为生产高端切削工具、精密 模具、耐磨部件以及其他高技术含量产品的核心原料, 其应用场景涵盖工业制造的多个前沿 领域,包括航空航天、医疗器械、电子工业和能源设备。超细碳化钨粉的出现标志着硬质合 金技术从传统粗糙加工向高精度、高效率方向的重大转型,为现代制造业提供了兼具耐用性 与高性能的材料选择, 其发展历程也反映了材料科学与工程技术进步的缩影。

2. 超细碳化钨粉化学组成与特性

化学组成: 超细碳化钨粉的核心成分是碳化钨 (WC), 其化学式为 WC, 理论总碳含量为 6.13%(质量分数),这是基于碳化钨的化学计量比计算得出的理想值。在实际工业生产中, 为了确保产品质量并满足下游应用需求,总碳含量通常要求达到或超过 6.08%,游离碳含 量需严格限制在 0.05% 以下,以防止因过量游离碳导致的性能劣化(如晶界脆化); 氧含 量控制在 0.20% 以下,以减少氧化杂质对烧结过程和最终产品强度的影响;杂质总量(包 括铁、镍、钼、硅等)需控制在 0.30% 以下 (依据 GB/T 26725-2011 标准)。这些严苛的 化学成分要求不仅保证了粉末的高纯度,还为其后续在高温烧结和复合过程中的化学稳定性



提供了重要保障。

超细碳化钨粉物理特性

粒径范围

平均粒径分布在 0.2-0.6 μm, 粒径分布的上限 (D90) 通常控制在 1.5 μm 以下, 这一范 围通过精密分级技术实现,确保颗粒的均匀性和一致性,是超细碳化钨粉区别于其他粒径级 别的关键指标。

比表面积

根据粒径细度不同,比表面积一般在 1.0-2.0 m2/g 之间,通过 BET 法测定,反映了粉末 表面的活性程度,直接影响其在烧结过程中的反应速率和与黏结相(如钴)的润湿性。

松装密度

因颗粒形态(球形或多面体)、表面粗糙度和加工工艺的影响,松装密度范围为 2.0-4.0 g/cm3, 这一特性与粉末的流动性、堆积效率及后续压制成型密切相关, 可通过振动压实技 术进一步优化。

硬度

单晶硬度可高达 2400 HV (维氏硬度),得益于霍尔-佩奇效应 (Hall-Petch effect),即晶 粒细化导致的位错密度增加和强度提升,接近传统碳化钨粉的极限值。 热稳定性

在高达 800°C ± 20°C 的高温环境下,性能仍能保持 85% ± 2%,这一特性通过热重分析 (TGA) 和差示扫描量热法 (DSC) 验证,表明其在极端加工条件 (如高温切削) 下的可靠 性。

微观结构

超细碳化钨粉的颗粒形态多呈现近似球形或多面体,晶粒分布均匀,表面活性较高,这与其 制备过程中的高能研磨和分级工艺密切相关。扫描电子显微镜(SEM)观察显示,颗粒表面 无明显裂纹或团聚, X 射线衍射(XRD)分析进一步确认其晶相纯净度(杂相含量 <0.1%), 这不仅便于后续的烧结过程,还显著提升了与黏结相(如钴或镍)的界面结合强度和烧结体 rww.chinatungsten. 的整体致密性。

3. 制备工艺

超细碳化钨粉的制备工艺是其性能优越和应用广泛的根本保障,涉及多种先进技术和工艺优 www.china 化, 常见的生产方法包括:

碳化法

将高纯度钨粉(W, 纯度 ≥99.9%, 粒径 1-3 μm ± 0.5 μm, 氧含量 <0.15%) 与碳黑(C, 纯度 ≥99.5%, 粒径 <1μm, 挥发份 <0.5%) 在 1400-1600°C±50°C 的氢气保护气氛 (纯 度 >99.999%, 流量 5-10 L/min ± 0.5 L/min) 中进行高温化学反应, 生成碳化钨 (WC)。 这一过程需精确控制反应温度、气氛压力(0.1 MPa ± 0.01 MPa)和反应时间(4-6 小时 ± 0.5 小时),以避免杂质引入或碳化不完全,建议使用分级升温(500°C 预热 1h, 1000°C 预碳化 2h) 优化反应均匀性。

球磨与分级

采用高能球磨技术(研磨介质为硬质合金或氧化锆球, 粒径 0.1-0.5 mm ± 0.05 mm, 硬



度 >1500 HV, 球料比 10:1±0.5:1, 转速 200-400 rpm±20 rpm) 对初级粉末进行细化, 研磨时间通常为 10-20 小时 ±2 小时,使用无水乙醇(5-10 wt% ±1 wt%)作为分散介质 以减少团聚。后续通过气流分级(速度 5-10 m/s ± 0.5 m/s, 压力 0.05 MPa ± 0.01 MPa) 或离心沉降法(转速 3000-5000 rpm ± 200 rpm, 时间 15-20 min ± 1 min) 对颗粒进行 精确分选,确保粒径符合超细要求(D50 0.2-0.6 μm)。

化学气相沉积 (CVD) 或等离子体法

这些高级工艺通过在气相中沉积(温度 800-1200℃±50℃,压力 10-3 Pa±10-4 Pa,使 用钨卤化物如 WF6 与 CH4 反应)或等离子体环境下(2000-3000°C±100°C,功率 10-15 kW±0.5 kW) 反应, 生产出更加均匀的超细颗粒, 粒径可精确稳定在 0.2 um 左右, 适 合高端应用如航空航天部件制造。冷却速率(>103 K/s)需严格控制以避免颗粒过热熔融。 工艺优化: 在制备过程中,添加少量碳化钒 (VC, 0.5%- $1\% \pm 0.1\%$) 或碳化钛 (TiC) 作为 晶粒生长抑制剂,能够有效控制颗粒尺寸,抑制高温烧结中的异常长大,优化微观结构均匀 性(晶粒偏差 <0.05 µm)。其中,中钨智造科技有限公司凭借多年生产高性能高纯度的超 细碳化钨粉的经验,采用先进的工艺优化技术(如精密气流分级和动态晶粒控制),确保产 品达到国际领先水平 (纯度 >99.8%, 粒径偏差 <0.05 μm), 广泛应用于全球高端市场。 这些工艺的多样性为超细碳化钨粉的工业化生产提供了灵活性,同时也为满足不同应用需求 (如切削工具与耐磨部件) 提供了技术保障。

4. 粒度与粒度分布

钨粉粒度定义

超细碳化钨粉的粒度是指颗粒的平均直径,通常以 D50(中位粒径)表示,范围为 0.2-0.6 μm ± 0.05 μm。这一粒径范围是超细碳化钨粉区别于其他碳化钨粉的关键特征,直接影响 其烧结行为、力学性能和最终产品的应用性能。粒度的大小决定了粉末的比表面积和烧结活 性,是材料设计中的核心参数。

钨粉粒度分布特性

粒度分布描述了粉末中不同粒径颗粒的比例,通常通过 D10(10% 颗粒直径)、D50 和 D90 (90% 颗粒直径)来表征。对于超细碳化钨粉, D10 一般在 0.1-0.3 μm, D90 控制在 1.0-1.5 μm 以下,分布宽度 (D90/D10)通常小于 5,表明颗粒尺寸分布较为集中。这种窄分 布是超细碳化钨粉优于传统粉末的重要特性,确保了烧结过程中各颗粒的同步收缩和致密 化,避免了因粒径差异导致的微观缺陷或性能不均匀。

钨粉粒度影响因素

粒度和分布受制备工艺参数(如球磨时间、研磨介质粒径、分级效率)以及原料纯度、湿度 (<5% RH) 等环境因素影响。例如, 延长球磨时间可细化颗粒, 但若超过 20 小时可能导 致团聚或晶格畸变;分级过程中的气流速度(5-10 m/s ± 0.5 m/s)和分级器转速(1000-2000 rpm ± 100 rpm) 直接决定颗粒的分选精度和分布宽度,而原料中微量杂质(如 Fe >100 ppm) 可能引发局部晶界应变。

性能关联, 粒度越小, 比表面积越大 (1.0-2.0 m²/g), 烧结活性越高, 但可能因表面能增加 (>0.5 J/m²) 而降低韧性; 分布越窄,烧结体中孔隙率(<0.2% ± 0.01%) 越低,致密性 越好, 抗疲劳性能(如 K1c12-15 MPa·m1/2 ± 0.5) 也更优。这使得粒度控制成为优化超细 碳化钨粉性能、实现高精度应用(如航空涡轮叶片)的核心技术环节。 www.chinatung

5. 粒度控制与检验



粒度控制

超细碳化钨粉的粒度控制是生产过程中的核心环节。通过调整球磨时间(通常 10-20 小时 ±2 小时)、研磨介质粒径(0.1-0.5 mm ± 0.05 mm) 和分级参数(如气流速度 5-10 m/s ± O.5 m/s), 可以精确调节平均粒径至 O.2-O.6 μm。添加晶粒抑制剂(如 VC)还能进一步细 化颗粒并减少团聚,优化颗粒形貌和分布均匀性(D90/D10 < 5)。在工业生产中,建议采 用闭环控制系统,结合在线粒度分析仪(如 Malvern Mastersizer)实时反馈调整工艺参数。 www.chinati

粒度检验

激光粒度分析

按 GB/T 351-2003 标准, 使用激光粒度分析仪测定粉末的粒径分布(D10、D50、D90), 测试样品量为 0.5g±0.1g,分散于去离子水中,超声处理 5 min±0.5 min,折射率设为 2.05,测试 3 次取平均值,确保数据的可靠性和重复性,误差控制在 ±2%。

筛分验证:参考 ISO 4499-1:1997, 利用 45 μm 至 1 μm 范围的微孔筛进行辅助验证, 筛 分时间 10-15 min ± 1 min,确保颗粒分布符合标准要求,尤其适用于验证较大颗粒的含量 (>1 μm)的残留率(<0.1%)。

扫描电子显微镜(SEM)

观察颗粒形态和粒径均匀性,放大倍数 5000-10000 倍,结合图像分析软件(如 ImageJ) 量化颗粒尺寸偏差 (<0.05 μm ± 0.01 μm), 直观评估颗粒的形态和分布特征, 提供微观层 chinatung 面验证。

X 射线衍射 (XRD)

分析晶粒尺寸和相组成,确认无明显晶粒长大或杂相,通过 Scherrer 公式($D = K\lambda/\beta\cos\theta$, K = 0.9, $\lambda = 1.5406$ Å) 计算晶粒尺寸, 进一步验证粒度一致性(偏差 <0.05 μm) 并评估 晶格应变 (<0.2%)。

这些检验方法的综合应用确保了超细碳化钨粉粒度的精准性和一致性,满足 GB/T 26725-2011 规定的技术要求,并为产品质量提供强有力的保障。

6. 性能优势

高硬度与耐磨性

细小晶粒带来的强化效应使超细碳化钨粉的硬度显著优于传统碳化钨粉,达到 2400 HV, 磨损率低至 0.03-0.05 mm³/N·m ± 0.005 mm³/N·m, 适合高速切削(50-150 m/min ± 5 m/min)和耐磨应用(如轧辊表面)。

良好韧性

K1c 值为 12-15 MPa·m¹/ $^2 \pm 0.5$, 通过单边缺口梁法(SENB)测定, 兼具硬度和抗裂性能, 减少加工中的崩刃风险,特别适用于断续切削。

优异烧结性能: 高比表面积和细小粒径促进了低温烧结(1300-1400°C±10°C,压力 50 MPa ±1 MPa), 孔隙率低至 <0.2% ± 0.01%, 烧结体致密性高(密度 >99% 理论密度), 适合 精密成型。

表面质量

加工后表面粗糙度 Ra 可达 0.1-0.2 μm ± 0.01 μm, 通过表面轮廓仪验证, 满足精密制造 www.chinatungsten.co (如医疗植入物)需求,表面光洁度提升加工效率。

7. 应用领域



超细碳化钨粉是制造超细硬质合金(WC-Co体系, Co含量 6%-12% ± 1%)的关键原料, 其应用领域广泛且多样,涵盖高技术产业:

高效切削工具

用于车削刀具、铣刀、钻头和镗刀,加工钛合金、钢材和高硬度铸铁,切削速度可达 50-150 m/min±5m/min,显著提升生产效率,广泛应用于汽车和航空制造。

耐磨部件

应用于冲压模具、轧辊和耐磨衬板,寿命超过 104 h ± 500 h, 抗冲击性能达 >250 J ± 10 J, 通过夏比冲击试验验证, 广泛用于重工业和矿山设备。

航空航天

制造涡轮叶片和喷嘴,耐高温性能 >1000°C±20°C,通过高温氧化试验确认,支持高性能 航空发动机部件(如波音 787 发动机)。

医疗器械

生产牙科钻头和骨科植入物,加工精度 <0.01 mm ± 0.001 mm,通过三坐标测量机(CMM) 验证,满足微创手术需求,生物相容性 >90% ± 2%。

电子工业

用于 PCB 微钻和半导体模具, 耐用性 >2000 孔 ± 100 孔, 通过耐久性测试确认, 推动 W.chinatungsten.com 微电子制造技术进步(如 5G 电路板)。

8. 国内外标准

中国标准:

GB/T 26725-2011 超细碳化钨粉: 详细规定了粒径 0.2-0.6 μm、化学成分和测试方法, 是 国内生产和检验的核心依据,涵盖出厂检验和类型检验要求。

GB/T5242-2006 硬质合金制品检验规则:适用于超细硬质合金的性能检测和质量控制,包 括硬度、密度和抗弯强度的测试规范。

国际标准:

ISO 4499-1:1997: 金属粉末粒度分布测定,提供超细碳化钨粉粒径分析的国际参考,强调 筛分和激光分析的标准化流程。

ISO 513:2012: 硬质切削材料分类, 涵盖以超细碳化钨为基础的硬质合金应用, 定义 P、M、 K 等组别及其切削性能。

9. 超细碳化钨粉发展前景与挑战

超细碳化钨粉技术趋势

未来将开发多功能涂层(如 TiAlN, 硬度 >2500 ± 50 HV, 通过 PVD 沉积实现)和纳米 复合材料(如 WC-TiC-Co),结合 AI 优化烧结参数(温度 1350°C±10°C,压力 60 MPa ±1 MPa), 预计 5 年内加工精度提升 15% ±2%, 耐磨性提高 20% ±3%, 为高端应用提 供更多可能性。

超细碳化钨粉市场潜力

2030 年全球市场规模预计达 30 亿 ±3 亿 USD, 超细 WC 占 25% ±5% 份额, 尤其在 航空航天(波音 787 需求增长 15%±2%)、医疗(植入物市场扩张)和新能源(风电轴承) 领域需求旺盛。

超细碳化钨粉的挑战

晶粒控制的复杂性 (如晶界能 1-2 J/m² ± 0.1 J/m²) 和成本较高是主要限制, 未来自动化



制程(如智能烧结炉)可能降低成本 8%±1%, 推动规模化生产。

环保要求: 5-10 年内碳排放预计降低 12% ± 2% (基于生命周期评估 LCA), 低能耗工艺研发(如微波烧结)将成为行业重点。

10. 超细碳化钨粉与其他材料的对比

超细碳化钨粉与纳米碳化钨粉

超细碳化钨粉粒径较大(0.2-0.6 μ m vs. <0.1 μ m),烧结温度较高(1300°C vs. 1000°C),但韧性更优(K1c 12-15 vs. 8-10 MPa·m¹/²),适合工业化大批量生产;纳米粉虽活性更高,但成本较高且易团聚,适于超精密领域。

超细碳化钨粉与传统碳化钨粉

超细碳化钨粉硬度更高 (2400 HV vs. 1800 HV), 但成本较高,应用更集中于高端和精密 领域 (如航空 vs. 通用机械); 传统粉因粒径大 (>1 μm) 更适合低成本、大批量生产。

11. 结论

超细碳化钨粉作为一种高性能粉末材料,以其细小晶粒和优异力学性能成为现代硬质合金制造的核心原料。其制备工艺和粒度控制技术的不断进步,不仅满足了切削工具、耐磨部件等传统应用的需求,还为航空航天、医疗器械和电子工业等新兴领域提供了强有力的支持。粒度与分布的精确管理进一步提升了其性能稳定性,特别是在高温、高速加工条件下的可靠性。尽管面临晶粒控制、成本和环保的多重挑战,但随着工业 4.0、绿色制造和智能技术的推动,超细碳化钨粉的市场前景将更加广阔,其在全球制造业中的战略地位也将进一步巩固。









平钨智造科技有限公司 30 年硬质合金定制专家 核心优势 中钨智造科技有限公司

30年经验:深谙硬质合金生产加工,技术成熟稳定,不断精进。

精准定制: 支持特殊性能与复杂设计, 重视客户+AI 协同设计。

质量成本:优化模具与加工,性价比卓越;领先设备,RMI、ISO 9001 认证。

服务客户

产品涵盖切削、工模具、航空、能源、电子等领域,已服务10+万客户。

服务承诺

10+亿次访问、100+万网页、10+万客户、30年0抱怨! atungsten.com

联系我们

邮箱: sales@chinatungsten.com

电话: +86 592 5129696 官网: www.ctia.com.cn 微信: 关注"中钨在线"









超细硬质合金是以碳化钨(WC)为主要硬质相,钴(Co)、镍(Ni)或其组合为黏结相的复合材料,其晶粒尺寸控制在**超细级(0.1 \mum)**。通过粉末冶金、高温碳化、放电等离子烧结(SPS)等先进工艺制备,超细硬质合金在硬度、韧性和耐磨性之间实现优异平衡,广泛应用于精密加工、模具制造、耐磨部件、生物医学工具、能源设备、航空航天、电子行业和特殊环境(如核工业)等领域。相较于常规硬质合金(晶粒 15 μ m),超细硬质合金具有更高的硬度和耐磨性;相较于纳米硬质合金(晶粒<100 nm),其韧性更佳,制备成本较低。

本文从超细硬质合金的特性、组成与结构、制备工艺、性能优化、应用场景、优缺点及发展 趋势等方面进行详细阐述,特别细化和丰富应用场景,为材料选择和应用开发提供全面参考。

1.超细硬质合金特性

超细硬质合金通过控制 WC 晶粒尺寸($0.11~\mu m$)和优化黏结相比例(Co/Ni~515~wt.%),实现高硬度、韧性和耐磨性的协同提升。

超细硬质合金特性

性能	典型值	说明
硬度	HV 12001800 (WCCo, Co 610 wt.%)	高于常规硬质合金(HV 8001600),耐磨性提升 1.52 倍,适合高负荷切削。
断裂韧性	K_IC 1014 MPa m^1/2 (ISO 28079:2009)	优于纳米硬质合金(K_{IC} 812 $MPa\ m^1/2$),抗裂纹扩展,耐高频冲击。
耐磨性	磨损率 0.0010.005 mm^3/N m(ASTM G65)	低于常规硬质合金 $(0.01\mathrm{mm}^3/\mathrm{N}\mathrm{m})$,延长刀具和模具寿命



		1.52 倍。
抗压强度	46 GPa (WCCo, ISO 4506)	高抗压能力,承受模具冲压(1020 MPa)和切削负荷(15 kN)。
耐腐蚀性	腐蚀速率<0.01 mm/年(WCNi,pH 210,ISO 9227 盐雾测试)	抗酸碱、湿气和冷却液腐蚀,优于不锈钢(0.050.1 mm/年)。
导热性	80120 W/m·K (WCCo)	高导热性降低加工热,优于钢 (~50 W/m·K), 保护刀具和工件。
表面粗糙度		光滑表面满足精密加工公差(±0.0050.01 mm),减少工件缺陷。

超细硬质合金特性分析

硬度与韧性平衡

超细晶粒 (0.11 μm) 通过霍尔佩奇效应提升硬度,同时保持较高黏结相含量 (Co/Ni 610 wt.%)确保韧性,适合高负荷和冲击场景。

耐磨性

超细 WC 晶粒减少磨粒磨损和黏着磨损,磨损率比常规硬质合金低 5070%,延长工具寿命。

WCNi 体系优于 WCCo, 因 Ni 的电化学稳定性更高, Co 离子释放风险低(<0.5 μg/cm²/ www.chinatung 周, ISO 109935),适合生物医学和腐蚀环境。

2.超细硬质合金组成与结构

超细硬质合金的性能由其组成和微观结构决定:

超细硬质合金组成与结构

组成	典型比例	作用	
硬质相 (WC)	8595 wt.%	提供高硬度(HV 20003000)和耐磨性,晶粒尺寸 0.11 μm 决定性能。	
黏结相(Co/Ni)	515 wt.%	增强韧性(K_IC 1014 MPa m^1/2),Co 提升强度,Ni 提高耐腐蚀性。	
添加剂	0.12 wt.% (Cr、VC、TaC)	抑制晶粒长大(如 VC),提升高温稳定性(如 Cr),改善抗氧化性(如 TaC)。	
知何可压入人他们什 <u>什</u>			

超细硬质合金微观结构

晶粒尺寸

0.11 μm, 均匀分布, 通过抑制剂 (如 VC、Cr₃C₂) 控制晶粒长大, 晶界面积增加, 提升硬 度和耐磨性。

相分布

WC 颗粒被 Co/Ni 黏结相包裹,形成连续骨架结构,黏结相厚度 15 nm,增强韧性和抗裂

孔隙率

烧结后孔隙率<0.5%(密度>99.5%),减少应力集中,提高抗压强度。 www.chinatungsten.com

超细硬质合金结构优化

晶粒细化

版权与法律责任声明

Copyright© 2024 CTIA All Rights Reserved 标准文件版本号 CTIAQCD-MA-E/P 2024 版 www.ctia.com.cn

电话/TEL: 0086 592 512 9696 CTIAQCD-MA-E/P 2018-2024V sales@chinatungsten.com



通过低温快速烧结(如SPS, 10001200°C)或添加晶粒抑制剂(如0.5 wt.% VC),控制晶 粒尺寸<0.5 μm。

黏结相调控

Co/Ni 比例 (610 wt.%) 优化硬度/韧性平衡, Ni 用于腐蚀环境, Co 用于高强度场景。 涂层改性

TiN、DLC 涂层(厚度 15 μm) 降低摩擦系数 (<0.2), 提升耐磨性和表面光洁度 (Ra 0.010.05 Law . $\mu m)$.

3. 超细硬质合金制备工艺

超细硬质合金通过以下工艺制备,确保超细晶粒、高密度和优异性能:

工艺com	特点	优势	局限性	应用场景
粉末冶金	WC 与 Co/Ni 粉末混合,热压烧结 (14001600°C),晶粒 0.11 μm,硬度 HV 12001800。	工艺成熟,适合大批量生产,性能稳定。	高温烧结能耗高,晶粒 长大风险。	切削刀具、模具基体。
高温碳化法	W 盐与碳源(如碳黑)在 8001000°C 碳化, 晶粒 0.20.8 μm, 比表面积 2050 m²/g。			超细 WC 粉末, 刀具和模具。
	快速烧结 WCCo/Ni(10001200°C, 510 min),晶粒<0.5 μm,韧性提升 10%。			高性能刀具、精密模具。
	高压烧结(13001500°C, 100200 MPa),密 度>99.5%,晶粒 0.20.8 μm。	消除孔隙, 抗压强度提升 15%, 耐磨性提高 20%。		高可靠性模具、 耐磨部件。
微波烧结	微波加热 WCCo (10001200℃, 1020 min), 晶粒 0.30.8 μm, 硬度 HV 1500。	能耗低 30%, 晶粒均匀, 韧性提升 10%。		
	沉积 TiN、Al $_2$ O $_3$ 涂层,厚度 210 μ m,摩擦 系数 0.20.3,硬度 HV 1800。	增强耐磨性和耐高温性, 表面光洁度 Ra 0.010.05 µm。	沉 积 速 率 慢 (15 μm/h),设备成本高。	
	沉积 CrN、DLC 涂层,厚度 15 μm, Ra 0.010.05 μm, 耐腐蚀性提升。	抗粘附和腐蚀, 适合精密 加工。	涂层厚度有限 (<5 μm), 耐磨性低于 CVD。	模具、刀具表面 强化。
	CNC 磨削、抛光,精度±0.005 mm,Ra 0.010.05 μm。		加工周期长,成本随复杂度增加。	刀具刃口、模具成型。

4. 性能优化

超细硬质合金的性能通过以下策略优化,以满足精密加工、耐磨和特殊环境需求:

晶粒细化

chinatungste 添加晶粒抑制剂 $(0.21 \text{ wt.} \% \text{ VC} \times \text{Cr}_3\text{C}_2 \times \text{TaC})$, 抑制 WC 晶粒长大, 保持尺寸< $0.5 \mu m$ 。 采用低温快速烧结(如 SPS, 10001200℃, 510 min),减少晶粒生长,硬度提升 1015%。 WW. C.



黏结相优化

Co (610 wt.%) 增强韧性, 适合高冲击场景(如切削刀具)。

Ni (58 wt.%) 提高耐腐蚀性, 适合生物医学和化学环境(如牙科工具、核用部件)。 混合黏结相(Co+Ni,比例1:1)兼顾韧性和耐腐蚀性,断裂韧性提升510%。

表面改性

CVD 涂层 (TiN、Al₂O₃, 210 μm): 耐高温 (8001000°C),摩擦系数 0.20.3,耐磨性提 升2倍。

PVD 涂层(CrN、DLC, 15 μm): 抗粘附, Ra 0.010.05 μm, 适合高精度模具。 抛光:激光或机械抛光, Ra<0.02 μm,减少工件表面划痕,加工精度提升 20%。

掺杂与复合

掺杂稀土元素(如 0.10.5 wt.% Y、Ce),提高抗氧化性和高温稳定性,耐温性提升至 900°C. 复合碳材料(如 CNT、石墨烯, 0.52 wt.%), 导电率提升至 105 S/m, 适合导电模具。

微观结构控制

优化烧结参数(压力 100200 MPa,温度 10001400°C),孔隙率<0.5%,抗压强度提升 10%. Www.chinatungsten.com 控制黏结相分布均匀性(厚度 15 nm),减少应力集中,耐磨性提升 15%.

5. 超细硬质合金应用场景

超细硬质合金在精密加工、模具制造、耐磨部件、生物医学工具、能源设备、航空航天、电 子行业、采矿与地质、汽车制造和核工业等领域有广泛应用,满足高精度(公差±0.0050.01 mm)、高耐久性和特殊环境需求。以下为细化、丰富后的应用场景,涵盖更多领域和具体 inatungsten.co 用例:

超细硬质合金应用场景

		超细模则有金应用初 录		
	用域	部件类型	用途与场景	性能提升
精密加工	铣刀 Milling Cutter 车刀 Turning Tool	WCNi 车刀, 加工不锈钢(316L), 切削深度 13 mm, 速	Ra<0.08 μm, 切削效率提升 25%。	
	_	Drill Bit	WCCo 钻头,加工钛合金(Ti6Al4V)孔,孔径 210 mm, 转速 500012000 RPM,公差±0.005 mm。	耐磨性提升 1.5 倍, 孔精度提升 30%, 寿命延长 1.5 倍。
		铰刀 Reamer	WCCo 铰刀,精加工汽车发动机缸孔,孔径 2050 mm,转速 20005000 RPM,公差±0.002 mm。	表面粗糙度 Ra<0.05 μm, 寿命延 长 2 倍, 精度提升 40%。
模		冲压模具 Stamping Mold	WCNi 模具,冲压汽车钢板(DP980),压力 1020 MPa,公差±0.01 mm,寿命 50100 万次。	耐磨性提升 2 倍,模具寿命延长 1.52 倍,毛刺减少 30%。
制		注塑模具 Injection Mold	WCCo 模具, 加工手机壳 (PC/ABS 塑料), 公差±0.01 mm, 温度 150200°C, 寿命 100 万次。	寿命延长 2 倍,表面缺陷减少40%,耐腐蚀性提升 3 倍。



	拉丝模具 Wire Drawing Die	WCCo 拉丝模具,拉制铜线(直径 $0.11~\text{mm}$),拉力 $15~\text{kN}$,公差 $\pm 0.005~\text{mm}$,寿命 $2000~\text{吨}$ 。	耐磨性提升 2 倍, 线材表面质量 提升 20%, 寿命延长 1.5 倍。
	挤压模具 Extrusion Mold	WCNi 模具, 挤压铝型材, 压力 2030 MPa, 温度 400500℃, 公差±0.01 mm, 寿命 50 万件。	耐高温性提升 30%,模具寿命延长 2倍,缺陷率降低 25%。
	PCB 钻头 PCB Drill	WCCo 微型钻头, 加工多层电路板, 孔径 0.11 mm, 转速 50000100000 RPM, 公差±0.005 mm。	寿命延长 2 倍, 孔壁粗糙度 Ra<0.05 μm, 断钻率降低 50%。
	子 引线框架模具 Lead Frame Mold	WCNi 模具, 冲压 IC 引线框架 (铜合金), 精度±0.005 mm, 频率 5001000 次/分钟, 寿命 100 万次。	寿命 80120 万次,公差控制提升 20%,引脚缺陷率<0.1%。
	芯片封装模具 Chip Packaging Mold	WCCo 模具,加工晶圆级封装(WLCSP),公差±0.005 mm, 压力 510 MPa,寿命 100 万次。	寿命延长 2 倍,粘模减少 30%, 公差控制提升 25%。
en.	牙科车针 Dental Bur	WCNi 车针,磨削牙釉质/牙本质,直径 0.52 mm,转速 10000100000 RPM,公差±0.005 mm。	寿命延长 2 倍,细菌附着减少40%,耐腐蚀性提升 3 倍。
	勿 骨科钻头 Orthopedic Drill	WCCo 钻头, 钻孔骨骼 (如股骨固定), 直径 210 mm, 转速 10003000 RPM, 公差±0.01 mm。	耐腐蚀性提升 5 倍,钻孔精度 ±0.005 mm,寿命延长 2 倍。
	手术刀片 Surgical Blade	WCNi 刀片, 切割软组织(如皮肤), 刃口半径<0.1 μ m, 手术时间 560 分钟。	锋利度提升 50%,组织损伤减少30%,寿命延长 2 倍。
	燃料电池模具 Fuel Cell Mold	WCCo 模具, 加工 PEMFC 双极板 (石墨/金属), 公差 ±0.01 mm, 压力 1015 MPa, 寿命 50 万件。	寿命延长 2 倍,流场精度提升 20%,耐腐蚀性提升 3 倍。
	原 风电叶片刀具 - Wind Blade Cutting Tool	WCNi 刀具, 切削碳纤维复合材料(CFRP), 速度 $15\mathrm{m/s}$, 公差 $\pm0.01\mathrm{mm}$ 。	耐磨性提升 2 倍,切削力降低 20%,刀具寿命延长1.5 倍。
	油气钻头 Oil & Gas Drill Bit	WCCo 钻头, 钻探页岩气, 钻进速度 15 m/h, 压力 2050 MPa, 温度 100200℃。	耐磨性提升 2 倍, 钻进效率提升 15%, 寿命延长 1.5 倍。
	复合材料刀具 Composite Cutting Tool	WCCo 刀具, 加工碳纤维复合材料 (CFRP), 转速 1000020000 RPM, 公差±0.01 mm。	切削力降低 20%, 刀具磨损减少50%, 寿命延长 2 倍。
	文 涡轮叶片模具 Turbine Blade Mold	WCNi 模具,加工镍基合金叶片,公差±0.01 mm,温度 500600°C,寿命30万件。	耐高温性提升 30%,模具寿命延 长 2 倍,表面缺陷减少 30%。
	微型钻头 Micro Drill	WCCo 钻头,加工航空钛合金孔,孔径 0.52 mm,转速 1500030000 RPM,公差±0.005 mm。	孔精度提升 30%, 耐磨性提升 2 倍,寿命延长 1.5 倍。
采石	Geological Drill Bit	WCCo 钻头, 钻探硬岩(花岗岩), 钻进速度 $0.52\mathrm{m/h}$, 压力 $1030\mathrm{MPa}$ 。	耐磨性提升 2 倍,钻进效率提升 20%,寿命延长 1.5 倍。
与地质	掘进刀具 Tunneling Tool	WCNi 刀具, 掘进地铁隧道(砂岩), 切削力 $510\mathrm{kN}$, 速度 $0.10.5\mathrm{m/min}$ 。	耐冲击性提升 30%, 刀具寿命延 长 2 倍, 磨损减少 40%。
汽三	曲轴加工刀具 Crankshaft Cutting Tool	WCCo 刀具,加工铸铁曲轴,切削深度 25 mm,速度 150300 m/min, 公差±0.01 mm。	刀具寿命延长 1.5 倍,加工效率提升 20%,表面质量提升 25%。
制进	利车盘模具 Brake Disc Mold	WCNi 模具, 铸造刹车盘, 公差±0.01 mm, 温度 600700℃, 寿命 50 万件。	耐高温性提升 30%,模具寿命延长 2倍,缺陷率降低 20%。
核工业	工 核用模具 Nuclear Mold	WCNi 模具, 加工核传感器外壳, 耐辐照 (110 dpa), 精度±0.005 mm, 温度 200400℃。	腐蚀速率<0.01 mm/年,辐照硬化<20%,寿命延长 2 倍。



核燃料组件刀具

WCCo 刀具, 加工锆合金燃料管, 公差±0.005 mm, 转速 耐腐蚀性提升 3 倍, 加工精度提

Nuclear Fuel Cutting Tool 500010000 RPM.

升 25%,寿命延长 1.5 倍。

超细硬质合金应用案例

航空铣刀

WCCo 超细铣刀(CVD TiN 涂层)加工钛合金(Ti6Al4V),硬度 HV 1600,寿命 800 分钟,表面粗糙度 Ra $0.08 \mu m$,较常规硬质合金(400 分钟)提升 2 倍(Web ID 15)。

PCB 钻头

WCCo 微型钻头 (PVD CrN 涂层) 加工多层电路板, 孔径 0.2 mm, 寿命 50000 孔, 断钻率<0.1%, 较常规硬质合金提升 1.5 倍 (Web ID 24)。

核用模具

WCNi 模具 (SPS 制备, PVD CrN 涂层) 耐 5 dpa 辐照, 腐蚀速率<0.01 mm/年, 加工核 传感器外壳, 精度±0.005 mm, 寿命延长 2 倍 (Web ID 28)。

燃料电池模具

WCCo 模具 (HIP 制备) 加工 PEMFC 双极板,公差±0.01 mm,寿命 60 万件,流场精度提升 20%,较常规硬质合金提升 1.5 倍 (Web ID 24)。

牙科车针

WCNi 车针 (PVD DLC 涂层) 磨削牙釉质, Ra 0.02 μm, 寿命 1000 次切削, 细菌附着减少40%, 耐腐蚀性提升 3 倍 (Web ID 7)。

油气钻头

WCCo 钻头 (CVD Al_2O_3 涂层) 钻探页岩气, 钻进速度 3 m/h, 寿命延长 1.5 倍, 耐磨性提升 2 倍 (Web ID 15)。

刹车盘模具

WCNi 模具 (HIP 制备) 铸造汽车刹车盘, 耐温 700°C, 寿命 50 万件, 缺陷率降低 20%, 较常规硬质合金提升 2 倍 (Web ID 24)。

6. 超细硬质合金优缺点比较

优点

高硬度(HV 12001800),耐磨性提升 1.52 倍,寿命延长 1.52 倍。高 硬度低于纳米硬质合金(HV 16002000),超精密加工能 韧性(K_IC 1014 MPa m^1/2),抗冲击,适合高负荷加工。耐腐蚀 力稍逊。密度高(1015 g/cm³),较 PCD(3.5 g/cm³)性(<0.01 mm/年),适配湿加工、化学和生物医学环境。光滑表面 或陶瓷(34 g/cm³)重。制备成本高于常规硬质合金(SPS、(Ra 0.010.1 µm),满足精密公差(±0.0050.01 mm)。制备工艺较成 CVD 设备投资 100300 万元)。复杂几何加工难度大,周熟,成本低于纳米硬质合金。

比较分析

与常规硬质合金

超细硬质合金晶粒更细($0.11\,\mu m\,v s.\,15\,\mu m$),硬度提升 2030%,耐磨性提高 50%,适合更高精度加工。

与纳米硬质合金

超细硬质合金韧性更高(K_IC 1014 vs. 812 MPa m^1/2),成本降低 3050%,但硬度和超



精密加工能力稍逊。

与 PCD/CBN

超细硬质合金成本低(PCD/CBN 成本高 25 倍),但硬度(HV 12001800 vs. HV 30008000)和耐磨性低于 PCD/CBN。

7. 发展趋势

超细硬质合金的未来发展聚焦于性能提升、成本降低和应用拓展,以下为主要趋势:

趋势	技术方向	预期效果
更细晶粒	晶粒尺寸<0.2 μm,掺杂稀土(Y、Ce 0.10.5 wt.%),硬度>HV 1800, K_IC>14 MPa m^1/2。	耐磨性提升30%,刀具寿命延长1.5倍。
高性能涂层	DLC、石墨烯复合涂层,摩擦系数<0.1, Ra<0.01 μm, 耐高温 1000°C。	表面缺陷减少50%,加工精度提升20%,耐腐蚀性提升30%。
轻量化设计	多孔 WCCo/Ni (孔隙率 1015%),密度降至 810 g/cm³, 导热性>100 W/m·K。	减重 20%, 适合高速加工和航空航天应用。
绿色制备	低温 SPS(<1000°C)、微波烧结,能耗降低 3050%。	生产成本降低 20%, 环境影响减少 40%。
智能工具与模具	集成传感器(温度、磨损、压力监测),WCNi 封装,实时反馈性能。	加工效率提升 15%,模具失效率降低 30%。
3D 打印定 制化	激光选区熔化 (SLM) 制备复杂 WCCo 刀具/模具, 精度±0.005 mm。	生产周期缩短 40%,满足个性化需求。
复合材料	WCCNT、石墨烯复合,导电率>10 ⁵ S/m, 韧性提升 20%。	导电模具效率提升 30%, 适合电子和燃料电 池领域。

案例

石墨烯涂层刀具

WCCo 超细刀具(石墨烯涂层)加工 CFRP, 摩擦系数<0.1, 寿命提升 50%, 切削力降低 30% (Web ID 7)。

3D 打印模具

SLM 制备 WCNi 注塑模具, 精度±0.005 mm, 生产周期缩短 50%, 成本降低 20%, 满足 5G 器件需求 (Web ID 24).

8. 结论

超细硬质合金以 WCCo、WCNi 为核心, 晶粒尺寸 0.11 µm, 通过粉末冶金、SPS、高温碳化、HIP、微波烧结、CVD、PVD 和精密磨削等工艺,实现高硬度(HV 12001800)、高韧性(K_IC 1014 MPa m^1/2)、优异耐磨性(磨损率 0.0010.005 mm^3/N m)和耐腐蚀性(<0.01 mm/年)。其广泛应用于精密加工(铣刀、车刀、钻头、铰刀)、模具制造(冲压、注塑、拉丝、挤压模具)、电子行业(PCB 钻头、引线框架模具)、生物医学(牙科车针、骨科钻头、手术刀片)、能源设备(燃料电池模具、风电刀具、油气钻头)、航空航天(复合材料刀具、涡轮叶片模具)、采矿与地质(地质钻头、掘进刀具)、汽车制造(曲轴刀具、刹车盘模具)和核工业(耐辐照模具),满足公差±0.0050.01 mm 的需求,寿命延长 1.52 倍,



加工效率提升 2030%。在核工业中, WCNi 模具耐辐照 (110 dpa), 支持高精度部件加工。未来, 更细晶粒、高性能涂层、轻量化设计、绿色制备、3D 打印和智能工具/模具技术将推动超细硬质合金在航空航天、5G 电子、汽车、生物医学和能源领域的应用, 为高精度、高耐久性制造提供高效解决方案。



chinatungsten.com

www.chinatungsten.com



www.chinatungsten.com

www.chinatungsten.com

版权与法律责任声明

Copyright© 2024 CTIA All Rights Reserved 标准文件版本号 CTIAQCD-MA-E/P 2024 版 www.ctia.com.cn 电话/TEL: 0086 592 512 9696 CTIAQCD-MA-E/P 2018-2024V sales@chinatungsten.com



平钨智造科技有限公司 30 年硬质合金定制专家 核心优势 中钨智造科技有限公司

30年经验:深谙硬质合金生产加工,技术成熟稳定,不断精进。

精准定制: 支持特殊性能与复杂设计, 重视客户+AI 协同设计。

质量成本:优化模具与加工,性价比卓越;领先设备,RMI、ISO 9001 认证。

服务客户

产品涵盖切削、工模具、航空、能源、电子等领域,已服务10+万客户。

服务承诺

10+亿次访问、100+万网页、10+万客户、30年0抱怨! atungsten.com

联系我们

邮箱: sales@chinatungsten.com

电话: +86 592 5129696 官网: www.ctia.com.cn 微信: 关注"中钨在线"









附录:

常规硬质合金、超细硬质合金、纳米硬质合金 金属陶瓷、PCD/CBN 比较分析

硬质合金、金属陶瓷和聚晶金刚石 (PCD) / 立方氮化硼 (CBN) 是高性能工具和耐磨材料 的主要类型, 广泛应用于精密加工、模具制造、生物医学、电子行业、能源设备、航空航天、 采矿和核工业等领域。常规硬质合金、超细硬质合金和纳米硬质合金以碳化钨(WC)为主 要硬质相,黏结相(如Co、Ni)比例和晶粒尺寸不同,性能各异;金属陶瓷以TiC或TiCN 为核心,兼具陶瓷和金属特性; PCD/CBN 则以超硬材料为基础,硬度和耐磨性极高。

本文从材料特性、组成与结构、制备工艺、应用场景、优缺点、性能比较和发展趋势等方面, 对常规硬质合金、超细硬质合金、纳米硬质合金、金属陶瓷和 PCD/CBN 进行详尽全面的 比较分析, 为材料选择和应用开发提供参考。

1. 材料特性比较

以下为五种材料的特性对比,基于 ISO 28079:2009、ASTM G65、ISO 9227 等标准:

性能	常规硬质合金	超细硬质合金	纳米硬质合金	金属陶瓷	PCD/CBN	
晶粒尺寸	15 μm	0.11 μm	<100 nm	0.52 μm	0.110 μm (PCD), 0.15 μm (CBN)	
硬度 HV	8001600	12001800	16002000	15002000	30008000 (PCD), 40006000 (CBN)	
断裂韧性 K_IC	1220 MPa m^1/2	1014 MPa m^1/2	812 MPa m^1/2	610 MPa m^1/2	69 MPa m^1/2 (PCD), 58 MPa m^1/2 (CBN)	
耐磨性磨损率	0.010.05 mm^3/N m	0.0010.005 mm^3/N m	<0.001 mm^3/N m	0.0020.01 mm^3/N m	<0.0005 mm^3/N m	
抗压强度	35 GPa	46 GPa	57 GPa	35 GPa	710 GPa (PCD), 68 GPa (CBN)	
耐腐蚀性	腐蚀速率 0.050.1 mm/年 (WCCo, pH 210)	<0.01 mm/ 年 (WCNi)	<0.01 mm/ 年 (WCNi)	<0.005 mm/ 年 (TiC/TiCN)	<0.001 mm/年 (CBN), 0.01 mm/年 (PCD)	
导热性	50100 W/m·K	80120 W/m·K	80150 W/m·K	2050 W/m·K	5002000 W/m·K (PCD), 200700 W/m·K (CBN)	
表面粗糙 度 Ra	0.10.5 μm	0.010.1 μm	0.0050.02 μm	0.020.1 μm	0.010.05 μm	
密度	1215 g/cm ³		1015 g/cm ³	57 g/cm ³	3.54.5 g/cm ³	
特性分析						

特性分析

常规硬质合金

晶粒较大(15μm), 韧性最高(K_IC1220 MPa m^1/2), 但硬度和耐磨性较低, 适合高 冲击场景。



超细硬质合金

晶粒 0.11 μm, 硬度 (HV 12001800) 和韧性 (K_IC 1014 MPa m^1/2) 平衡, 耐磨性提升 5070%, 适合精密加工。

纳米硬质合金

晶粒<100 nm, 硬度最高(HV 16002000), 表面粗糙度最低(Ra 0.0050.02 μm), 耐磨性 提升23倍,适合超精密加工。

金属陶瓷

以 TiC/TiCN 为核心, 硬度(HV 15002000)接近纳米硬质合金, 耐腐蚀性优异, 但韧性较 低,适合高温和腐蚀环境。

PCD/CBN

超硬材料, 硬度(HV 30008000)和导热性(5002000 W/m·K)远超其他材料, 耐磨性极高, 但韧性低,成本高。

2. 组成与结构比较

材料	主要组成	黏结相	微观结构特点
常规硬质合金	WC (8090 wt.%)	Co (1020 wt.%)	晶粒 $15\mu m$,黏结相厚度 $510n m$,孔隙率< 1% ,韧性高晶界较少。
超细硬质合金	WC (8595 wt.%)	Co/Ni (515 wt.%)	晶粒 0.11 μm, 黏结相厚度 15 nm, 孔隙率<0.5%, 晶界面积增加, 硬度和韧性平衡。
纳米硬质合金	WC (9096 wt.%)	Co/Ni (410 wt.%)	晶粒<100 nm, 黏结相厚度 0.52 nm, 孔隙率<0.2%, 晶界强化显著, 硬度和耐磨性极高。
金属陶瓷	TiC/TiCN 6080 wt.%	Ni/Mo (2040 wt.%)	晶粒 $0.52~\mu m$,陶瓷金属复合结构,孔隙率< 0.5% ,高温稳定性和耐腐蚀性优异。
PCD/CBN	金刚石/CBN (8095 wt.%)		晶粒 $0.110\mu m$,聚晶结构,孔隙率< $0.1%$,超高硬度和导热性,但晶界结合力较低。
结构优化 硬质合金		17. 11. 16. 44. 41. 41.	hinaungsten.com

结构优化

硬质合金

晶粒细化(从常规到纳米)通过抑制剂(如 VC、Cr₃C₂)控制,黏结相比例降低以提升硬 度,涂层(如TiN、DLC)优化表面。

金属陶瓷

TiC/TiCN 基体结合 Ni/Mo 黏结相,添加 Mo₂C 提高润湿性,涂层(如 Al₂O₃)增强耐高 温性。

PCD/CBN

聚晶结构通过高温高压(HPHT)或化学气相沉积(CVD)形成,Co黏结相提升韧性,陶 瓷黏结相(如SiC)提高耐高温性。

3. 制备工艺比较

材料 主要工艺 优势 工艺特点



常规硬质合金	粉 末 冶 金 、 热 压 烧 结 (14001600°C)、热等静压(HIP)			
超细硬质合金	粉末冶金、SPS(10001200℃)、 HIP、微波烧结	低温快速烧结, 晶粒 0.11 μm,添加 VC 抑制晶粒长大, 密度>99.5%。	,,,,,,,,,,,,,,,,,,,,,,,,,,,,,,,,,,,,,,,	设备成本高(100300万元), 晶粒长大风险需精准控制。
纳米硬质合金	SPS、溶剂热法(180250℃)、高 温碳化(8001000℃)、微波烧结	超低温快速烧结,晶粒<100 nm,添加 0.10.5 wt.% VC, 密度>99.8%。		
金属陶瓷	粉末冶金、SPS、CVD 涂层(Al ₂ O ₃ 、 TiN)、热压烧结(15001700℃)	TiC/TiCN 基体,Ni/Mo 黏 结相,晶粒 $0.52\mu m$,涂层厚度 $210\mu m$ 。		韧性低,制备成本高,复杂几 何加工难度大。
en.co	高温高压(HPHT, 15002000℃,	聚晶结构, 晶粒 0.110 μm,	超高硬度和耐磨	制备成本极高(设备投资
PCD/CBN	510 GPa)、CVD(PCD)、激光	Co/陶瓷黏结相,厚度 0.53	性,适合超硬材料	5001000万元),韧性低,尺
	切割		加工。	寸受限(<50 mm)。
工艺趋势 硬质合金		ngsten.		

工艺趋势

硬质合金

从高温烧结向低温 SPS、微波烧结发展,降低能耗,控制晶粒尺寸。

CVD/PVD 涂层技术提升耐磨性和耐高温性, SPS 提高密度和性能。

PCD/CBN

CVD 技术制备薄膜 PCD, 激光切割提高加工精度, 降低成本。

4. 应用场景比较

以下为五种材料在主要应用领域的详细对比,涵盖加工参数、公差和性能提升:

应月领域	材料	部件类型	用途与场景	性能提升
	常规硬质合金	铣刀 / Milling Cutter	加工铸铁, 速度 100200 m/min, 转速 30008000 RPM, 公差±0.05 mm。	寿命500分钟,成本低,适合大批量粗加工。
}	超细硬质合金	车刀 / Turning Tool	加工不锈钢(316L),切削深度 13 mm,速度 150250 m/min,公差±0.01 mm。	寿命延长 1.5 倍,表面粗糙度 Ra<0.1 μm,精度提升 30%。
精智	密 纳米硬质合	微型切削刀具 / Micro	加工硅晶圆, 刃口半径<0.1 μm, 转速	寿命延长 3 倍, Ra<0.01 μm,
加工	金	Cutting Tool	1000020000 RPM,公差±0.001 mm。	精度提升 50%。
	金属陶瓷	crous stell	加工高温合金(如 Inconel),速度 200400 m/min,温度 8001000°C,公差±0.02 mm。	
	PCD/CBN		PCD 切削铝合金,速度 5001000 m/min; CBN 切削硬钢 (HRC>60), 公差±0.005 mm。	
模身	具常规硬质合	冲压模具 / Stamping Mold	冲压低碳钢,压力 1020 MPa, 公差±0.05 mm,	成本低,适合低精度模具。
			WWW.C.	



				一 一 一 一 一 一 一 一 一	. (及门) 村汉有限公司
f	制造	金		寿命 2050 万次。	
		超细硬质合金	注 <mark>塑</mark> 模具 / Injection Mold	加工手机壳 (PC/ABS), 公差±0.01 mm, 温度 150200℃, 寿命 100 万次。	寿命延长 2 倍,表面缺陷减少40%,耐腐蚀性提升 3 倍。
			芯片封装模具 / Chip Packaging Mold	加工晶圆级封装 (WLCSP), 公差±0.001 mm, 压力 510 MPa,寿命 150200 万次。	寿命延长3倍,粘模减少30%,公差控制提升50%。
		金属陶瓷	挤压模具 / Extrusion Mold	挤压铝型材, 压力 2030 MPa, 温度 400500°C, 公差±0.02 mm, 寿命 50 万件。	耐高温性提升50%,寿命延长2倍,耐腐蚀性提升4倍。
		PCD/CBN	精密模具 / Precision Mold	PCD 模具加工光学玻璃, 公差±0.002 mm; CBN 模具加工硬质合金, 寿命 100 万次。	寿命延长 510 倍,表面质量提升 60%,精度提升 50%。
			骨科钻头 / Orthopedic Drill	钻孔骨骼(股骨),直径 510 mm,转速 10003000 RPM,公差±0.05 mm。	成本低,适合低精度医疗工 具。
		超细硬质合金	牙科车针 / Dental Bur	磨削牙釉质,直径 0.52 mm,转速 10000100000 RPM,公差±0.01 mm。	寿命延长 2 倍,细菌附着减少40%,耐腐蚀性提升 3 倍。
		纳米硬质合	微创手术刀片 / Minimally Invasive Blade	切割软组织(眼科手术),刀口半径<0.05 μ m,公差 \pm 0.005 m m。	锋利度提升 60%,组织损伤减少 50%,寿命延长 3 倍。
		金属陶瓷	牙科刀具 / Dental Tool	磨削牙本质,温度 100200℃,转速 2000050000 RPM,公差±0.02 mm。	耐腐蚀性提升5倍,寿命延长2倍,适合高温灭菌环境。
		PCD/CBN		PCD 切割软骨, CBN 钻孔陶瓷植入物, 公差 ±0.005 mm, 转速 10005000 RPM。	寿命延长 510 倍,精度提升 60%,细菌附着减少 60%。
		常规硬质合金	PCB 钻头 / PCB Drill	加工单层电路板, 孔径 0.52 mm, 转速 2000050000 RPM, 公差±0.05 mm。	成本低,适合低端电路板加工。
				冲压铜合金引线框架,公差±0.005 mm,频率 5001000次/分钟,寿命100万次。	寿命延长 2 倍,引脚缺陷率 <0.1%,公差控制提升 20%。
.1	电子行业	纳米硬质合		加工高密度电路板, 孔径 0.050.3 mm, 转速 80000150000 RPM, 公差±0.002 mm。	寿命延长 3 倍, Ra<0.01 μm, 断钻率<0.05%。
	11	金属陶瓷	半导体切割刀 / Semiconductor Cutting Blade	切割硅晶圆,厚度 0.10.5 mm, 转速 500015000 RPM, 公差±0.01 mm。	耐高温性提升50%,寿命延长2倍,适合高温环境。
		PCD/CBN	晶圆划片刀 / Wafer Dicing Blade	PCD 划片硅, CBN 划片 GaAs, 厚度 0.020.1 mm, 转速 1000030000 RPM, 公差±0.001 mm。	
7		常规硬质合金	油气钻头 / Oil & Gas Drill Bit	钻探软岩,钻进速度 13 m/h, 压力 1020 MPa, 温度 100150°C。	成本低,适合低硬度地层。
i	能源			加工 PEMFC 双极板, 公差±0.01 mm, 压力 1015 MPa, 寿命 60 万件。	流场精度提升25%,耐腐蚀性 提升3倍,寿命延长2倍。
	设备		风电叶片刀具 / Wind Blade Cutting Tool	切削玻璃纤维复合材料,速度 13 m/s,转速500010000 RPM,公差±0.005 mm。	切削力降低25%,寿命延长2.5 倍,磨损减少50%。
		金属陶瓷	太阳能硅片刀具 / Solar Wafer Cutting Tool	切割多晶硅片,厚度 0.10.2 mm, 转速 500012000 RPM, 公差±0.01 mm。	耐高温性提升 50%, 寿命延长 2倍, 裂纹率<0.2%。



]	PCD/CBN	,	PCD/CBN 钻探页岩气,钻进速度 25 m/h,压	
		Formation Drill Bit	力 2050 MPa,温度 150200℃。	升 50%, 耐磨性提升 10 倍。
	常规硬质合金	铣刀 / Milling Cutter	加工铝合金,速度 100200 m/min,转速 500010000 RPM,公差±0.05 mm。	成本低,适合粗加工。
			加工 CFRP,转速 1000020000 RPM,公差±0.01 mm,速度 15 m/s。	切削力降低 20%,寿命延长 2 倍,磨损减少 50%。
航空		微型铣刀 / Micro Milling Cutter	加工镍基合金,转速 1500030000 RPM,公差 ±0.002 mm,切削深度 0.10.5 mm。	寿命延长 2.5 倍, Ra<0.02 μm, 精度提升 40%。
	金属陶瓷		加工钛合金,速度 200400 m/min,温度 8001000℃,公差±0.02 mm。	耐高温性提升50%,寿命延长 2倍,适合高温加工。
n.G	PCD/CBN	精密刀具 / Precision Tool	PCD 切削铝合金, CBN 切削硬钢, 转速 1000030000 RPM, 公差±0.005 mm。	寿命延长 510 倍,精度提升 60%,表面质量提升 70%。
	常规硬质合金	核用模具 / Nuclear Mold	加工低精度部件,公差±0.05 mm,温度 150300°C,耐辐照1dpa。	成本低,适合低要求场景。
		核燃料组件刀具 / Nuclear Fuel Cutting Tool	加工锆合金燃料管,公差±0.005 mm,转速500010000 RPM,耐辐照5 dpa。	耐腐蚀性提升3倍,寿命延长2倍,精度提升25%。
	纳米硬质合 金	核用模具 / Nuclear Mold	加工核传感器外壳,公差±0.002 mm,温度 200400℃,耐辐照510 dpa。	腐蚀速率<0.01 mm/年,寿命延长 3 倍,精度提升 40%。
	金属陶瓷	核用刀具 / Nuclear Tool	加工高温部件, 温度 400600°C, 公差±0.01 mm, 耐辐照 35 dpa。	耐高温性提升50%,耐腐蚀性提升5倍,寿命延长2倍。
	PCD/CBN	核用精密刀具 / Nuclear Precision Tool	CBN 加工硬质合金部件, 公差±0.002 mm, 转速 500010000 RPM, 耐辐照 510 dpa。	寿命延长 510 倍,精度提升60%,耐腐蚀性提升10倍。

航空铣刀

超细硬质合金铣刀 (CVD TiN 涂层) 加工钛合金,寿命 800 分钟, Ra 0.08 μm; PCD 刀具 寿命 5000 分钟, Ra 0.05 μm (Web ID 15)。

WLCSP 模具

纳米硬质合金模具(CVD DLC涂层)寿命150万次,公差±0.001 mm;常规硬质合金模具 寿命 50 万次,公差±0.05 mm(Web ID 15)。

核用模具

纳米硬质合金模具 (PVD CrN 涂层) 耐 5 dpa 辐照,寿命延长 3 倍;金属陶瓷模具耐高温 600°C,寿命延长 2 倍 (Web ID 28)。

PCB 钻头

超细硬质合金钻头寿命 50000 孔, 断钻率 < 0.1%; CBN 钻头寿命 200000 孔, 断钻率 < 0.01% www.chinatun (Web ID 24) 。



5. 优缺点比较

	a com	
材料	优点	缺点
	高韧性(K_IC 1220 MPa m^1/2),抗冲击性强。	硬度低(HV 8001600),耐磨性差(0.010.05
常规硬质合	成本低(1020万元/吨)。	$mm^3/Nm)$.
金	工艺成熟, 适合大批量生产。	表面粗糙度高(Ra 0.10.5 μm)。
	适合粗加工和高冲击场景。	耐腐蚀性一般 (0.050.1 mm/年)。
	硬度(HV 12001800)和韧性(K_IC 1014 MPa m^1/2)	
by harm it. A	平衡。	制备成本较高(2050万元/吨)。
超细硬质合	耐磨性提升 5070%,寿命延长 1.52 倍。	硬度低于纳米硬质合金。
金	表面粗糙度低(Ra 0.010.1 µm)。	密度高(1015 g/cm³),加工复杂几何难度大。
	耐腐蚀性优 (<0.01 mm/年)。	
	超高硬度(HV 16002000),耐磨性提升 23 倍。	韧性较低(K_IC 812 MPa m^1/2)。
纳米硬质合	超光滑表面(Ra 0.0050.02 μm),满足亚微米级公差。	制备成本高(50100万元/吨)。
金	耐腐蚀性优(<0.01 mm/年)。	纳米颗粒团聚风险高。
	寿命延长 23 倍。	密度高(1015 g/cm³)。
	高硬度(HV 15002000),耐高温(8001000℃)。	tell & cri re con a con
A 12 114 Ve	耐腐蚀性极佳(<0.005 mm/年)。	韧性低(K_IC 610 MPa m^1/2), 抗冲击性差。
金属陶瓷	密度低(57 g/cm³),适合轻量化。	导热性低 (2050 W/m K)。
	寿命延长 2 倍。	制备成本高(3070万元/吨)。
	超高硬度(HV 30008000), 耐磨性提升 510 倍。	韧性低(K_IC 59 MPa m^1/2),易崩裂。
DCD /CDN	高导热性(5002000 W/m·K)。	制备成本极高(100500 万元/吨)。
PCD/CBN	超光滑表面(Ra 0.010.05 μm)。	尺寸受限(<50 mm)。
	寿命延长 510 倍。	PCD 不耐高温(>700℃)。
012		

6. 性能比较总结

性能指标	常规硬质合金	超细硬质合金	纳米硬质合金	金属陶瓷	PCD/CBN	
硬度	***	****	****	****	****	
韧性	****	****	****	★★☆☆☆	★★☆☆☆	
耐磨性	***	****	****	****	****	
耐腐蚀性	***	****	****	****	****	
导热性	****	****	****	★★☆☆☆	****	
表面光洁度	***	****	****	****	****	
成本效益	****	****	****	****	★☆☆☆☆	
加工精度	****	****	****	****	****	
						gsten.com
			,, ,, ,, ,, ,,			
<u> </u>	- / \\					

分析

硬度和耐磨性: PCD/CBN 遥遥领先, 纳米硬质合金次之, 常规硬质合金最低。



韧性: 常规硬质合金最佳, 超细硬质合金次之, PCD/CBN 和金属陶瓷较差。

耐腐蚀性:金属陶瓷和 PCD/CBN 最优,超细和纳米硬质合金次之,常规硬质合金较差。

成本效益:常规硬质合金最经济,PCD/CBN成本最高,纳米硬质合金成本较高。

加工精度: 纳米硬质合金和 PCD/CBN 适合亚微米级精度, 超细硬质合金次之, 常规硬质

7. 发展趋势

合金最低。 7. 发展趋	Shina	TODY CDIV 起日亚城水纵相及,	
材料	趋势	技术方向	预期效果
常规硬质合金	绿色制造、低成本优 化	低温烧结(<1400℃)、回收 WC/Co 工艺	能耗降低 30%, 成本降低 20%, 环境影 响减少 40% 。
超细硬质合金	更细晶粒、高性能涂 层	晶粒<0.2 μm, 石墨烯/DLC 涂层, 摩擦系数<0.1	耐磨性提升 30%, 寿命延长 1.5 倍, 精度 提升 20%。
纳米硬质合	超细纳米结构、轻量 化设计	晶粒<10 nm, 多孔 WCCo (孔隙率 1020%), 密度 810 g/cm ³	耐磨性提升 50%, 重量减轻 20%, 寿命延长 2 倍。
金属陶瓷	高韧性、耐高温涂层	纳米 TiC/TiCN,Al ₂ O ₃ /石墨烯涂层,K_IC>10 MPa m^1/2	韧性提升 30%, 耐高温性提升 50%, 寿命延长 2 倍。
PCD/CBN	低成本制备、复合材料	CVD 薄膜 PCD, CBNSiC 复合, 降低 HPHT 压力(<5 GPa)	成本降低 30%, 韧性提升 20%, 应用范围扩大 50%。

案例展望

石墨烯涂层超细硬质合金

加工 CFRP, 摩擦系数<0.1, 寿命提升 50% (Web ID 7)。

CVD 薄膜 PCD

切割硅晶圆,成本降低30%,寿命延长5倍(Web ID 24)。

纳米硬质合金 3D 打印模具

SLM 制备光学模具, 精度±0.001 mm, 周期缩短 50% (Web ID 24)。

8. 结论

常规硬质合金、超细硬质合金、纳米硬质合金、金属陶瓷和 PCD/CBN 各有独特优势和应 用场景:

常规硬质合金

高韧性(K IC 1220 MPa m^1/2)、低成本(1020 万元/吨),适合粗加工和高冲击场景(如 natungsten co 油气钻头、冲压模具)。

超细硬质合金

硬度(HV 12001800)和韧性(K_IC 1014 MPa m^1/2)平衡,耐磨性提升5070%,适合精 密加工和模具制造(如PCB钻头、注塑模具)。

纳米硬质合金

超高硬度(HV 16002000)、超光滑表面(Ra 0.0050.02 μm),耐磨性提升 23 倍,适合超



精密加工和微型工具(如芯片封装模具、牙科刀具)。

金属陶瓷

高硬度(HV 15002000)、耐高温(8001000° C)、耐腐蚀性优($<0.005 \, mm/$ 年),适合高温切削和腐蚀环境(如高温合金刀具、核用刀具)。

PCD/CBN

超高硬度(HV 30008000)、耐磨性提升 510 倍,适合超硬材料加工和超高精度场景(如晶圆划片刀、航空精密刀具),但成本高(100500 万元/吨)。

选择建议:

粗加工和高冲击:常规硬质合金,成本低,韧性高。精密加工和模具:超细硬质合金,性能均衡,性价比高。超精密加工和微型化:纳米硬质合金,精度和耐磨性优异。高温和腐蚀环境:金属陶瓷,耐高温和耐腐蚀性强。超硬材料和超高精度:PCD/CBN,硬度和寿命无与伦比。

未来,绿色制备(如低温 SPS)、高性能涂层(如石墨烯)、3D 打印和智能工具技术将推动五种材料在航空航天、5G 电子、生物医学和能源领域的应用,满足高精度、高耐久性和低成本需求。





平钨智造科技有限公司 30 年硬质合金定制专家 核心优势 中钨智造科技有限公司

30年经验:深谙硬质合金生产加工,技术成熟稳定,不断精进。

精准定制: 支持特殊性能与复杂设计, 重视客户+AI 协同设计。

质量成本:优化模具与加工,性价比卓越;领先设备,RMI、ISO 9001 认证。

服务客户

产品涵盖切削、工模具、航空、能源、电子等领域,已服务10+万客户。

服务承诺

10+亿次访问、100+万网页、10+万客户、30年0抱怨! atungsten.com

联系我们

邮箱: sales@chinatungsten.com

电话: +86 592 5129696 官网: www.ctia.com.cn 微信: 关注"中钨在线"









附录:

石墨烯涂层硬质合金刀具

石墨烯涂层硬质合金刀具是以常规硬质合金(晶粒 15 µm)、超细硬质合金(晶粒 0.11 µm) 或纳米硬质合金(晶粒<100 nm)为基体,通过化学气相沉积(CVD)或物理气相沉积(PVD) 技术在表面沉积石墨烯或石墨烯复合涂层(厚度 0.55 µm)的先进切削工具。石墨烯涂层以 其超低摩擦系数 (0.050.1) 、高硬度 (HV 20003000) 、优异导热性 (20005000 W/m·K) 和化学稳定性显著提升刀具性能,广泛应用于精密加工、航空航天、模具制造、电子行业和 能源设备等领域。

本文从石墨烯涂层硬质合金刀具的特性、组成与结构、制备工艺、应用场景、优缺点及发展 趋势等方面进行详尽阐述,为刀具设计和应用提供全面参考。

1. 石墨烯涂层硬质合金刀具特性

石墨烯涂层通过其二维碳原子结构赋予硬质合金刀具卓越性能,结合基体材料(常规、超细 或纳米硬质合金)的硬度和韧性,满足高精度(公差±0.0050.01 mm)和高耐久性需求。 atungsten.com

石墨烯涂层硬质合金刀具特性

性能	典型值	说明
涂层硬度	HV 20003000 (石墨烯/石墨烯 DLC 复合)	高于传统 TiN (HV 1800) , 提升刀具耐磨性 23 倍。
摩擦系数	0.050.1(石墨烯涂层, ASTM G99)	低于 TiN (0.20.3) 或 DLC (0.10.2), 减少切削力和热量 3050%。
耐磨性	磨损率<0.0005 mm^3/N m(ASTM G65)	低于未涂层硬质合金(0.0010.05 mm^3/N m), 刀具寿命延长 23 倍。
导热性	20005000 W/m·K (石墨烯层)	远超硬质合金 (50150 W/m K),降低切削区温度 50100℃。
耐腐蚀性	腐蚀速率<0.005 mm/年 (pH 210, ISO 9227)	优于 TiN (0.01 mm/年) ,抗冷却液和化学腐蚀,适合湿加工。
表面粗糙度	Ra 0.0050.02 μm(抛光后)	超光滑表面,减少工件划痕,满足亚微米级公差(±0.005 mm)。
涂层厚度	0.55 μm (单层或多层石墨烯/DLC 复合)	薄涂层保持刃口锋利,厚涂层提升耐磨性,平衡精度和寿命。

特性分析

低摩擦系数

石墨烯的 sp2碳结构提供自润滑特性,摩擦系数 0.050.1,降低切削力 2030%,减少刀具磨损 和工件表面缺陷。

高导热性

石墨烯导热性(20005000 W/m·K)快速散热,降低切削区温度,延长刀具寿命1.53 倍。

石墨烯的化学惰性(腐蚀速率<0.005 mm/年)保护基体,适合湿加工和腐蚀环境。

基体协同

超细/纳米硬质合金基体(HV 12002000)与石墨烯涂层结合,硬度和表面性能优化,适合 www.china 高精度加工。



2. 石墨烯涂层硬质合金刀具组成与结构

石墨烯涂层硬质合金刀具由硬质合金基体和石墨烯涂层组成,基体类型影响整体性能,涂层 结构决定表面特性。

	组成	典型比例/类型	作用
	基体 (硬质合金)	WC (8096 wt.%), Co/Ni (420 wt.%)	提供高硬度 (HV 8002000) 和韧性 (K_IC 820 MPa m^1/2) ,承受切削负荷。
	石墨烯涂层	单层/多层石墨烯,石墨烯 DLC 复合	降低摩擦系数($<$ 0.1),提升硬度(HV 20003000),增强耐磨性和耐腐蚀性。
9.	添加剂/过渡层	Cr、Ti、Si (0.11 wt.%)	增强涂层与基体结合力,改善附着力(>100 N, ISO 20502),减少剥落风险。

石墨烯涂层硬质合金刀具微观结构

基体

常规硬质合金: 晶粒 15 μm, Co 比例 1020 wt.%, 韧性高(K_IC 1220 MPa m^1/2)。 超细硬质合金: 晶粒 0.11 μm, Co/Ni 比例 515 wt.%, 硬度(HV 12001800)和韧性平衡。 纳米硬质合金: 晶粒<100 nm, Co/Ni 比例 410 wt.%, 硬度最高(HV 16002000)。

石墨烯涂层

磨性提升2倍。

单层石墨烯(厚度~0.34 nm):超低摩擦系数(0.05),适合高精度加工。 多层石墨烯(15 μm): 硬度提升至 HV 3000, 耐磨性增强, 适合高负荷切削。 石墨烯 DLC 复合:结合 DLC 的硬度(HV 2000)和石墨烯的自润滑性,摩擦系数 0.08,耐

过渡层: Cr、Ti 或 Si 基过渡层 (0.10.5 µm) 提高附着力, 防止涂层剥落。 www.chinatur

结构优化

基体选择

超细/纳米硬质合金基体提供更高硬度和表面光洁度,配合石墨烯涂层实现亚微米级精度。

多层石墨烯(310层)或石墨烯 DLC 复合涂层平衡硬度和韧性,附着力提升至 150 N。 表面处理

激光抛光或化学机械抛光(CMP)后,Ra<0.01 μm,减少工件表面划痕。 hinatungsten.com

3. 制备工艺

石墨烯涂层硬质合金刀具通过以下工艺制备,确保基体性能和涂层质量:

工艺	特点					优势	1-	局限性	应用场景
粉末冶金 (基	WCCo/Ni	混合,	热	压为	尧 结	工艺成熟,	适合大批量	高温烧结能耗高,晶粒控制	常规/超细硬质



体)	(14001600°C), 晶粒 0.15 μm, 硬度 HV 8002000。	生产基体,性能稳定。	需添加抑制剂。	合金刀具基体。		
	com					
放电等离子烧	快速烧结 WCCo/Ni (10001200℃, 510	低温快速烧结, 晶粒细	设备昂贵(投资 200500 万	纳米硬质合金刀		
结(SPS)	min),晶粒<100 nm,密度>99.8%。	化,适合纳米硬质合金。	元),尺寸受限(<100 mm)。	具基体。		
	沉积石墨烯(9001100℃, CH ₄ /H ₂ 气 氛),厚度 0.55 μm,摩擦系数 0.050.1。	高质量单层/多层石墨 烯,耐磨性和导热性优 异。	沉积速率慢(0.11 μm/h), 能耗高,基体需耐高温。	高性能刀具涂层,航空航天、电子行业。		
物理气相沉积 (PVD)	沉积石墨烯 DLC 复合(100300°C),厚 度 15 μm,Ra 0.0050.02 μm。	低温工艺,适合超细/纳 米基体,附着力强(>100 N)。	涂层厚度有限(<5 μm), 硬度略低于 CVD。	精密刀具、模具表面强化。		
激光微加工	激光抛光或刃口成型,精度±0.001 mm, Ra 0.0050.01 μm。	提升刃口锋利度和表面 光洁度,满足亚微米级 公差。	加工成本高,适合高附加值 刀具。	刀 具 刃 口 精 加工,超精密加工。		
化学机械抛光 (CMP)	抛光基体或涂层, Ra<0.01 μm, 公差 ±0.005 mm。	超光滑表面,减少工件划痕,适合光学和半导体加工。	工艺周期长,成本随精度要求增加。	工, 电子行业。		
WW ton com						
工艺优化 基体制备 SPS 制备纳米硬质合金基体、晶粉<50 nm、硬度 HV 1800、孔隙率<0.2%。						

工艺优化

SPS 制备纳米硬质合金基体, 晶粒<50 nm, 硬度 HV 1800, 孔隙率<0.2%。 涂层沉积

CVD 制备单层石墨烯 (摩擦系数 0.05), PVD 制备石墨烯 DLC 复合 (硬度 HV 2500), 过渡层(如 CrN)增强附着力。

后处理

激光微加工和 CMP 确保刃口半径<0.1 μm,表面粗糙度 Ra<0.01 μm。 3.01 Shinatungsten.com

4. 应用场景

石墨烯涂层硬质合金刀具在精密加工、航空航天、模具制造、电子行业和能源设备等领域表 现出色,满足高精度(±0.0050.01 mm)和高耐久性需求。以下为主要应用场景:

).	並用	部件类型	用途与场景	性能提升
Y		铣刀 / Milling Cutter	超细硬质合金基体(HV 1600),石墨烯涂层,加工不锈钢(316L), 转速 1000020000 RPM, 进给率 0.10.5 mm/rev, 公差±0.01 mm。	
	车刀 / Turning Tool		纳米硬质合金基体(HV 1800),石墨烯 DLC 涂层,加工铝合金,切削深度 13 mm,速度 200400 m/min,公差±0.005 mm。	
		钻头 / Drill Bit	超细硬质合金基体,石墨烯涂层,加工钛合金孔(孔径 210 mm), 转速 800015000 RPM,公差±0.005 mm。	耐磨性提升 23 倍, 孔精度提升 30%, 寿命延长 22.5 倍。
,	航空航天	Composite Cutting	纳米硬质合金基体,石墨烯涂层,加工碳纤维复合材料(CFRP),转速 1500030000 RPM,速度 15 m/s,公差±0,01 mm。	切削力降低 3040%, 磨损减少50%, 寿命延长 2.53 倍。



		AN THE AL TO 1 3.50	ALVERAATA (III. 1999) TERADIO VELLETEL	+ \ \ \ \ \ \ \ \ \ \ \ \ \ \ \ \ \ \ \
		型 铣 ノ / Micro	纳米硬质合金基体 (HV 1800), 石墨烯 DLC 涂层, 加工镍基	寿命延长 3 倍,表面粗糙度
		Milling Cutter	合金(Inconel 718),转速 2000040000 RPM,公差±0.002 mm。	Ra<0.01 μm, 精度提升 50%。
		注塑模具刀具 /	超细硬质合金基体,石墨烯涂层,加工 PC/ABS 塑料,切削深	寿命延长23倍,粘模减少40%,
	模具	Injection Mold Tool	度 0.52 mm,速度 100300 m/min,公差±0.01 mm。	表面缺陷减少30%。
	制造	冲压模具刀具 /	超细硬质合金基体,石墨烯 DLC 涂层,加工汽车钢板(DP980),	耐磨性提升 23 倍,寿命延长
		Stamping Mold Tool	转速 500010000 RPM,公差±0.005 mm。	22.5 倍, 毛刺减少 40%。
		微型 PCB 钻头 / Micro	纳米硬质合金基体, 石墨烯涂层, 加工高密度电路板, 孔径	寿命延长 34 倍, 孔壁粗糙度
	电子	PCB Drill	0.050.3 mm,转速 80000150000 RPM,公差±0.002 mm。	Ra<0.01 μm,断钻率<0.05%。
	行业	晶圆切割刀 / Wafer	纳米硬质合金基体, 石墨烯 DLC 涂层, 切割硅晶圆, 厚度 0.10.5	切口平整度提升 50%,寿命延
		Cutting Blade	mm,转速 1000030000 RPM,公差±0.001 mm。	长 34 倍, 崩边率<0.1%。
		风电叶片刀具 / Wind	超细硬质合金基体,石墨烯涂层,切削玻璃纤维复合材料,速度	切削力降低 30%,磨损减少
,	能 源	Blade Cutting Tool	13 m/s,转速 500010000 RPM,公差±0.01 mm。	50%,寿命延长23倍。
	设备	燃料电池刀具 / Fuel	纳米硬质合金基体, 石墨烯 DLC 涂层, 加工 PEMFC 双极板 (石	流场精度提升 30%, 耐腐蚀性
		Cell Cutting Tool	墨),转速 <mark>5</mark> 00010000 RPM,公差±0.005 mm。	提升4倍,寿命延长2.53倍。
			W.chinatungsten	
1	案例			
(CFR	P加工刀具		

案例

CFRP 加工刀具

纳米硬质合金基体 (HV 1800), 石墨烯涂层 (CVD, 厚度 2 µm), 加工 CFRP, 转速 20000 RPM,寿命 1500 分钟,切削力降低 40%,较 TiN 涂层刀具(800 分钟)提升 2 倍(Web ID 7)。

PCB 微型钻头

纳米硬质合金基体, 石墨烯 DLC 涂层 (PVD, 厚度 3 μm), 加工电路板, 孔径 0.1 mm, 寿命 80000 孔, 断钻率<0.05%, 较 DLC 涂层刀具(50000 孔)提升 1.6 倍(Web ID 24)。 硅晶圆切割刀

纳米硬质合金基体,石墨烯涂层(CVD,厚度1μm),切割硅晶圆,公差±0.001 mm,寿 命延长 3 倍,崩边率<0.1%(Web ID 15)。

注塑模具刀具

超细硬质合金基体 (HV 1600), 石墨烯 DLC 涂层, 加工 PC/ABS 塑料, 寿命延长 2.5 倍, 表面缺陷减少 40% (Web ID 24)。

5. 优缺点比较

优点	缺点
超低摩擦系数 (0.050.1), 切削力降低 3040%, 热量减少 50%。	制备成本高(CVD/PVD 设备投资 200500 万元,涂层成本占
高硬度 (HV 20003000), 耐磨性提升 23倍, 寿命延长 23倍。	刀具 3050%)。
高导热性 (20005000 W/m K), 降低切削区温度 50100℃。	涂层厚度有限 $(0.55\mu m)$, 高负荷下可能剥落。
耐腐蚀性优(<0.005 mm/年),适合湿加工和化学环境。	附着力需优化(>100 N),过渡层工艺复杂。
超光滑表面 (Ra 0.0050.02 μm),满足亚微米级公差。	石墨烯涂层在大规模生产中一致性控制难度大。
比较分析	www.chinatungster

比较分析

版权与法律责任声明

Copyright© 2024 CTIA All Rights Reserved 标准文件版本号 CTIAQCD-MA-E/P 2024 版 www.ctia.com.cn

电话/TEL: 0086 592 512 9696 CTIAQCD-MA-E/P 2018-2024V sales@chinatungsten.com



与 TiN 涂层刀具: 石墨烯涂层摩擦系数降低 5070%, 导热性提升 1020 倍, 寿命延长 23 倍, 但成本高 3050%。

与 DLC 涂层刀具: 石墨烯涂层硬度相当 (HV 20003000), 摩擦系数更低 (0.05 vs. 0.1), 导热性高 10 倍, 耐磨性提升 1.52 倍。

与未涂层硬质合金刀具: 石墨烯涂层提升耐磨性 23 倍,表面粗糙度降低 8090%,切削效率 www.chinatungsten. 提升3040%,但增加制备复杂度。

6. 发展趋势

石墨烯涂层硬质合金刀具的未来发展聚焦于性能提升、成本降低和应用拓展:

趋势	技术方向	预期效果
高性能涂层	石墨烯/纳米晶 DLC 复合涂层,摩擦系数<0.05, 硬度>HV 3000,	耐磨性提升50%,寿命延长34倍,切削力降
同性肥体左	附着力>150 N。	低 40%。
低温沉积	低温 CVD/PVD(<200°C),石墨烯涂层厚度 0.510 μm ,适合超	成本降低 30%, 基体性能无损, 适用性提升
1K1 / 111 /	细/纳米基体。	50%。
多功能涂层	石墨烯 TiN/CrN 复合涂层, 耐高温 1000°C, 导电率>10 ⁶ S/m。	耐高温性提升 50%, 适合导电模具和高温切
多切肥际伝	① 坐师 IIIV/CIN 灰日 标宏,则问画 1000 C, 寸 已 + / 10 3/ III。	削。
绿色制备	微波辅助 CVD, 石墨烯沉积能耗降低 40%, 回收石墨烯废料。	生产成本降低 20%, 环境影响减少 50%。
智能刀具	集成石墨烯传感器 (温度、磨损监测),实时反馈刀具状态。	加工效率提升 20%, 刀具失效率降低 30%。
3D 打印基体	SLM 制备复杂硬质合金基体,精度±0.005 mm,配合石墨烯涂层。	生产周期缩短 40%,满足个性化需求。

案例展望:

石墨烯 TiN 复合涂层:纳米硬质合金基体,石墨烯 TiN 涂层(CVD,厚度 3 μm),加工镍 基合金,寿命提升 3.5 倍,耐高温 1000°C (Web ID 7)。

3D 打印刀具: SLM 制备超细硬质合金基体,石墨烯 DLC 涂层,加工 CFRP,精度±0.005 mm, 周期缩短 50%, 成本降低 20% (Web ID 24)。 www.chinatungs

7. 结论

石墨烯涂层硬质合金刀具以常规、超细或纳米硬质合金为基体(HV 8002000),通过 CVD/PVD 沉积石墨烯或石墨烯 DLC 涂层(厚度 0.55 μm), 实现超低摩擦系数(0.050.1)、 高硬度(HV 20003000)、优异导热性(20005000 W/m·K)和耐腐蚀性(<0.005 mm/年)。 其在精密加工(铣刀、车刀、钻头)、航空航天(CFRP 刀具)、模具制造(注塑/冲压刀 具)、电子行业(PCB钻头、晶圆切割刀)和能源设备(风电刀具、燃料电池刀具)中表现 出色,满足公差±0.0050.01 mm 的需求,寿命延长 24 倍,切削效率提升 3050%。与 TiN 和 DLC 涂层相比, 石墨烯涂层在摩擦系数、导热性和耐磨性上更优, 适合高精度和高负荷场 景。低温沉积、石墨烯复合涂层、绿色制备、3D 打印和智能刀具技术将推动石墨烯涂层硬 质合金刀具在航空航天、5G 电子和新能源领域的应用,为高性能切削提供高效解决方案。 www.chinatungster



附录:

硬质合金硅晶圆切割刀

硬质合金硅晶圆切割刀是以碳化钨(WC)为主要硬质相、钴(Co)或镍(Ni)为黏结相的 硬质合金刀具(晶粒尺寸 $0.1-5\,\mu m$),通过化学气相沉积(CVD)或物理气相沉积(PVD)技术在表面沉积 TiN、DLC 或石墨烯等涂层(厚度 $1-5\,\mu m$),专为切割硅晶圆(厚度 $0.1-0.5\,m m$)设计。硬质合金刀具结合高硬度(HV 1200-2000)、优异耐磨性和超光滑表面(Ra $0.005-0.02\,\mu m$),满足半导体行业对亚微米级精度(公差± $0.001-0.005\,m m$)和高耐久性的需求,广泛应用于硅晶圆划片、切割和微加工。

本文从硬质合金硅晶圆切割刀的特性、组成与结构、制备工艺、应用场景、优缺点及发展趋势等方面进行详尽阐述,为刀具选择和工艺优化提供参考。

1. 硬质合金硅晶圆切割刀特性

硬质合金硅晶圆切割刀通过超细/纳米硬质合金基体(晶粒 0.1-1 μm 或<100 nm)与高性能涂层(如石墨烯、DLC)结合,实现高硬度、低摩擦和优异耐磨性,适合高速、高精度硅晶圆切割。以下为关键特性:

性能	典型值	说明
基体硬度	HV 1200-2000 (超细/纳米硬质合金)	高于常规硬质合金 (HV 800-1600) , 耐磨性提升 50-100%。
涂层硬度	HV 1800-3000 (TiN/DLC/石墨烯)	提升表面耐磨性 2-3 倍,保护刃口,延长寿命。
摩擦系数	0.05-0.2(石墨烯 0.05-0.1,DLC 0.1-0.2)	降低切削力 20-40%,减少热量和工件损伤(崩边率<0.1%)。
耐磨性	磨损率<0.001 mm^3/N m(ASTM G65)	低于硬质合金 $(0.01\text{-}0.05\text{mm}^3/\text{N}\text{m})$,寿命延长 2-3 倍。
表面粗糙度	Ra 0.005-0.02 μm(抛光或涂层后)	超光滑表面,减少硅晶圆表面划痕,满足公差±0.001 mm。
导热性	80-150 W/m K (基体), 2000-5000 W/m K (涂层)	快速散热,降低切削区温度 50-100℃,保护晶圆完整性。
耐腐蚀性	腐蚀速率<0.01 mm/年 (WC-Ni, pH 2-10, ISO 9227)	抗冷却液腐蚀, 适合湿加工环境。

特性分析

高硬度与耐磨性

超细/纳米硬质合金基体(HV1200-2000)结合石墨烯/DLC涂层(HV2000-3000),耐磨性提升2-3倍,减少刃口磨损,切割寿命延长。

低摩擦系数

石墨烯涂层 (0.05-0.1) 显著降低摩擦力,减少切削热和硅晶圆崩边 (<0.1%),提升切口平整度 50%。

超光滑表面

Ra 0.005-0.02 μm 确保高精度切割,满足半导体行业亚微米级公差要求。 导热性

石墨烯涂层导热性(2000-5000 W/m K)远超基体,降低加工温度,保护硅晶圆微结构。



2. 组成与结构

硬质合金硅晶圆切割刀由硬质合金基体和高性能涂层组成,基体晶粒尺寸和涂层类型决定切 割性能。

组成	典型比例/类型	作用
基体(硬质合金)		提供高硬度(HV 1200-2000)和韧性(K_IC 8-14 MPa m^1/2),承受切削负荷。
涂层	TiN、DLC、石墨烯(厚度 1-5 μm)	提升硬度(HV1800-3000),降低摩擦系数(<0.2),增强耐磨性和耐腐蚀性。
添加剂/过渡层	Cr、Ti、VC (0.1-0.5 wt.%)	抑制晶粒长大(如 VC),增强涂层附着力(>100 N, ISO 20502)。

微观结构:

基体

超细硬质合金: 晶粒 0.1-1 μm, Co/Ni 比例 5-15 wt.%, 硬度 HV 1200-1800, 韧性 K_IC 10-14 MPa m^1/2.

纳米硬质合金: 晶粒<100 nm, Co/Ni 比例 4-10 wt.%, 硬度 HV 1600-2000, 耐磨性最佳。 TiN (1-3 μm): 硬度 HV 1800, 耐磨性提升 1.5 倍, 适合中低速切割。 mgsten.com DLC (2-5 μm): 硬度 HV 2000 麻椒 ΖΨ 0.202

石墨烯 (0.5-5 μm): 硬度 HV 2000-3000, 摩擦系数 0.05-0.1, 导热性优异, 适合超高精度 切割。

过渡层: Cr 或 Ti 基过渡层 (0.1-0.5 μm) 提高附着力, 防止涂层剥落。

结构优化

基体晶粒细化:添加 0.1-0.5 wt.% VC 控制晶粒<0.5 μm,提升硬度 20%。

涂层设计: 石墨烯-DLC 复合涂层平衡硬度和自润滑性, 附着力>150 N。

刃口处理:激光微加工刃口半径<0.1 μm,抛光后 Ra<0.01 μm,减少切屑和崩边。 NWW.chinatungsten.

3. 制备工艺

硬质合金硅晶圆切割刀通过以下工艺制备,确保基体硬度和涂层性能:

工艺	特点	优势	局限性	应用场景
粉末冶金(基	WC-Co/Ni 混合, 热压烧结 (1400- 1600°C),晶粒 0.1-1 μm,硬度 HV 1200- 1800。	工艺成熟,适合大批量生产		超细硬质合金刀具基体。
	快速烧结(1000-1200°C, 5-10 min), 晶粒<100 nm,硬度 HV 1600-2000。		设备昂贵, 尺寸受限 (<100 mm)。	
	沉积 TiN/石墨烯 (900-1100℃),厚度 1-5 μm,摩擦系数 0.05-0.2。	高质量涂层,耐磨性和导热 性优异,适合高速切割。		
	沉积 DLC/石墨烯-DLC (100-300°C), 厚度 1-5 μ m, Ra 0.005-0.02 μ m。	低温工艺,适合超细/纳米基体,附着力强(>100 N)。	Alle	



j	激光微加工	刃口成型,精度±0.001 mm, Ra 0.005-	提升刃口锋利度和表面光洁	加工成本高,适合高附	刀具刃口精加
		0.01 μm, 刃口半径<0.1 μm。	度,满足亚微米级公差。	加值刀具。	工。
	化学机械抛光	抛光基体或涂层, Ra<0.01 μm, 公差	超光滑表面,减少硅晶圆划	工艺周期长,成本随精	刀具表面精加
	(CMP)	±0.005 mm。	痕,适合半导体加工。	度要求增加。	工。

工艺优化:

基体制备: SPS 制备纳米硬质合金基体, 晶粒<50 nm, 硬度 HV 1800, 孔隙率<0.2%。 涂层沉积: PVD 制备石墨烯-DLC 复合涂层(厚度 3 µm),摩擦系数 0.08,附着力>150 N。 后处理:激光微加工和CMP确保刃口半径<0.1 μm,表面粗糙度Ra<0.01 μm,崩边率<0.1%。

4. 应用场景

硬质合金硅晶圆切割刀主要用于半导体行业,切割单晶硅、多晶硅或化合物半导体晶圆(厚 度 0.1-0.5 mm),满足亚微米级精度(公差±0.001-0.005 mm)和高产量需求。以下为主要 应用场景:

应用		部件类型	用途与场景	性能提升
半 -]	晶圆划片刀 / Wafer Dicing Blade	圆 (6-12 英寸),厚度 0.1-0.5 mm,转速 10000-30000 RPM,公差	寿命延长 3-4 倍, 崩边率 <0.1%,切口平整度提升50%。
体	制	晶圆切割刀 / Wafer	超细硬质合金基体 (HV1600), DLC 涂层, 切割多晶硅晶圆, 厚	寿命延长 2-3 倍,表面粗糙度
造	(Cutting Blade	度 0.2-0.5 mm,转速 5000-15000 RPM,公差±0.002 mm。	Ra<0.01 μm,缺陷率<0.1%。
		微型切割刀 / Micro	纳米硬质合金基体,石墨烯涂层,加工硅基 MEMS 器件,切削深	精度提升 50%,磨损减少
	4	Cutting Tool	度 0.05-0.2 mm,转速 20000-50000 RPM,公差±0.001 mm。	60%,寿命延长3-4倍。
光	伏	硅片切割刀 / Solar	超细硬质合金基体, TiN 涂层, 切割多晶硅片(厚度 0.1-0.2 mm),	寿命延长 2-3 倍, 裂纹率
行业	W	Wafer Cutting Tool	转速 5000-12000 RPM,公差±0.005 mm。	<0.1%,切削效率提升30%。
	- 加]	精密划片刀 / Precision Dicing Blade	纳米硬质合金基体,石墨烯涂层,切割化合物半导体(如 $GaAs$),厚度 0.1 - 0.3 mm ,转速 10000 - 20000 RPM ,公差 ± 0.002 mm 。	

案例

硅晶圆划片刀

www.chinatun 纳米硬质合金基体(HV 1800),石墨烯-DLC涂层(PVD,厚度3μm),切割12英寸单 晶硅晶圆(厚度 0.2 mm), 转速 20000 RPM, 寿命延长 3.5 倍, 崩边率<0.1%, 较 TiN 涂 层刀具 (寿命 1.5 倍) 提升 2 倍 (Web ID 15)。

多晶硅片切割刀

超细硬质合金基体 (HV 1600), DLC 涂层 (PVD, 厚度 2μm), 切割光伏硅片 (厚度 0.15 www.chinatungsten.com mm),寿命延长 2.5 倍,裂纹率<0.1%(Web ID 24)。

GaAs 晶圆切割刀



纳米硬质合金基体, 石墨烯涂层(CVD, 厚度1μm), 切割化合物半导体, 公差±0.002 mm, 寿命延长 3 倍,切口平整度提升 50%(Web ID 15)。

优点	缺点
高硬度 (HV 1200-2000), 耐磨性提升 2-3倍, 寿命延长 2-4倍。	制备成本高(SPS/CVD 设备投资 200-500 万元,涂层占成本
超光滑表面 (Ra 0.005-0.02 μm) , 满足亚微米级公差 (±0.001	30-50%) 。
mm)。	韧性较低(K_IC 8-14 MPa m^1/2), 高负荷下易崩刃。
低摩擦系数 (0.05-0.2), 减少崩边 (<0.1%) 和切削热。	涂层附着力需优化(>100 N),复杂工艺增加一致性难度。
耐腐蚀性优(<0.01 mm/年),适合湿加工环境。	硬质合金密度高 (10-15 g/cm³), 较金刚石刀具 (3.5 g/cm³)
石墨烯涂层导热性(2000-5000 W/m·K)降低加工温度。	重。

比较分析:

与金刚石刀具

硬质合金刀具成本低(10-50万元/吨 vs. 100-500万元/吨),但硬度(HV 1200-2000 vs. HV 3000-8000) 和耐磨性低于金刚石,适合中高精度切割。

与 TiN 涂层刀具

石墨烯/DLC涂层摩擦系数降低 50-70%, 导热性提升 10-20 倍, 寿命延长 2-3 倍, 适合超高 WWW 精度场景。

与未涂层硬质合金刀具

涂层刀具耐磨性提升 2-3 倍,表面粗糙度降低 80-90%,崩边率减少 50%,但成本增加 30-50%。

6. 发展趋势 hinat

硬质合金硅晶圆切割刀的未来发展聚焦于性能提升、成本降低和工艺优化:

趋势	技术方向	预期效果
超细纳米基体	晶粒<50 nm, 硬度>HV 2000,添加稀土(Y、Ce 0.1-0.3 wt.%)。	耐磨性提升 50%,寿命延长 2-3 倍,精度提升 30%。
高性能涂层	石墨烯/纳米晶 DLC 复合涂层,摩擦系数<0.05,硬度>HV 3000,附着力>150 N。	崩边率<0.05%,寿命延长 3-4 倍,切削效率提升 40%。
低温沉积	低温 PVD/CVD(<200℃),石墨烯涂层厚度 0.5-10 µm。	成本降低 30%,基体性能无损,适用性提升 50%。
绿色制备	微波辅助 CVD, SPS 能耗降低 40%, 回收 WC/Co 工艺。	生产成本降低 20%, 环境影响减少 50%。
智能刀具	集成石墨烯传感器 (温度、磨损监测),实时反馈刀具状态。	加工效率提升 20%, 刀具失效率降低 30%。
3D 打印基体 案例展望 石墨烯复合	SLM 制备复杂硬质合金基体,精度±0.001 mm,配合石墨烯涂层。	生产周期缩短 40%,满足个性化需求。



纳米硬质合金基体,石墨烯-DLC涂层 (PVD,厚度 $3\mu m$),切割 12英寸硅晶圆,寿命提 升 4 倍, 崩边率<0.05% (Web ID 7)。

3D 打印切割刀。100g

SLM 制备超细硬质合金基体,石墨烯涂层,切割 MEMS 器件,精度±0.001 mm,周期缩短 www.chinatungsten 50%, 成本降低 20% (Web ID 24)。

7. 结论

硬质合金硅晶圆切割刀以超细/纳米硬质合金为基体(HV 1200-2000),通过 CVD/PVD 沉 积 TiN、DLC 或石墨烯涂层(厚度 1-5 µm), 实现高硬度(HV 1800-3000)、低摩擦系数 (0.05-0.2)、优异耐磨性(磨损率<0.001 mm³/N m)和超光滑表面(Ra 0.005-0.02 μm)。 其在半导体制造(晶圆划片刀、切割刀)、光伏行业(硅片切割刀)和微电子加工(精密划 片刀) 中表现出色,满足公差±0.001-0.005 mm 的需求,寿命延长 2-4 倍,崩边率<0.1%,切 削效率提升 30-50%。与金刚石刀具相比,硬质合金刀具成本低,适合中高精度切割;石墨 烯涂层优于 TiN/DLC, 提供更低摩擦和更高导热性。

超细纳米基体、高性能涂层、低温沉积、绿色制备、3D 打印和智能刀具技术将推动硬质合 金硅晶圆切割刀在5G芯片、光伏和MEMS制造中的应用,为高精度、高效率半导体加工 提供解决方案。





附录:

纳米硬质合金

纳米硬质合金是以碳化钨(WC)为主要硬质相,钴(Co)、镍(Ni)或其组合为黏结相的 复合材料,其晶粒尺寸控制在**纳米级(<100 nm)**。通过放电等离子烧结(SPS)、高温碳 化、溶剂热法等先进工艺制备,纳米硬质合金具有超高硬度、优异耐磨性和高表面光洁度, 广泛应用于超精密加工、微型工具、模具制造、生物医学器件、电子行业和特殊环境(如核 工业)等领域。相较于超细硬质合金(晶粒 0.11 µm),纳米硬质合金硬度更高,表面质量 更优,适合亚微米级精度(公差±0.0010.005 mm);相较于常规硬质合金(晶粒 15 μm), 其耐磨性和强度显著提升。本文从纳米硬质合金的特性、组成与结构、制备工艺、性能优化、 应用场景、优缺点及发展趋势等方面进行详细阐述,为材料选择和应用开发提供全面参考。

1. 纳米硬质合金特性

纳米硬质合金通过纳米级晶粒(<100 nm)和优化的黏结相比例(Co/Ni 410 wt.%),实现 超高硬度、耐磨性和表面光洁度的协同提升。以下为关键特性:

性能	典型值	说明
硬度	HV 16002000 (WCCo, Co 48 wt.%)	高于超细硬质合金(HV 12001800),耐磨性提升 23 倍,适合超精密加工。
断裂韧性	K_IC 812 MPa m^1/2(ISO 28079:2009)	低于超细硬质合金(K_IC $1014~\mathrm{MPa~m^1/2}$),但抗微裂纹扩展能力强。
耐磨性	磨损率<0.001 mm^3/N m(ASTM G65)	低于超细硬质合金 (0.0010.005 mm^3/N m) , 工具寿命延长 23 倍。
抗压强度	57 GPa (WCCo, ISO 4506)	高抗压能力,承受微型模具压力(515 MPa)和切削负荷(0.52 kN)。
耐腐蚀性	腐蚀速率<0.01 mm/年(WCNi,pH 210, ISO 9227 盐雾测试)	抗酸碱、湿气和冷却液腐蚀,优于不锈钢(0.050.1 mm/年)。
导热性	80150 W/m K (WCCo/Cu 复合)	高导热性降低加工热,优于钢(~50W/m·K),保护刀具和工件。
表面粗糙度	Ra 0.0050.02 μm (抛光或涂层后)	超光滑表面满足亚微米级公差(±0.001 mm),减少工件表面缺陷。
特性分析		

特性分析

超高硬度

纳米级晶粒(<100 nm)通过霍尔佩奇效应显著提升硬度(HV 16002000),晶界强化作用 增强, 耐磨性比超细硬质合金提高50100%。

耐磨性

超细晶粒减少磨粒磨损和表面剥落,磨损率<0.001 mm^3/N m,适合高精度、长寿命应用。

纳米级晶粒和抛光工艺实现 Ra 0.0050.02 μm, 满足光学、半导体和生物医学领域的超光滑 **韧性局限**

由于晶粒尺寸小, 黏结相比例较低(48 wt.%), 断裂韧性略低于超细硬质合金, 需通过掺 www.chine 杂或涂层优化。



2. 组成与结构

纳米硬质合金的性能由其组成和微观结构决定:

组成	典型比例	作用
硬质相 (WC)	9096 wt.%	提供超高硬度(HV 20003000)和耐磨性,晶粒尺寸<100 nm 决定性能。
黏结相(Co/Ni)	410 wt.%	增强韧性(K_{IC} 812 MPa $m^{1}/2$),Co 提升强度,Ni 提高耐腐蚀性。
添加剂	0.11 wt.% (Cr., VC., TaC)	抑制晶粒长大(如 VC),提升高温稳定性(如 Cr),改善抗氧化性(如 TaC)。

微观结构

晶粒尺寸

10100 nm, 均匀分布, 通过晶粒抑制剂(如 VC、Cr₃C₂)严格控制晶粒长大, 晶界面积大 幅增加, 提升硬度和耐磨性。

相分布

WC 纳米颗粒被 Co/Ni 黏结相包裹,形成致密骨架结构,黏结相厚度 0.52 nm,增强抗裂 纹扩展能力。

孔隙率

烧结后孔隙率<0.2%(密度>99.8%),消除微孔隙,提高抗压强度和表面光洁度。 www.chinatungs

结构优化

晶粒控制

通过低温烧结(如 SPS, 10001200°C)或添加 0.20.5 wt.% VC,控制晶粒尺寸<50 nm。

Co/Ni 比例(48 wt.%)优化硬度/韧性平衡, Ni 用于腐蚀环境(如生物医学), Co 用于高 强度场景(如模具)。

涂层改性

DLC、石墨烯涂层 (厚度 15 μm) 降低摩擦系数 (<0.1), 提升耐磨性和表面光洁度 (Ra www.chinatungsten.c $0.0050.01 \, \mu m$).

3. 制备工艺

纳米硬质合金通过以下工艺制备,确保纳米级晶粒、高密度和优异性能:

工艺	特点	优势	局限性	应用场景
	快速烧结 WCCo/Ni (10001200°C, 510 min),晶粒<50 nm,硬度 HV 16002000。	低温快速烧结, 晶粒细	设备昂贵(投资 200500 万元),适合小尺寸部件(<100 mm)。	微型刀具、精
	W 盐与碳源(如葡萄糖)在 8001000°C 碳化,晶粒 1050 nm,比表面积 50100 m²/g。	制备纳米 WC 粉末,成	碳化过程控制复杂,需后处理。	纳米 WC 粉末,超精密切削工具。
溶剂热法	高压釜中(180250℃)合成纳米 WC, 晶粒 530 nm, 硬度 HV 1800。	低温合成,晶粒超细,适合复合材料。	产量低,工艺放大难度大。	微型钻头、生 物医学工具。



WWW.C

微波烧结	微波加热 WCCo(10001200℃, 515	能耗低40%,晶粒均匀,	设备尺寸限制,适合小型部件	微型刀具、模
恢灰危华	min), 晶粒 2080 nm, 硬度 HV 1700。	韧性提升 10%。	(<50 mm) 。	具。
化学气相沉积	R 沉积 DLC、TiN 涂层,厚度 210 µm,摩	增强耐磨性和表面光洁	沉积速率慢(15μm/h),设	刀具、模具表
(CVD)	擦系数<0.1,Ra 0.0050.01 μm。	度,耐高温8001000℃。	备成本高。	面改性。
物理气相沉和	R 沉积 CrN、ZrN 涂层,厚度 15 μm, Ra	抗粘附和腐蚀,适合超精	涂层厚度有限(<5 µm),耐	模具、刀具表
(PVD)	0.0050.02 μm, 耐腐蚀性提升。	密加工。	磨性低于 CVD。	面强化。
激光微加工	激光抛光或切割,精度±0.001 mm, Ra	满足亚微米级精度,刃口	加工成本高,适合高附加值部	刀具刃口、模
	0.0050.01 μm _°	半径<0.1 μm。	件。	具成型。

4. 性能优化

纳米硬质合金的性能通过以下策略优化,以满足超精密加工、微型化和特殊环境需求:

晶粒细化

添加晶粒抑制剂(0.10.5 wt.% VC、Cr₃C₂、TaC),抑制 WC 晶粒长大,保持尺寸<50 nm。 采用低温快速烧结(如 SPS, 10001200°C, 510 min),减少晶粒生长,硬度提升 1520%。

Co(46 wt.%)增强强度,适合高硬度场景(如微型刀具)。
Ni(48 wt.%)提高耐腐蚀性,适合生物医学和心丛中的 混合黏结相(Co+Ni,比例1:1)兼顾硬度和耐腐蚀性,断裂韧性提升510%。

表面改性

CVD 涂层 (DLC、TiN, 210 μm): 耐高温 (8001000°C),摩擦系数<0.1,耐磨性提升 23

PVD 涂层 (CrN、ZrN, 15 μm): 抗粘附, Ra 0.0050.01 μm, 适合超光滑表面。 抛光:激光或化学机械抛光,Ra<0.005 μm,减少工件划痕,加工精度提升30%。

掺杂与复合

掺杂稀土元素(如 0.10.3 wt.% Y、Ce),提高抗氧化性和高温稳定性,耐温性提升至 900°C。 复合碳材料(如 CNT、石墨烯, 0.51 wt.%),导电率提升至 105 S/m,适合导电模具。

微观结构控制

优化烧结参数(压力100200 MPa,温度10001200°C),孔隙率<0.2%,抗压强度提升15%. 控制黏结相分布均匀性(厚度 0.52 nm),减少应力集中,耐磨性提升 20%. hinatungsten.com

5. 应用场景

纳米硬质合金在超精密加工、模具制造、生物医学、电子行业、能源设备、航空航天和核工 业等领域有广泛应用,满足亚微米级精度(公差±0.0010.005 mm)、高耐磨性和特殊环境需 WWW.chir 求。以下为详细应用场景:

应用	部件类型	用途与场景	性能提升
	微型切削刀具 / Micro Cutting Tool	WCCo 刀具, 加工硅晶圆, 刃口半径<0.1 μm, 转速 1000020000 RPM, 公差±0.001 mm。	耐磨性提升 3 倍,表面粗糙度 Ra<0.01 μm,寿命延长 23 倍。
超常加工	超精密车刀 / UltraPrecision	WCNi 车刀, 加工光学透镜(如 PMMA), 切削深度 0.11 μm, 进给率 0.01 mm/rev, 公差±0.002 mm。	加工精度提升 40%, 刀具寿命延 长 3 倍, 缺陷率<0.1%。
_	微型钻头 / Micro Drill	WCCo 钻头,加工陶瓷电路板,孔径 0.050.5 mm,转速50000100000 RPM,公差±0.001 mm。	孔精度提升 50%, 断钻率<0.05%, 寿命延长 2.5 倍。
	芯片封装模具 / Chip Packaging Mold	WCCo 模具, 加工晶圆级封装 (WLCSP), 公差±0.001 mm, 压力 510 MPa, 寿命 100200 万次。	寿命延长 3 倍,粘模减少 30%, 公差控制提升 50%。
模具制造	光学模具 / Optical Mold	WCNi 模具, 加工非球面透镜, 表面粗糙度 Ra 0.0050.01 μm, 公差±0.002 mm, 寿命 50 万件。	模具寿命延长 2.5 倍,表面缺陷减少 40%。
OLE	微型冲压模具 / Micro Stamping Mold	WCCo 模具,冲压微电子引线框架,公差±0.002 mm, 频率 10002000 次/分钟,寿命 150 万次。	耐磨性提升 3 倍,引脚缺陷率<0.1%,寿命延长 2 倍。
	牙科微型刀具 / Dental Micro Tool	WCNi 刀具, 磨削牙釉质/牙本质, 直径 0.31 mm, 转速 20000100000 RPM, 公差±0.005 mm。	寿命延长 3 倍,细菌附着减少40%,耐腐蚀性提升 4 倍。
生 物医学	7 骨科微型钻头 / Orthopedic Micro Drill	WCCo 钻头,钻孔骨骼(如脊柱固定),直径 0.52 mm, 转速 10005000 RPM,公差±0.005 mm。	钻孔精度±0.002 mm, 耐腐蚀性提升 5倍, 寿命延长 2.5倍。
		WCNi 刀片, 切割软组织(如眼科手术), 刃口半径<0.05 μm, 手术时间 530 分钟。	锋利度提升 60%,组织损伤减少50%,寿命延长3倍。
,	半导体切割刀 / Semiconductor Cutting Blade	WCCo 刀片,切割硅晶圆,厚度 0.10.5 mm,转速 500015000 RPM,公差±0.001 mm。	切口平整度提升 50%, 刀片寿命 延长 3 倍, 缺陷率<0.1%。
电子行业	微型 PCB 钻头 / Micro PCB Drill	WCCo 钻头,加工高密度电路板,孔径 0.050.3 mm,转速 80000150000 RPM,公差±0.002 mm。	寿命延长 3 倍,孔壁粗糙度 Ra<0.01 μm,断钻率<0.05%。
	晶圆划片刀 / Wafer Dicing Blade	WCNi 刀片,划片化合物半导体(如 GaAs),厚度 0.020.1 mm, 转速 1000030000 RPM。	划片精度提升 40%, 刀片寿命延 长 2.5 倍, 崩边率<0.1%。
	燃料电池模具 / Fuel Cell Mold	WCCo 模具, 加工 PEMFC 双极板 (石墨), 公差±0.005 mm, 压力 1015 MPa, 寿命 60 万件。	流场精度提升 25%, 耐腐蚀性提升 4倍, 寿命延长 2倍。
能 漩	《风电叶片刀具 / Wind Blade Cutting Tool	WCNi 刀具, 切削玻璃纤维复合材料, 速度 13 m/s, 公差±0.005 mm, 转速 500010000 RPM。	切削力降低 25%, 刀具寿命延长 2.5倍, 磨损减少 50%。
7	太阳能硅片刀具 / Solar Wafer Cutting Tool	WCCo 刀具, 切割多晶硅片, 厚度 0.10.2 mm, 转速 500012000 RPM, 公差±0.002 mm。	切口平整度提升 50%, 刀具寿命 延长 3 倍, 裂纹率<0.1%。
	微型铣刀 / Micro Milling Cutter	WCCo 铣刀, 加工镍基合金 (如 Inconel 718), 转速 1500030000 RPM, 公差±0.002 mm。	耐磨性提升 3 倍,表面粗糙度 Ra<0.02 μm,寿命延长 2.5 倍。
航 空航天	复合材料刀具 / Composite Cutting Tool	WCNi 刀具, 加工碳纤维复合材料 (CFRP), 速度 15 m/s, 公差±0.005 mm。	切削力降低 30%, 刀具磨损减少50%, 寿命延长 2.5 倍。
	微型螺纹刀具 / Micro Threading Tool	WCCo 刀具, 加工钛合金螺纹(M0.5M2), 转速 500010000 RPM, 公差±0.002 mm。	螺纹精度提升 40%, 刀具寿命延 长 2 倍, 缺陷率<0.1%。



	核用模具 / Nuclear Mold	WCNi 模具,加工核传感器外壳,耐辐照(110 dpa),	腐蚀速率<0.01 mm/年,辐照硬
核工		公差±0.002 mm,温度 200400°C。	化<20%,寿命延长3倍。
业	核燃料组件刀具 / Nuclear	WCCo 刀具, 加工锆合金燃料管, 公差±0.002 mm, 转	耐腐蚀性提升 4 倍,加工精度提
	Fuel Cutting Tool	速 500010000 RPM,温度 150300°C。	升 30%,寿命延长 2.5 倍。

案例:

WLCSP 模具

WCCo 纳米模具 (SPS 制备, CVD DLC 涂层) 用于晶圆级封装, 硬度 HV 1800, 寿命 150 万次, 公差±0.001 mm, 较超细硬质合金 (50 万次) 提升 3 倍 (Web ID 15)。

光学透镜模具

WCNi 模具 (激光微加工, Ra 0.005 μm) 加工非球面透镜, 精度±0.002 mm, 表面缺陷率 <0.1%, 寿命延长 2.5 倍 (Web ID 24)。

核用模具

WCNi 模具 (PVD CrN 涂层) 耐 5 dpa 辐照,腐蚀速率<0.01 mm/年,加工核传感器外壳,公差±0.002 mm,寿命延长 3 倍 (Web ID 28)。

牙科微型刀具

WCNi 刀具 (PVD DLC 涂层) 磨削牙釉质, Ra 0.005 μm, 寿命 1200 次切削, 细菌附着减少 40%, 耐腐蚀性提升 4 倍 (Web ID 7)。

半导体切割刀

WCCo 刀片 (CVD TiN 涂层) 切割硅晶圆,切口平整度提升 50%,寿命延长 3 倍,崩边率 <0.1% (Web ID 15)。

6. 优缺点比较

优点 (人)	缺点
超高硬度 (HV 16002000), 耐磨性提升23倍,寿命延长23倍。	断裂韧性 (K_IC 812 MPa m^1/2) 低于超细硬质合金, 抗
超光滑表面(Ra 0.0050.02 μm),满足亚微米级公差(±0.001 mm)。	冲击性稍逊。 制备成本高 (SPS、CVD 设备投资 200500 万
耐腐蚀性(<0.01 mm/年),适配生物医学、化学和核工业环境。	元)。 纳米颗粒团聚风险,需精准工艺控制。 密度高(1015
高抗压强度 (57 GPa), 适合微型高负荷应用。	g/cm³) ,较 PCD(3.5 g/cm³) 重。

比较分析

与超细硬质合金

纳米硬质合金晶粒更细(<100 nm vs. $0.11~\mu m$),硬度提升 2030%,耐磨性提高 50100%,但韧性稍低,成本高 3050%。

与常规硬质合金

纳米硬质合金硬度提升 50100%, 耐磨性提高 23 倍, 表面粗糙度降低 8090%, 适合超精密加工。

与 PCD/CBN

纳米硬质合金成本低(PCD/CBN 成本高 35 倍),但硬度(HV 16002000 vs. HV 30008000)和耐磨性低于 PCD/CBN。



7. 发展趋势

纳米硬质合金的未来发展聚焦于性能提升、成本降低和应用拓展,以下为主要趋势:

趋势	技术方向	预期效果
超细纳米结构	晶粒尺寸<10 nm, 掺杂稀土 (Y、Ce 0.10.3 wt.%), 硬度>HV 2000, K_IC>12 MPa m^1/2。	耐磨性提升 50%, 刀具寿命延长 2 倍。
高性能涂层	石墨烯、DLC 复合涂层,摩擦系数<0.05, Ra<0.005 μm, 耐高 温 1000℃。	表面缺陷减少 60%, 加工精度提升 30%, 耐腐蚀性提升 40%。
轻量化设计	多孔 WCCo/Ni(孔隙率 1020%),密度降至 810 g/cm³,导热性>150 W/m K。	重量减轻 2030%, 适合微型和高速加工。
绿色制备	低温溶剂热(<200°C)、微波烧结,能耗降低 4050%。	生产成本降低30%,环境影响减少50%。
智能工具与模具	集成传感器(温度、磨损监测), WCNi 封装,实时反馈性能。	加工效率提升 20%, 刀具/模具失效率降低 30%。
3D 打印定制化	激光选区熔化(SLM)制备复杂 WCCo 刀具/模具,精度±0.001 mm。	生产周期缩短 50%,满足个性化需求。
复合材料	WCCNT、石墨烯复合, 导电率>10 ⁶ S/m, 韧性提升 30%。	导电模具效率提升 40%, 适合电子和能源领域。
案例展望		

案例展望

石墨烯涂层刀具

WCCo 纳米刀具(石墨烯涂层)加工 CFRP,摩擦系数<0.05,寿命提升 60%,切削力降低 40% (Web ID 7) 。

3D 打印模具

SLM 制备 WCNi 光学模具, 精度±0.001 mm, 生产周期缩短 50%, 成本降低 30%, 满足 5G 光学器件需求(Web ID 24)。 W.chinatungsten.com

8. 结论

纳米硬质合金以 WCCo、WCNi 为核心, 晶粒尺寸<100 nm, 通过 SPS、高温碳化、溶剂热、 微波烧结、CVD、PVD 和激光微加工等工艺,实现超高硬度(HV 16002000)、优异耐磨 性(磨损率<0.001 mm³/N m)、超光滑表面(Ra 0.0050.02 µm)和耐腐蚀性(<0.01 mm/ 年)。其广泛应用于超精密加工(微型切削刀具、车刀、钻头)、模具制造(芯片封装模具、 光学模具)、生物医学(牙科刀具、骨科钻头、手术刀片)、电子行业(半导体切割刀、PCB 钻头)、能源设备(燃料电池模具、风电刀具)、航空航天(微型铣刀、复合材料刀具)和 核工业(耐辐照模具),满足公差±0.0010.005 mm的需求,寿命延长23倍,加工精度提升 3050%。在核工业中, WCNi 模具耐辐照(110 dpa), 支持高精度部件加工。未来, 超细 纳米结构、高性能涂层、轻量化设计、绿色制备、3D 打印和智能工具/模具技术将推动纳米 硬质合金在5G 电子、光学制造、航空航天和生物医学领域的应用,为超精密、高耐久性制 www.chinatungs 造提供高校解决方案。



附录:

精密加工用超细硬质合金

超细硬质合金是以碳化钨(WC)为硬质相, Co、Ni 等为黏结相的复合材料, 晶粒尺寸控制在**超细级(0.11 μm)**, 通过粉末冶金、高温碳化或放电等离子烧结(SPS)等工艺制备。其优异的硬度、韧性和耐磨性平衡使其成为精密加工领域的理想材料, 广泛用于制造切削刀具、模具和耐磨部件, 满足航空航天、汽车、模具制造和电子行业对高精度(公差±0.0050.01 mm)的需求。本文从超细硬质合金在精密加工中的特性、制备工艺、应用场景、优缺点及发展趋势等方面进行综述, 为精密加工材料选择提供参考。

1. 超细硬质合金特性

超细硬质合金通过超细晶粒($0.11~\mu m$)和表面改性(如 TiN、DLC 涂层),实现高硬度、 韧性和耐磨性,适合精密加工。以下为关键特性:

性能	典型值	说明
硬度	HV 12001800 (WCCo)	高于常规硬质合金 $(HV 8001600)$,耐磨性提升 1.52 倍,适合高负荷切削。
断裂韧性	K_IC 1014 MPa m^1/2 (ISO 28079:2009)	优于纳米硬质合金($K_{\rm LIC}$ 812 $MPa\ m^{1/2}$),抗裂纹扩展,耐冲击。
耐磨性	磨损率 0.0010.005 mm^3/N m(ASTM G65)	低于常规硬质合金 (0.01 mm^3/N m) , 刀具寿命延长 1.52 倍。
表面粗糙度	Ra 0.010.1 μm (抛光或涂层后)	光滑表面满足精密加工公差(±0.005 mm),减少工件表面缺陷。
耐腐蚀性	腐蚀速率<0.01 mm/年 (WCNi, pH 210, ISO 9227)	抗冷却液、酸碱清洗液腐蚀,适合湿加工环境。
导热性	80120 W/m·K (WCCo)	高导热性降低切削热,保护刀具和工件,优于钢(~50 W/m·K)。

2. 制备工艺

超细硬质合金通过以下工艺制备,确保超细晶粒、高硬度和表面质量:

工艺	特点	应用场景
粉末冶金	WC 与 Co/Ni 粉末混合,热压烧结(14001600°C),晶粒 0.11 μm,硬度 HV 12001800。	切削刀具、模具基体制造。
高温碳化法	W 盐与碳源(如碳黑)在 8001000℃ 碳化, 晶粒 0.20.8 μm , 比表面积 2050 m^2/g 。	超细 WC 粉末制备,精密刀具和模具。
放电等离子烧结 (SPS)	快速烧结 WCCo(10001200°C, 510 min), 晶粒<0.5 μm, 韧性提升 10%。	高性能刀、模具,耐高负荷加工。
化学气相沉积 (CVD)	沉积 TiN、Al ₂ O ₃ 涂层,厚度 210 μ m,摩擦系数 0.20.3,硬度 HV 1800。	刀具表面改性,增强耐磨性和耐高温性。
物理气相沉积 (PVD)	沉积 CrN、DLC 涂层,厚度 15 μm ,Ra 0.010.05 μm ,耐腐蚀性提升。	模具刀具表面, 抗粘附和腐蚀。
精密磨削与抛光	CNC 磨削、抛光,精度±0.005 mm, Ra 0.010.05 μm。	刃口、模具成型, 高精度加工。



3. 应用场景

超细硬质合金在精密加工中用于切削刀具、模具和耐磨部件,满足航空航天、汽车、电子和模具制造领域的高精度需求。以下为主要应用场景:

应用	部件类型	用途与场景	性能提升
航 空	铣刀 / Milling Cutter	WCCo 铣刀,加工钛合金(如 Ti6Al4V),转速 500010000 RPM, 进给率 0.10.5 mm/rev。	寿命延长 2 倍,切削力降低 20%,表面粗糙度 $Ra<0.1~\mu m$ 。
航天	钻头 / Drill Bit	WCNi 钻头,加工铝合金孔(孔径 210 mm),转速 800015000 RPM,公差±0.005 mm。	耐磨性提升 1.5 倍, 孔精度提升 30%, 寿命延长 1.5 倍。
汽车	车刀 / Turning Tool	WCCo 车刀, 加工发动机缸体 (铸铁), 切削深度 13 mm, 速度 100200 m/min。	刀具寿命延长 2 倍,加工效率提升 20%。
制造	冲压模具 / Stamping Mold	WCNi 模具, 冲压汽车钢板, 压力 1020 MPa, 公差±0.01 mm, 寿命 50100 万次。	耐磨性提升 2 倍, 模具寿命延长 1.52 倍, 毛刺减少 30%。
电子	PCB 钻头 / PCB Drill	WCCo 微型钻头, 加工印刷电路板, 孔径 0.11 mm, 转速 50000100000 RPM。	寿命延长 2 倍,孔壁粗糙度 Ra<0.05 μm,断钻率降低 50%。
行业	引线框架模具 / Lead Frame Mold	WCNi 模具,冲压铜合金引线框架,精度±0.005 mm,频率 5001000 次/分钟。	寿命 80120 万次,公差控制提升 20%,引脚缺陷率<0.1%。
模 具	精密注塑模具 / Precision	WCCo 模具,加工塑料件(如手机壳),公差±0.01 mm,	寿命延长 2 倍,表面缺陷减少 40%,
制造	Injection Mold	温度 150200°C。	耐腐蚀性提升3倍。
特殊应用	核用模具 / Nuclear Mold	WCNi 模具, 加工核传感器部件, 耐辐照 (110 dpa), 精度±0.005 mm。	腐蚀速率<0.01 mm/年,辐照硬化<20%,寿命延长2倍。

案例

航空铣刀

WCCo 超细铣刀(CVD TiN 涂层)加工钛合金, 硬度 HV 1600, 寿命 800 分钟, 较常规硬质合金(400 分钟)提升 2 倍,表面粗糙度 Ra $0.08\,\mu m$ (Web ID 15)。

PCB 钻头

WCCo 微型钻头(PVD CrN 涂层)加工电路板, 孔径 0.2 mm, 寿命 50000 孔, 断钻率<0.1%, 较常规硬质合金提升 1.5 倍(Web ID 24)。

核用模具

WCNi 模具 (SPS 制备) 耐 5 dpa 辐照,腐蚀速率 < 0.01 mm/年,加工核传感器部件,精度 ± 0.005 mm,寿命延长 2 倍 (Web ID 28)。

4. 优缺点比较

优点 COM	缺点
高硬度 (HV 12001800), 耐磨性提升 1.52 倍, 寿命延长 1.52 倍。	硬度低于纳米硬质合金(HV16002000),超精密加工能力
高韧性(K_IC 1014 MPa m^1/2),抗冲击,适合高负荷加工。	稍逊。 制备成本较高 (SPS、CVD 设备投资 100300 万元)。
光滑表面(Ra 0.010.1 μm),满足精密公差(±0.005 mm)。	密度高(1015 g/cm³),较 PCD(3.5 g/cm³)重。
耐腐蚀性(<0.01 mm/年),适配湿加工和化学环境。	复杂几何加工周期长(12个月)。

5. 发展趋势

趋势	技术方向	预期效果
更细晶粒	晶粒尺寸<0.2 μ m,掺杂稀土(如 Y、Ce),硬度>HV 1800,K_IC>14 MPa m^1/2。	耐磨性提升 30%, 刀具寿命延长 1.5 倍。
先进涂层	DLC、石墨烯复合涂层,摩擦系数<0.1, Ra<0.01 μm。	表面缺陷减少 50%, 加工精度提升 20%。
轻量化设计	多孔 WCCo (孔隙率 1015%), 密度降至 810 g/cm³。	重量减轻 20%, 适合高速加工。
智能刀具	集成传感器(温度、磨损监测), WC基封装,实时反馈状态。	加工效率提升 15%, 刀具失效率降低 30%。
3D 打印定制	SLM 制备复杂 WCCo 刀具,精度±0.005 mm。	生产周期缩短 40%,满足个性化需求。

6. 结论

超细硬质合金以 WCCo、WCNi 为核心,通过粉末冶金、高温碳化、SPS、CVD、PVD 和 精密磨削等工艺,实现高硬度(HV 12001800)、高韧性(K_IC 1014 MPa m^1/2)、优异 耐磨性 (磨损率 0.0010.005 mm³/N m) 和光滑表面 (Ra 0.010.1 μm)。其在精密加工中 用于航空航天铣刀、汽车冲压模具、电子 PCB 钻头和核用模具,满足公差±0.0050.01 mm 的 需求,寿命延长 1.52 倍,加工效率提升 2030%。在核用场景,WCNi 模具耐辐照(110 dpa), 支持高精度部件加工。未来,更细晶粒、石墨烯涂层、轻量化设计、3D 打印和智能刀具技 术将推动超细硬质合金在汽车、电子和航空航天领域的应用,为精密加工提供高效、可靠的 解决方案。



www.chinatungsten.com



附录:

超精密加工用纳米硬质合金

纳米硬质合金是以碳化钨(WC)为硬质相, Co、Ni 等为黏结相的复合材料, 晶粒尺寸控 制在**纳米级(<100 nm)**,通过放电等离子烧结(SPS)、溶剂热法或高温碳化等先进工艺 制备。其超高硬度、优异韧性和极低表面粗糙度使其成为超精密加工领域的理想材料,广泛 用于制造高精度模具、微型切削工具和超精密加工刀具,满足半导体、光学、航空航天和生 物医学等领域对亚微米级精度(公差±0.0010.005 mm)的需求。本文从纳米硬质合金在超精 密加工中的特性、制备工艺、应用场景、优缺点及发展趋势等方面进行综述,为超精密加工 材料选择提供参考。

1. 纳米硬质合金特性

纳米硬质合金通过纳米级晶粒(<100 nm)和表面改性(如 DLC、石墨烯涂层),实现超高 硬度、韧性和表面光洁度,适合超精密加工。以下为关键特性:

性能	典型值	说明
硬度	HV 16002000(纳米 WCCo)	高于常规硬质合金(HV 8001600),耐磨性提升 23 倍,适合高精度切削。
断裂韧性	K_IC 812 MPa m^1/2 (ISO 28079:2009)	抗裂纹扩展, 承受微型加工中的高频振动和应力。
耐磨性	磨损率<0.001 mm^3/N m(ASTM G65)	磨损率低于超细硬质合金($0.0010.005\mathrm{mm}^3/\mathrm{N}\mathrm{m}$),工具寿命延长 23 倍。
表面粗糙度	Ra 0.0050.02 μm(抛光或涂层后)	超光滑表面,满足超精密加工公差(±0.001 mm),减少工件表面缺陷。
耐腐蚀性	腐蚀速率<0.01 mm/年(WCNi, pH210, ISO 9227)	抗冷却液、化学清洗液腐蚀,适合复杂加工环境。
导热性	80150 W/m·K(WCCo/Cu 复合)	高导热性降低切削热,保护刀具和工件,优于钢(\sim 50 W/m·K)。
2. 制备工	艺 TXV.c)	

2. 制备工艺

纳米硬质合金通过以下工艺制备,确保纳米级晶粒、超高硬度和精密表面质量:

工艺	特点	应用场景
放电等离子烧结	快速烧结 WCCo/Ni(10001200°C, 510 min),晶粒<50 nm,硬度	微型刀具、模具, 晶粒细化提升韧
(SPS)	HV 16002000。	性。
高温碳化法	W 盐与碳源(如葡萄糖)在 8001000°C 碳化, 晶粒 1050 nm, 比表	纳米 WC 粉末制备,超精密切削工
同血吸化法	面积 50100 m²/g。	具。
溶剂热法	高压釜中 (180250°C) 合成纳米 WC, 晶粒 530 nm, 硬度 HV 1800。	高活性纳米 WC, 微型钻头和模具。
化学气相沉积(CVD)	沉积 DLC、TiN 涂层,厚度 210 μm, 摩擦系数<0.1, Ra 0.0050.01	刀具表面改性, 增强耐磨性和光洁
化字气相机械(CVD)		度。 COM
物理气相沉积(PVD)	沉积 CrN、ZrN 涂层,厚度 $15\mu m$,耐腐蚀性提升,硬度 HV 2000 。	超精密模具表面, 抗粘附和腐蚀。
激光微加工	激光抛光或切割,精度±0.001 mm,Ra 0.0050.02 μm。	刀具刃口、模具成型, 高精度加工。



3. 应用场景

纳米硬质合金在超精密加工中用于模具、微型刀具和切削工具,满足半导体、光学和生物医学领域的亚微米级精度需求。以下为主要应用场景:

应用	部件类型	用途与场景	性能提升
	芯片封装模具 / Chip	WCCo 纳米模具, 加工晶圆级封装 (WLCSP), 公	寿命 100200 万次,公差控制提升
	Packaging Mold	差±0.001 mm,压力 1020 MPa。	50%, 粘模减少30%。
制造	微型切削刀具 / Micro	WCNi 刀具, 切削硅晶圆, 刃口半径<0.1μm, 转速	耐磨性提升 3 倍,表面粗糙度
	Cutting Tool	500010000 RPM。	Ra<0.01 μm, 良率提升 20%。
		WCCo 模具, 加工非球面透镜, 表面粗糙度 Ra	模具寿命延长 23 倍, 光学表面缺陷
光学元	光学模具 / Optical Mold	0.0050.01 μm,精度±0.002 mm。	减少 40%。
件加工	超精密车刀 /	WCNi 车刀,加工红外光学元件,切削深度 $0.11 \mu m$,	刀具寿命延长 3 倍,加工精度提升
	UltraPrecision Lathe Tool	进给率 0.01 mm/rev。	30%。
航空航	微型钻头 / Micro Drill	WCCo 钻头, 加工钛合金航空部件, 孔径 0.11 mm,	耐磨性提升 23 倍, 孔精度±0.002
		转速 1000020000 RPM。	mm,寿命延长2倍。
天	复合材料刀具 / Composite	WCNi 刀具,切削碳纤维复合材料(CFRP),刃口	切削力降低 20%, 刀具磨损减少
	Cutting Tool	半径<0.2 μm, 速度 15 m/s。	50%。
生物医	牙科微型刀具 / Dental	WCNi 刀具, 加工牙种植体, 公差±0.005 mm, 转	Ra 0.0050.02 μm,寿命延长 3 倍,细
学	Micro Tool	速 1000050000 RPM。	菌附着减少40%。
特殊应	核用模具 / Nuclear Mold	WCNi 模具,加工核传感器部件,耐辐照(110 dpa),	腐蚀速率<0.01 mm/年,辐照硬化
用		精度±0.002 mm。	<20%,寿命延长3倍。

案例

WLCSP 模具

WCCo 纳米模具 (SPS 制备, CVD DLC 涂层) 用于晶圆级封装, 硬度 HV 1800, 寿命 150 万次, 公差±0.001 mm, 较超细硬质合金 (50 万次) 提升 3 倍 (Web ID 15)。

光学透镜模具

WCNi 模具 (激光微加工, Ra $0.005\,\mu m$) 加工非球面透镜, 精度 $\pm 0.002\,m m$, 表面缺陷率 <0.1%, 寿命延长 2.5 倍 (Web ID 24) 。

核传感器模具

WCNi 模具 (PVD CrN 涂层) 耐 5 dpa 辐照,腐蚀速率<0.01 mm/年,适用于核用部件加工,寿命延长 3 倍 (Web ID 28)。

4. 优缺点比较

优点	atungsio	鉠点
超高硬度(HV 1600200	0),耐磨性提升23倍,寿命延长23倍。	制备成本高(SPS、CVD设备投资100500万元)。
高韧性(K_IC 812 MPa	m^1/2) , 抗微小裂纹扩展。	纳米颗粒团聚风险,需精准控制工艺。
超光滑表面(Ra 0.0050	02 μm),满足亚微米级精度。	密度高(1015 g/cm³), 较金刚石 (3.5 g/cm³) 重。
耐腐蚀性(<0.01 mm/	年),适配化学加工环境。	复杂几何加工难度大,周期长(12个月)。



5. 发展趋势

LL b ALL	
趋势 技术方向	预期效果
超细纳米结构	耐磨性提升 50%, 刀具寿命延长 2 倍。
先进涂层 石墨烯、DLC 复合涂层,摩擦系数<0.05, Ra<0.005 μm。	表面缺陷减少60%,加工精度提升30%。
轻量化设计 多孔纳米 WCCo(孔隙率 1020%),密度降至 810 g/cm³。	重量减轻 20-30%, 适合微型刀具。
智能刀具 集成传感器(温度、磨损监测), WC 基封装,实时反馈刀具状态	。加工效率提升20%,刀具失效率降低30%。
3D 打印定制化 SLM 制备复杂纳米 WC 刀具,精度±0.001 mm。	生产周期缩短 50%,满足个性化需求。

6. 结论



目录

第四部分: 硬质合金的分类与应用领域

第 15 章: 纳米与超细硬质合金

15.0 纳米与超细硬质合金的基本概念

15.1 纳米硬质合金的制备

15.1.0 纳米硬质合金基础之纳米钨粉及纳米碳化钨粉的制备

15.1.1 纳米碳化钨粉化学气相沉积(CVD)与溶胶凝胶法

15.1.2 纳米硬质合金的晶粒控制 (<100 nm)

15.2 纳米硬质合金的性能优势

15.2.1 纳米硬质合金的超高硬度(HV>2500)

15.2.1 纳米硬质合金的超高硬度

15.2.2 纳米硬质合金的优异韧性

15.3 纳米硬质合金的挑战与解决方案

15.3.1 纳米硬质合金的晶粒长大抑制 (VC、Cr3C2)

15.3.2 纳米硬质合金的烧结致密化(SPS、HIP)

15.4 纳米硬质合金的应用与前景

15.4.0 纳米硬质合金的应用有哪些

15.4.1 纳米硬质合金在超精密加工中的应用

15.4.2 纳米硬质合金在高性能涂层中的应用

15.4.3 纳米硬质合金在航空航天领域中的应用

15.4.4 纳米硬质合金在医疗器械器具领域中的应用

15.4.5 纳米硬质合金在能源领域中的应用

15.4.6 纳米硬质合金在电子信息产业中的应用

15.4.7 纳米硬质合金在智能制造发展中的应用

15.5.1 超细硬质合金在高效切削中的应用 15.5.2 超细硬质合金在耐麻血性。 15.4.8 纳米硬质合金的未来发展趋势与前景

参考文献

附录:

纳米碳化钨粉、超细碳化钨粉、纳米硬质合金、超细硬质合金的国内外标准 GB/T 26725-2011 超细碳化钨粉

ISO 4499-1:1997 Metallic powders

- Determination of particle size distribution - Part 1: Sieving method ISO 4499-1:1997

金属粉末- 粒度分布的测定- 第 1 部分: 筛分法

ISO 513:2012 Classification and application of hard cutting materials for metal removal with defined cutting edges - Designation of the main groups and groups of application



ISO 513:2012 硬质切削材料的分类和应用— 具有定义切削刃的金属切除— 主要组和应用组的指定

什么是纳米碳化钨粉? 什么是超细碳化钨粉? 什么是超细硬质合金? 超细硬质合金应用场景 常规硬质合金、超细硬质合金、纳米硬质合金 金属陶瓷、PCD/CBN 比较分析 石墨烯涂层硬质合金刀具 硬质合金硅晶圆切割刀 纳米硬质合金 精密加工用超细硬质合金





平钨智造科技有限公司 30 年硬质合金定制专家 核心优势 中钨智造科技有限公司

30年经验:深谙硬质合金生产加工,技术成熟稳定,不断精进。

精准定制: 支持特殊性能与复杂设计, 重视客户+AI 协同设计。

质量成本:优化模具与加工,性价比卓越;领先设备,RMI、ISO 9001 认证。

服务客户

产品涵盖切削、工模具、航空、能源、电子等领域,已服务10+万客户。

服务承诺

10+亿次访问、100+万网页、10+万客户、30年0抱怨! atungsten.com

联系我们

邮箱: sales@chinatungsten.com

电话: +86 592 5129696 官网: www.ctia.com.cn 微信: 关注"中钨在线"





